

mérignac.  
zac centre ville

CIMETIÈRE DE L'ÉGLISE SAINT-VINCENT

## RAPPORT FINAL D'OPÉRATION

▷ CATHERINE RIGEADE  
JÉRÉMIE BALTZ  
VÉRONIQUE BISARO  
LOÏC DAULNY  
FLORENT MIANE  
ROBERT-ANDRÉ SÉNAC



Liberté • Égalité • Fraternité  
RÉPUBLIQUE FRANÇAISE



### Dates d'interventions

19.11.07 – 20.12.07

### Numéo INSEE commune

33281

### Numéro Patriarche

024943

### Arrêté de prescription

SF.07.050 du 24/05/2007





*L'utilisation des données du rapport de fouilles est régie par les dispositions du code de la propriété intellectuelle concernant la propriété littéraire et artistique. Les prises de notes et les photocopies sont autorisées pour un usage exclusivement privé et non destiné à une utilisation collective (article L 122-5 du code de la propriété intellectuelle). Toute reproduction du texte accompagnée ou non de photographies, cartes ou schéma, n'est possible que dans le cadre de courte citation, avec les références exactes et complètes de l'auteur et de l'ouvrage.*

*Toute utilisation des données du rapport à des fins lucratives est interdite en vertu de l'article 10 de la loi modifiée du 17 juillet 1978 relative à l'amélioration des relations entre l'administration et le public. Le non respect de ces règles constitue un délit de contrefaçon puni par l'article 425 du code pénal \*.*

*\*Loi n° 78-753 du 17 juillet 1978, article 10 : « les documents administratifs sont communiqués sous réserve des droits de propriété littéraire et artistique. L'exercice du droit à la communication (...) exclut, pour les bénéficiaires ou pour des tiers, la possibilité de reproduire, de diffuser ou d'utiliser à des fins commerciales les documents communiqués ».*

---

#### *Photographies*

*C. RIGEADE © SARL ARCHÉOSPHERE 2008, sauf R.-A. SÉNAC, photographies des monnaies, B. PARAVEL, photographies des autres mobiliers, J. BALTZ, p. 103 « Exostose du calcanéus » et F. BOCQUENTIN, p. 103 « Stades des caries » d'après BOCQUENTIN 2003.*

---

#### *Éléments d'infographie*

*F. LACRAMPE-CUYAUBÈRE © SARL ARCHÉOSPHERE 2008 sauf S. PASTY, « Modèle 3d du cimetière », première de couverture et p. 154 © SARL ARCHÉOSPHERE 2008*

---

#### *Maquettage, mise en page et composition*

*F. LACRAMPE-CUYAUBÈRE, © SARL ARCHÉOSPHERE 2008.*

---





# REMERCIEMENTS

**N**ous souhaitons remercier tous ceux qui nous ont aidé ou témoigné de l'intérêt dans le cadre de cette première opération.

- Pour le SRA Aquitaine, **M. PIERRE RÉGALDO-SAINT BLANCARD**, conservateur régional de l'archéologie, qui nous a accompagné dans le cadre de notre toute première intervention comme opérateur d'archéologie préventive, et qui a réalisé l'inventaire des éléments céramiques.
- Pour la commune de Mérignac, **M. ROBERT-ANDRÉ SÉNAC**, aux archives municipales, qui a expertisé et photographié les monnaies découvertes lors de la fouille.
- Pour le CNRS, **M. PATRICE COURTAUD** (UMR PACEA 5199) qui nous a accueilli pour la deuxième fois au sein du secteur de recherche en anthropologie du dépôt de fouilles de Pessac.
- Pour la société Paléotime, **M. BENOIT PARAVEL** qui a photographié le mobilier archéologique.
- Pour la société Archéosphère, **M. SYLVAIN PASTY** qui a réalisé le petit modèle 3D du cimetière de Mérignac et **M. DAVID COCHARD**, notre stagiaire, qui nous a fourni l'analyse spatiale des jeunes inhumés du cimetière médiéval.

Enfin, un immense merci à **M. Loïc DAULNY** (Archéosphère) qui a sué sang et eau pour faire en sorte que ce rapport, tel que dans sa présente version, existe.

FRANÇOIS LACRAMPE-CUYAUBÈRE  
Archéosphère,  
le 20 mars 2009.



# SOMMAIRE

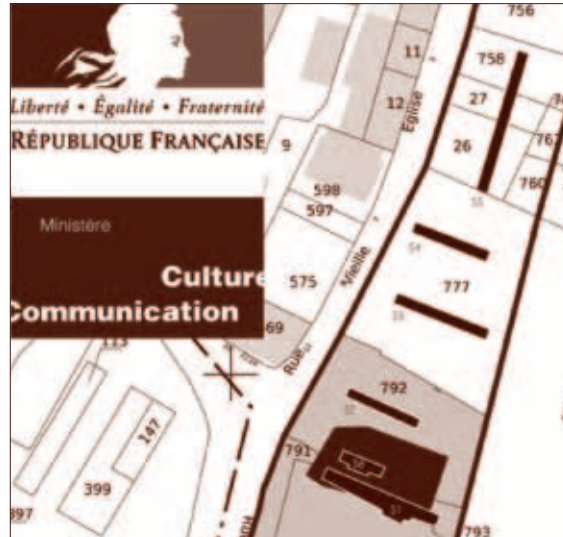
## CHAPITRES

<b>1</b>	Données administratives, techniques et scientifiques..	<b>9</b>
<b>2</b>	Introduction .....	<b>27</b>
<b>3</b>	Étude documentaire .....	<b>33</b>
<b>4</b>	Structures archéologiques et stratigraphie .....	<b>43</b>
<b>5</b>	Étude anthropologique .....	<b>91</b>
<b>6</b>	Étude des monnaies .....	<b>109</b>
<b>7</b>	Synthèse et conclusion.....	<b>119</b>
<b>8</b>	Références bibliographiques.....	<b>157</b>

## ANNEXES

<b>I</b>	Catalogue des sépultures .....	<b>163</b>
<b>II</b>	Dépôts secondaires.....	<b>239</b>
<b>III</b>	Détermination du sexe.....	<b>257</b>
<b>IV</b>	Liste des faits archéologiques.....	<b>261</b>
<b>V</b>	Liste des unités stratigraphiques.....	<b>267</b>
<b>VI</b>	Liste du matériel archéologique.....	<b>305</b>
<b>VII</b>	Rapport d'analyses <sup>14</sup> C .....	<b>311</b>





## DONNÉES ADMINISTRATIVES, TECHNIQUES ET SCIENTIFIQUES

# 1

## DONNÉES ADMINISTRATIVES, TECHNIQUES ET SCIENTIFIQUES

### 1

#### Fiche signalétique

##### Identité du site

Région	Aquitaine
Département	Gironde
Commune	Mérignac
Code INSEE	33281
Lieu-dit	ZAC Centre-ville
Adresse	Avenue du Maréchal Leclerc – Rue de la Vieille Église
Numéro Patriarche	24943
Cadastre	2008, Mérignac, section BV, parcelles 790, 791, 792 et 793
Coordonnées Lambert	Zone III
x	364.125
y	286.575
z	32 m NGF
Propriétaire du terrain	Bouygues Immobilier Bordeaux

##### L'opération archéologique

Arrêté de prescription	SF.07.050 en date du 24/05/2007
Arrêté d'autorisation et de désignation	2007-157 en date du 13/11/2007
Responsable de la fouille	CATHERINE RIGEADE
Opérateur	SARL Archéosphère, 73 bis rue de la Faïencerie 33300 BORDEAUX
Maître d'ouvrage	Bouygues Immobilier Bordeaux
Raisons de l'intervention	Aménagement immobilier
Surface fouillée	300 m
Dates d'intervention sur le terrain	du 19 novembre au 20 décembre 2007

## Résultats

<b>Chronologie</b>	Moyen Âge, Époque Moderne, Époque contemporaine
<b>Nature des vestiges immobiliers</b>	Cimetière médiéval comptant 25 individus pour 23 inhumations, cimetière moderne comptant 13 individus pour 13 inhumations, 21 silos, 3 fossés, 6 fosses, 1 puits, 1 structure en creux (possible-ment un puits), 12 assises de murs.
<b>Nature des vestiges mobiliers</b>	Ossements humains, céramique, objets métalliques, monnaies, faune
<b>Thème</b>	Le cimetière médiéval, le cimetière moderne
<b>Lieu de dépôt du mobilier</b>	Dépôt archéologique du SRA Aquitaine, lieu-dit « Les Échoppes », Pessac
<b>Lieu de dépôt des fonds documentaires</b>	SRA Aquitaine

# 2 Générique de l'opération

## Intervenants administratifs

<b>SRA</b>	PIERRE RÉGALDO-SAINT BLANCARD	Conservateur régional de l'Archéologie d'Aquitaine
<b>SARL Archéosphère</b>	CÉDRIC BEAUVAL	Directeur

## Intervenants techniques

<b>AQUITAINE TRAVAUX PUBLIC</b>	Mérignac, 33	Décapage mécanique, pelle 20 tonnes, 2 jours
---------------------------------	--------------	--

## Mise en œuvre de la fouille

<b>Responsable d'opération</b>	CATHERINE RIGEADE	Archéo-anthropologie
<b>Responsable de secteur</b>	VÉRONIQUE BISARO	Archéologie du bâti
<b>Topographie</b>	VÉRONIQUE BISARO, LOÏC DAULNY, FRANÇOIS LACRAMPE-CUYAUBÈRE	
<b>Technicien(ne)s de fouille</b>	JÉRÉMIE BALTZ	Archéo-anthropologie
	GWENHAËL GEORGET	
	LOÏC DAULNY	Stratigraphie

## Mise en œuvre de l'étude

Étude anthropologique	JÉRÉMIE BALTZ	
Étude documentaire	FLORENT MIANE, LOÏC DAULNY	
Étude archéostratigraphique	VÉRONIQUE BISARO, LOÏC DAULNY	
Étude numismatique	ROBERT-ANDRÉ SÉNAC	
Inventaire des céramiques	PIERRE RÉGALDO-SAINT BLANCARD	
Datations radiocarbone	BETA ANALYTIC INC.	Laboratoire privé, Miami (FL), É.-U.
Restauration monnaie	VALÉRIE MATILLA	Inrap GSO, Musée d'Aquitaine, Bordeaux, 33
	MARINA BIRON	Inrap GSO, Musée d'Aquitaine, Bordeaux, 33
Rédaction du rapport	VÉRONIQUE BISARO	
	JÉRÉMIE BALTZ	
	FLORENT MIANE	
	LOÏC DAULNY	
	CATHERINE RIGEADE	
Infographie, PAO	FRANÇOIS LACRAMPE-CUYAUBÈRE	

## Aménageur

BOUYGUES IMMOBILIER BORDEAUX	THIERRY SAINT-MÉZARD	Chargé d'opérations
	ALEXANDRE MOÏO	Chargé d'opérations



# 3 Documents administratifs

## Arrêté de prescription



### PRÉFECTURE DE LA RÉGION AQUITAINE

Direction régionale des  
affaires culturelles

Le Préfet de la région Aquitaine,  
Préfet de la Gironde,  
Officier de la Légion d'Honneur.

#### ARRETÉ N°SF.07.050

**VU** le code du Patrimoine, et notamment son livre V ;

**VU** le décret n° 2004-490 du 3 juin 2004, relatif aux procédures administratives et financières en matière d'archéologie préventive ;

**VU** l'arrêté préfectoral du 1<sup>er</sup> février 2006 donnant délégation de signature à Monsieur François Brouat, directeur régional des affaires culturelles ;

**VU** le projet de ZAC présenté par la Communauté urbaine de Bordeaux sur la commune de Mérignac et la demande volontaire de diagnostic en date du 23 décembre 2005 pour l'ilot 1 ;

**VU** les résultats de l'opération de diagnostic archéologique prescrite par l'arrêté n° SD.06.009 en date du 16 janvier 2006, dont le rapport a été remis au service régional de l'archéologie le 1<sup>er</sup> février 2007.

**VU** le courrier du 2 mars 2007 par lequel monsieur le vice-président de la Communauté urbaine de Bordeaux confirmait la poursuite du projet, faisant courir à compter de cette date un délai de trois mois pour l'édiction de mesures post-diagnostic d'étude ou de conservation ;

**VU** le courrier du 27 avril 2007, faisant suite à une réunion tenue le 16 avril 2007 entre la mairie de Mérignac, la Communauté urbaine de Bordeaux et le service régional de l'Archéologie, courrier par lequel monsieur le président de la Communauté urbaine de Bordeaux confirme qu'une promesse de vente à Bouygues Immobilier a été signée le 21 février 2007 et qu'un arrêté municipal en date du 6 mars 2007 a délivré le permis de construire ;

**CONSIDÉRANT** que la construction envisagée affecte, par sa localisation, sa nature et son importance, des éléments du patrimoine archéologique mis au jour durant l'opération de diagnostic susvisé, à savoir partie du cimetière médiéval de Mérignac ;

**CONSIDÉRANT** que l'avancement du projet ne permet pas de modifier son emprise de telle manière que les vestiges soient préservés ;

## ARRETE

**Article 1** : Une fouille d'archéologie préventive sera réalisée préalablement aux aménagements, ouvrages ou travaux portant sur le terrain sis en :

Région	<b>AQUITAINE</b>
Département	<b>GIRONDE</b>
Commune	<b>MÉRIGNAC</b>
Lieu-dit	<b>ZAC Centre-ville</b>
Adressé :	<b>Avenue du maréchal Leclerc, rue de la Vieille église</b>
Maître d'ouvrage :	<b>Bouygues Immobilier</b>
Propriétaire :	<b>Communauté urbaine de Bordeaux</b>

**Article 2** : La fouille sera exécutée conformément au cahier des charges annexé au présent arrêté.

En application de l'article L523-8 du code du Patrimoine susvisé, sa réalisation incombe au maître d'ouvrage de l'aménagement désigné à l'article 1 du présent arrêté. A cette fin, celui-ci fera appel soit à l'Institut National de Recherches Archéologiques Préventives (Inrap), soit à un service archéologique d'une collectivité territoriale ou à toute personne de droit public ou privé ayant reçu un agrément de l'Etat tel que prévu au chapitre IX du décret n° 2004-490 susvisé.

En application de l'article 40 de ce même décret, les conditions et modalités de réalisation de la fouille seront établies au travers d'un contrat passé entre le maître d'ouvrage de l'aménagement et l'opérateur qu'il aura choisi parmi les structures ou personnes citées à l'alinéa précédent. Ce contrat fixera notamment le prix et les délais de réalisation de l'opération de fouilles.

**Article 3** : Le contrat mentionné à l'article précédent devra, après signature des deux parties, être transmis par l'aménageur au préfet de région, assorti du justificatif de l'agrément de l'opérateur. Le préfet de région disposera d'un délai d'un mois à compter de la réception de ces éléments pour délivrer l'autorisation de fouille ou pour la refuser en cas de non-conformité du projet soumis au cahier des charges scientifique donné en annexe du présent arrêté. L'autorisation de fouille, assortie de la désignation du responsable scientifique de l'opération, sera délivrée par arrêté.

**Article 4** : Par ailleurs, l'espace piétonnier qui fera le lien entre l'espace bâti et le square de la vieille église sera aménagé sans aucun décaissement de plus de 50 cm de profondeur.

## ANNEXE

### **Mérignac, ZAC centre ville Cimetière de l'église Saint-Vincent**

#### **Cahier des charges de la fouille archéologique préventive**

##### **Emprise :**

L'espace considéré est une petite partie de l'emprise de la construction, une bande de 10 m de large parallèle au mur gouttereau nord de l'église et située entre 20 m et 30 m de lui. Cela correspond à la zone repérée par le diagnostic comme contenant des vestiges.  
Superficie totale : 300 m<sup>2</sup>

##### **Eléments de connaissance :**

Cette emprise correspond à la frange nord du cimetière paroissial de Mérignac. Le diagnostic mené par l'INRAP (Scuillor, 2007) a mis en évidence des sépultures de chronologies et de types variés : cercueils, coffres et sarcophages. La base des niveaux encaissants contient un peu de mobilier gallo-romain dispersé et une fosse ; il semblerait que l'occupation correspondante ne se trouve pas au nord de l'église, le diagnostic prescrit par l'arrêté SD.07 036 du 27 mars 2007 sur les îlots 3 et 4 de la ZAC pourrait la révéler. Cette partie du cimetière semble avoir été préservée par une construction moderne dont deux fondations ont été retrouvées lors du diagnostic.

##### **Eléments de problématique :**

Cette fouille permettra l'étude d'une des limites du cimetière. Le cas est peu fréquent, l'essentiel des fouilles menées dans ce contexte jouxtant les églises. C'est l'occasion d'observer les variations au fil des siècles des limites, du point de vue topographique (répartition des types de sépultures) mais aussi d'un point de vue de marquage physique : on sera particulièrement attentif aux traces anciennes de murs et/ou de fossés, voire de haies. D'après quelques visites paroissiales (A.D.Gir. G 639 et 652), un mur, attesté depuis 1664, clôturait ce cimetière ; en 1787, il était en mauvais état. On se reportera utilement à des plans anciens, et notamment au cadastre napoléonien. D'autres effets de marge peuvent aussi apparaître : moindre densité des sépultures, effets de niveaux superposés moins marqués, paupérisation des défunts, etc. On tentera de cerner ces aspects et on comparera avec les quelques données disponibles sur les fouilles anciennement menées sur ce site.

##### **Eléments de méthodologie :**

Les sépultures seront fouillées en entier, sans se limiter strictement à l'emprise déterminée, mais sans pour autant chercher à la dépasser. On procèdera aux observations taphonomiques et anthropologiques ainsi qu'aux relevés d'usage en la matière (contexte d'inhumation, détermination du sexe, de la classe d'âge, etc.) ; les ossements seront prélevés et disposés dans des conteneurs différenciés. Des relevés généraux permettront une approche de la gestion de l'espace cimetériel. Le diagnostic fait état de recoupements entre des tombes, on sera bien évidemment attentif à ces aspects stratigraphiques.

##### **Eléments techniques :**

###### *Profil du responsable d'opération et des spécialistes*

Le RO ou les spécialistes qui le secondent devront avoir des compétences affirmées en archéologie funéraire et une bonne connaissance du Moyen Age.

###### *Durée minimale prévisible de l'opération et composition indicative de l'équipe*

Un mois pour une équipe de 4 ou 5 personnes.

*Mesures à prendre pour la conservation préventive des vestiges mis au jour*

Il n'est pas attendu de vestiges sortant de l'ordinaire de ce genre de fouille. Les précautions usuelles devront être prises pour le mobilier.

En revanche, il est plausible que des datations C14 soient à mener sur certaines sépultures. Une provision correspondant à une dizaine de datations est à envisager. Les propositions devront être validées par le SRA.

*Délaï pour la remise du rapport final*

12 mois après la fin de l'opération de terrain, ce délai devant suffire pour recueillir les résultats d'éventuelles analyses ou datations (C14 en particulier) si elles se révèlent nécessaires.

Le rapport final d'opération et les archives de fouille seront remis conformément aux arrêtés du 16 septembre 2004 portant définition des normes d'identification, d'inventaire, de classement et de conditionnement de la documentation scientifique et du mobilier issu des diagnostics et fouilles archéologiques et du 27 septembre 2004 portant définition des normes de contenu et de présentation des rapports d'opérations archéologiques.



## Projet scientifique et technique d'intervention

### Annexe 1 - Méthodologie de l'opération

#### Phase de terrain

L'équipe de terrain sera constituée de cinq personnes. Le responsable d'opération sera un anthropologue habitué à la fouille de nécropoles médiévales. Nous souhaitons confier la direction de cette opération à Catherine Rigeade qui a soutenu une thèse en cotutelle des Universités de Turin et d'Aix-Marseille II sous la direction de M. Signoli et E. Rabino Massa. Elle sera chargée de définir la stratégie de l'opération et de faire le lien entre les différents acteurs de la fouille (aménageur, SRA, personnel). Elle guidera les techniciens afin d'appliquer la stratégie de fouille et réalisera l'enregistrement des données de terrain. Elle sera assistée par un archéologue ayant une bonne connaissance de la fouille et de l'enregistrement des structures funéraires, dont les compétences seront complémentaires. Trois techniciens formés à la fouille de sépultures et ayant de préférence une bonne connaissance des sites funéraires médiévaux viendront compléter cette équipe. Sacha Kacki et Cédric Beauval seront les interlocuteurs privilégiés pour le suivi scientifique et opérationnel au sein de la Société Archéosphère.

La première phase de l'opération consistera en un décapage mécanique de l'ensemble de la zone de prescription jusqu'à la côte d'apparition des vestiges. Ce décapage, d'une durée de deux jours, sera conduit par le responsable d'opération, secondé par un technicien. Une pelle mécanique (godet de curage lisse de 2 m) sera utilisée. Les déblais seront stockés en périphérie de la zone de fouille dans une aire convenue avec l'aménageur. Suite au décapage, un carroyage sera implanté par un topographe, afin de permettre le repérage en plan des structures archéologiques mises au jour.

L'opération de terrain, d'une durée de 20 jours ouvrés, débutera par un nettoyage manuel de la surface à fouiller. Suite au repérage des sépultures en surface seront respectées les étapes suivantes :

- fouille jusqu'à l'apparition des ossements, en prenant soin de suivre les limites de la tombe et de récupérer le matériel contenu dans son remplissage,
- fouille fine du squelette afin de le dégager suffisamment pour permettre les observations anthropologiques préalables au prélèvement,
- photographies générales de la sépulture et photographies de détail du squelette,
- enregistrement anthropologique : fiche de conservation, position générale du corps (orientation, position des membres, etc.), enregistrement des éventuels éléments architecturaux, face d'apparition des principaux ossements, interprétation du milieu de décomposition du cadavre, première estimation du sexe et de l'âge de l'individu, de ses possibles pathologies et caractères discrets,
- démontage du squelette (les ossements seront rassemblés par grandes unités anatomiques),
- prise des altitudes sous le squelette,
- nettoyage du fond de fosse afin de repérer la limite inférieure de la tombe,
- relevé en plan et en coupes (transversale et longitudinale) lorsque les limites de fosse sont repérées avec certitude.

La présence d'éléments architecturaux pourra légèrement modifier la méthodologie. Ainsi, dans l'hypothèse d'un contenant en bois conservé, celui-ci sera dégagé, photographié, relevé, et pourra éventuellement faire l'objet de prélèvements, avant la poursuite de la fouille. De même, les éléments mobiliers associés au défunt (bijoux, tissu, etc.) seront, dans la mesure du possible, laissés en place afin d'apparaître sur les photographies et relevés de la tombe.

Les sépultures seront fouillées dans leur intégralité, ce qui pourra donner lieu à certaines extensions de la fouille hors de l'emprise déterminée par le cahier des charges. Ces extensions seront néanmoins limitées au minimum nécessaire. Les relations stratigraphiques entre les différentes sépultures et autres structures seront précisées afin de permettre d'établir la chronologie du site et la chronologie relative des différents types de sépultures. Cette analyse cherchera également à mettre en évidence les conditions de désaffectation du cimetière.

Les cotes d'apparition et de fond des structures seront topographiées et des plans géoréférencés seront établis. Une station totale sera présente en permanence sur le site et à disposition du responsable d'opération afin que la fouille puisse évoluer rapidement. Le topographe viendra une journée par semaine pour le relevé des données contextuelles.

Les éventuelles structures domestiques repérées seront fouillées et relevés. Les fosses seront tout d'abord vidées par moitié afin de réaliser une coupe des niveaux sédimentaires les ayant remblayées. Le matériel issu de ces structures sera prélevé. Une extension de la fouille à la seconde moitié de la fosse sera réalisée lorsque cela s'avèrera nécessaire.

La fouille s'attachera à reconnaître la limite nord de cette aire funéraire et sa variation topographique au cours du temps. Ainsi, une attention toute particulière sera portée au repérage d'éventuels marqueurs physiques de cette délimitation (murs, fossés, trous de poteaux matérialisant une limite en matériau périssable, etc.).

Des algécos pour le travail sur site et le stockage du matériel avant son transit vers le dépôt de fouilles doivent être mis en place. Un bloc sanitaire devra également être installé. Des serres pour la protection des zones de fouilles seront également utilisées.

#### Phase de laboratoire

L'étude en laboratoire, d'une durée de 10 jours, sera réalisée par le responsable d'opération, Sacha Kacki (responsable Anthropologie au sein d'Archéosphère) et l'archéologue spécialisé. Les données recueillies sur le terrain (faits, US) seront enregistrées dans une base de données et les différents relevés seront informatisés afin de pouvoir les intégrer au rapport.

Les restes osseux découverts dans les sépultures feront l'objet d'une étude anthropologique. Celle-ci s'attachera à déterminer l'âge et le sexe des individus et à repérer les éventuels caractères discrets et pathologies. Les observations de terrain concernant les espaces de décomposition, les éléments architecturaux conservés et les positions des corps seront analysées, afin de proposer une caractérisation typologique, et si possible chronologique, des différentes sépultures mises au jour. Un catalogue des sépultures pourra être proposé en s'appuyant sur la base de données réalisée, qui servira d'outil analytique de l'ensemble des vestiges. Ce catalogue comprendra notamment une description archéologique de la sépulture, les observations taphonomiques qui auront pu être faite pour cet ensemble, ainsi que les observations anthropologiques. L'analyse post-fouille des vestiges se basera sur l'établissement d'une chronologie de la stratigraphie de ce cimetière, afin de cerner son fonctionnement (mise en place des inhumations, occupation de l'espace, gestion funéraire...).

Des datations C14 seront effectuées afin d'obtenir une chronologie la plus fiable possible des différentes phases d'inhumations rencontrées. Ces datations seront mises en regard de l'étude céramologique et de l'étude du mobilier métallique. Les objets métalliques mis au jour pourront, selon leur importance, bénéficier d'une stabilisation et d'une restauration.

Une étude documentaire, s'appuyant sur les documents cadastraux, notamment le cadastre napoléonien, visera à connaître l'extension et l'évolution de l'utilisation du cimetière. Ces documents seront confrontés à la documentation archéologique.

Le rapport, remis dans un délai de douze mois à compter de la fin de l'opération de terrain, contiendra l'ensemble des observations de terrain et des résultats de l'analyse post-fouille. Les données acquises lors des travaux antérieurs seront intégrées à l'étude et éventuellement réinterprétées, au regard des nouvelles informations obtenues. Il sera mis en forme selon les normes de contenu et de présentation des rapports d'opérations archéologiques telles qu'elles sont définies par l'arrêté du 27 septembre 2004, publié au J.O. du 14 octobre 2004.

Sacha KACKI, le 23 octobre 2007

**Arrêté d'autorisation et de désignation**

PRÉFECTURE DE LA RÉGION AQUITAINE

Direction régionale  
des affaires culturellesLe Préfet de la région Aquitaine,  
Préfet de la Gironde,  
Officier de la Légion d'Honneur,

COPIE

Arrêté n° **2007-157** portant autorisation de la fouille d'archéologie préventive  
prescrite par arrêté SF.07.050 en date du 24/05/2007

**VU** le Livre V du Code Patrimoine, notamment l'article L. 523-9 ;

**VU** le décret n° 2004-490 du 3 juin 2004 relatif aux procédures administratives et financières en matière d'archéologie préventive, notamment les articles 41 et 42 ;

**VU** l'arrêté préfectoral du 1er juin 2007 donnant délégation de signature à Monsieur François Brouat, directeur régional des affaires culturelles ;

**VU** l'arrêté n° SF.07.050 en date du 24/05/2007 édictant les prescriptions afférentes à la réalisation d'une fouille d'archéologie préventive ;

**VU** le contrat en date du 29/10/2007 conclu entre Bouygues Immobilier et la société Archéosphère pour la réalisation de la fouille d'archéologie préventive prescrite par l'arrêté n° SF.07.050 sus-visé ;

**CONSIDERANT** que le contrat sus-visé est conforme aux prescriptions scientifiques édictées par l'arrêté n° SF.07.050 ;

**ARRETE**

**Article 1 :** Bouygues Immobilier est autorisé à procéder à la réalisation de la fouille d'archéologie préventive prescrite par arrêté n° SF.07.050 selon les termes du contrat conclu avec la société Archéosphère. Celle-ci exécutera les fouilles conformément aux décisions prises et aux prescriptions imposées par l'Etat et sous la surveillance de ses représentants, en application des dispositions du livre V du Code du Patrimoine.

**Article 2 :** Madame CATHERINE RIGEADE, domiciliée 3 rue Jules Moulet 13960 SAUSSET LES PINS, est désignée comme responsable scientifique de l'opération de fouille qui se déroulera du 15/11/2007 au 31/12/2007.

**Article 3 :** Le directeur régional des affaires culturelles est chargé de l'exécution du présent arrêté qui sera notifié à Bouygues Immobilier et à Madame CATHERINE RIGEADE.

Fait à Bordeaux, le 13/11/2007

Pour le Préfet de la région Aquitaine et par délégation,  
Pour le directeur régional des affaires culturelles et par subdélégation,  
Le conservateur régional de l'archéologie

Dany BARRAUD

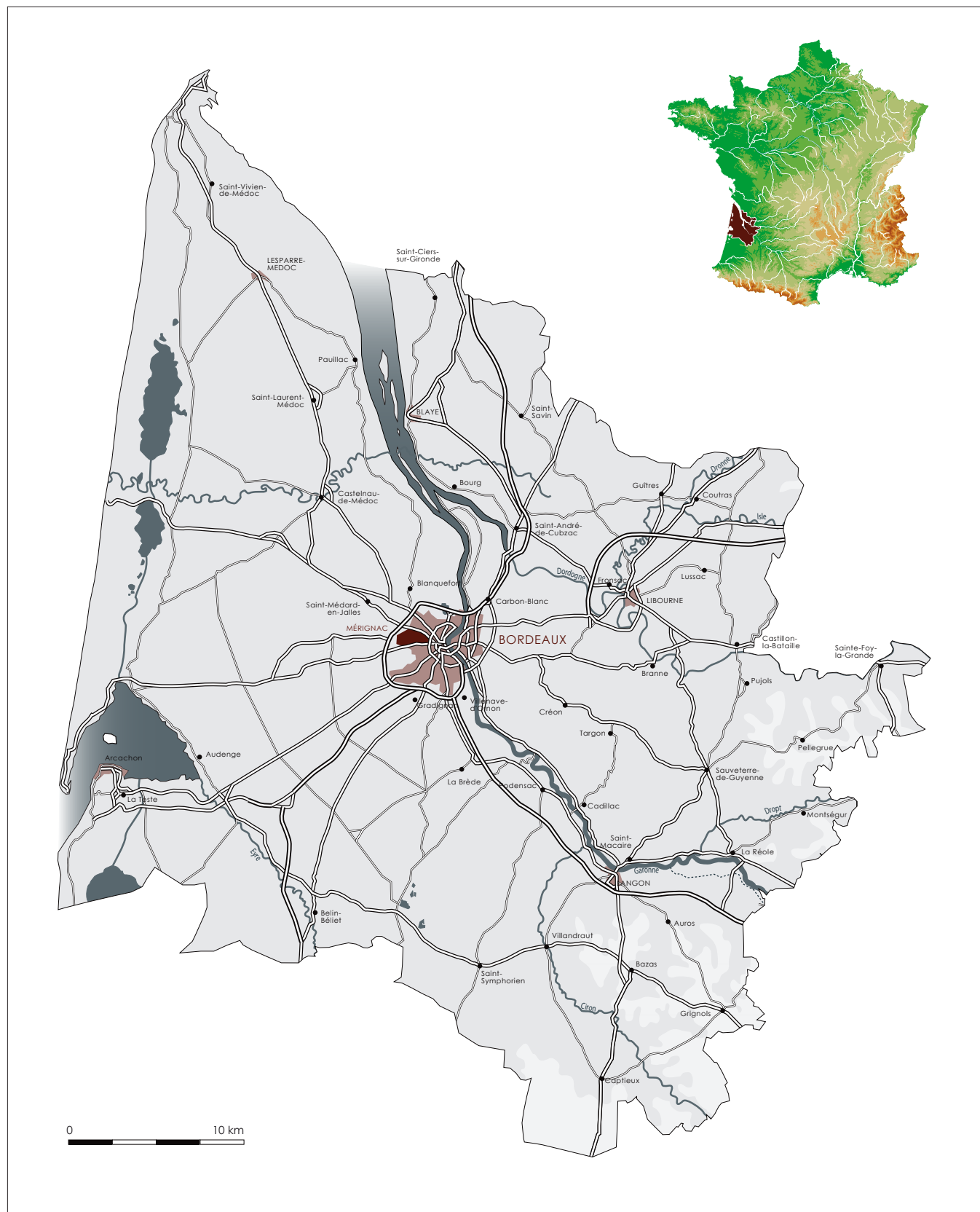
## Copies à :

Mairie(s) de MERIGNAC  
Gendarmerie(s) de MERIGNAC  
Préfecture de la Gironde

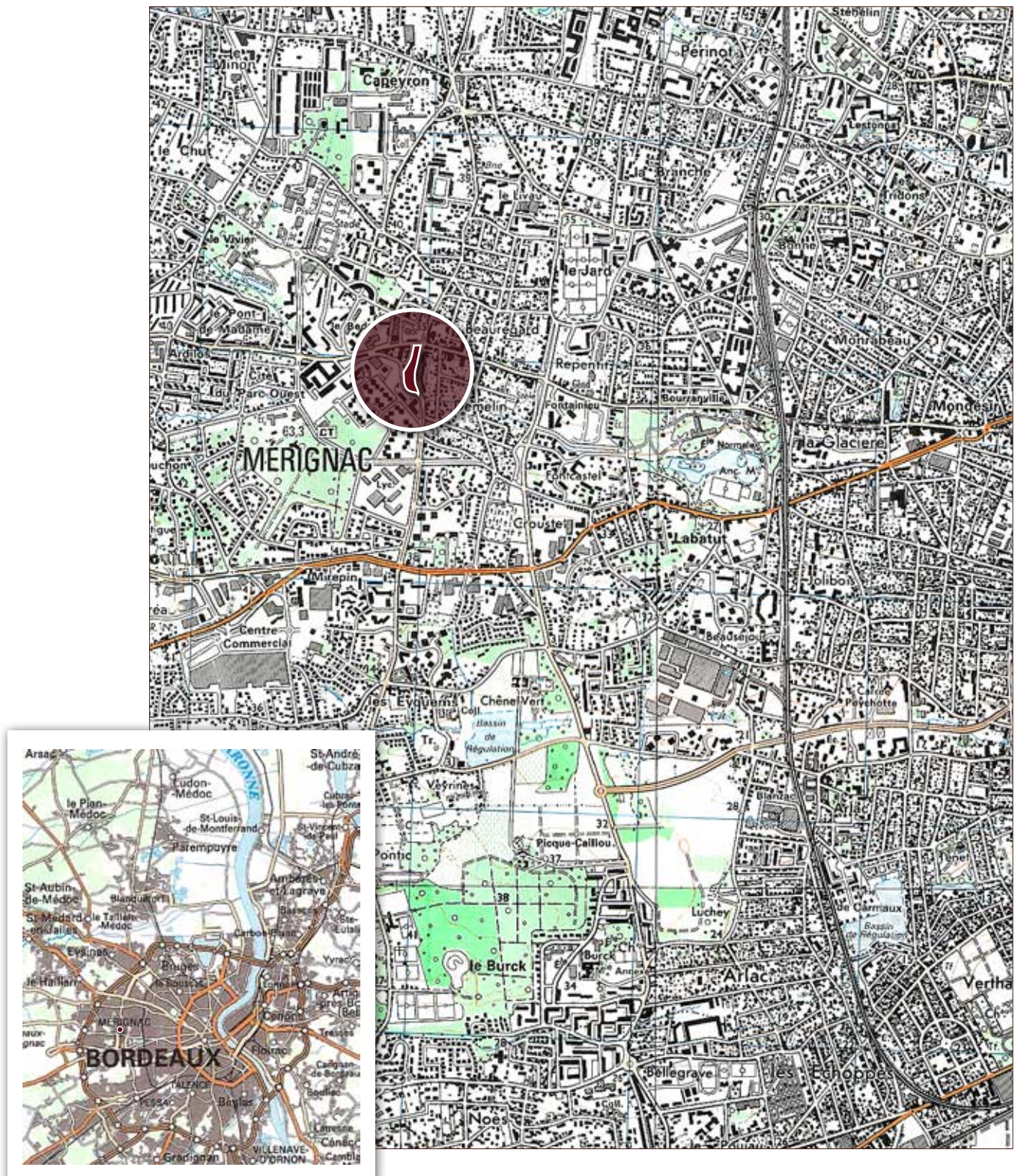
Préfecture de la Région Aquitaine  
Direction régionale des affaires culturelles  
(service régional de l'archéologie)  
La Société Archéosphère

4, Esplanade Charles-de-Gaulle - 33000 BORDEAUX - Téléphone 05 56 90 60 60 - Télécopie 05 56 24 08 03

# 4 Cartes

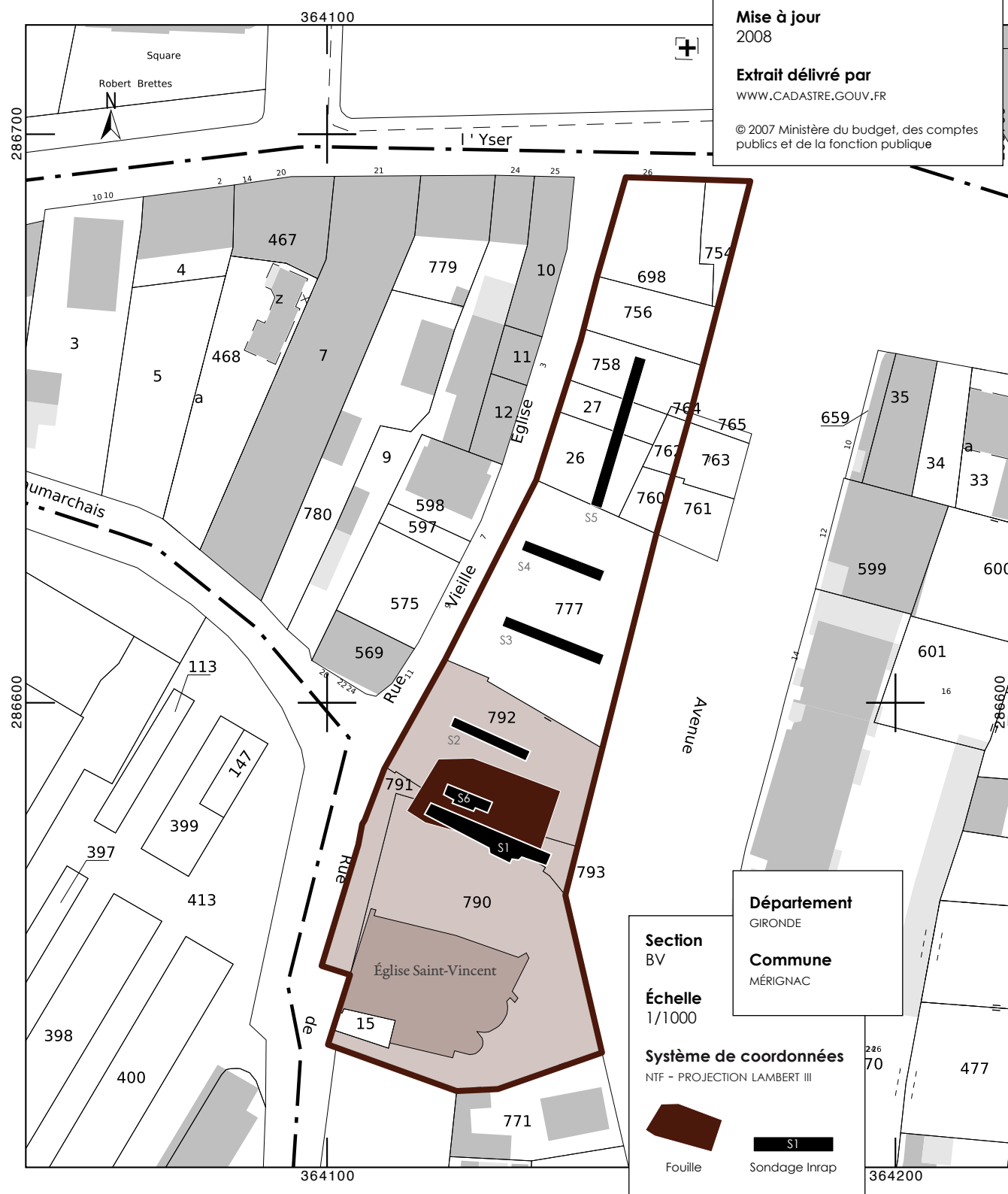








# 5 Extraits cadastraux



## 6 Notice scientifique

La parcelle du cimetière de l'église Saint-Vincent de Mérignac se situe parallèlement au mur gouttereau nord de l'église entre l'Avenue du Maréchal Leclerc et la rue de la Vieille église. La zone explorée, d'une surface de 300 m<sup>2</sup>, avait été repérée lors d'un diagnostic réalisé en **2007 (SCUILLER 2007)**. Face à la présence de nombreuses structures funéraires datées du Moyen Âge à la période moderne la fonction cimetériale de cette parcelle fut aussitôt révélée.

L'opération de fouille a été réalisée durant cinq semaines en novembre et décembre **2007**. L'occupation de la parcelle commence réellement aux XI<sup>e</sup>–XII<sup>e</sup> siècles comme l'indique la présence de quelques inhumations associées à un fossé. Un niveau d'occupation, dans le secteur nord de la zone de fouille, présentant une série de fosses circulaires pouvant être interprétées comme des silos, est très certainement contemporain de cette première phase.

Les structures funéraires mises au jour sur la parcelle se répartissent de part et d'autre d'une limite rectiligne orientée est/ouest, matérialisée par deux fossés, un talus puis un mur qui se juxtaposent successivement au même endroit.

Au nord de cette limite, qui semble être le mur de clôture du cimetière de l'église Saint-Vincent, par ailleurs mentionné par les archives historiques, les inhumations se sont établies du XI<sup>e</sup> au XV<sup>e</sup> siècle d'après les céramiques et les datations <sup>14</sup>C. Ces dernières, réalisées sur les ossements humains, donnent une fourchette chronologique comprise entre le XI<sup>e</sup> et le XIII<sup>e</sup> siècle. Ces inhumations (23 inhumations individuelles et une inhumation double) ne présentaient aucun aménagement particulier, toutes en pleine terre, orientées ouest-est, et toutes dépourvues de matériel à l'exception d'une seule dans un coffre funéraire en pierres jointives. Au total, ce sont 25 sujets adultes et 12 immatures qui ont été retrouvés sur ce site.

En revanche au sud de cette clôture, un ensemble de 13 sépultures mises en place durant la période moderne, voire le XIX<sup>e</sup> siècle, ont été repérées. Pour la plupart d'entre elles, il ne subsiste des individus inhumés que quelques connexions en place. Il s'agit d'inhumations en cercueil et/ou en linceul attestés par la présence in situ d'épingles et de clous. Enfin le grand nombre d'ossements découverts en position secondaire au sud du mur, à proximité immédiate de celui-ci, laisse supposer qu'une partie du cimetière est détruite lorsque la parcelle perd son usage funéraire avec l'implantation successive de plusieurs bâtiments au XX<sup>e</sup> siècle.

## 7 Méthodologie

La fouille de la partie sud de la parcelle 775 de la section BV du cadastre de **1965** de Mérignac a débuté par l'implantation de la zone à fouiller. Un rectangle d'environ 25 m sur 13 m a été établi parallèlement à la façade nord de l'église Saint-Vincent et à environ 20 m de cette dernière. Le décapage de la zone a été effectué ensuite avec une pelle mécanique à godet lisse de 1,80 m de large. Des structures bâties sont apparues à environ 0,20 m de la surface et ont été conservées dans la partie sud de la fouille. La partie nord a été décapée jusqu'à l'apparition des squelettes dont les fosses sépulcrales n'ont pas été repérées plus haut. Une fois la partie sud traitée, deux tranchées parallèles y ont été creusées à la pelle mécanique afin de compléter les observations stratigraphiques.

L'enregistrement des unités stratigraphiques (US) et unités stratigraphiques construites (USC) a donné lieu à une numérotation en continu (de 1001 à 1239). Certaines de ces unités ont été regroupées en faits numérotés de 101 à 143 et accompagnés d'un sigle permettant de les caractériser : M pour mur ; ST pour structure ; FS pour fosse ; FO

pour fossé. Une numérotation de fait indépendante a été établie pour les sépultures, de SP 1 à SP 36. Les unités stratigraphiques déterminées ont été décrites, photographiées, calées en altimétries et topographiées en plan ou en coupe avec une station totale. Les coupes ont été établies de façon à quadriller la zone de fouille. Ainsi, six coupes ont été relevées dans l'axe nord/sud et deux dans l'axe est/ouest.

## 8 Contraintes

Le décapage de la partie nord de la zone de fouille a été réalisé jusqu'à l'apparition des squelettes ou des fosses au niveau du substrat. Le creusement de nombreuses structures n'étant pas visible dans les remblais supérieurs, il n'a pas toujours été possible de les situer stratigraphiquement par rapport aux niveaux supérieurs.

Le contexte météorologique a fortement influencé la détermination du critère compact/meuble, notamment pour l'enregistrement des unités stratigraphiques en berme. Les pluies des trois premières semaines ont eu tendance à ameublir le sédiment et à l'inverse, le gel des deux dernières semaines l'a rendu très compact.

Les nombreuses perturbations récentes observées dans la partie sud de la fouille ont donné lieu à des unités stratigraphiques essentiellement dissociées selon le critère «perturbé» ou «en place» ■







# INTRODUCTION

LOÏC DAULNY

### 1 Contexte et état des lieux

Le projet de construction d'un immeuble dans le centre de Mérignac a entraîné une campagne de six sondages réalisée par **CHRISTIAN SCULLER** (Inrap) en 2006. L'emprise immobilière couvrait trois parcelles situées entre l'Avenue du Maréchal Leclerc et la rue de la Vieille Église, à proximité immédiate de l'église Saint-Vincent de Mérignac.

Cette opération de diagnostic a permis, dans sa partie méridionale, de confirmer la présence du cimetière moderne et du cimetière médiéval, fortement présumée d'après les sources historiques et les résultats des interventions archéologiques menées à l'intérieur et à proximité de l'ancienne église Saint-Vincent (**SAUTREAU 1981 ; GÉ in SCULLER et al. 2007**).

Ainsi, le sondage 1 de l'Inrap a mis au jour des vestiges des deux ensembles avec, pour l'époque médiévale, deux coffres funéraires en pierres jointives, dont un avec un couvercle monolithe, et une dizaine de structures funéraires de type cercueil pour le cimetière moderne.

Le sondage 6, quant à lui, révéla uniquement des témoins de l'ensemble funéraire médiéval avec quatre inhumations, dont un coffre funéraire en blocs jointifs.

En l'absence d'élément mobilier caractéristique, et d'après la typologie générale des structures et la stratigraphie du sondage 1, les coffres funéraires furent attribués à l'époque médiévale voire au début de la période moderne et les cercueils à un large XVII<sup>e</sup>–XIX<sup>e</sup> siècles. Le niveau funéraire du sondage 6 (US 2), associé à des inhumations en pleine terre et également à des coffres funéraires, a révélé un matériel céramique assez homogène, rattaché à la période médiévale, dont de la céramique peinte à pâte blanche que l'on situe localement autour du XIII<sup>e</sup> siècle (*ibid.*).

### 2 Problématique générale

La mise en place du cimetière de Mérignac semble se placer après le haut Moyen Âge, période marquant l'évolution de la place des défunts dans la société. Elle se traduit concrètement par le rapprochement des zones funéraires autour des lieux d'habitation et surtout des édifices religieux, la protection des lieux d'inhumation, une simplification des in-



humations et s'accompagne d'une affirmation de la paroisse, qui devient une circonscription territoriale nettement délimitée, encadrant les vivants et les morts, aboutissant à terme à l'établissement du cimetière paroissial chrétien.

Les thèmes majeurs abordés dans le cadre de cette étude sont donc :

- la gestion de l'espace funéraire,
- la sociologie du rapport entre les vivants et les morts,
- la structuration de la population et de ses pratiques funéraires.

### **3 Objectifs de la fouille et de la présente étude**

Le secteur fouillé s'étendait sur une superficie de 300 m<sup>2</sup>, à proximité immédiate de l'ancienne église Saint-Vincent et correspondait à la frange nord du cimetière paroissial de Mérignac.

En plus de préciser notre connaissance sur l'histoire locale du centre de Mérignac, la fouille de cette parcelle, couplée aux analyses documentaire, archéologique et anthropologique devait permettre d'appréhender :

- la gestion et l'évolution de ce cimetière au cours du temps, et ce jusqu'à la fin de son activité,
- le développement de l'espace urbain à sa périphérie et à sa suite, jusque très récemment.

Pour ce dernier point en effet, et à titre d'exemple, l'école Suzanne-Debrat était encore en activité sur cette parcelle jusqu'en 2001, sa destruction n'intervenant qu'au cours des années 2004–2005.

Bien que se souvenant du caractère non exhaustif de la fouille préventive de ces ensembles cimétériaux, des contraintes inhérentes à ce type d'exercice et des conséquences en terme de représentativité qui en découlent, ainsi que des états de conservation des différents matériels exhumés, l'on tentera néanmoins de poursuivre les objectifs exposés ci-après.

#### **Caractérisation, phasage et ancrage chronologique du cimetière**

L'étude de cette espace funéraire s'attachera, tout d'abord, à déterminer si ce cimetière fut utilisé en continu, puis à dégager

ses caractéristiques lors de chacune des phases d'occupation mises en évidence.

### **Reconnaissance de la structure et de la gestion du cimetière**

L'analyse spatiale de cette aire d'inhumation, à travers son étendue, le nombre d'inhumations, l'alignement ou non des sépultures, l'organisation par secteurs ou lots et l'existence de délimitations, associée à l'étude des pratiques funéraires (les inhumations multiples, les réouvertures de tombes, la présence ou non d'éléments de signalisation), nous renseignera sur la structuration et la gestion d'entretien du cimetière au cours du temps.

### **Perception de la structure de la population inhumée**

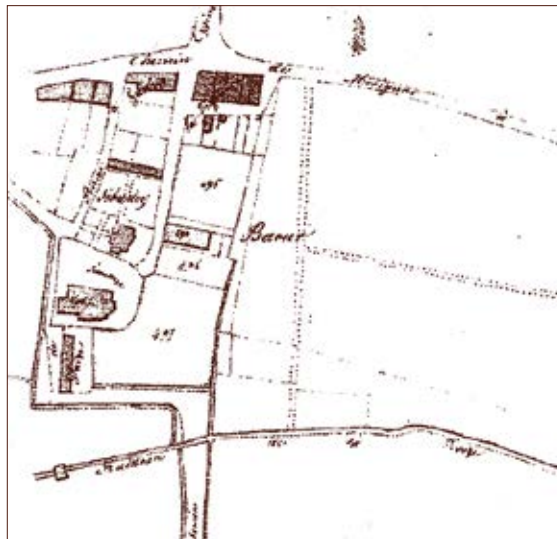
La présence de possibles pratiques funéraires spécifiques, positions du corps et orientations différentielles, nous informera peut-être de la présence de sous-groupes au sein de la population.

De la même manière, le mode de recrutement de l'ensemble funéraire, bien que difficile à appréhender, nous permettra éventuellement de mettre en valeur des regroupements, des partitions ou des exclusions au sein de la population inhumée.

Enfin, la caractérisation des conditions sanitaires, et l'étude de la répartition spatiale des différents individus selon leur statut biologique, apporteront également des informations quant à la structuration sociale des populations en présence ■







## ÉTUDE DOCUMENTAIRE



FLORENT **MIANE**  
LOÏC **DAULNY**

# 3

## ÉTUDE DOCUMENTAIRE



FLORENT MIANE  
LOÏC DAULNY

### 1 Objectifs

Si l'on souhaite percevoir l'évolution, dans le temps et dans l'espace, des différents ensembles cimétériaux découverts lors de la fouille, l'identification des éléments bâtis également mis au jour est un élément essentiel. Dans le sens où leur emprise circonscrit, contraint ou borne les zones d'inhumation, leur propre évolution, en termes d'extension ou de remploi par exemples, participe à la transformation de l'espace funéraire.

Ainsi, outre la connaissance des références historiques propres aux cimetières eux-mêmes, la compréhension de l'évolution des bâtiments et murs de clôture est l'une des clefs qui va nous permettre de phaser les uns par rapport aux autres les différents éléments sépulcraux découverts, et par là de compléter, avec le plus de netteté possible, l'histoire de ces cimetières.

La présente étude de documents se place donc dans cette perspective. Croisant essentiellement des sources textuelles, cartographiques et archéologiques, son organisation reflète la problématique : l'on présentera successivement, dans leurs évolution chronologique, topographique et fonctionnelle, les trois espaces qui encombrant l'emprise fouillée et ses alentours, à savoir :

- le cimetière en lui-même, dans son extension et dans sa relation avec l'église Saint-Vincent,
- le bâtiment que l'on a dénommé ici, par commodité, la « Maison Sibadey », dans ses remplois successifs (presbytère, bâtisse privée, bâtiment public),
- la récente Maison du Combattant.

Précédant dans le temps ces trois éléments dont l'histoire, prise dans sa globalité, s'étage du haut Moyen Âge jusqu'au XXI<sup>e</sup> siècle, l'on fera au préalable également mention d'un espace antique reconnu sous le sol de l'église. Bien que la reconnaissance des signaux archéologiques de sa présence, soumise à prescription à la suite des différents diagnostics effectués par les équipes de l'Inrap, s'est, comme on le verra par la suite, révélée infructueuse, le rapide exposé de cette occupation gallo-romaine, apparaissant comme marginale dans le cadre de notre problématique globale, permettra néanmoins de borner en amont ce que l'on sait sur l'ensemble de l'histoire de ce groupement parcellaire.

## 2 Les espaces

### L'habitat gallo-romain

Le sol de l'ancienne église romane Saint-Vincent a fait l'objet d'opérations archéologiques (fouilles et sondages) dans les décennies 1970/1980 par **SAUTREAU**. Les fouilles de l'église concernaient l'abside, l'absidiole sud, la croisée du transept et la partie orientale de la nef. Ces fouilles ont révélé la présence de mobilier et de structures construites de l'époque antique (murs, sols de béton de tuileau...) [**SAUTREAU 1981**].

Sous un sol argilo-sableux descendant à un mètre sous le niveau actuel, apparaissait un sol de béton de tuileau posé sur un radier de moellons. Trois fragments de murs d'orientation nord-sud ont été observés dans les niveaux anciens à la hauteur de l'abside et sur les parties est et ouest de la croisée du transept. Ils ont été identifiés par Sautreau comme les restes d'une villa gallo-romaine. D'après **ROGER-ANDRÉ SÉNAC (2007)**, ces vestiges témoigneraient davantage d'une construction rurale de moindre envergure que de la riche villa gallo-romaine éponyme de la ville (hypothèse *Matriniacum*/Mérignac).

Le mobilier archéologique qui a pu être chronologiquement ancré dans la période concernée consistait en des fragments de céramiques communes attribuées aux I<sup>er</sup>, II<sup>e</sup> et III<sup>e</sup> siècles, un fragment de céramique à décor ondé et une fibule à charnière de type AUCISSA du I<sup>er</sup> siècle, un fragment de céramique à décor peigné du III<sup>e</sup> siècle ainsi qu'une monnaie de **VALENTINIEN II** (371-392) [**SAUTREAU 1982**].

Enfin, « *durant l'été 2006, une courte intervention sur le chantier du tramway bordelais, dont le tracé coupe partiellement l'ancien cimetière à l'est de l'église, a permis de saisir quelques structures archéologiques. [...] La présence de matériel antique en place dans une couche ou dans une structure non appréhendée, souligne l'extension de l'occupation gallo-romaine au moins jusqu'à la zone concernée* » (**GÉ 2006 in SCUILLER et al. 2007**).

### L'église romane Saint-Vincent et son cimetière

**L'église à l'époque médiévale (XI<sup>e</sup>–XII<sup>e</sup> siècles).** L'ancien cimetière de Mérignac dépendait de l'église Saint-Vincent de Saragosse. Selon une hypothèse soulevée par **HIGOUNET** les reliques du

Saint transférées de Saragosse à Paris au VI<sup>e</sup> siècle par le roi **CHILDEBERT** ont occasionné à leur passage la floraison de nombreux oratoires dont l'un serait à l'origine de l'ancienne église de Mérignac (*cité par RÉGALDO-SAINT BLANCARD*).

Bien que sur un plan architectural, les parties les plus anciennes de l'église soient datées du XI<sup>e</sup> siècle (**SAUTREAU 1981 in SCUILLER et al. 2007**), la plus ancienne mention de l'église est issue d'un document daté du XII<sup>e</sup> siècle, provenant du chapitre de l'église Saint-Seurin de Bordeaux (**BRUTAILS 1897**). Cet auteur relève :

- la confirmation par l'archevêque **ARNAUD** des droits de Saint-Seurin sur l'église de Mérignac (1102-1130) [p. 23] ;
- l'abandon de l'emplacement de l'église de Mérignac au profit de Saint-Seurin (1102-1130) [p. 25] ;
- la sentence arbitrale de l'archevêque **ÉLIE**, attribuant au prieuré de Comprian l'église de Mérignac, à charge de payer au chapitre un cens de vingt sous (1193) [p. 169].

### **Le cimetière**

Haut Moyen Âge

D'après les fouilles **SAUTREAU** (*op. cit.*), une première phase, précédant la construction de l'église, est attribuée au haut Moyen Âge d'après des structures funéraires (coffres composites, sarcophages). Le sol de béton de tuileau (*cf. supra*) est percé par le creusement de sépultures dont l'une, dans l'absidiole, est datée au <sup>14</sup>C de 770 après J.C. Ce niveau descend à 1,60 m de profondeur. L'abside contient seize sépultures, l'absidiole sud trois, le transept sud treize et la croisée un sarcophage contenant deux individus (un adulte et un immature) et dont l'extrémité, brisée, se trouve englobée par le mur de fondation de l'église. Ce sarcophage était recouvert d'un fragment de couvercle en bâtière.

Le mobilier attribué à cette période comprend un denier de **LOUIS LE PIEUX** roi d'Aquitaine en 781 et empereur d'occident en 814-840.

Moyen Âge classique

Les sondages de **THIERRY GÉ** font état d'un « *niveau récent de tombes en cercueil, dont les implantations recoupent nettement un niveau funéraire plus ancien (non daté)* » (**GÉ 2006 in SCUILLER et al. 2007**).

Lors des interventions de **SAUTREAU** (*cf. supra*), ces deux phases avaient précédemment été observées à l'intérieur de l'église Saint-Vincent. Ces deux phases témoignent d'inhumations qui vont se succéder du Moyen Âge à la fin du XVIII<sup>e</sup> siècle. L'étude stratigraphique montre deux niveaux de sols composés de carreaux de céramique, l'un actuel, recouvrant l'autre.



Le mobilier comprend une plaque couvercle de cuivre doré, champlevé et émaillé attribué au XIII<sup>e</sup> siècle ainsi que près de 200 monnaies datées du XII<sup>e</sup> siècle à la période actuelle (**SAUTREAU 1982**), témoignant de cette longue et constante accrétion.

#### Époque moderne (XVII<sup>e</sup>–XIX<sup>e</sup> siècles)

Les archives départementales de la Gironde conservent deux textes faisant état du cimetière de Mérignac. Ce sont des procès verbaux de visites présentant les objets appartenant à l'église, de l'état de celle-ci ainsi que celui du cimetière s'y rattachant. Le premier texte daté du 5 mai 1664 décrit un cimetière « *fermé & murailé* » en bon état (Archives départementales de la Gironde, G 639 fol. 267). Il mentionne à proximité la présence d'une maison appartenant au vicaire.

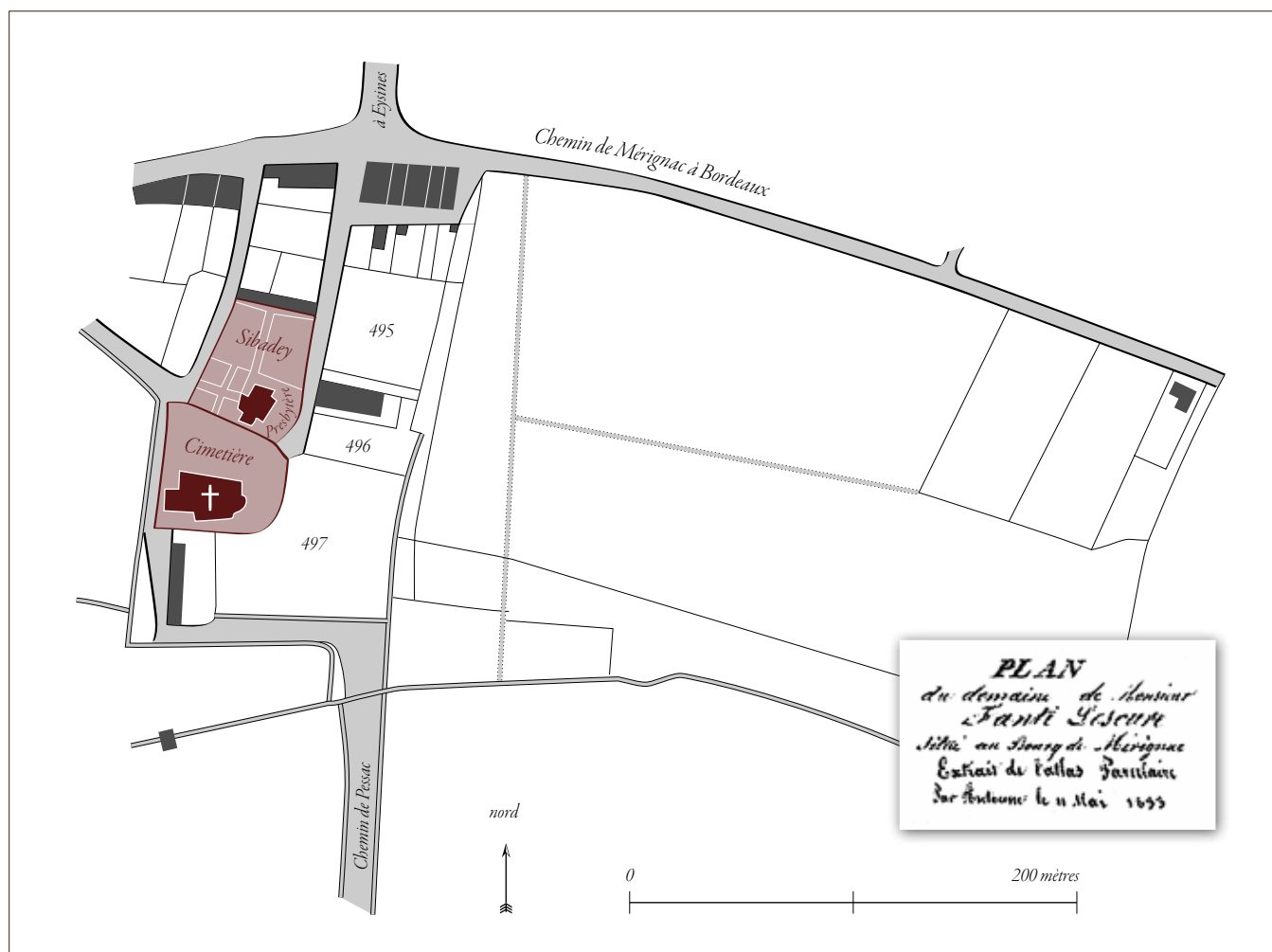
Le second, daté de 1787, plus long, décrit au chapitre XXXII le cimetière en ces termes : « *Procédant à la visite du cimetière, nous avons remarqué qu'il est entouré de muraille dont une partie est tombée, qu'il ne se ferme pas à clef, qu'il est entouré de l'Église, qu'il n'a pas de grille à l'entrée, qu'il y a une croix de pierre au milieu, qu'il n'y a pas de place séparé pour les jeunes Enfants baptisés, qu'il y a un terrain pour enterrer les Enfants morts sans Baptême ; & sur notre Enquis a été répondu qu'on brûloit les herbes & épines qui y croissent, qu'on n'y tient pas de marché, & qu'il n'y a pas de chemin public, que cependant on y a fait un passage journalier* » (Archives départementales de la Gironde, G 652).

Les deux plus anciens plans faisant état du cimetière de manière précise sont conservés aux archives municipales de Mérignac. Il s'agit du cadastre napoléonien (1811) et d'une copie de celui-ci réalisé en 1833 (**FIGURE 1**, page suivante). D'après celui-ci, le cimetière s'étend à cette époque sur toute la périphérie de l'église Saint-Vincent, ce qui avait été par ailleurs été confirmé par les sondages de **GÉ**, à l'occasion des travaux du tramway à l'est de l'église (voir **FIGURE 2**, *infra*).

Enfin, d'après un ancien résident riverain de l'église, le mur de soutènement de l'ancien cimetière comportait des fragments de sculptures (**SÉNAC op. cit.**).

#### La fin du cimetière (1853)

Le cimetière, paroissial puis communal, cesse son activité en 1853 alors qu'il est utilisé au-delà de ses capacités. On enterre dans les allées et à moins d'un mètre de la surface du sol. Des morceaux de cadavre sont déterrés par les chiens errants et retrouvés en ville. Les restes sont transférés une vingtaine d'années plus tard dans le nouveau cimetière de Mérignac. Enfin, une esplanade remplace l'ancien cimetière côté nord.



**FIGURE 1** Extrait de l'atlas parcellaire de 1833, repris d'après le cadastre napoléonien de 1811. Sont mis en évidence l'emprise du cimetière et le domaine Sibadey à cette époque.

### **L'ancienne Maison Sibadey (début indéterminés-1870)**

Ce bâtiment, dont la date de construction est inconnue, est connu sous le nom de Maison Sibadey et sera détruit en 1870. Il servira successivement de presbytère, de maison privée, de mairie avec ses annexes et enfin d'école publique de filles (**FIGURE 2, ci-contre**).

### **Presbytère communal concordataire (début indéterminés-1790).**

La première mention de ce bâtiment le présente comme le presbytère de la paroisse. Il garda cette fonction jusqu'en 1790, date de la fuite du prêtre réfractaire.

**Maison Sibadey (1790-1839).** En 1790, le prêtre réfractaire s'étant enfui, le presbytère de l'Ancien Régime est vendu à un particulier. Il devient la maison Sibadey du nom de son propriétaire **VINCENT SIBADEY**.

En 1794, l'église est transformée en temple de la raison. En 1802, avec les lois du concordat, les collectivités territoriales sont tenues d'assurer le logement des ministres du culte. En 1839, à la suite du décès de **V. SIBADEY**, l'Administration municipale achète la maison Sibadey dans le but de la transformer



en presbytère pour l'arrivée d'un nouveau curé. Celui-ci est cependant logé dans une autre maison qui lui est cédée.

**Bâtiment de service public (1839–1852).** La maison Sibadey sera finalement transformée en première mairie et ses annexes en 1839. Puis elle servira d'école.

**École Suzanne-Debrat (1852–2001, destruction 2004–2005).**

La superficie couverte par l'ancienne propriété Sibadey était représentée en dernier lieu par :

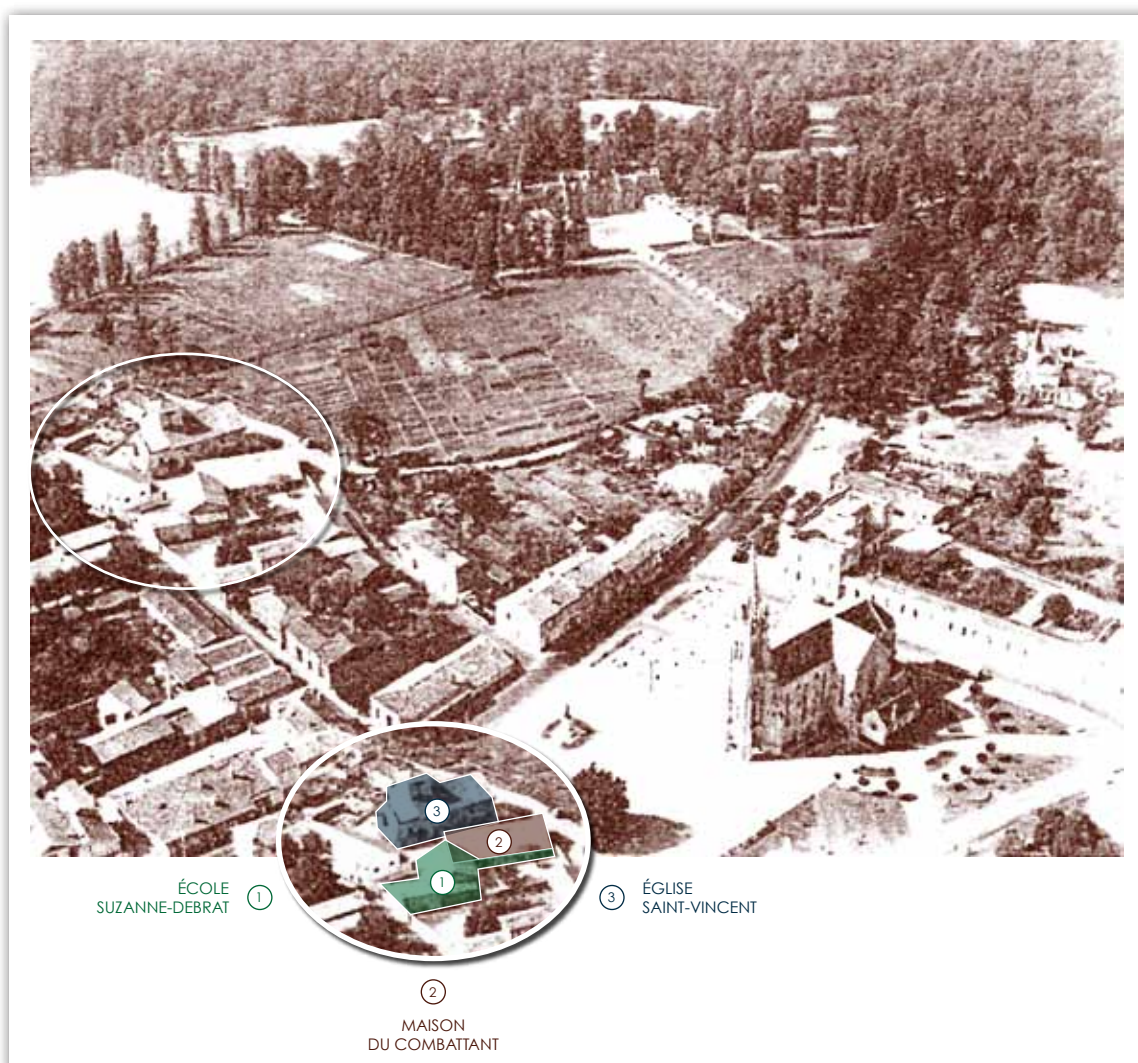
**FIGURE 2** Localisation des trois espaces (cimetière, Maison Sibadey, Maison du Combattant).

- au nord, l'École (privée) Sainte-Marie (1861–1998) ;
- au sud, l'École (publique) Suzanne-Debrat (1852–2001). Dans les années 1870, la Maison Sibadey est détruite, l'école communale de filles étant alors vétuste. Cette dernière est reconstruite et agrandie. L'école publique de garçons est située dans l'église. Enfin, l'École Suzanne-Debrat est détruite en 2004-2005.

#### Local des services techniques, puis Maison du Combattant (début XX<sup>e</sup> siècle–2005)

Au début du XX<sup>e</sup> siècle, un local est construit au sud de l'école Suzanne-Debrat. Il est édifié sur une partie de l'emprise de l'esplanade qui avait remplacé l'ancien cimetière côté nord. Il sert de hangar pour les services techniques (ambulance et camion benne, stockage de pièce d'aviation pendant la première guerre mondiale) puis accueille les bureaux des services techniques (sert au ravitaillement pendant la seconde guerre mondiale) [FIGURE 3]. Il prend en 1976 le nom de Maison du Combattant. Cette dernière est détruite en 2004-2005 ■

**FIGURE 3** Cliché aérien montrant la vieille église Saint-Vincent, l'école Suzanne-Debrat et la Maison du Combattant (vers 1955, vu de puis le nord-est, d'après SÉNAC 2007.









&

## STRUCTURES ARCHÉOLOGIQUES STRATIGRAPHIE

VÉRONIQUE **BISARO**



# 4

## STRUCTURES ARCHÉOLOGIQUES & STRATIGRAPHIE

VÉRONIQUE BISARO

**L**A FOUILLE DU CIMETIÈRE de l'église Saint-Vincent de Mérignac a mis en valeur trois zones distinguées dès l'enlèvement de la couche végétale de surface (**FIGURE 4, ci-contre**). Ces zones se répartissent en fonction de l'organisation des éléments bâtis (**FIGURE 5, planche suivante**). Un long mur (M 101) orienté sud-est/nord-ouest matérialise la limite entre la zone 1 au sud et la zone 2, au nord. La zone 3 concerne la partie recouverte par un bâtiment à l'est de la fouille (**FIGURE 6, planche suivante**). La description stratigraphique et des structures s'organise sur la base de ce découpage. La limite entre la zone 1 et la zone 2, constituée par le mur 101 lui-même et les unités stratigraphiques attenantes, a été traitée à part car elle est envisagée comme une entité *per se*. Cette description s'attache à mettre en valeur le phasage des unités perçue ainsi que leurs caractéristiques pertinentes pour la compréhension du site. La description précise de chaque unité est placée dans l'inventaire des unités stratigraphiques situé en annexe de ce rapport.

### **1 La zone 1 (FIGURE 7, page 48)**

#### **Les nombreuses perturbations récentes**

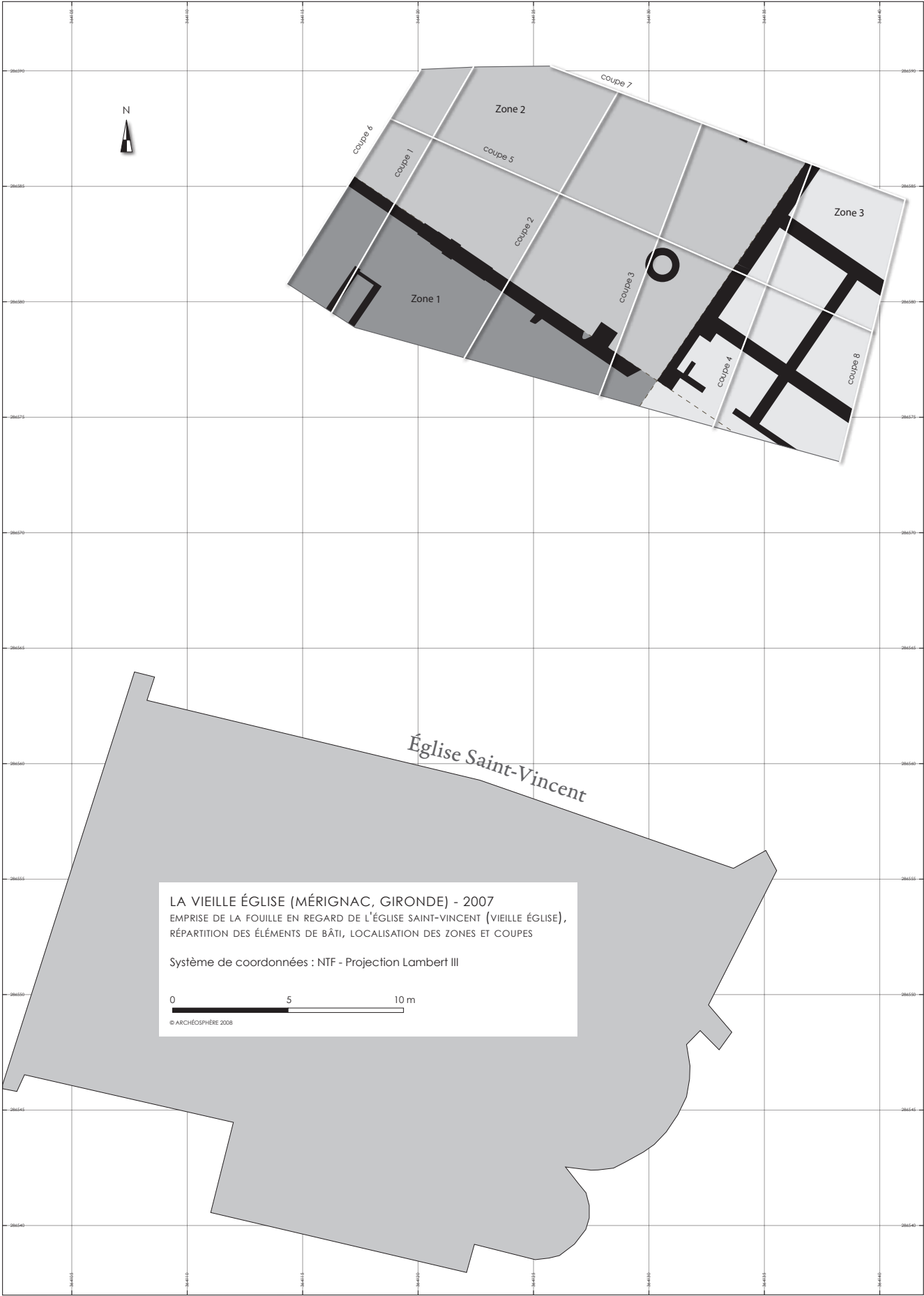
La zone 1, située au sud de M 101, a la forme d'un triangle de 17 m sur 5 orienté est/ouest. Elle se caractérise par de nombreux remaniements tardifs (**FIGURE 8, page 49**).

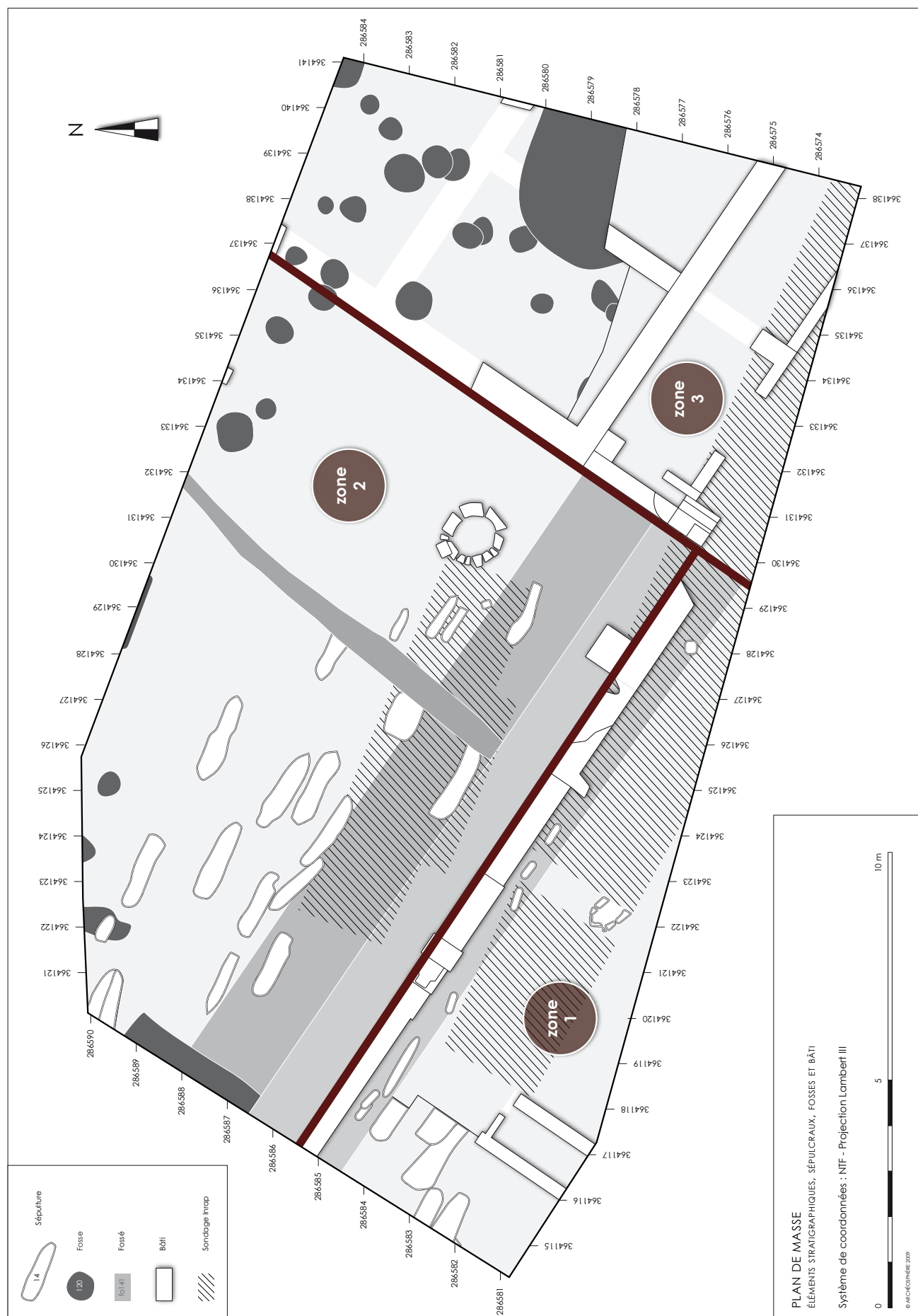
Le plus récent est à mettre en relation avec les tranchées de diagnostic réalisées par l'Inrap en 2007. Ainsi, la partie nord du sondage 1 a recoupé un certain nombre de structures et de niveaux dans les trois quart est de la zone. L'étude s'est donc reportée sur la partie ouest (coupes 1 et 6, respectivement **FIGURES 9, page 50** et **10, page 51**), sur une bande de sédiment préservée au centre (coupe 2, **FIGURE 11, page 52**) ainsi que sur la limite nord de la zone, le long de M 101.

La partie ouest est occupée dans un large quart sud est, par une structure bâtie (**FIGURE 12, page 53**). Cette dernière est apparue directement sous la couche végétale de surface (US 1001) et seule la partie nord a été dégagée. Elle a la forme d'un massif rectangulaire de 2,40 m de long du nord au sud sur 1,10 m de large d'est en ouest. Trois murs de construction similaire l'entourent (M 105, M 106, M 107) (**FIGURE 13, page 53**). Appareillés en pierres de taille de calcaire tendre liées au ciment, ils

**FIGURE 4** Emprise de la fouille en regard de l'église Saint-Vincent. Répartition des éléments de bâti, localisation des zones et coupes relevés ▷







◁ **FIGURE 5** Plan de masse. Éléments stratigraphiques, sépulcraux, fosses et bâtis.

**FIGURE 6** Localisation des trois zones, structurées autour du mur 101. Vu depuis le nord ▷

consistent en une construction irrégulière, parementée uniquement vers l'intérieur de la structure. L'espace entre ces trois murs est rempli d'une épaisse couche de béton de ciment (US 1157) [coupe 1].

Le secteur situé à l'ouest de ce massif s'est révélé fortement remanié. Sous la fine couche végétale, un niveau très sombre US 1019, contenant des éléments en béton, s'étend sur la majeure partie de la surface et recouvre en partie le mur ouest du massif (M 105). Au dessous, un sédiment très hétérogène (US 1020) déborde également sur M 105 et constitue le comblement d'un creusement très récent (US 1137) comme en témoignent les traces de godet à dent relevées au fond. Ce remaniement s'étend vers l'est et a également été observé au niveau de la coupe 2. Cette perturbation dont l'emprise n'a pas été perçue est donc clairement postérieure à la construction du massif cimenté à l'ouest de la zone. Sur US 1020 mais également sur son creusement, une bande de sédiment a été individualisée (US 1161).

Le massif et le creusement US 1137 recoupent principalement deux couches. Au nord, US 1017, comblant le creusement US 1236, contient des éléments en béton et des ossements en position secondaire. Cet ensemble se retrouve également à l'est au niveau de la coupe 2. De part et d'autre de la partie sud du massif, US 1018 se distingue par sa couleur orangée et par les nombreux ossements humains qu'elle contient (**FIGURE 14**, page 53).

#### Les niveaux en relation avec la fonction d'inhumation du site

Les nombreuses perturbations de la zone 1, matérialisées par le sondage 1 de l'Inrap et les creusements US 1236 et 1137, recoupent plusieurs niveaux. Ainsi, deux lambeaux de couches ont été observés en berme, à l'ouest de la zone. US 1204 (coupe 6) contient peu d'inclusions mais toujours des dépôts secondaires. Elle répond par sa position à US 1181 (coupe 1), de nature différente et qui n'a révélé que très peu d'inclusions. Plus à l'est, la bande de sédiment laissée en place lors des sondages réalisés par l'Inrap (coupe 2) a permis







**FIGURE 7** Cliché général de la zone 1. Vu depuis l'ouest.

d'identifier des niveaux contenant peu d'ossements. Ainsi, les creusements US 1137 et 1236 ont préservé un lambeau de stratigraphie, matérialisée par les US 1192, 1193 et 1194. Ces couches se superposent régulièrement de haut en bas et ne semblent pas être perturbées. Au sud du creusement US 1236, un second ensemble de couche a été conservé (US 1190, 1191 et 1198). La présence de la sépulture SP 7 (*voir infra*) en surface atteste du caractère non remanié des niveaux inférieurs.

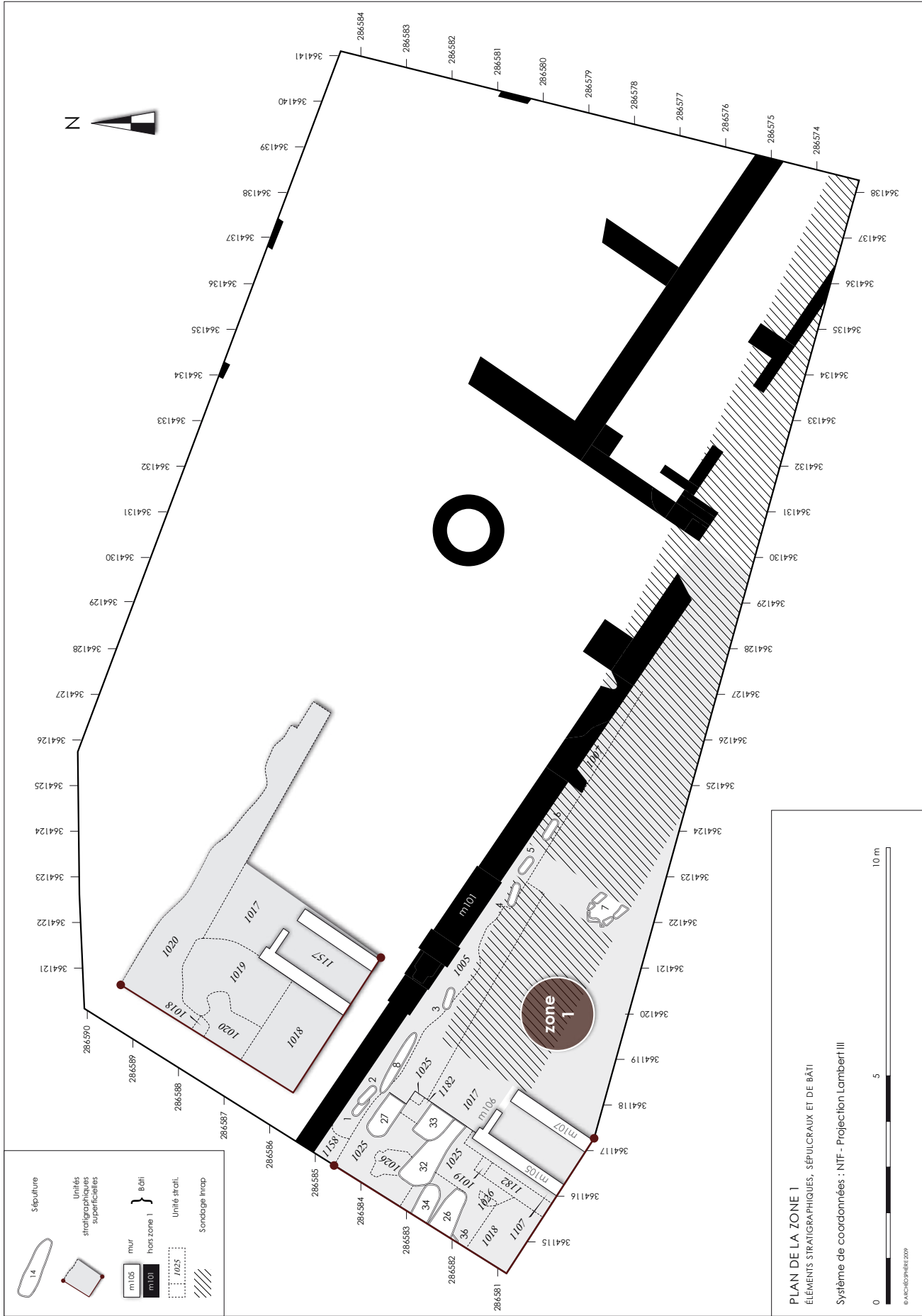
Ainsi, la fouille de la zone 1 confirme la présence de sépultures et des niveaux correspondant à la fonction d'inhumation du site.

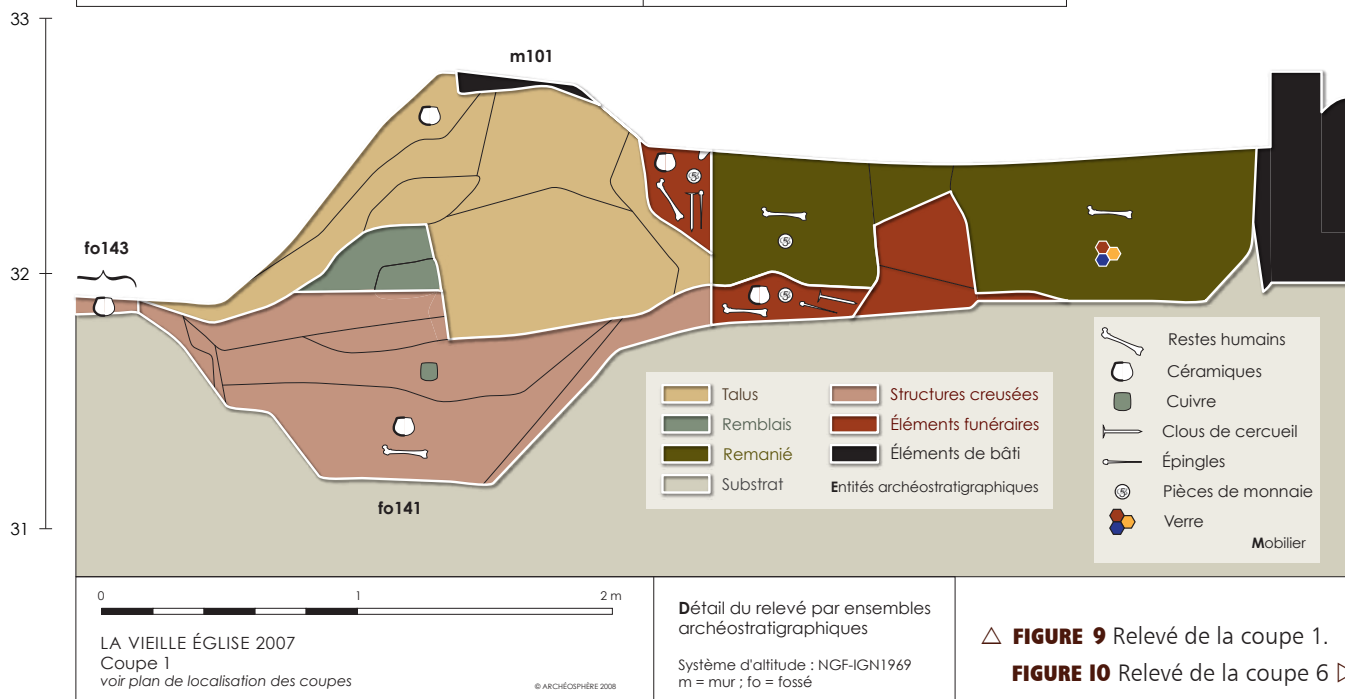
**La sépulture 37 et son coffrage (US 1030).** Premièrement, la partie ouest d'une sépulture (SP 7) a été conservée au sud de la bande laissée par l'INRAP au centre de la zone. Elle présente une architecture en coffre (US 1030) utilisant des pierres de taille de calcaire tendre positionnées de chant le long du creusement. Cette architecture semble utiliser des blocs en

réemploi comme le montre l'inadéquation entre la taille des blocs latéraux et celle de la pierre située au niveau de la tête du défunt qui comporte un alvéole céphaloïde (**FIGURE 15**, page 54).

**L'US 1005.** En second lieu, une bande de sédiment brun foncé plutôt meuble (US 1005) s'est distinguée le long de M 101 (**FIGURE 16**, page 55). Recoupée au sud par US 1137, elle s'étire sur une dizaine de mètres de long et mesure de 50 à 60 cm de large. À sa surface, de nombreux ossements humains ont été mis au jour (*cf Annexe 2, « Étude des dépôts secondaires »*). Si la plupart se trouve en position secondaire, un certain nombre d'individus incomplets, en connexion, ont été dégagés en surface (SP 1 à 6 et SP 8). Aucun creusement ou comblement distinct n'a été observé, aussi ces sépultures ont-elles été directement associées à l'US 1005. Ce niveau contient une série de pièces de monnaie (**FIGURES 17 et 18**, page 56) ainsi que des épingles de linceul et quelques clous de cercueil. La tranchée réalisée à l'ouest de la zone, entre la coupe 1 et la coupe 6 a

**FIGURE 8** Plan de la zone 1 ►





△ **FIGURE 9** Relevé de la coupe 1.  
**FIGURE 10** Relevé de la coupe 6 ▷

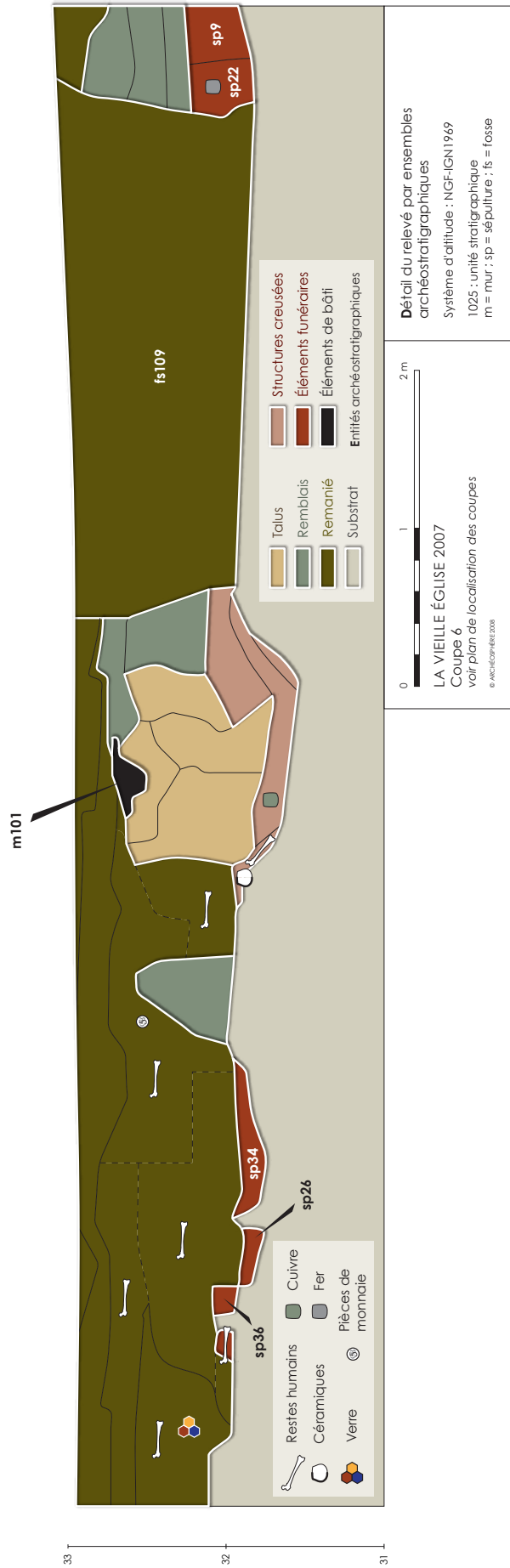
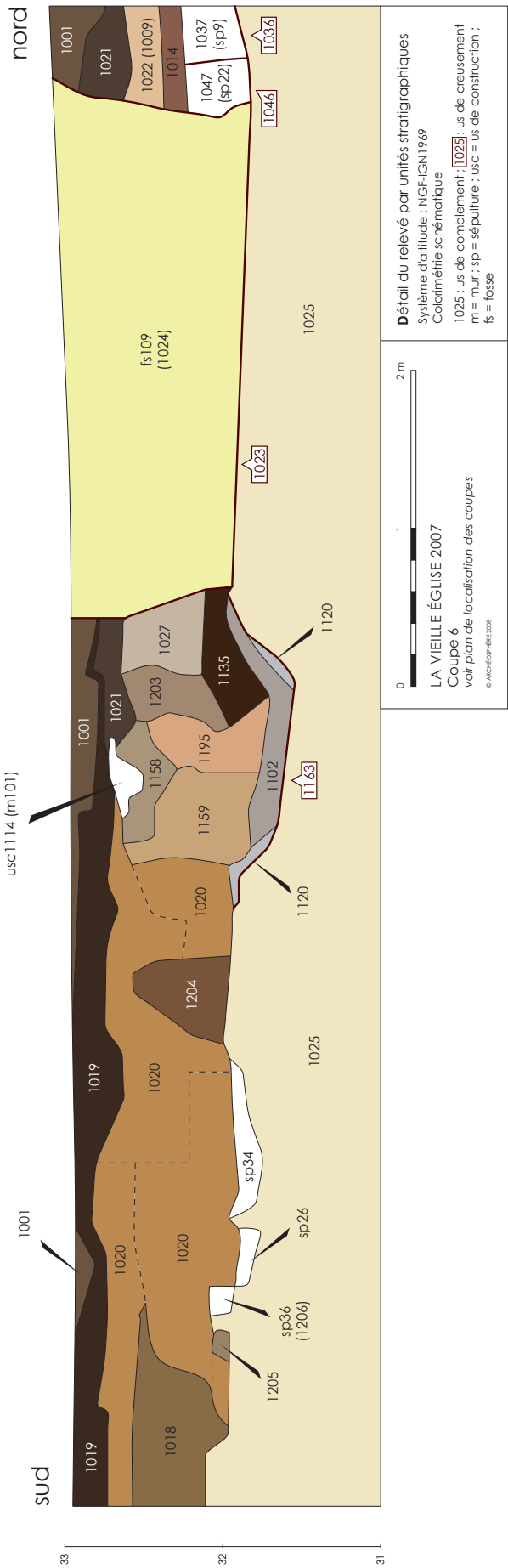
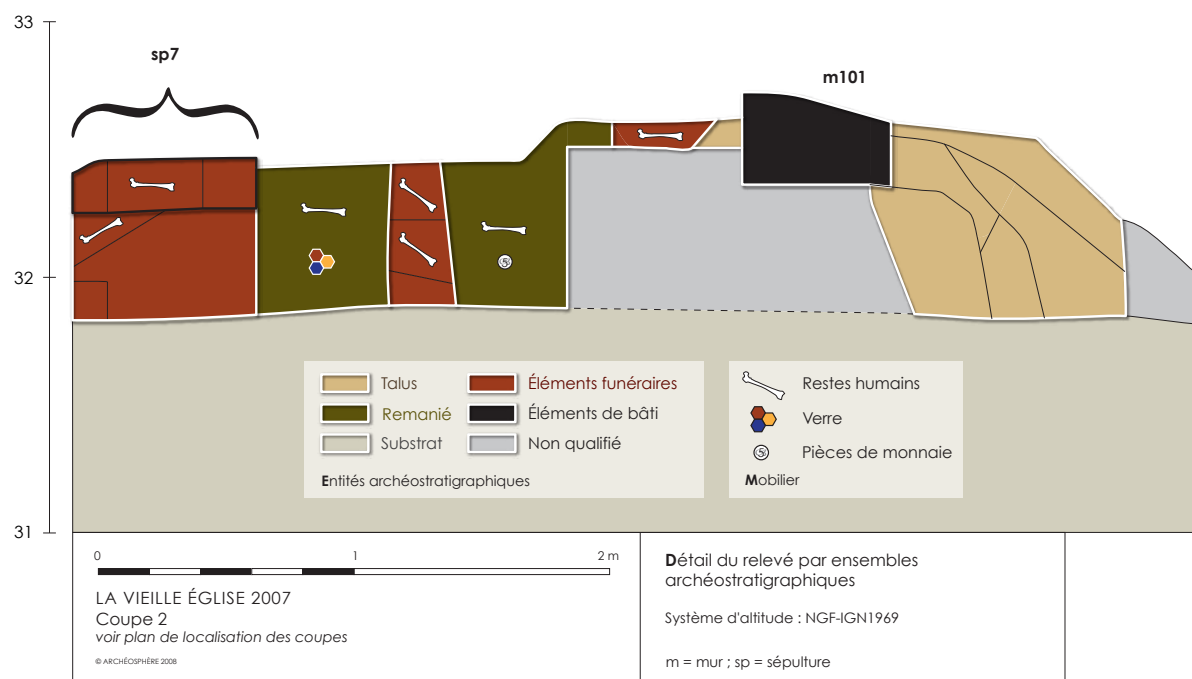
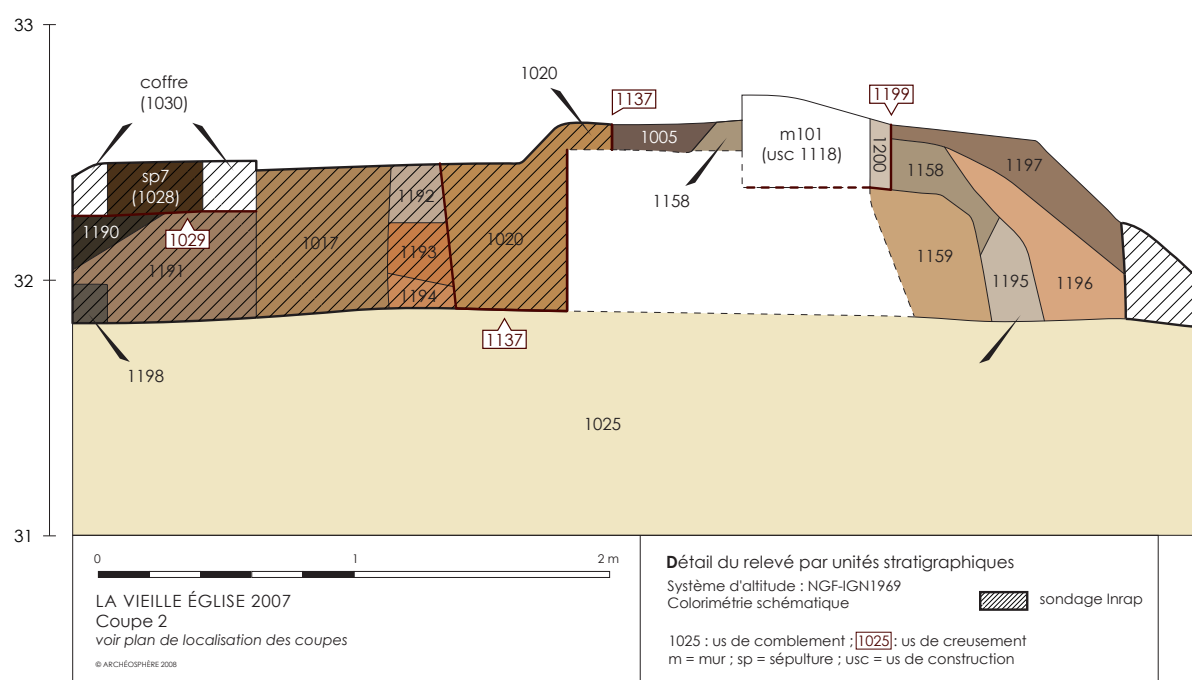
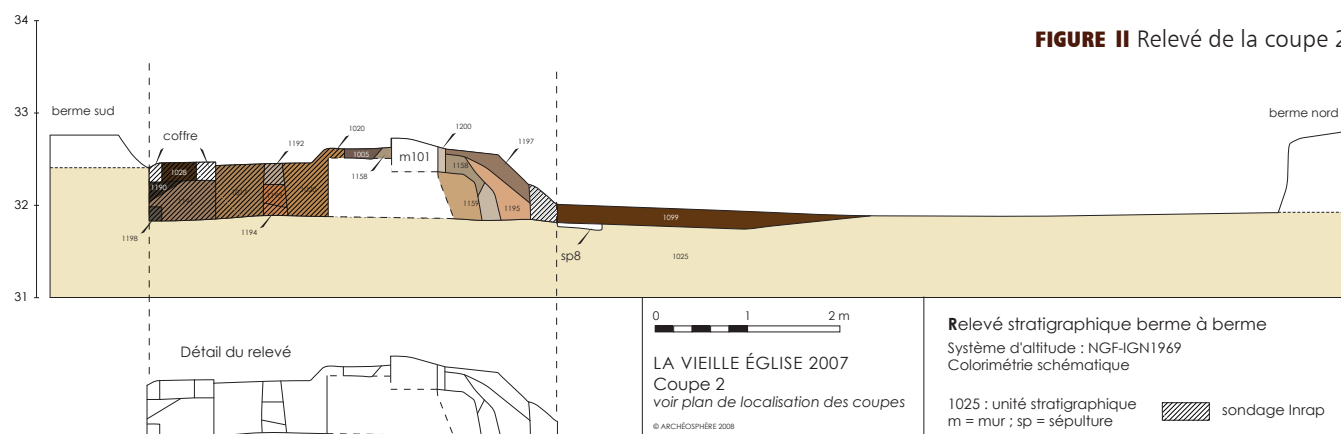


FIGURE II Relevé de la coupe 2.





permis d'observer la continuité de l'US 1005 en profondeur (coupe 1, **FIGURE 9**).

Un individu en position primaire (SP 27) a été dégagé dans la partie inférieure de ce niveau. Le comblement de cette sépulture (US 1239) a révélé la présence de clous de cercueil en place. Le creusement (US 1238) recoupe le substrat calcaire (US 1025) ainsi qu'un lambeau de couche (US 1182) au sud. Ce sédiment semble ne pas avoir été perturbé par les remaniements supérieurs mais n'a pas révélé de sépulture en place. Le décapage des couches remaniées a permis de dégager le niveau d'inhumation inférieur auquel se rattache la sépulture SP 27 (**FIGURE 19**, page 57).

Plusieurs individus en connexion ont été dégagés au niveau du substrat. Les sépultures recoupent le substrat calcaire US 1025 et des lentilles d'un sédiment argileux orange (US 1026). La sépulture SP 33, située au sud de l'inhumation SP 27 a été dégagée dans sa partie supérieure (à l'ouest). Son comblement



**FIGURE 12** Zone 1, partie ouest. Massif bâti.



◁ **FIGURE 13** Idem. Murs constitutifs.

▽ **FIGURE 14** Unités stratigraphiques recoupées par le massif et son creusement. Noter les nombreux ossements humains et éclats de béton.



**FIGURE 15** Zone 1. Sépulture SP 7.



(US 1233) contient des clous de cercueil trouvés en place ainsi qu'une épingle de linceul. Son creusement (US 1232) recoupe au nord le substrat et US 1182 et au sud la SP32. Cette dernière a été intégralement fouillée. L'individu semble avoir été perturbé par les remaniements supérieurs au niveau de la tête et par la sépulture SP33 au niveau des membres inférieurs. Le comblement de cette sépulture (US 1231) contient également des clous de cercueil ainsi que quelques fragments de céramique. Deux sépultures ont enfin été dégagées dans l'angle sud ouest du secteur. La

SP 34, située au nord, est perturbée au niveau des pieds du défunt. Son comblement (US 1235) contient des clous de cercueil et son creusement (US 1234) recoupe directement le substrat. Au sud, la SP 26 est recoupée au niveau des pieds et le fond de son creusement (US 1220) conserve même les marques d'un godet à dent (**FIGURE 20**, page 57). Le comblement de cette sépulture (US 1221) contient également des clous de cercueil. Le sédiment présent sous l'individu contient des fragments d'os humains en position secondaire. L'observation de la berme ouest (coupe 6, **FIGURE 10**) a mis en évidence, directement au sud de cette sépulture, un lambeau de couche (US 1206) asso-



cié à une sépulture (SP 36). La position de cette sépulture laisse penser qu'elle pourrait être recoupée par la SP 26. Plus au sud et toujours dans la berme, la morphologie d'un lambeau de couche (US 1205) rappelle le comblement d'une sépulture mais aucun élément pertinent n'a permis de l'établir.



**FIGURE 16** Zone 1. US 1005 accolée au mur M 101. Vu depuis l'ouest.



**FIGURE 17** Zone 1, US 1005. Double tournois HENRI III (voir chapitre 6 « Étude des monnaies »).

**FIGURE 18** Zone 1, US 1005. Double tournois Louis XIII (voir chapitre 6 « Étude des monnaies »).







**FIGURE 19** Zone 1, tranchée de la coupe 1. Le dégagement des ensembles remaniés a permis de mettre en évidence le niveau d'inhumation inférieur.



**FIGURE 20** Zone 1, tranchée de la coupe 1. Noter la présence de marques de godet à dents.

## 2 La limite entre la zone 1 et 2 (FIGURE 21)

La limite entre la zone 1 et 2 est matérialisée en surface par le mur M 101. Les tranchées réalisées perpendiculairement à ce mur ont mis en valeur une stratigraphie formant une sorte de talus hétérogène sous le mur (FIGURE 22). Ce talus repose sur un fossé suivant la même orientation.

FIGURE 21 Plan de la zone intermédiaire 1/2 ▷



FIGURE 22 Zone 1/2. Localisation des tranchées effectuées perpendiculairement au mur M101. Vu depuis le nord.

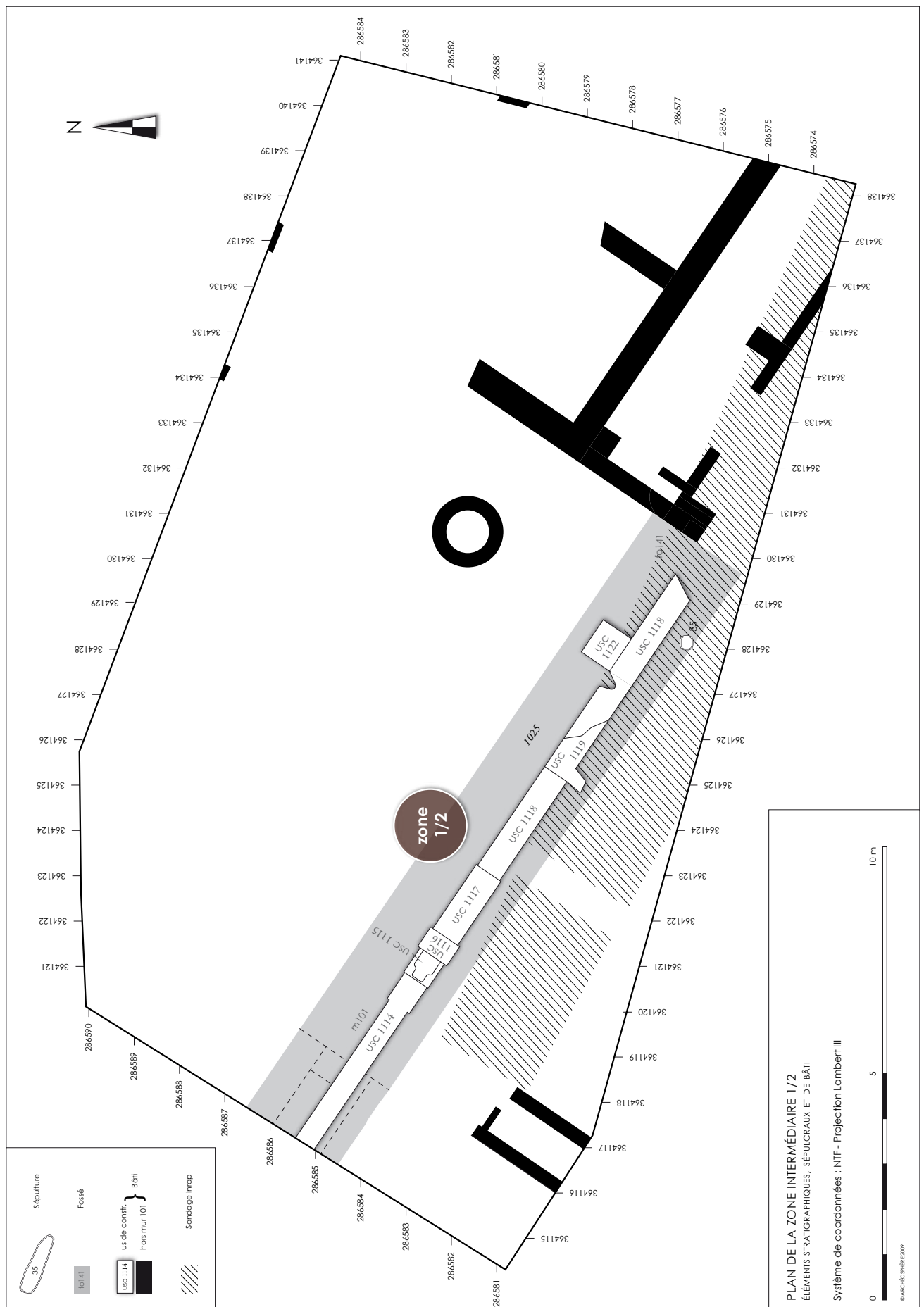
FIGURE 23 Zone 1/2. Élément du mur M 101. Unité de construction USC 1114.



### Le mur M 101 (FIGURE I6, voir page 55)

Le mur M 101, orienté est/ouest, est apparu directement sous la couche de terre végétale (US 1001). L'arase de cette construction se trouve également sous US 1019 précédemment décrite et également, à l'ouest sous US 1021. Ce mur n'a pas été entièrement dégagé et se prolonge sous la limite ouest de la fouille. La partie observée s'étend sur environ 14 m de long et présente une architecture hétérogène scindée en 7 unités stratigraphiques.

La partie ouest de ce mur, USC 1114 (FIGURE 23), est conservée sur une assise de 6 à 12 cm d'épaisseur. Elle est appareillée en pierres de taille de calcaire tendre liées au mortier maigre jaune à beige, friable, sableux et contenant des inclusions assez nombreuses essentiellement composées de graviers. La partie la plus à l'ouest de cette unité est très arasée, comparée à la partie est. Cette différence de conservation est à mettre en relation avec les remaniements tardifs de la partie ouest de la zone 1. À l'est de cette maçonnerie, USC 1115 a été isolée bien que directement lié avec le mortier de la partie précédemment décrite. Il s'agit d'un élément monolithe de calcaire tendre carré d'environ 65 cm de côté dont la partie centrale a été évidée (FIGURE 24, planche suivante). Cette partie en creux est comblée par des fragments de calcaire tendre pris dans un limon argileux brun. La forme de ce creusement correspond à la partie supérieure d'un espace anthropomorphe aménagé dans la pierre. Il s'agit donc ici d'un fragment de fond de cuve de sarcophage dont







**FIGURE 24** Zone 1/2. Élément du mur M 101. Unité de construction USC 1115 (élément de sarcophage anthropomorphe avec logette céphalique). De haut en bas, vue zénithale avant évidement, vue zénithale après évidement, vue depuis le sud.

l'espace d'inhumation comporte une logette céphalique. Cet élément, réemployé dans la maçonnerie du mur, est coupé à l'est par une tranchée récente (US 1136) de 50 cm de large. Elle est comblée par un amas de béton dont sortent quatre tiges de fer réparties aux angles (USC 1116, **FIGURE 25**). Cette tranchée coupe également US 1005 au sud du mur et est comblée à cet endroit par un sédiment sableux grisâtre (US 1006). Elle recoupe enfin à l'est US 1117 constituant une portion de M 101 de 1,70 m de long, fortement perturbée. Dans cette portion, les blocs sont éparpillés dans un sédiment limono-argileux et sont parfois encore liés avec un mortier proche de celui de la maçonnerie d'USC 1114. Le sédiment contient également des fragments de brique industrielle creuse. Cette perturbation recoupe vers l'est une maçonnerie dont le liant se distingue du mortier déjà observé (**FIGURE 26**). USC 1118 est en effet appareillée en blocs de calcaire tendre liés au mortier de chaux beige clair à grisâtre. La granulométrie fine du sable le constituant et le peu d'inclusions qu'il contient le distinguent nettement de celui qui a été utilisé pour USC 1114. Cette maçonnerie conservée sur une à deux assises présente une perturbation, US 1119, très similaire à US 1117, précédemment décrite. Ici aussi, les blocs sont parfois encore liés avec du mortier, de deux natures différentes. Le premier est analogue à celui d'USC 1114 et le second peut se comparer à celui d'USC 1118. La partie est d'USC 1118 constitue l'extrémité est de M 101 et cette dernière est recoupée par le sondage réalisé par l'Inrap. Au nord de cette portion, un petit massif rectangulaire (USC 1122, **FIGURE 27**), de 86 sur 75 cm, est accolé à USC 1118. La maçonnerie mixte comporte de petits blocs de calcaire tendre, un bloc de calcaire froid et des fragments de tuile et de briques liés avec un mortier proche de celui d'USC 1118 mais plus foncé et contenant moins de chaux.

### Une stratigraphie formant un talus

Deux tranchées ont été réalisées perpendiculairement à M 101 aux extrémités est et ouest du mur. Les coupes des bermes issues de ces sondages ont été représentées à l'est par la coupe 3 et à l'ouest par les coupes 1 et 6. Un petit sondage situé au nord de la partie médiane du mur M 101 complète les informations (coupe 2).

La stratigraphie a mis en valeur une morphologie en forme de talus pour les couches supérieures. L'observation de la coupe 1 (**FIGURE 28**, page 62) montre que la partie ouest de M 101 (USC 1114) repose essentiellement sur US 1158. Composée d'un sédiment sablo-limoneux brun clair, cette couche constitue un amas de forme plutôt





**FIGURE 25** Zone 1/2. Élément du mur M 101. Unité de construction USC 1116 (béton, fers à béton). Vu depuis le sud.



**FIGURE 26** Zone 1/2. Élément du mur M 101. Unité de construction USC 1118.

**FIGURE 27** Zone 1/2. Élément du mur M 101. Unité de construction USC 1122.



**FIGURE 28** Zone 1/2. Cliché de la coupe 1. Noter la morphologie en talus.



rectangulaire localisé sous M 101. Sous cette couche, US 1159 présente une morphologie similaire un peu plus large et est constituée d'un sédiment argileux brun clair orangé quasiment pur. Il semble que cet amas d'argile ait été installé sur un creusement (US 1162) qui recoupe plusieurs couches au nord (US 1104, 1133, 1135, 1132, 1102). L'ensemble constitué par les US 1158 et 1159 sert d'appui à un certain nombre de couches qui se présentent donc de façon très oblique. Au nord, les US 1121, 1103 et 1134 reposent sur les couches recoupés par le creusement lié à la mise en place d'US 1159 (US 1162) et sur US 1158. Au sud, US 1160 s'appuie sur US 1158/1159. L'US 1005 précédemment décrite vient au dessus de cette dernière. Ce schéma, assez clairement défini au niveau de la coupe 1 se retrouve en coupe 6 et 2 mais présente des variantes. La coupe 6 montre les US 1158 et 1159 dans la même position. Une troisième couche US 1195 a été mise en évidence au nord d'US 1159 et également sous US 1158. Elle semble faire partie intégrante de l'aménagement et se présente également sous la forme d'un bloc plus ou moins rectangulaire. Au niveau de la coupe 2, US 1195 montre les mêmes relations avec US 1158 et 1159 (**FIGURE 29**). Sur l'ensemble formé par US 1158, 1159 et 1195, viennent s'appuyer deux unités stratigraphiques, US 1196 et 1197 qui présentent de ce fait un profil fortement oblique.

La coupe 6 est beaucoup plus difficile à lire. Une couche, US 1203, se trouve au nord de l'ensemble formé par 1158, 1159 et 1195 mais semble plutôt se situer sous cet ensemble. Sa morphologie étant également en bloc plutôt rectangulaire, il est possible qu'elle fasse partie de la mise en œuvre du talus. Le creusement US 1162 recouperait donc ici les US 1027, 1135 1102 et 1120.

**FIGURE 29** Zone 1/2. Cliché de la coupe 2.







**FIGURE 30** Zone 1/2. Cliché de la coupe 3.

La tranchée réalisée au niveau de la coupe 3 a montré un profil différent (**FIGURE 30**). L'US 1159 se présente ici sous la forme d'une semelle massive et très large reposant sur le creusement US 1162. Elle n'est ici associée à aucune autre couche et sert de base à un remblai, US 1009, recoupé au sud par M 101 (USC 1118).

#### Le fossé FO 141

Les coupes 1 et 3 montrent que la plupart des couches recoupées par US 1162 appartiennent au comblement d'un fossé FO 141 (**FIGURE 31**), orienté est/ouest et localisé sous le talus et M 101. En coupe 1, le creusement de ce fossé (US 1163) recoupe le substrat (US 1025). Le profil de ce creusement, de 2,20 m de large en surface, présente un épaulement puis se resserre vers le fond jusqu'à atteindre 75 cm de large. Une langue de sédiment repose sur la partie supérieure au nord (US 1100). Une fine couche sableuse grise, US 1101, recouvre cette couche et épouse la surface définie par le creusement US 1163 jusqu'à sa limite sud. Une troisième couche comble toute la partie inférieure du fossé (US 1120). Cette couche a livré quelques tessons de céramique et surtout un crâne humain (**FIGURE 32**, page 64). Le comblement supérieur est composé successivement par les US 1102 et 1135 que l'on retrouve en coupe 6.

**FIGURE 31** Zone 1/2. Fossé Fo 141, au pied de la coupe 1.





**FIGURE 32** Zone 1/2, coupe 1. Noter la présence d'un crâne humain dans la partie inférieure de l'US 1120.

1099 qui seront détaillées dans la partie traitant de la zone 2. Ce creusement est plus large qu'à l'ouest et l'épaulement y est beaucoup plus atténué. Il est comblé dans sa partie inférieure par US 1186, constituée par un sédiment très sableux brun grisâtre contenant peu d'inclusions. Au sud, un second niveau de comblement, débordant du creusement est conservé (US 1184).



**FIGURE 34** Zone 1/2. Sépulture SP 35, dans la coupe 3.

Au niveau de la coupe, une lentille de sédiment a été individualisée entre ces deux couches (US 1132). Les US 1133 et 1104 reposant sur US 1135 ne semblent pas appartenir au comblement de FO 141 mais sont recoupées par le creusement US 1162 lié à la mise en place d'US 1159.

L'observation de la coupe 3 (**FIGURE 33**) met en valeur le même fossé bien que la morphologie et les couches de comblement soient différentes. Ici, le creusement US 1163 recoupe un sédiment naturel sableux orange (US 1038). Il recoupe également au sud les US 1033 et 1014 et au nord les US 1187 et

1099 qui seront détaillées dans la partie traitant de la zone 2. Ce creusement est plus large qu'à l'ouest et l'épaulement y est beaucoup plus atténué. Il est comblé dans sa partie inférieure par US 1186, constituée par un sédiment très sableux brun grisâtre contenant peu d'inclusions. Au sud, un second niveau de comblement, débordant du creusement est conservé (US 1184). Cette couche contient une inhumation SP 35 (**FIGURE 34**). Les deux unités de comblement US 1186 et 1185 sont recoupées par un creusement présentant un profil en U, US 1188, de 1,70 m de large en surface. Ce creusement se situe à l'aplomb d'US 1163. Il est comblé de façon homogène par US 1185, caractérisée par un sédiment sablo-limoneux brun clair contenant beaucoup d'inclusions. Enfin, au sud de la coupe et sur US 1184, US 1183 ne semble pas appartenir au comblement du fossé et est recoupée par le creusement US 1162, lié à la mise en place d'US 1159.

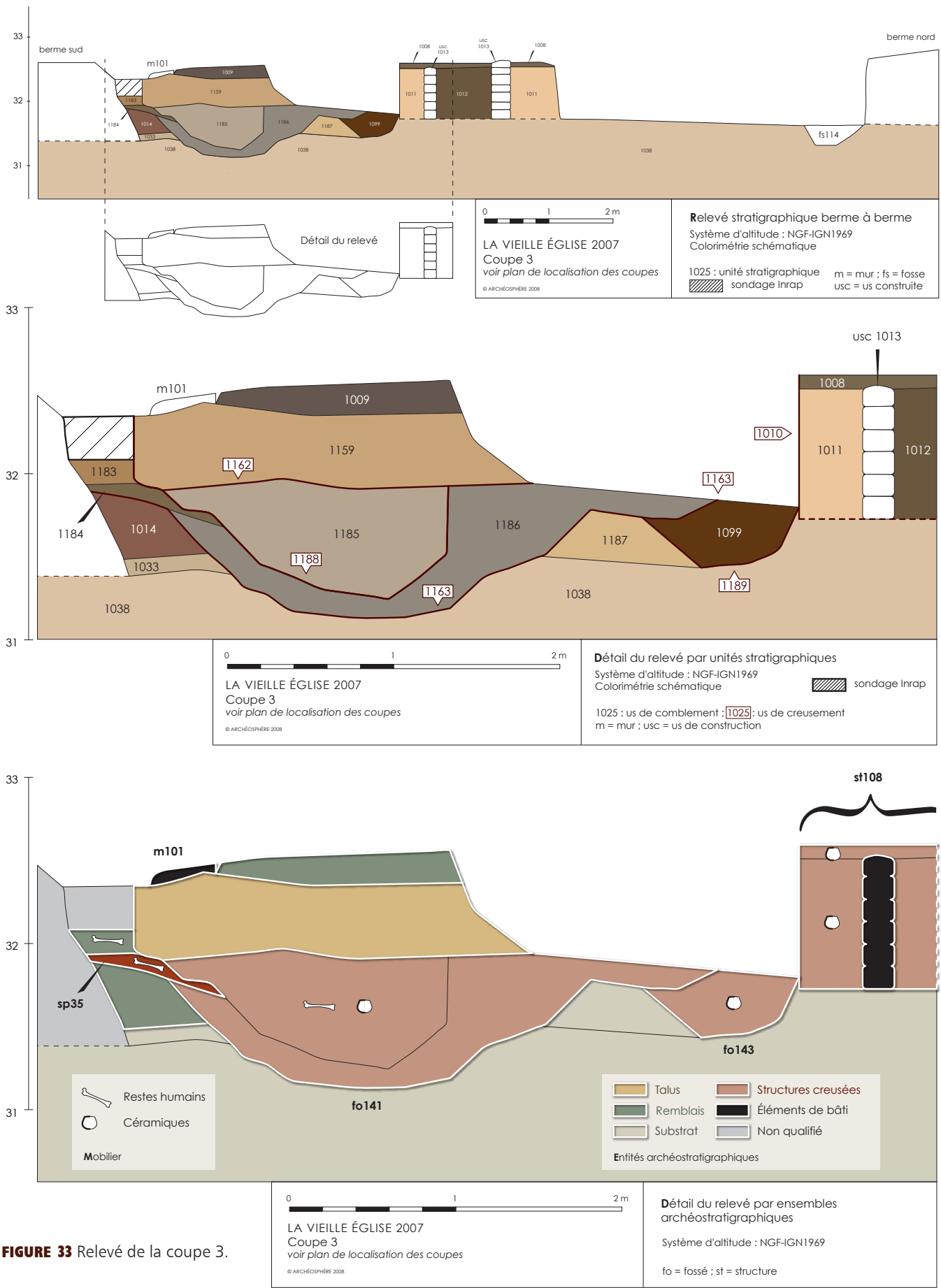


FIGURE 33 Relevé de la coupe 3.



## 3 La zone 2

Cette zone a été largement décapée à la pelle mécanique (**FIGURE 35**). Le seul élément conservé en surface est le puits ST 108, situé au sud est de la zone. La description suivante présente dans un premier temps cette structure, puis fait l'étude des bermes de la zone et traite des structures dégagées au niveau du substrat ou des sédiments naturels (**FIGURE 36**).

**FIGURE 36** Plan de la zone 2 ▷



△ **FIGURE 35** Cliché de la zone 2. Vu depuis l'est.

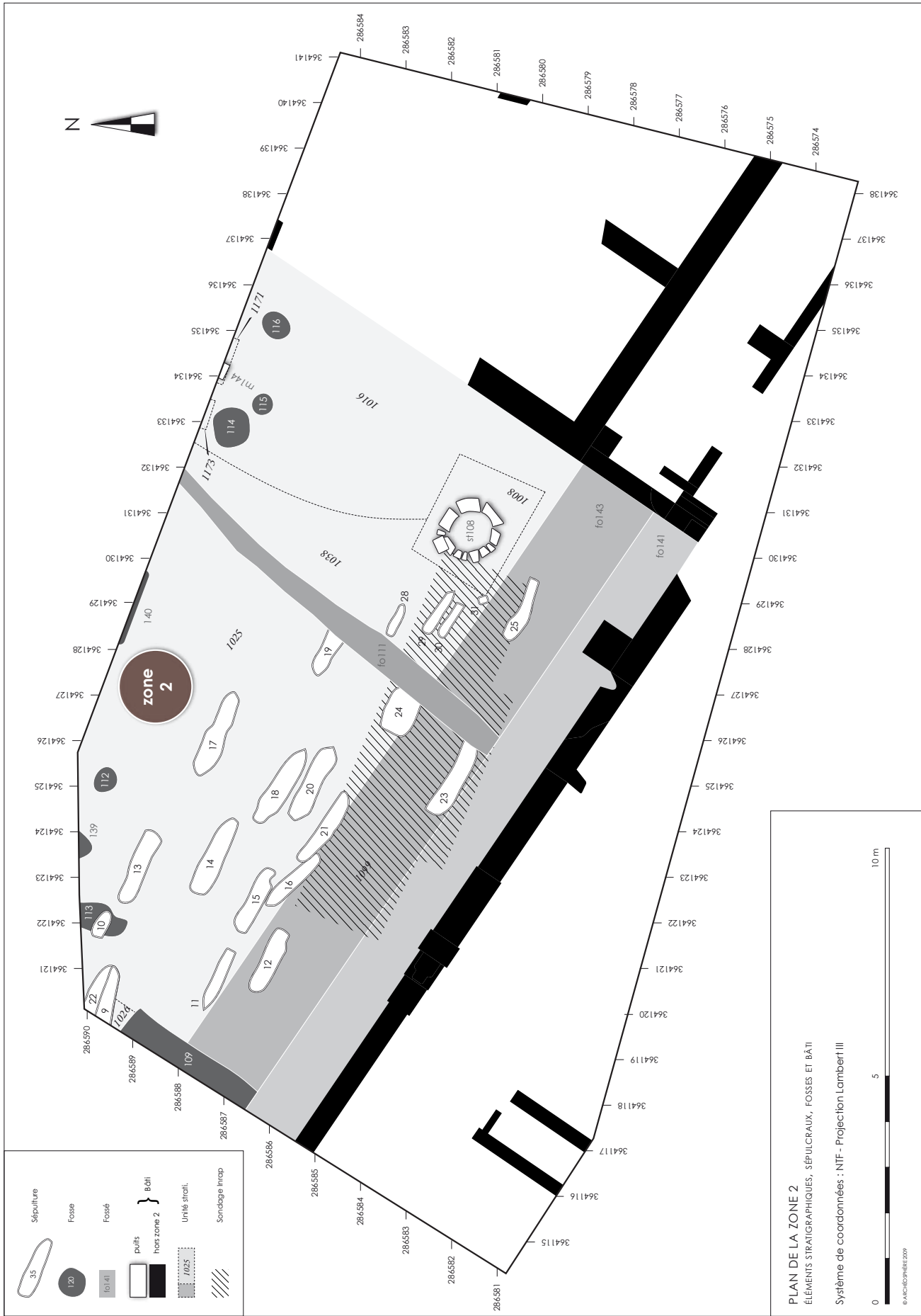
▽ **FIGURE 37** Zone 2. Puits ST 108.



### Le puits ST 108

Cette structure est apparue directement sous la terre végétale et présente une architecture homogène (USC 1013) (**FIGURE 37**). La partie saillante ou margelle est appareillée en pierres de taille de calcaire tendre de forme rectangulaire vers l'extérieur et concave vers l'intérieur, afin de former un cercle de 86 cm de diamètre. Les pierres sont liées au mortier maigre beige foncé très similaire à celui qui a été utilisé pour la construction du petit massif USC 1122 (M 101). Sous la margelle, une assise de briques sépare la partie saillante de la partie enterrée (**FIGURE 38**, *planche sui-*

*vante*). Cette dernière est construite essentiellement avec de grandes pierres de taille de calcaire tendre, rectangulaires ou convexes, assez mal ajustées les unes par rapport aux autres. Les interstices entre les blocs sont comblés avec des fragments de briques. Les pierres portent des traces de peintures ainsi que des encoches et des ressauts sans lien avec la construction. Il s'agit vraisemblablement d'éléments utilisés en remploi ce qui expliquerait les problèmes d'ajustement entre les blocs. La construction de ce puits a nécessité la réalisation d'un grand creusement, US 1010 (coupe 5, **FIGURES 39 et 40**, *planche suivante*). Ce creusement n'a été que partiellement observé et présente un profil vertical dans sa partie supérieure. Il recoupe un certain nombre d'unités stratigraphiques qui seront détaillées dans la partie suivante. Son comblement, US 1011 est un sédiment sablo-argileux jaune orangé qui vient également sur USC 1013.







**FIGURE 38** Zone 2. Vue zénithale de la structure ST 108, avant dégagement. Noter l'assise de briques sous la margelle.

**FIGURE 40** Zone 2. Cliché montrant le creusement (US 1010) ayant présidé à la construction du puits ST 108.



Une fine couche limoneuse scelle la partie supérieure de ce comblement (US 1008). Le puits est quant à lui comblé par un sédiment sablo-limoneux brun et meuble (US 1012).

#### La stratigraphie observée dans les bermes de la zone 2

L'étude des bermes de la zone 2 a mis en évidence une stratigraphie assez constante, recoupée par des structures en creux. Un empilement de trois remblais se retrouve en effet dans toute la partie nord du site mais a également été observé dans la partie sud de la coupe 3 (**FIGURE 33**). L'US 1009, souvent située directement sous la terre végétale (US 1001) pose fréquemment sur US 1014 qui s'en distingue par sa composition plus

sableuse et le peu d'inclusions qu'elle contient. Cette dernière repose sur US 1033 qui fait le lien entre les remblais supérieurs et le substrat ou les couches de sédiments sableux naturels. Cette interface, toujours très sableuse, est teintée de la couleur du sédiment sur lequel elle repose.

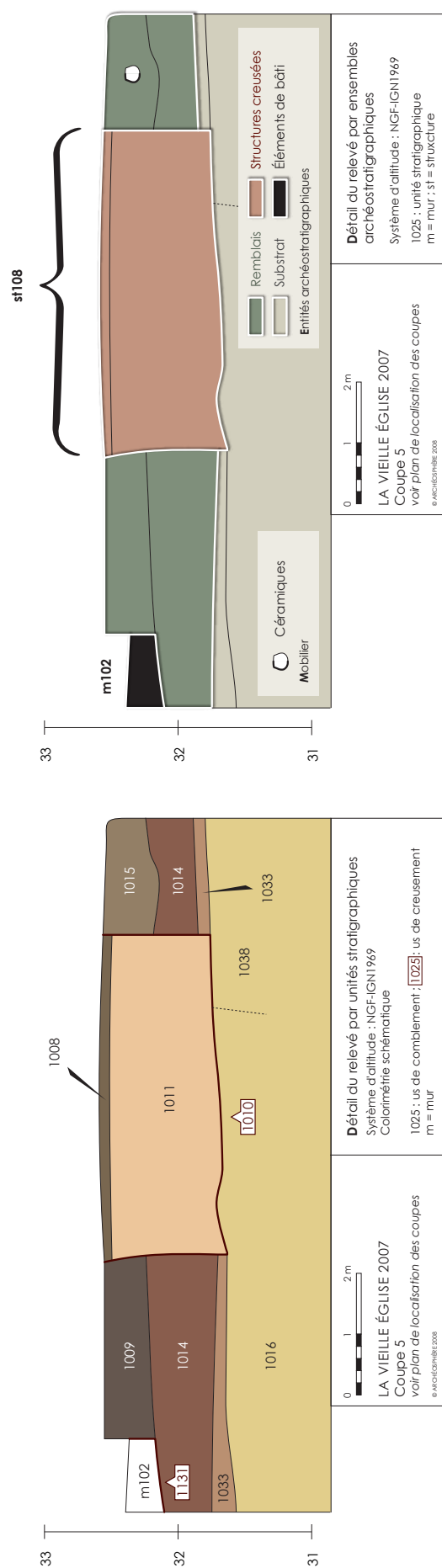
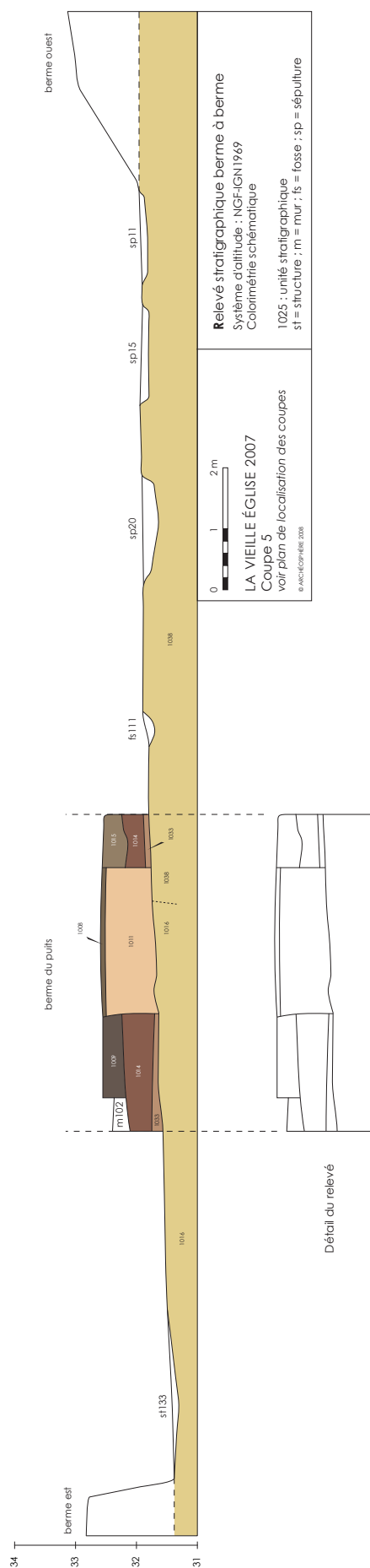
Au sud de la coupe 3, la couche argileuse US 1159 et le fossé FO 141 s'intercalent ici entre US 1009 et 1014. La coupe 5 (**FIGURE 39**) illustrant essentiellement la stratigraphie en relation avec le puits ST 108 révèle le même schéma avec une variante

à l'ouest du creusement US 1010. US 1009 est ici remplacée par US 1015, sans corrélation stratigraphique latérale, plus argileuse et qui n'a pas été observée ailleurs.

La stratigraphie de la berme ouest (coupe 6) est largement amputée par une large fosse FS 109 (**FIGURE 41**, page 70) qui recoupe la couche de terre végétale US 1001 et se trouve donc être l'élément le plus récent mis au jour. Le profil du creusement est vertical et s'évase très légèrement vers le haut. En plan, seul l'extrémité est de cette

**FIGURE 39** Relevé de la coupe 5 ▷







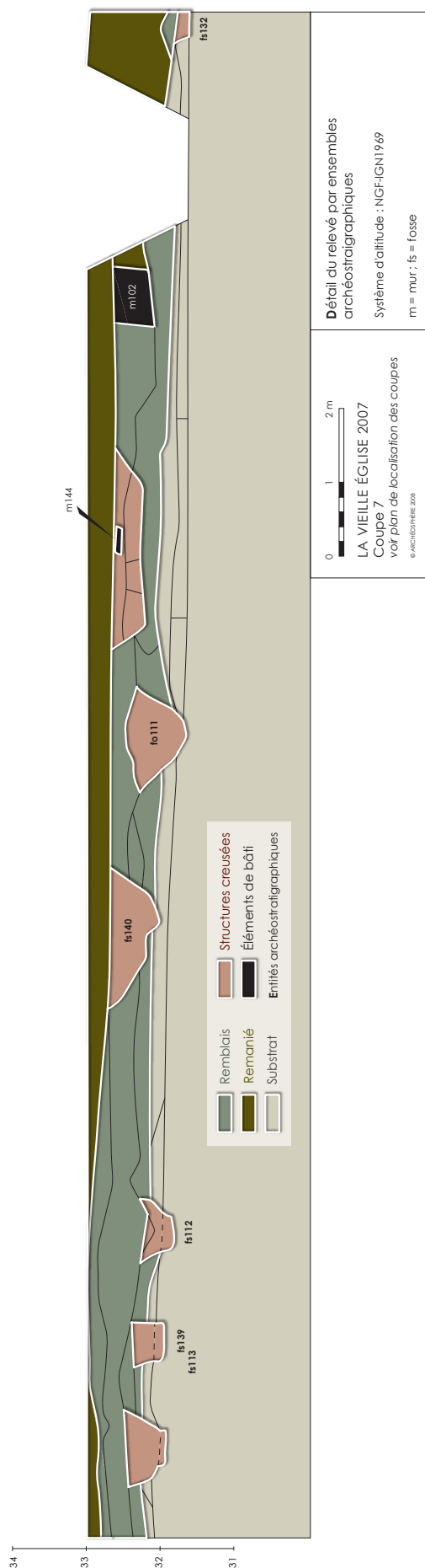
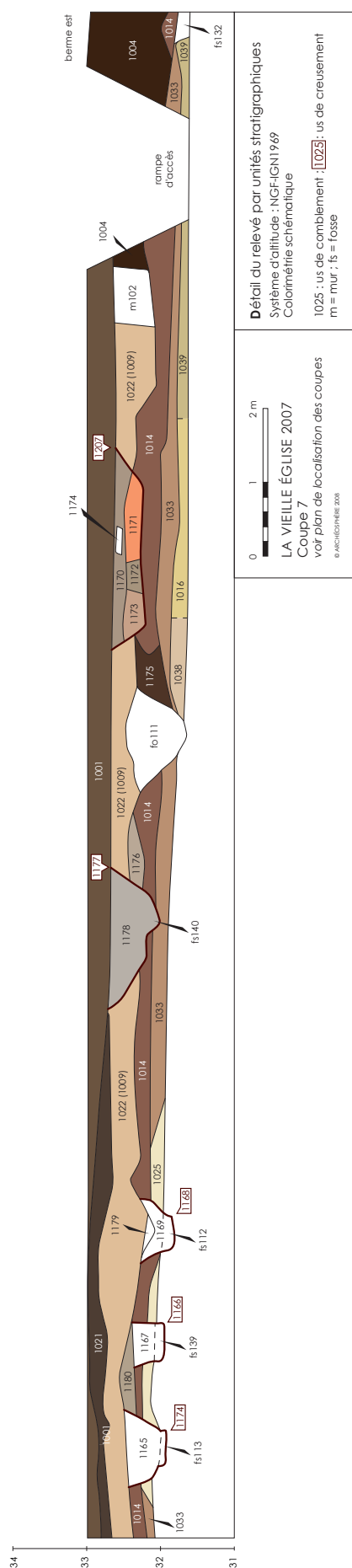
◁ **FIGURE 41** Zone 2. Fosse FS 109. De haut en bas, vue large depuis l'est, vue rapprochée depuis le sud-est, vue zénithale.



fosse a été observée. Sa forme très rectangulaire rappelle celle des sondages archéologiques bien qu'aucune intervention de ce type ne soit attestée à cet endroit. Peut-on invoquer un aménagement en fosse, destiné à accueillir certains ateliers techniques municipaux ?

La portion de la berme nord (coupe 7, **FIGURE 42**) située en zone 2 c'est-à-dire à l'ouest du mur M 102, respecte globalement l'étagement défini précédemment. Un certain nombre de structures, d'aménagement et de remblais supplémentaires viennent néanmoins perturber sa régularité. Ces éléments seront présentés en fonction de leur place au sein de cette stratigraphie. Le remblai US 1021 déjà observé en coupe 6 (**FIGURE 10**) sur l'arase d'USC 1114 (M 101) se retrouve ici intercalé entre US 1001 et US 1009. Il se prolonge sur toute la partie ouest de la berme et vient mourir au niveau de la fosse FS 140 (**FIGURE 43**, *planche suivante*). Cette dernière recoupe US 1009 et 1014 ainsi qu'un lambeau de couche (US 1176) qui s'intercale entre US 1009 et 1014 à l'est. À l'ouest de M 102 un aménagement vient également perturber US 1009 (**FIGURE 44**, *planche suivante*). Un large creusement, US 1207, est comblé dans sa partie inférieure par deux amas d'argile US 1171 à l'est et US 1173 à l'ouest, séparés par US 1172. L'amas argileux US 1171 sert de support à un

**FIGURE 42** Relevé de la coupe 7 ▷







**FIGURE 43** Zone 2. Fossé Fo 140.

lambeau de mortier de chaux, US 1174. Un sédiment limono-sableux meuble (US 1170) comble la partie supérieure du creusement.

Un fossé et trois fosses sont situées sous US 1009 et recourent US 1014. Entre le creusement US 1207 et la fosse FS 140, le fossé FO 111 (**FIGURE 45**) recoupe à l'ouest US 1014 et à l'est, un sédiment plus limoneux et contenant plus d'inclusions (US 1175). À l'ouest de FS 140, FS 112 recoupe US 1014 et le substrat US 1025. Son comblement a été scindé en deux parties. La partie supérieure US 1179 est d'une constitution proche de celle d'US 1009 mais plus sableuse et plus claire. La partie inférieure US 1169 est plus argileuse et brun orangé. Plus à l'ouest, FS 139 (**FIGURE 46**) est sous US 1009 et également sous un lambeau de couche US 1180, plus sableuse et plus claire. Cette dernière est recoupée à l'ouest par FS 113 également située sous US 1009.



**FIGURE 44** Zone 2. Aménagement visible en coupe.



**FIGURE 45** Zone 2. Fossé Fo 111.



**FIGURE 46** Zone 2. Fosse Fs 139.



### Les structures non bâties dégagées latéralement

Le décapage de la zone 2 s'est attaché à faire apparaître les sépultures déjà mises en valeur dans le sondage 6 du diagnostic réalisé par l'Inrap (**FIGURE 47**). Leur creusement n'a été perçu que latéralement : la plupart n'a donc pu être replacée en stratigraphie. Seules six inhumations sont en lien avec des éléments plus récents. La sépulture SP 31 est largement recoupée par le creusement du puits ST 108 (**FIGURE 48**). Les sépultures SP 19 et SP 24 sont quant à elles recoupées par le fossé FO 111 qui se prolonge du nord au sud dans toute la zone (**FIGURE 49**). Elles sont donc antérieures au remblai US 1009. Au nord-ouest, la sépulture SP 10 recoupe la fosse FS 113 précédemment décrite (**FIGURE 50**). Elle est donc strictement postérieure à US 1014. Enfin, dans l'angle nord-ouest de la fouille, les sépultures SP 9

**FIGURE 47** Décapage de la zone 2, ayant laissé apparaître les sépultures.



**FIGURE 48** Zone 2. Sépulture SP 31 recoupée par le creusement du puits ST 108.



et SP 22 sont clairement situées sous US 1014, la sépulture SP 9 recoupant la sépulture SP 22 (**FIGURE 51**, page suivante).

Les autres sépultures se répartissent dans une large moitié sud de la zone. A l'ouest, les inhumations SP 9, SP 10, SP 11, SP 13, SP 14, SP 15, SP 17, SP 18, SP 20 et SP 22 recoupent le substrat calcaire US 1025 (**FIGURE 52**, page suivante), ainsi que, localement, des lentilles de sédiment argileux orangé se répartissant à sa surface (US 1026). Plus à l'est, les sépultures SP 19, SP 28, SP 29 et SP 30 recoupent un sédiment sableux orange (US 1038) déjà observé au sud de la coupe 3. Enfin, les inhumations SP 12, SP 16, SP 21, SP 23 et SP 25 recoupent un sédiment limoneux formant une bande brune orientée est/ouest au sud de la zone. Ce sédiment (US 1099) constitue le comblement d'un fossé, FO 143 (**FIGURE 53**, page suivante) dont on a pu observer le creusement US 1189 en coupe 1 et en coupe 3. À l'ouest, son profil très écrasé présente une largeur d'1,75 m et une faible profondeur. Il est beaucoup moins large à l'est et est clairement recoupé au sud par FO 141 déjà décrit. Sa relation stratigraphique avec US 1014 n'a malheureusement pas pu être observée. Il recoupe au sud un lambeau de couche proche d'US 1033 (US 1187).

Enfin, au nord est de la zone, trois fosses circulaires FS 114, 115 et 116 ont été dégagées (**FIGURE 54**, planche suivante). Elles se rattachent à un ensemble de structures similaires mises au jour en zone 3 et seront donc traitées dans la partie suivante.



**FIGURE 49** Zone 2. Sépulture SP 19 recoupée par le fossé Fo 111.



**FIGURE 50** Zone 2. Sépulture SP 10 recoupant la fosse Fs 113.



**FIGURE 51** Zone 2. Sépulture SP 9 recoupant la sépulture SP 22.



**FIGURE 52** Zone 2, partie ouest. Ensemble de fosses sépulcrales. Vu depuis l'est.



**FIGURE 53** Zone 2. Comblement du fossé Fo 143.





**FIGURE 54** Zone 2. Fosses FS 114, 115 et 116 (en bas, détail des fosses Fs 114 et 115).



## 4 La zone 3 (FIGURE 55)

La zone 3 est définie par l'emprise d'un grand bâtiment rectangulaire, orienté nord/sud (FIGURE 56). Les murs de ce bâtiment sont apparus directement sous la couche de terre végétale et n'ont été que partiellement dégagés. La partie nord a été décapée pour arriver jusqu'au sédiment naturel (coupe 4, FIGURE 57, *planche suivante*). Seuls les murs situés au sud de la zone ont été préservés (FIGURE 58).

FIGURE 56 Plan de la zone 3 ▷



△ FIGURE 55 Cliché de la zone 3. Vu depuis le nord.

▽ FIGURE 58 Zone 3. Ensemble bâti de la partie sud.



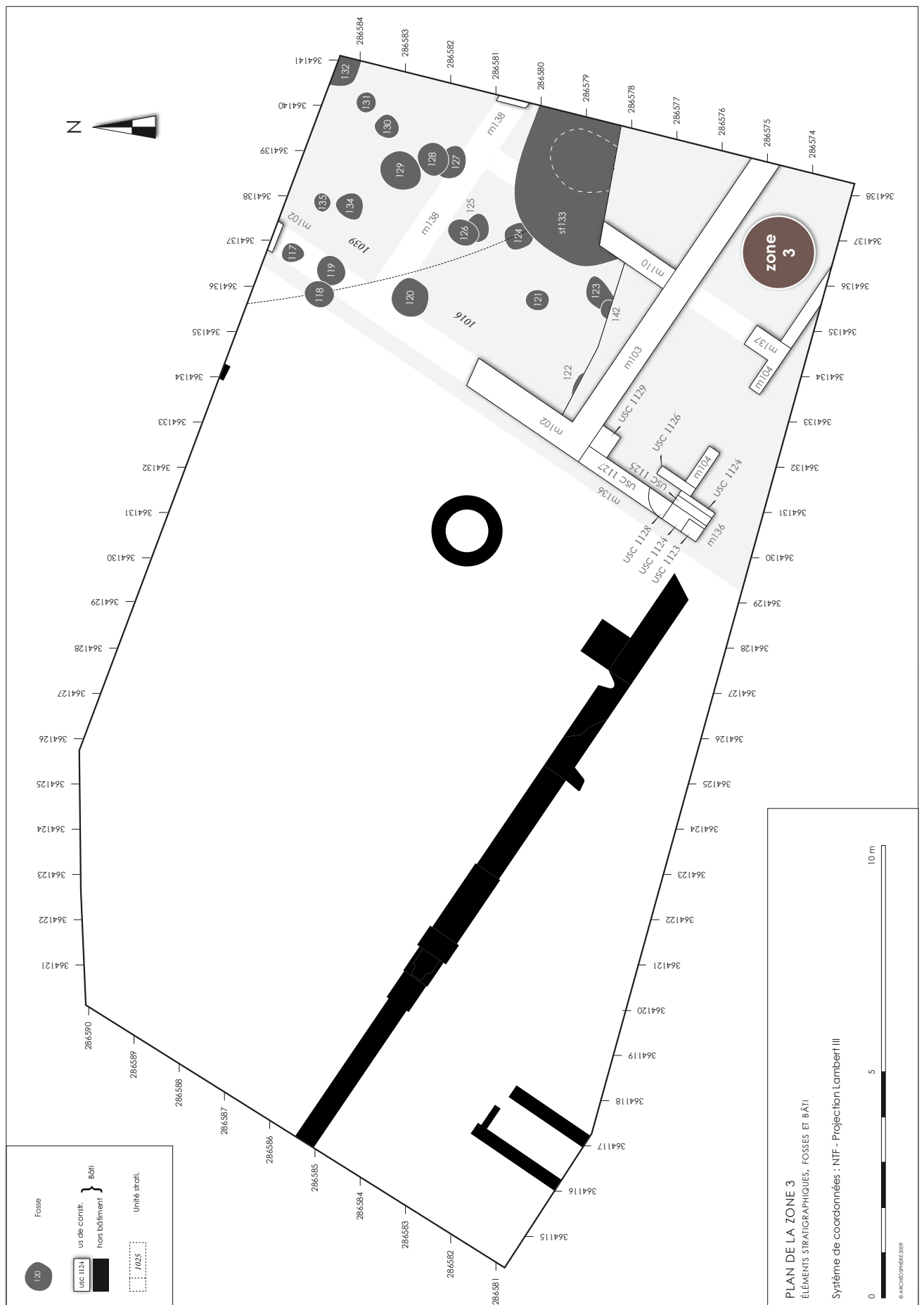
### Le bâtiment

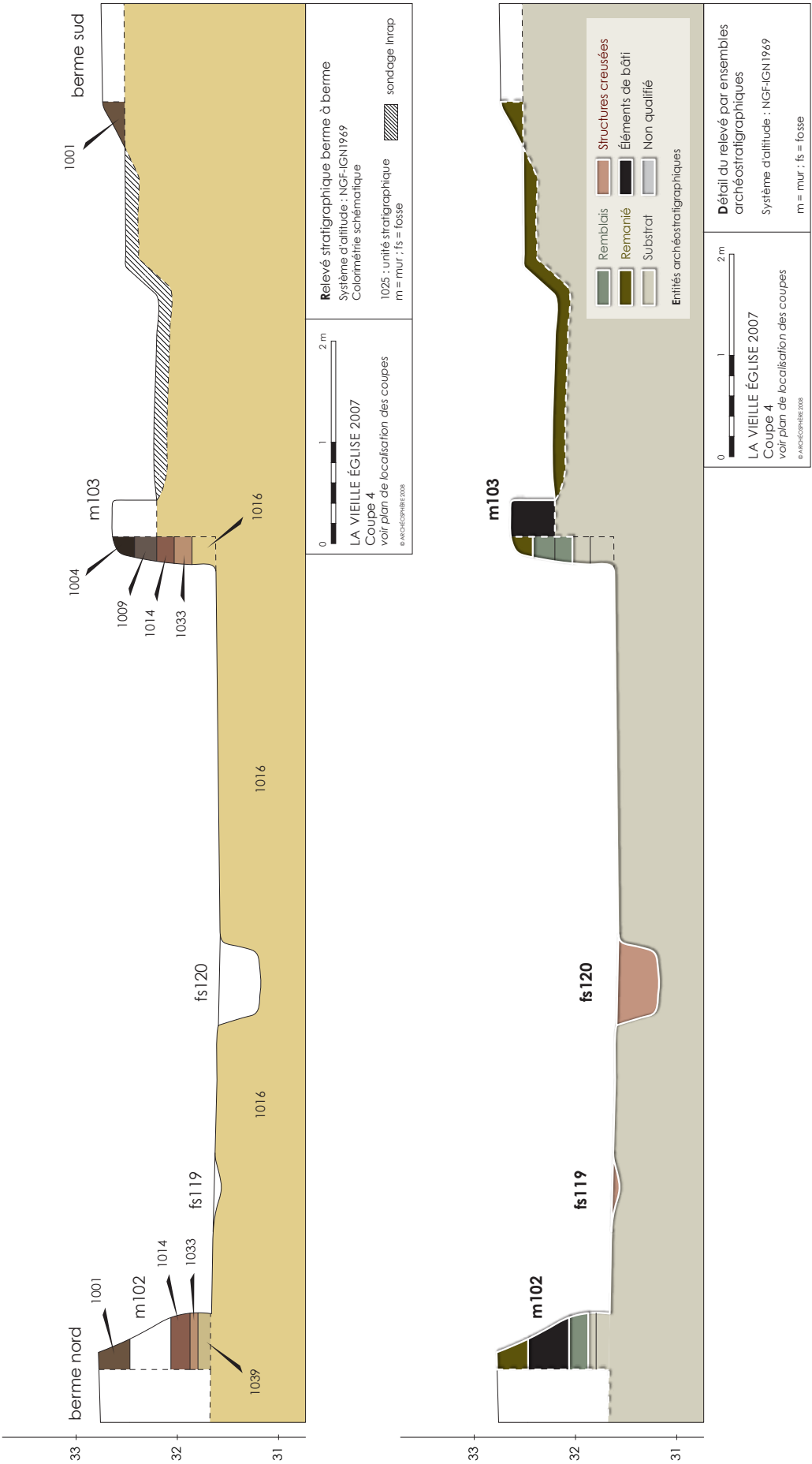
L'arase des murs du bâtiment est recouverte dans la partie nord de la zone par un remblai limono-sableux brun foncé, contenant notamment des fragments de dalle de béton et de tuyau en plastique (US 1004). Au sud est, une couche plane avec des poches de chaux en surface (US 1148) s'apparente à un niveau de circulation postérieur à la construction.

Le mur M 102 constitue la façade ouest du bâtiment qui s'étend sous les limites nord, ouest et sud de la fouille (FIGURE 59, *page 81*). Ce mur, construit en pierres de taille de calcaire tendre liées au mortier maigre et sableux gris, est recoupé au sud par US 1128.

Cette démolition est liée à l'aménagement d'une fosse rectangulaire (USC 1129) et d'une dalle de béton (US 1127) très récentes (FIGURE 60, *page 81*). Au sud de cet aménagement, M 136, orienté également nord/sud se distingue de M 102 par sa maçonnerie et son caractère hétérogène (FIGURE 61, *page 81*). Il est composé de quatre parties distinguées essentielle-

ment grâce au mortier les liant. La maçonnerie principale, USC 1124, est composée de pierres de taille de calcaire tendre et de quelques moellons de calcaire froid liés avec un mortier maigre jaune à beige et friable contenant beaucoup de graviers. Elle est recoupée par une tranchée orientée nord/sud (US 1237) comblée par une série de pierres de taille de calcaire tendre bien ajustées et liées au ciment (USC 1125). À l'ouest d'USC 1124, une petite reprise de maçonnerie a été distinguée (USC 1123). Composée d'un blocage de petits moellons de calcaire tendre et froid ainsi que de galets, elle est liée avec







◁ **FIGURE 57** Relevé de la coupe 4.

**FIGURE 59** Zone 3, partie sud. Mur M 102 ▷



**FIGURE 60** Zone 3, partie sud. Fosse récemment aménagée (unité de construction USC 1129 et US 1127).



**FIGURE 61** Zone 3, partie sud. Mur M 136.







**FIGURE 62** Zone 3, partie sud. Mise en évidence (en rouge) des éléments bâtis coupés par le sondage Inrap. Vu depuis l'est.

un mortier de chaux jaune à beige compact. Enfin, USC 1124 vient s'accoler à l'est à une maçonnerie de pierres de taille liées au mortier maigre dont le sable présente une granulométrie très fine (USC 1126). Cette maçonnerie orientée également nord/sud n'est présente que dans la partie nord du mur et s'individualise donc nettement. La jonction entre M 136 et M 101 a malheureusement été coupée par la tranchée Inrap (**FIGURE 62**) et il n'a donc pas été possible d'établir une relation entre ces deux murs. Perpendiculaire à M 136 et directement lié à USC 1126, M 104 est également recoupé en son centre par la tranchée Inrap (**FIGURE 63**). Sa maçonnerie est identique à celle d'USC 1126 ainsi qu'à celle du mur M 137. Ce dernier s'appuie sur le parement nord de M 104 et n'a été préservé que sur environ 80 cm de long. Plus au nord, trois murs présentent une maçonnerie identique à celle de M 102 déjà décrite. M 103 est perpendiculaire et directement lié à M 102 (**FIGURE 64**). M 110, orienté nord/sud, est accolé au parement nord de M 103 (**FIGURE 65**).



**FIGURE 63** Zone 3, partie sud. Mur M 104 et unité de construction USC 1126. Vu depuis le sud.



Un dernier mur orienté est/ouest est situé dans la partie nord de la zone (M 138). Détruit lors du décapage mécanique, sa construction est observable dans la berme est (coupe 8, **FIGURE 66**, page suivante). Entre le fond du creusement lié à sa fondation (US 1140) et la maçonnerie du mur (USC 1139), vient s'intercaler une couche d'argile (US 1141). On peut voir, au niveau de la berme nord, l'extension nord du mur 102 (**FIGURE 67**, planche suivante).

### La stratigraphie observée dans les bermes de la zone 3

Les éléments stratigraphiques observés dans les bermes de cette zone révèlent que tous les murs du bâtiment recoupent US 1009 précédemment décrite. Seul M 138 se trouve dans une zone où ce remblai est absent. Le creusement de sa tranchée de fondation recoupe US 1143 qui comble un creusement (US 1142) recoupant US 1014. Au sud de cet ensemble, US 1009 est conservée et repose sur une structure composée de quatre unités (ST 133) [**FIGURE 68**, page suivante]. Un large creusement circulaire US 1084 accueille un comblement argilo sableux très orangé (US 1085) intégrant dans sa partie supérieure une lentille argileuse blanche (US 1138). Un troisième sédiment se distingue en son centre. Cette unité stratigraphique (US 1086) a une forme cylindrique. Elle présente en effet en coupe un profil vertical irrégulier, se resserrant légèrement vers le centre, et en plan une forme circulaire. Sa composition est presque identique à celle d'US 1009 et elle ne semble pas combler de creusement.

### Les structures non bâties dégagées latéralement

Le décapage de la partie sud de la zone 3 a été réalisé jusqu'aux sédiments naturels. À l'ouest, US 1016 est composée d'un sédiment sableux et jaune et ne contient que quelques graviers et des



△ **FIGURE 64** Zone 3, partie sud. Relation entre M 102 et M 103. Vu depuis l'est.

▽ **FIGURE 65** Zone 3, partie sud. Mur M 110. Vu depuis le sud-est.



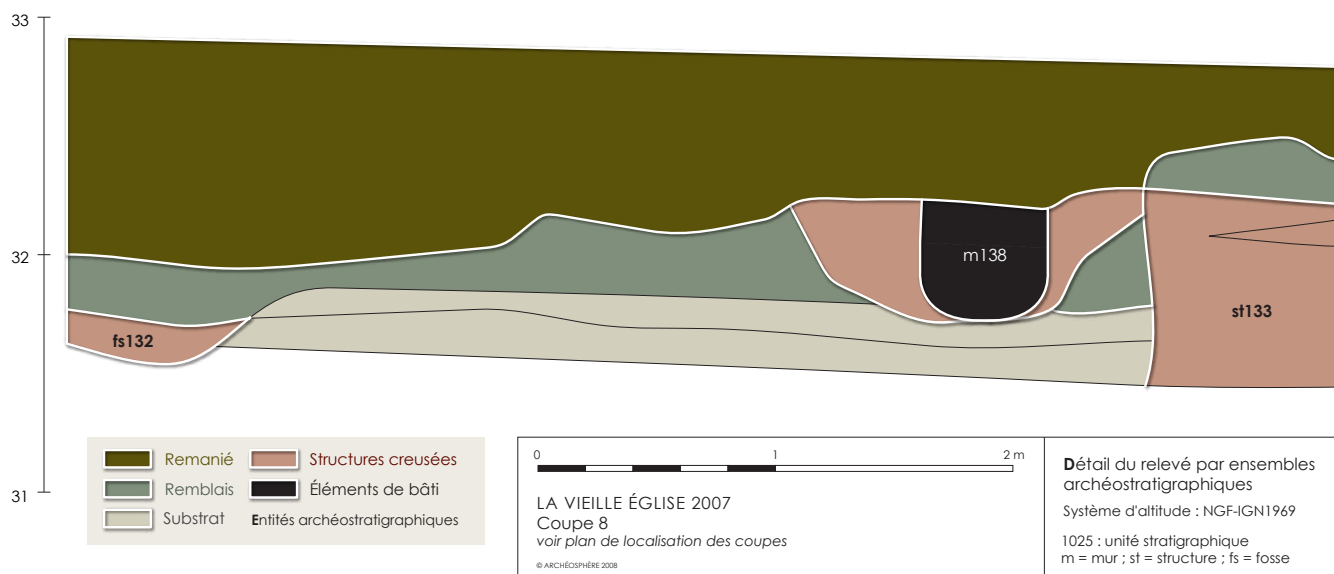
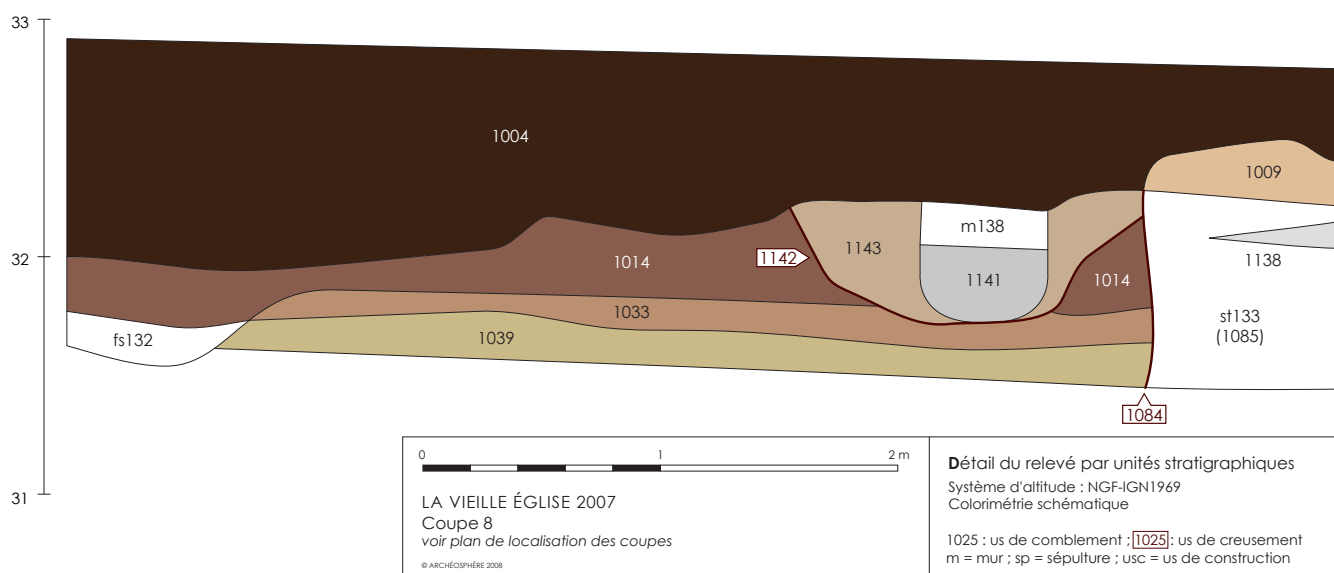
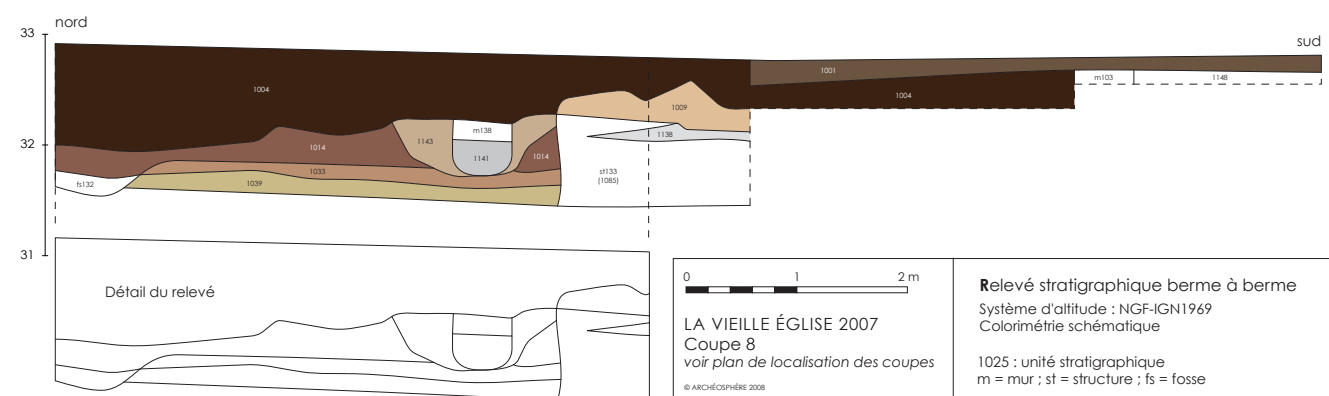


FIGURE 66 Relevé de la coupe 8.



**FIGURE 67** Zone 3, partie nord. Portion du mur M 102 conservée dans la berme nord. Vu depuis le sud.



**FIGURE 68** Zone 3, partie nord. Structure ST 133. Vu depuis le sud-ouest.

nodules oxydés. La partie est de la zone est plus argileuse (US 1039), la limite entre les deux demeurant assez floue. Une série de fosses circulaires se répartit dans ce secteur, distinguées grâce à leur comblement plus sombre (**FIGURE 69**, page suivante). Ces fosses, au nombre de 23, ont toutes la même forme et leur diamètre varie entre 50 et 95 cm. Quatre d'entre elles ont pu être replacées en stratigraphie (FS 122, 123, 132 et 142) et elles apparaissent toutes les quatre sous US 1014 et recoupant US 1033. Enfin, certaines fosses se recoupent ce qui montre qu'elles ne fonctionnent pas toutes en même temps. La fosse FS 124 est recoupée au sud par ST 133 déjà décrite (**FIGURE 70**, page suivante). Au nord, FS 125 semble recouper FS 126 du fait de son comblement plus sombre (**FIGURE 71**, page suivante).



**FIGURE 69** Zone 3, partie nord. Vue générale des fosses.



**FIGURE 70** Zone 3, partie nord. Structure ST 133 recoupant la fosse Fs 124.



**FIGURE 71** Zone 3, partie nord. Fosse Fs 125 recoupant la fosse Fs 126.



Pour les mêmes raisons, FS 129 semble recouper FS 128 qui recoupe elle-même FS 127 (**FIGURE 72**). Les ensembles FS 118/119 et FS 123/142 ont été fouillés ainsi que quatre autres fosses, sélectionnées en fonction de leur morphologie ou de la présence de mobilier céramique à leur surface. Les fosses FS 118 et FS 119, très peu profondes, n'ont livré aucun mobilier et aucun élément permettant de confirmer leur relation stratigraphique. La fouille des fosses FS 123 et FS 142 a permis d'établir l'antériorité de la première par rapport à la seconde (**FIGURE 73**). FS 123 a un diamètre plus large et une profondeur moindre par rapport à FS 142.



**FIGURE 72** Zone 3, partie nord. Recouplement des fosses Fs 127, 128 et 129.



**FIGURE 73** Zone 3, partie nord. Fosses Fs 123 et 142 après leur fouille.



**FIGURE 74** Zone 3, partie nord. Fosse Fs 114 après fouille partielle.



**FIGURE 75** Zone 3, partie nord. Fosse Fs 120 après fouille partielle.



**FIGURE 76** Zone 3, partie nord. Fosse Fs 121 après fouille partielle.



**FS 114**, localisée au nord est de la zone 2, est la plus large (**FIGURE 74**). Elle présente un profil en U conservé sur 34 cm de haut et son comblement homogène contient quelques fragments de terre cuite et un os d'ovicapriné. Plus au sud, **FS 120** a un diamètre un peu plus petit et un profil identique de 45 cm de profondeur (**FIGURE 75**). Enfin, au sud, **FS 121**, de 51 cm de diamètre, a montré un profil en U de 19 cm de haut et a livré un tesson de céramique (**FIGURE 76**) ■





# ÉTUDE ANTHROPOLOGIQUE

JÉRÉMIE **BALTZ**

# 5

## ÉTUDE ANTHROPOLOGIQUE

JÉRÉMIE BALTZ

**L'OBJECTIF DE CETTE ÉTUDE EST**, par l'observation des individus inhumés, d'approcher la population vivante dont ils sont issus. Cela ne peut se faire sans une étude biologique minutieuse, une étude du recrutement du cimetière et une étude de l'organisation de l'aire funéraire. Ces trois aspects découlent directement de l'observation et de l'interprétation des sépultures. Pour cette raison, la fiabilité des méthodes employées est fondamentale. Malheureusement, il suffit de deux éléments pour limiter cette approche : la mauvaise conservation des ossements et le faible nombre de sépultures. Dans le cas présent, ces deux éléments interviennent et limitent fortement toute interprétation.

### 1 Les méthodes de terrain

Les premières étapes de l'analyse *in situ* de l'ensemble des individus en connexion anatomique (qui, dans le cadre de cette fouille, pouvaient se réduire à la persistance d'une seule articulation isolée) consistent dans le dégagement minutieux de l'ensemble des pièces osseuses et dans l'attribution d'un numéro d'identification par squelette et/ou par articulations persistantes.

Un dossier de terrain est alors rempli pour chacune des sépultures à l'aide de fiches de conservation mises au point par **P. COURTAUD (1996)**.

Cet enregistrement porte sur l'observation et/ou la description de plusieurs éléments :

- la morphologie de la fosse sépulcrale et son orientation ;
- les éléments conservés de l'architecture funéraire initiale (traces de bois, clous, épingles de lincaux) ;
- le squelette (orientation, position, conservation, représentation, état des articulations, mesure des os longs). La mesure des os longs *in situ* va permettre d'estimer la stature des individus adultes, voire l'âge des sujets immatures, en laboratoire. Ceci limite la perte d'informations liée aux opérations de prélèvement et de transport du matériel osseux.
- les processus taphonomiques mis en jeu depuis le dépôt du cadavre ;
- le mobilier.

Ces fiches, une fois remplies, servent de base à l'identification du fait sépulcral (sépulture primaire/secondaire, multiple/indi-



viduelle) et à la reconstitution de l'architecture initiale disparue (cercueil, coffrage, linceul).

Suite à cette étape descriptive, la sépulture est photographiée, avec une prise de vue zénithale, puis démontée. Les ossements sont ensuite conditionnés en vue du transport (l'ensemble des parties anatomiques a été placé dans des sacs identifiés par le numéro de la sépulture, de la tombe, ou de la couche archéologique, la date de la campagne de fouille et les pièces osseuses représentées).

## 2 Les méthodes de laboratoire

L'étude en laboratoire, réalisée au secteur anthropologique du Dépôt Archéologique de Pessac\*, a débuté par le lavage des ossements.

Suite aux opérations de séchage, les restes osseux sont reconstitués dans la mesure du possible afin d'optimiser l'étude anthropologique.

Les méthodes utilisées lors de cette étude ont été choisies en fonction de leur fiabilité.

### Estimation de l'âge au décès

Plusieurs méthodes ont été conjointement utilisées pour affiner cette estimation.

Elles portent sur la maturation osseuse et dentaire.

Ainsi ont été observées :

- la fusion de l'extrémité sternale de la clavicule (**OWING-WEBB ET SUCHET 1985**). Cette extrémité se soude entre 20 et 30 ans.
- la fusion de la crête iliaque à l'ilium (*ibid.*) Elle se soude en général entre 15 et 25 ans.
- la fermeture de la synchondrose sphéno-occipitale (**SCHEUER ET BLACK 2000**). Elle sépare les moins de 20 ans des plus de 20 ans.
- la fusion épiphysaire des os longs (*ibid.*) Les épiphyses se soudent aux diaphyses entre 15 et 19 ans. Seuls les individus dont tous les os longs sont arrivés à maturation complète ont été considérés comme ayant plus de 19 ans.

---

\* Locaux du SRA Aquitaine pour le Laboratoire d'Anthropologie des Populations du Passé, UMR PACEA 5199, gracieusement mis à notre disposition par PATRICE COURTAUD.

	Équation pour les hommes	Équation pour les femmes	Équation pour les « indéterminés »
<b>Fémur</b>	$2,85 M1 + 40,66 \pm 4,14$	$2,88 M1 + 36,54 \pm 3,83$	$2,85 M1 + 39,20 \pm 4,13$
<b>Humérus</b>	$3,93 M1 + 42,41 \pm 4,83$	$4,19 M1 + 32,71 \pm 4,65$	$3,95 M1 + 41,05 \pm 4,83$

**TABEAU I** Équations pour l'estimation de la stature. M1 : Longueur maximale du fémur et de l'humérus.

- la maturation dentaire (**MOORREES et al. 1963ab**). Il s'agit de coder le stade de calcification des couronnes et/ou des racines des dents déciduales et permanentes. Nous avons pris en compte l'intervalle de confiance le plus large (95%) pour une plus grande fiabilité.
- la surface sacro-pelvienne iliaque (**SCHMITT 2005**). L'aspect de la surface auriculaire des os coxaux est codé à partir de photos de référence fournies par l'auteur. Le code obtenu est ensuite corrélé à un âge.

### Diagnose sexuelle

En raison du dimorphisme sexuel insuffisant chez les individus immatures, seuls les adultes sont soumis à cette diagnose.

Elle résulte de l'utilisation conjointe de deux méthodes portant sur l'os coxal :

- la méthode morphologique (**BRUZEK 2002**). Cinq caractères pelviens, eux même subdivisés en critères, sont observés (*cf. Annexe III*). Leur moyenne identifie l'individu comme étant de sexe masculin, féminin ou indéterminable. La fiabilité de cette méthode est de 95%.
- la diagnose sexuelle probabiliste (DSP) [**MURAIL et al. 2005**]. Elle repose sur la prise des dix mesures les plus discriminantes du coxal et leur comparaison à un large échantillon de référence. Les mesures prises sur le coxal ont été définies par **BRAÜER (1988)**, **SCHULTER-ELLIS et al. (1985)** et **NOVOTNY (1975)**. La fiabilité de diagnose est proche de 100%.

Dans le cas de résultats contradictoires entre ces deux méthodes, le résultat de la DSP sera préféré en raison de sa plus grande fiabilité.

### Estimation de la stature

La stature est estimée à partir d'équations (**CLEUVENOT ET HOUËT 1993**) prenant en compte la longueur maximale de l'humérus et du fémur (mesures de référence définies par **MARTIN in BRAÜER op.cit.**). Ces équations (**TABEAU I**) prennent en compte le sexe de l'individu.

En raison de l'influence de la latéralité sur le format des os, les mesures ont été réalisées préférentiellement à gauche.

### Le calcul du nombre minimum d'individus (NMI)

De nombreux os non rattachables à un individu en particulier ont été trouvés parmi les dépôts secondaires de la zone 1 (cimetière moderne). Afin de connaître le nombre initial d'individus inhumés, ou plutôt de s'en approcher, nous avons recours au NMI. Il s'agit du nombre minimum d'individu. Pour l'appréhender, l'ensemble des os épars a été identifié et latéralisé (cf. *Annexe II*).

Le NMI a été calculé en se fondant sur l'âge estimé, la latéralité, la morphologie et les pathologies éventuelles des pièces osseuses.

## 3 Résultats

### Corpus étudié

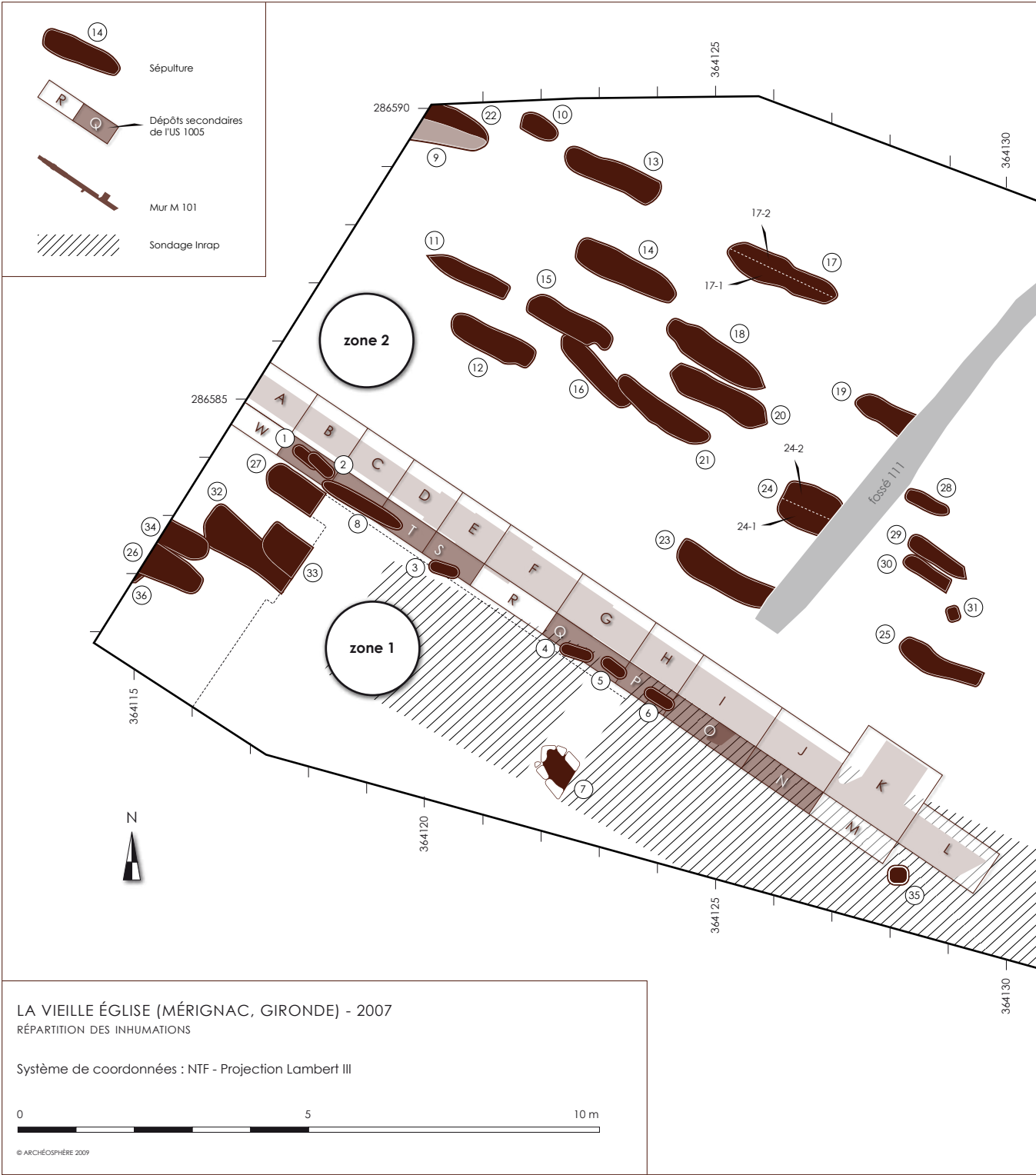
Nous sommes en présence d'une part de 36 sépultures avérées mettant en jeu 38 individus (un remploi, SP 17, et une inhumation double primaire, SP 24) et d'autre part d'un grand nombre d'ossements en position secondaire (**FIGURE 77**, page suivante). Ceux-ci se répartissent latéralement sur l'ensemble du site et sur plusieurs ensembles stratigraphiques. Le nombre minimum d'individus appartenant à ce second corpus a été estimé à 81, dont une quarantaine le long du mur M 101, au sein de l'US 1005 (**TABLEAU 2**, page 97). Ils ne peuvent être incorporés à l'étude, en raison de l'incertitude quant à la population dont ils sont issus.

### Estimation de l'âge au décès

Le choix des méthodes décrites précédemment influe directement sur les résultats. En effet, l'estimation est certes fiable mais peu précise. Ainsi, l'âge estimé va être compris dans un intervalle ou classe d'âge (**TABLEAU 3**, page 98 et **FIGURE 78**, page 99). Certaines classes ont été rajoutées à celles qui sont classiquement utilisées, à savoir >15, <20 et >20 ans.

L'incertitude la plus problématique correspond à celle des individus de plus de 15 ans car ils sont à cheval entre deux classes (les immatures et les adultes). En effet, un individu de 40 ans pourra se retrouver dans cette classe si seule la fusion épiphysaire des os longs est observable (ce qui arrive souvent lorsque la conservation et/ou la représentation osseuse est mauvaise).

Étant donné leur maturation osseuse, les 24 individus de la classe >15 ans ont été soumis à la diagnose sexuelle.



**FIGURE 77** Répartition des sépultures et des dépôts secondaires de l'US 1005. SP 17 : remploi; SP 24 : inhumation multiple primaire.

**TABLEAU 2** Présentation des résultats de l'estimation du NMI ▷



US	NBR individus	Détail				
		Adultes	Ado/adultes	Immatures	Perinatals	Indéterminé
1101 (Fo 141)	2	2	-	-	-	-
1017	3	1	1	1	-	-
1018	3	1	-	1	1	-
1006	1	-	1	-	-	-
1005	9	5	1	3		
1005 carré N	2	2	-	-	-	-
1005 carré O	3	2	-	1	-	-
1005 carré P	2	1	-	1	-	-
1005 carré Q	3	2	1	-	-	-
1005 carré R	2	1	-	1	-	-
1005 carré S	3	2	-	1	-	-
1005 carré T	6	3	2	-	1	-
1005 carré U	6	3	1	2	-	-
1005 carré V	4	3	-	1	-	-
1009	2	1	-	1	-	-
1103	1	-	-	1	-	-
1007	1	-	1	-	-	-
1002	1	-	1	-	-	-
1020	2	1	-	1	-	-
1003	3	-	2	-	-	1
1019	1	1	-	-	-	-
Fo 111	1	1	-	-	-	-
1019 fond de remaniement	2	2	-	-	-	-
Coupe 1	9	8	-	1	-	-
1015	1	1	-	-	-	-
1196	1	-	-	-	-	1
Tranchée INRAP	1	1	-	-	-	-
1049	1	-	-	1	-	-
Hors contexte	3	3	-	-	-	-
Hors contexte sondage ouest	2	1	-	-	-	1
<b>Total</b>	<b>81</b>	<b>48</b>	<b>11</b>	<b>17</b>	<b>2</b>	<b>3</b>

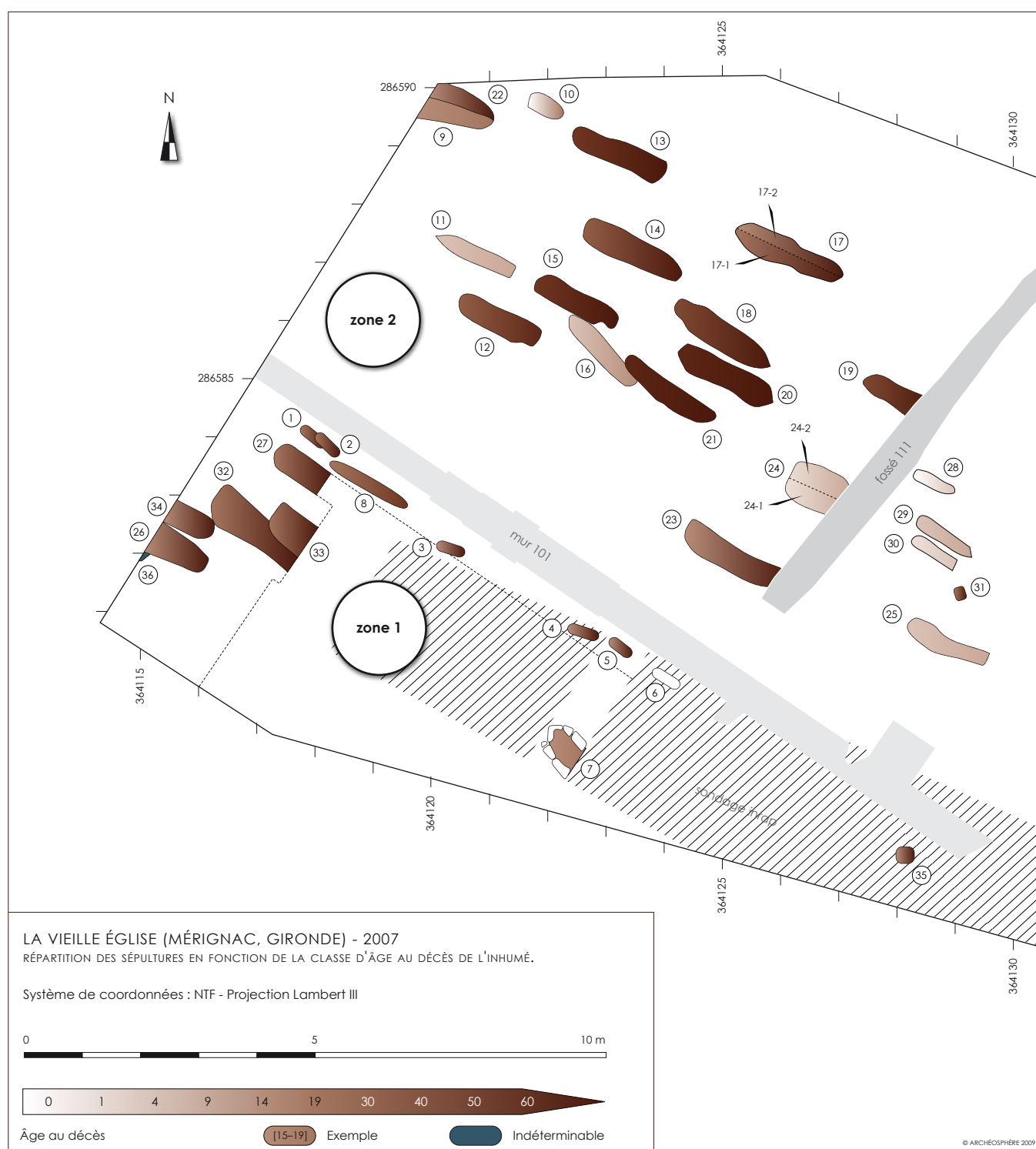
		Zone 1		Zone 1/2		Zone 2		Total/classes
		Effectif	ID Sépulture	Effectif	ID Sépulture	Effectif	ID Sépulture	
Immatures	[0]	1	SP 6	-		-		
	[0]/[1-4]	-		-		1	SP 28	
	[1-4]	-		-		1	SP 30	
	[1-4]/[5-9]	-		-		2	SP 24(1&2)	
	[5-9]	-		-		3	SP 11–25–29	
	[5-9]/[10-14]	-		-		1	SP 16	
	[15-19]	1	SP 7	-		1	SP 9	
	<20	-		-		1	SP 10	
Total immatures		2		0		10		12
Ado/Adultes	>15	5	SP 3–4–5–26–34	1	SP 35	3	SP 17(2)–22–23	9
Adultes	>20	5	SP 1–2–27–32–33	-		2	SP 17(1)–31	
	[20-49]	1	SP 8	-		-		
	>30	-		-		1	SP 14	
	[30-59]	-		-		1	SP 12	
	>40	-		-		2	SP 18–19	
	>50	-		-		2	SP 13–15	
	>60	-		-		2	SP 20–21	
Total adultes		6		0		10		16
Indéterminable		1	SP 36	0		0		1
Total/zones		14		1		23		38

**TABLEAU 3** Distribution des effectifs par classe d'âge et en fonction des zones.

En raison de la non-exhaustivité de la fouille (et donc du faible effectif de sépultures mises au jour, soit 38 individus répartis sur 36 inhumations) du cimetière médiéval (zone 2) et du cimetière moderne (zone 1), l'ensemble de la population inhumée ne peut pas être appréhendé, et il n'est donc pas possible de réaliser une étude fine du recrutement des ensembles sépulcraux.

#### Diagnostic sexuelle

L'emploi combiné des deux méthodes de diagnostic sexuelle n'a fourni de résultat que pour six individus (**TABLEAU 4** et **FIGURE 79**, *planche suivante*) en raison de la mauvaise conservation des coxaux. Le rendement de cette diagnostic n'est donc que de 25% (6 individus sur 24).



Seul un homme est identifié dans la zone 1. Ceci empêche toute interprétation quant à un recrutement lié au sexe dans cette zone.

La zone 2 présente quatre femmes et un seul homme. De même que pour la zone 1, aucune interprétation n'est à envisager.

**FIGURE 78** Répartition des sépultures en fonction de la classe d'âge au décès de l'inhumé.

	Individus	Sexe attribué	DSP				Méthode morphologique	
			Droit	P	Gauche	p	Droit	Gauche
Zone 1	8	M			M	0,957		M
Zone 2	12	I	I	0,922	I	0,856	I	M
	13	F	F	0,988			I	
	14	F	F	0,994	F	1,000	F	I
	17	I	I	0,941	I	0,770	I	I
	18	F	F	0,996	F	0,979	F	
	19	I						I
	20	M	I	0,745	I	0,928	M	M
	21	F	F	0,986				I

**TABEAU 4** Résultat de la diagnose sexuelle : détail des différentes méthodes. DSP : diagnose sexuelle probabiliste.

#### Estimation de la stature

L'estimation de la stature (**TABEAU 5**) dépend des résultats de la diagnose sexuelle et de la conservation des os longs. Il n'est donc pas étonnant d'obtenir si peu de résultats.

La stature des deux hommes (l'un dans la zone 1, l'autre dans la zone 2) n'est donnée qu'à titre indicatif.

Aucune interprétation ne peut être faite sur la base de ces quelques éléments.

#### État sanitaire de la population et marqueurs de stress

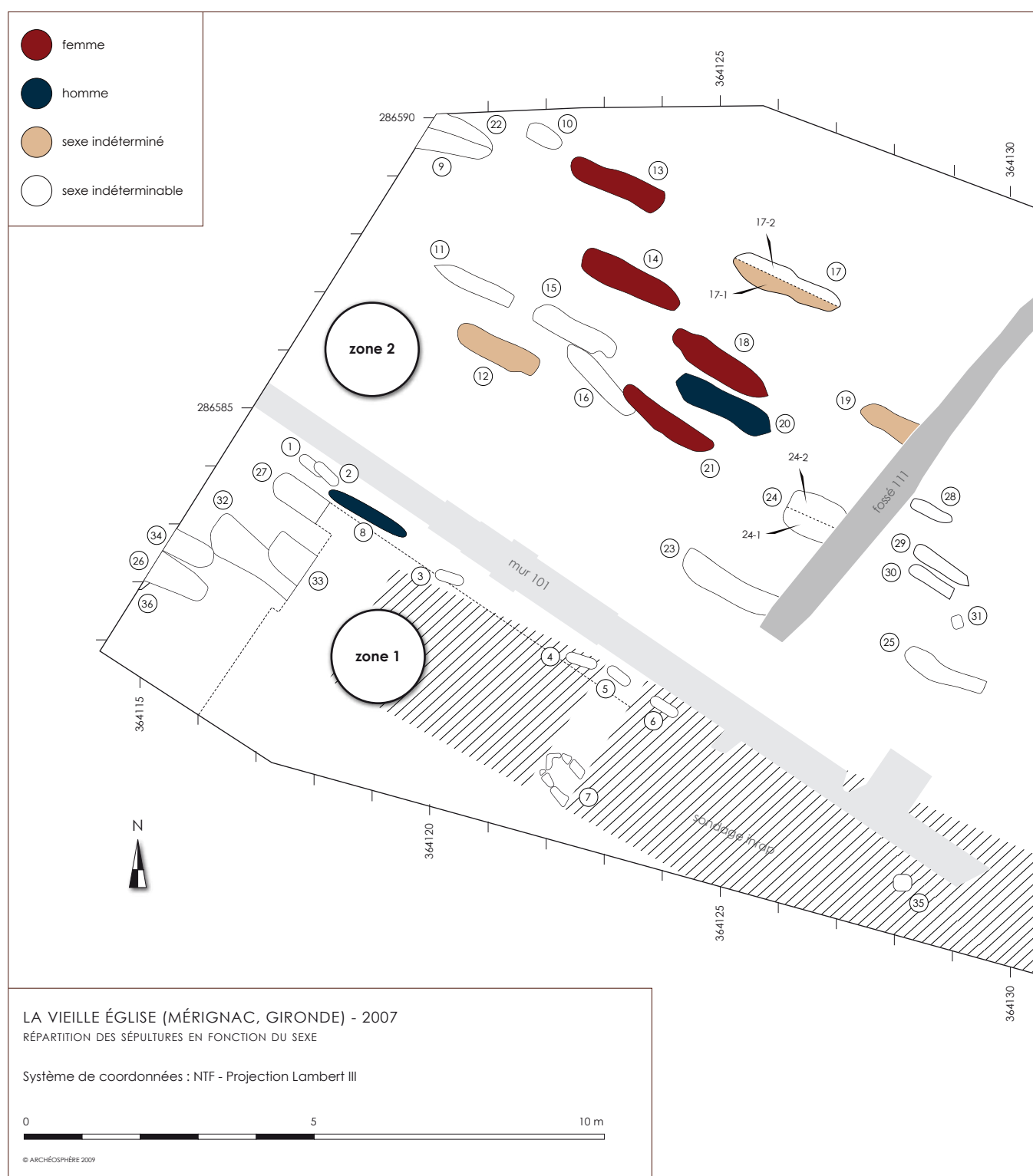
**Pathologies dentaires.** L'ensemble des dents déciduales et permanentes a été soumis à une étude fine portant sur la présence de marqueurs de stress (hypoplasies linéaires de l'émail dentaire) et de témoins de l'état sanitaire buccodentaire (caries, abcès, dépôts de tartre et usure des dents).

Les résultats de cette étude sont présentés selon deux aspects (**TABLEAUX 6, 7, 9 et 9, page 102**) : le nombre de dents présentant la pathologie et la fréquence des individus présentant ces pathologies. Ceci a pour but de mettre en valeur les cas où la fréquence n'est pas significative du nombre d'observations.

**TABEAU 5** Stature moyenne et intervalles de stature selon le sexe estimé. Z1 : cimetière moderne; Z2 : cimetière médiéval.

		Stature moyenne	Stature minimale	Stature maximale	Médiane
Zone 1	Homme	160	-	-	-
	Femme	-	-	-	-
	Indéterminé	-	-	-	-
Zone 2	Homme	159	-	-	-
	Femme	158	145	165	161
	Indéterminé	161	148	174	161





C'est le cas, par exemple, des caries de stade 3 de la zone 1 qui ont une fréquence élevée alors que seules deux dents sont concernées.

Il faut également souligner que la zone 1 n'est représentée que par trois individus (aucune dent n'a été retrouvée pour les dix autres), ce qui empêche bien évidemment toute interprétation fiable à l'échelle de la population inhumée initiale.

**FIGURE 79** Répartition des sépultures en fonction du sexe.

	Cotation	Nombre de dents	Fréquence pour la population
<b>Zone 1</b>	stade 1	-	-
	stade 2	-	-
	stade 3	2	0,67
<b>Zone 2</b>	stade 1	5	0,28
	stade 2	5	0,28
	stade 3	4	0,22

**TABEAU 6** Résultats et fréquences d'observation des caries. Les fréquences rendent compte des individus présentant ces pathologies dentaires et non des dents sur lesquelles elles sont observées. Stade 1, 2 et 3 : BOCQUENTIN (2003).

	Cotation	Nombre de dents	Fréquence pour la population
<b>Zone 1</b>	R	2	0,33
	stade 1	33	1,00
	stade 2	20	1,00
	stade 3	-	-
<b>Zone 2</b>	R	21	0,39
	stade 1	121	0,67
	stade 2	94	0,67
	stade 3	1	0,06

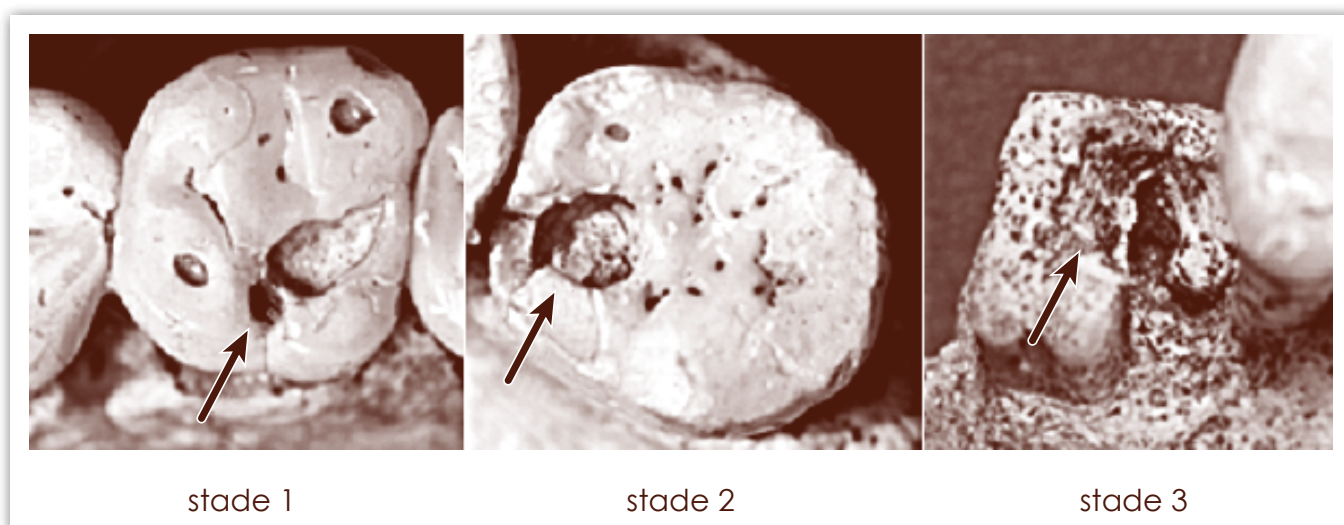
**TABEAU 7** Résultats et fréquences d'observation des usures. Les fréquences rendent compte des individus présentant ces pathologies dentaires et non des dents sur lesquelles elles sont observées. R : résorption alvéolaire ; stade 1 : < moitié de la couronne ; stade 2 : moitié de la couronne ; stade 3 : plus de couronne.

	Cotation	Nombre de dents	Fréquence pour la population
<b>Zone 1</b>	stade 1	18	1,00
	stade 2	6	0,33
	stade 3	1	0,33
<b>Zone 2</b>	stade 1	133	0,83
	stade 2	39	0,33
	stade 3	1	0,06

**TABEAU 8** Résultats et fréquences d'observation des dépôts de tartre. Les fréquences rendent compte des individus présentant ces pathologies dentaires et non des dents sur lesquelles elles sont observées. Stade 1 : sur moins de la moitié de la couronne ; stade 2 : sur la moitié de la couronne ; stade 3 : sur toute la couronne.

	Cotation	Nombre de dents	Fréquence pour la population
<b>Zone 1</b>	C	5	0,50
	CM	2	0,50
<b>Zone 2</b>	C	18	0,44
	CM	21	0,56
	M	4	0,33
	MO	1	0,11
	CMO	3	0,22

**TABEAU 9** Résultats et fréquences d'observation des hypoplasies linéaires. Les fréquences rendent compte des individus présentant ces pathologies dentaires et non des dents sur lesquelles elles sont observées. C : collet ; M : milieu ; O : occlusal ; CM, MO et CMO : combinaisons de C, M et O.



Seuls les résultats de la zone 2 vont être interprétés :

- 33% de la population inhumée présente des caries, mais il est rare qu'un individu possède plus d'une dent cariée. Les trois stades de caries sont à fréquences égales (**TABLEAU 6** et **FIGURE 80**).
- L'usure des dents est majoritairement faible à moyenne. L'usure complète de la couronne ne concerne que quelques rares cas. Un tiers de la population présente des résorptions alvéolaires concernant le plus souvent les molaires inférieures (**TABLEAU 7**).
- Si la quasi-totalité des individus observés présente des dépôts de tartre, ceux-ci concernent presque toujours moins de la moitié de la dent. Les incisives et les canines sont le plus touchées (**TABLEAU 8**).
- La majorité des individus étudiés a développé des hypoplasies linéaires au niveau de la face vestibulaire. Ces hypoplasies sont le plus souvent partielles (elles ne concernent pas toute la face vestibulaire). Seuls deux individus, les individus 24-1 et 25 (soit 22% de la population dont les dents ont été retrouvées et observées), ont développé une hypoplasie totale typique d'une carence importante lors de la croissance (**TABLEAU 9**).

La faible fréquence d'hypoplasie marquée traduit simplement le fait que certains individus sujets à une forte carence au moment de l'enfance peuvent mourir avant d'en développer des signes.

Les treize individus dont les hypoplasies sont partielles (soit 87% de la population) ont eux aussi subi une carence, mais de moindre intensité.

**Pathologies traumatiques.** Le calcanéum droit de l'individu 18 présente une exostose dont l'origine est probablement traumatique (**FIGURE 81**). L'absence du calcanéum gauche empêche la vérification de cette hypothèse.

**FIGURE 80** Stades de Bocquentin 2003 pour les caries.

**FIGURE 81** Vues latérale, médiale et proximale d'une exostose traumatique présente sur le calcanéum droit de l'individu 18.



Il paraît peu probable que cette exostose ait rendu la marche impossible.

Aucun cas de fracture n'a pu être observé.

**Pathologies dégénératives.** La présence d'arthrose et d'enthésopathie a été recherchée sur l'ensemble du squelette (**TABLEAU 10**).

L'arthrose des surfaces articulaires est en général un phénomène dégénératif. Il arrive cependant qu'un traumatisme ou une activité répétée en soit l'origine.

Seuls cinq individus présentent une arthrose légère (ostéophytose de faible ampleur) au niveau des vertèbres.

Seul un cas d'arthrose s'est développé sur une autre articulation : le radius gauche de l'individu 32 présente une éburnation au niveau de la surface articulaire proximale.

L'éburnation est un lustrage de l'os, résultat de frottements importants entre les deux os de l'articulation. Il s'agit ici d'une réaction d'origine mécanique, traduisant une sollicitation fréquente du coude gauche. Le radius droit n'est pas conservé, ce qui ne permet pas de vérifier l'unilatéralité de cette pathologie.

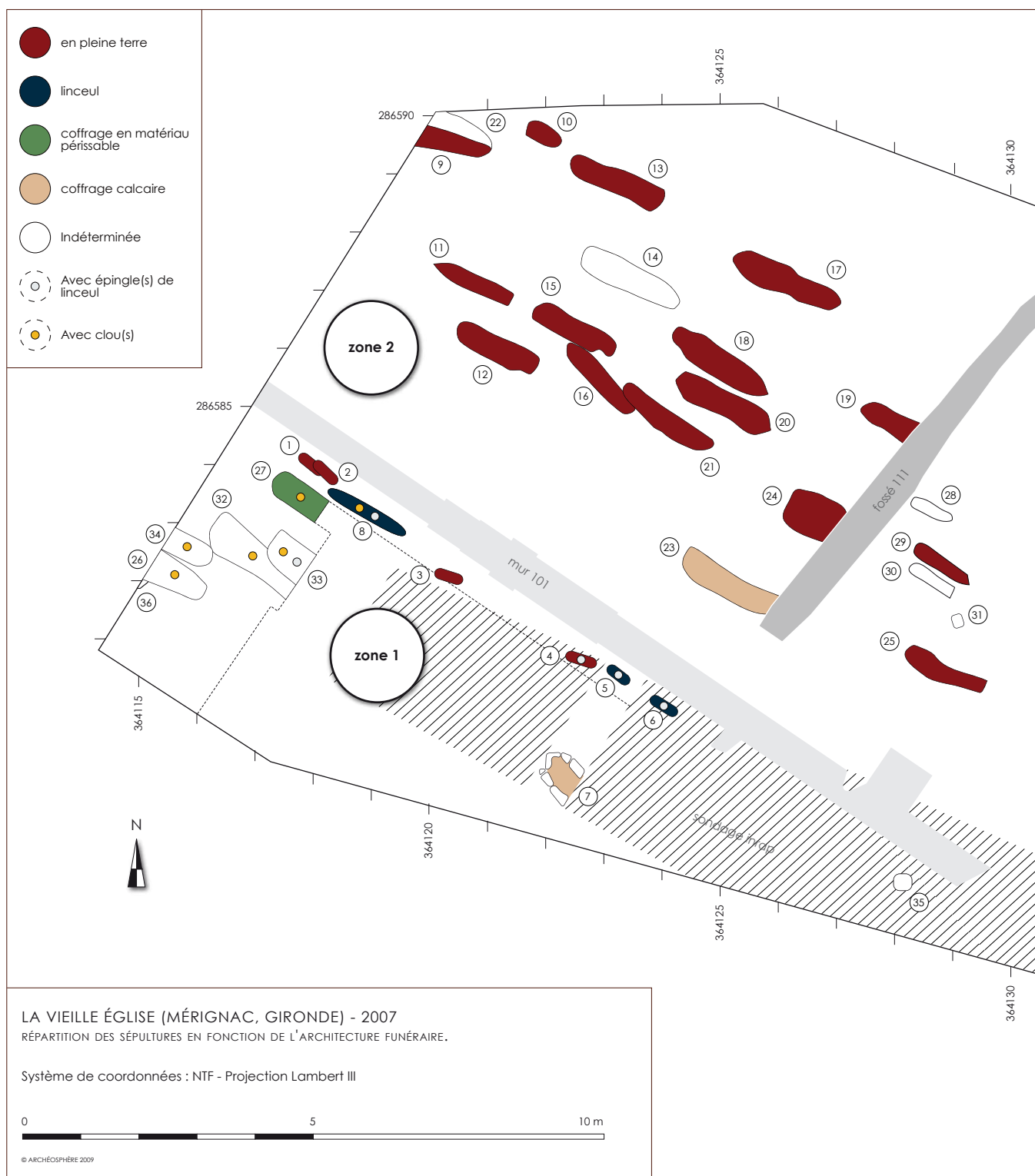
La formation d'enthèse concerne 64% des individus étudiés. Elle touche préférentiellement le calcaneum et les vertèbres. Ces enthèses sont certes fréquentes mais peu développées. Il s'agit ici d'un phénomène dégénératif classique, bien qu'il puisse être d'origine traumatique et/ou inflammatoire dans d'autres cas.

**Pathologies inflammatoires.** Des nodules de **SCHMORL** ont été identifiés sur les corps vertébraux (sans distinction entre vertèbres cervicales, thoraciques et lombaires) pour 56% des individus observés (**TABLEAU 10**). Ces nodules résultent de la solidification et de la migration du *nucleus pulposus* des disques intervertébraux. Lorsque ce *nucleus pulposus* atteint le canal rachidien, il déclenche une hernie discale. Les neuf cas observés ne sont pas au stade de l'hernie discale mais ont toutefois

**TABLEAU 10** Fréquences des pathologies dégénératives et inflammatoires observées.

		Nbr de présences	Nbr d'observations	Fréquence
Arthrose	VC	4	14	0,29
	VT(1-6)	1	11	0,09
	VT (7-12)	1	11	0,09
	VL	3	11	0,27
	Coude	1	17	0,06
Enthésopathie	Vertèbres	5	13	0,38
	Patelle/tibia	2	14	0,14
	Calcaneum	7	12	0,58
Nodules de SCHMORL		9	16	0,56





pu souffrir de douleurs au niveau de la colonne vertébrale. Cette pathologie apparaît suite à de fortes sollicitations mécaniques du rachis.

**FIGURE 82** Répartition des sépultures en fonction de l'architecture funéraire.

### Modes d'inhumations et pratiques funéraires (FIGURE 82)

**Le cimetière médiéval (zone 2).** Cette zone concentre 23 sépultures (et 25 individus) dont :

		Extension	Flexion	Mains		
				Haute	Basse	Moyenne
Membres	supérieur droit	0,56	0,44	0,06	0,78	0,17
	supérieur gauche	0,37	0,63		0,67	0,33
	inférieur droit	0,95	0,05			
	inférieur gauche	0,95	0,05			

**TABLEAU II** Fréquences observées des positions des membres au sein de la zone 2.

- 21 sépultures individuelles primaires dont une avec remploi (SP 17) ;
- 1 sépulture individuelle secondaire (SP 14) ;
- 1 sépulture multiple primaire (SP 24).

Ce sont toutes des inhumations en pleine terre (à l'exception des sépultures 14, 22, 28, 30, 31, 35 dont l'interprétation du type d'inhumation est impossible, et de la présence de deux coffres funéraires en pierre pour les sépultures 7 et 23), orientées selon l'axe nord-ouest/sud-est (la tête est au nord-ouest).

Deux types de position du cadavre sont observés : l'inhumation en décubitus (individu couché sur le dos) qui est généralisée, et l'inhumation de moitié sur la droite (intermédiaire entre la position allongée sur le dos et la position allongée sur le côté droit) qui ne concerne que deux cas (sépultures 15 et 20).

La position dite « de référence » observée pour ce cimetière (**TABLEAU II**) correspond à un individu allongé sur le dos, le membre supérieur gauche en flexion, le membre supérieur droit en extension ou en flexion (pas de différence significative d'après le test de **FISHER-SNEDECOR** bilatéral au seuil de 0,05), les deux mains en position basse et les membres inférieurs en extension.

La présence de traitement funéraire différentiel selon l'âge (et non selon le sexe, en raison des faibles résultats de la diagnose sexuelle) a été recherchée par l'intermédiaire du test statistique de **FISHER-SNEDECOR** bilatéral au seuil de 0,05.

L'ensemble des paramètres taphonomiques et funéraires a été pris en compte.

Aucune liaison à l'âge n'a été constatée.

**Le cimetière moderne (zone 1).** Treize sépultures individuelles primaires (interprétation impossible pour la sépulture 33) sont identifiables dans la zone 1. À ces 13 individus s'ajoutent les 40 individus retrouvés en position secondaire.

		Extension	Flexion	Mains
				Moyenne
Membres	Supérieur droit	0,33	0,67	1,00
	Supérieur gauche	0,50	0,50	1,00
	Inférieur droit	1,00		
	Inférieur gauche	1,00		

Contrairement au cimetière médiéval, les modes d'inhumation sont plus variés. En effet, des inhumations en linceul (sépultures 5, 6 et 8), en coffrage en matériau périssable (sépulture 27) sont observées en plus des inhumations en pleine terre (sépultures 1, 2, 3 et 4).

Le cadavre est inhumé en position de décubitus (couché sur le dos) dans tous les cas présents.

La position de référence (**TABLEAU 12**) correspond à un individu couché sur le dos dont le membre supérieur droit est fléchi, le membre supérieur gauche est étendu ou fléchi, les mains sont en position basse et les membres inférieurs sont étendus.

Comme pour le cimetière médiéval, seule la présence de traitement différentiel selon l'âge est recherchée par le biais du test statistique de Fisher-Snedecor bilatéral eu seuil de 0,05.

Aucune liaison à l'âge n'est observable.

### Répartition spatiale

**Le cimetière médiéval (zone 2).** Au vu du faible recoupement de sépultures (2 cas sur 23), la présence d'éléments de signalisation en matériau périssable est envisageable.

La présence d'os erratiques, n'appartenant pas à l'individu 17, au niveau du fond de fosse de la sépulture 17 indique une réutilisation d'une fosse sépulcrale après vidange de son contenu.

La présence d'un ossuaire en dehors de l'emprise de la fouille est probable. Cette observation argumente également la présence d'éléments signalant la localisation de sépultures.

Ceci implique une gestion de ce cimetière, aussi bien dans l'espace que dans le temps.

**Le cimetière moderne (zone 1).** L'ensemble des sépultures modernes est regroupé au sud du mur M 101.

Exceptées les sépultures 27, 26, 32, 33, 34 et 36 qui sont rassemblées au nord-ouest, les sépultures 1 à 8 (en excluant SP 7) sont situées contre le mur M 101.

**TABLEAU 12** Fréquences observées des positions des membres au sein de la zone 1.

Les os en position secondaire semblent résulter d'une vidange d'une partie du cimetière qui pourrait correspondre aux bâtiments qui viennent s'implanter sur cette zone dès le XIX<sup>e</sup> siècle. Leur densité témoigne d'une population beaucoup plus importante quantitativement que les quelques inhumations primaires observées de prime abord.

## 4 Synthèse

La fouille non exhaustive de cette parcelle a mis au jour un cimetière médiéval et un cimetière moderne. Étant donné leur écart chronologique, ces deux occupations rendent compte de deux populations distinctes.

Les individus inhumés dans le cimetière médiéval témoignent des difficultés alimentaires et sanitaires rencontrées par la population dont ils sont issus, mais ils témoignent surtout de leur capacité d'adaptation et de survie à ces carences.

Ils témoignent également d'une égalité dans le traitement funéraire du défunt selon l'âge, et probablement selon le sexe (tous les adultes suivent un mode d'inhumation similaire) et d'une gestion spatio-temporelle de l'aire funéraire.

Bien évidemment, la non-exhaustivité de la fouille limite et rend difficile toute interprétation.

Le cimetière moderne concerne un nombre d'individus beaucoup plus important. Cependant, seules les sépultures les moins perturbées ont pu être étudiées. En conséquence d'une conservation médiocre et de perturbations anthropiques majeures, très peu de données sont obtenues, ce qui limite énormément les interprétations. Par rapport au cimetière médiéval, nous assistons à la diversification des modes d'inhumation, avec des contenants en matériau périssable (coffrages et linceuls). La présence de clous dans les couches archéologiques remaniées rend compte de la probable inhumation en coffrages en matériau périssable d'une partie des os en dépôt secondaire.

Aucune pratique funéraire différentielle selon l'âge n'est observée ■





# ÉTUDE DES MONNAIES

ROBERT-ANDRÉ **SÉNAC**

# 6

## ÉTUDE DES MONNAIES

ROBERT-ANDRÉ SÉNAC



FIGURE 83 Monnaies [2] et [3] *in situ*.



FIGURE 84 Monnaies [2] *in situ*. Détail.



FIGURE 85 Monnaies [3] *in situ*. Détail.

**C**INQ PIÈCES DE MONNAIE ont été découvertes dans les premiers niveaux de la zone 1 (TABLEAU 13, page 117). La plus récente [1], mise au jour lors du décapage, appartient à la couche végétale de surface (US 1001, voir chapitre 4). Elle est contemporaine du XX<sup>e</sup> siècle.

Trois pièces de la période moderne (XVI<sup>e</sup>–XVII<sup>e</sup> siècles) ont été retrouvées dans l’US 1005 qui longe le mur M 101 [2] [3] [4].

Deux d’entre elles [2] [3] ont été retrouvées non loin du fond de cuve de sarcophage réemployé dans la maçonnerie de ce mur (USC 1115, voir chapitre 4) [FIGURES 83, 84 et 85] ; la dernière [4] était située au niveau du thorax de l’une des sépultures de cette zone (SP 6) [FIGURES 86 et 87].

La dernière monnaie [5], chronologiquement ancrée au XV<sup>e</sup> siècle, a été retrouvée dans le comblement d’un creusement très récent (US 1020, voir chapitre 4).

Dans tous les cas, ces monnaies sont en position secondaire, à l’exception de la pièce [4], bien que l’on ne puisse démontrer que son dépôt fut délibéré, c’est-à-dire en relation avec l’inhumation du défunt de la sépulture SP 6.

### 1 Monnaie [1]

#### Pièce contemporaine de 10 centimes

Frappée comme monnaie divisionnaire de la III<sup>e</sup> République en métal commun et peu pérenne, sa faible valeur, sa circulation limitée à la période de l’Entre-deux-guerres et de l’Occupation (démonétisée le 1<sup>er</sup> avril 1947), sa perte dans des lieux utilisés à ces époques comme bâtiments annexes de l’administration municipale ne présentent pas d’intérêt historique notable (FIGURE 88, planche suivante).

### 2 Monnaies [2] [3] [4]

#### Doubles tournois royaux (1580-1637)

Trois doubles tournois ont été examinés, tous en état de conservation très médiocre. Par un heureux hasard, chacun présente au moins une singularité lisible qui a permis de les identifier formellement.

**Monnaie [2]**

De module quadrangulaire, elle est sortie de l'atelier de Bayonne en **1580** ou **1581** (**FIGURE 89**, *planche suivante*).

**HENRI III** est le seul roi H qui ait aussi porté sur sa monnaie le titre royal polonais et seul l'atelier de Bayonne aux années indiquées s'est fait remarquer par la gravure d'un buste royal tourné à gauche sur ce type de monnaie.

**Monnaie [3]**

De module ordinaire, elle porte trace épigraphique du roi **LOUIS XIII** (**FIGURE 90**, *page 114*). Seul l'atelier de Bordeaux, à la date de **1614**, a placé une étoile à 6 branches entre les mots **DOUBLE** et **TOURNOIS** au revers.

**Monnaie [4]**

Également de module ordinaire, elle est intitulée au nom du roi **LOUIS XIII** et daté de **1637** (**FIGURE 91**, *page 115*). Cette monnaie est caractérisée par le minuscule écu de Navarre placé en bout de la légende du droit et qui identifie à coup sûr l'atelier navarrais de Saint-Palais. Ce millésime, qui ne figure pas dans les répertoires les plus connus, est peut-être inédit.

L'état des trois pièces ne permet pas d'aller plus loin pour rattacher ces espèces à un maître d'atelier, responsable de l'émission, ou à un graveur, responsable du style de la monnaie. Les historiens pourront les induire en examinant les répertoires et les études relatives à ces monnaies et à leurs ateliers.

Ces doubles trouvés dans les fouilles du même lieu ont leur place dans un contexte local et régional de frappe et de circulation. Ils sont sortis d'ateliers réguliers de la monarchie française du dernier quart du XVI<sup>e</sup> siècle et du premier tiers du XVII<sup>e</sup> siècle, époque marquée par l'accession au trône dans une période de guerre civile des Bourbon liés à la région. Bordeaux et Bayonne étaient des ateliers royaux de la Guyenne. Saint-Palais, atelier de la capitale du royaume de Navarre cispyrénéen, a été formellement maintenu comme atelier royal français après la réunion de la Navarre et du Béarn, états souverains, à la France en **1620**.



**FIGURE 86** Monnaie [4] *in situ*.



**FIGURE 87** Monnaie [4] *in situ*. Détail.





**FIGURE 88** Monnaie [1]. En haut : avant restauration. En bas : après restauration. À gauche : devers. À droite : revers.

Le double tournois, monnaie légale en cuivre de la valeur de deux deniers, a été créé en **1575** et a circulé comme multiple du denier tournois également frappé en cuivre depuis la même date.

Ces monnaies ont eu cours bien au-delà de leur époque de frappe puisqu'elles ne furent démonétisées qu'en **1852**, lors de la refonte générale des monnaies de bronze en vue de leur uniformisation décimale. Entre **1643** et **1694**, le cours du double fut aligné sur celui du denier en raison des abus de frappe commis par les traitants prestataires et les princes périphériques autorisés (Sedan, Charleville, Château-Regnault, Bouillon, Cugnon, Phalsbourg, Dombes, Henrichemont, Orange et Avignon). Après **1795**, les espèces encore existantes circulèrent pour la contre-valeur des centimes décimaux.



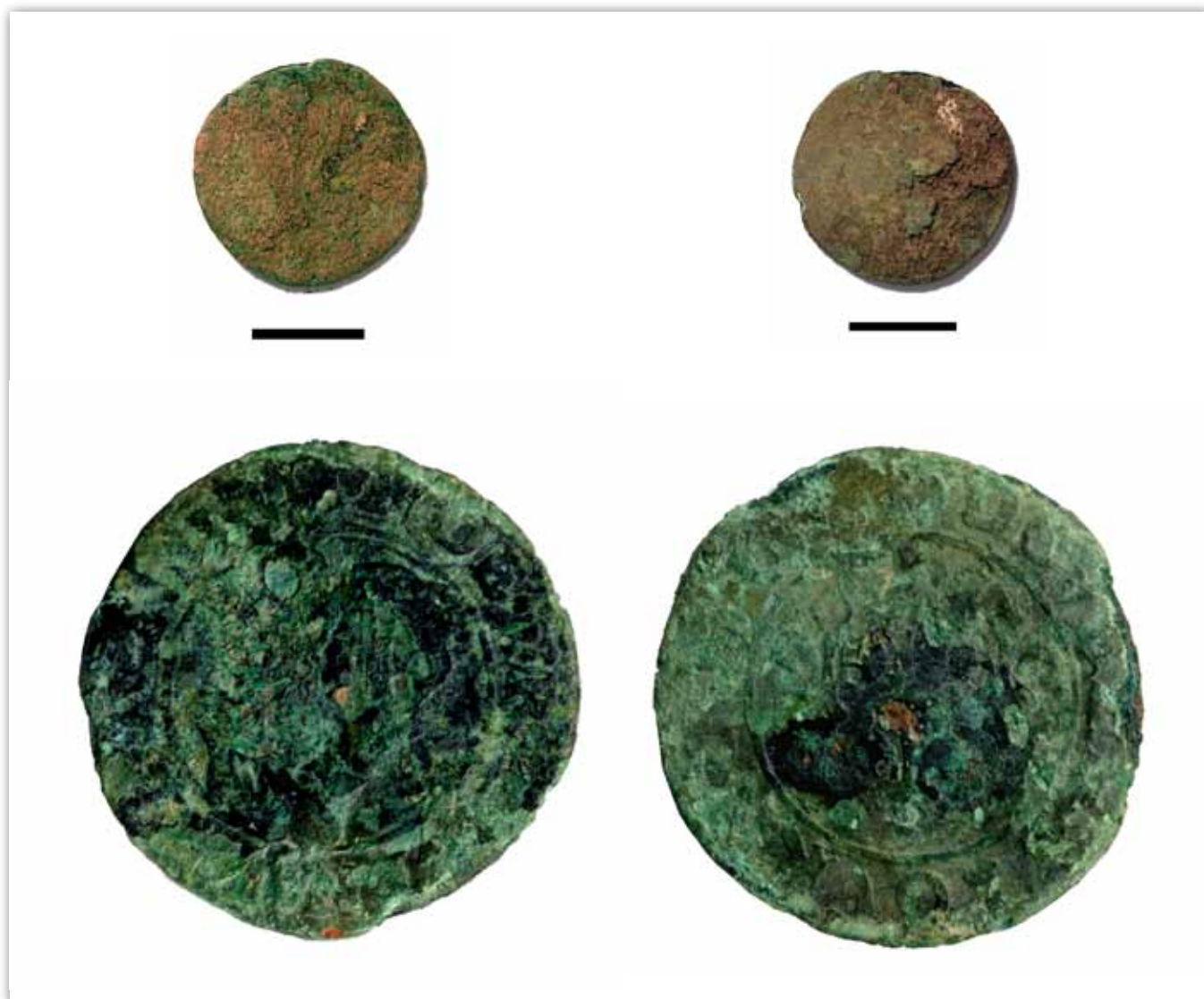


### 3 Monnaie [5] Denier d'Aquitaine HENRY (IV/V/VI)

Il s'agit d'une monnaie noire (bas billon) de la plus petite espèce divisionnaire du système monétaire de la seigneurie souveraine d'Aquitaine (1363–1453) [FIGURE 92, page 116]. L'Angleterre a tiré du titre latin *dominus* (seigneur) le mot *dominion* qui a le même sens pour des états rattachés à sa couronne encore aujourd'hui.

À l'époque où cette pièce a été frappée, probablement dans l'atelier central voisin de Bordeaux, par suite des traités de Brétigny-Calais, l'Aquitaine était devenue un état souverain indépendant de la France et de l'Angleterre, ayant même monarque que cette dernière (dynastie Plantagenêt, branche de Lancastre), mais administration distincte avec Bordeaux pour

**FIGURE 89** Monnaie [2]. En haut : avant restauration. En bas : après restauration. À gauche : devers. À droite : revers.



**FIGURE 90** Monnaie [3]. En haut : avant restauration. En bas : après restauration. À gauche : devers. À droite : revers.

capitale, le gascon pour langue usuelle, le latin pour langue administrative et sa monnaie particulière.

L'état de la pièce ne permet pas de préciser si l'exemplaire appartient aux types où le roi **HENRY** porte seulement le titre de roi d'Angleterre ou s'il y porte les deux titres royaux d'Angleterre et de France. Trois **HENRY** se sont succédé de père en fils à Bordeaux entre **1400** et **1453**. Les lis et les lions typiques (passant et regardant), posés en écartelé, identifient les Plantagenêt de cette époque. Ce qui reste lisible de son style l'apparenterait plutôt aux frappes du premier quart du XV<sup>e</sup> siècle, peut-être même au règne d'**HENRY IV (1400 – 1413)**.

#### 4 Discussion

Outre la monnaie [1] qui ne présente aucun intérêt dans le cadre de notre problématique, il faut également évoquer la monnaie [5] dont la découverte en contexte de remaniements importants et récents interdit toute interprétation. En ce qui concerne les doubles tournois, certaines hypothèses

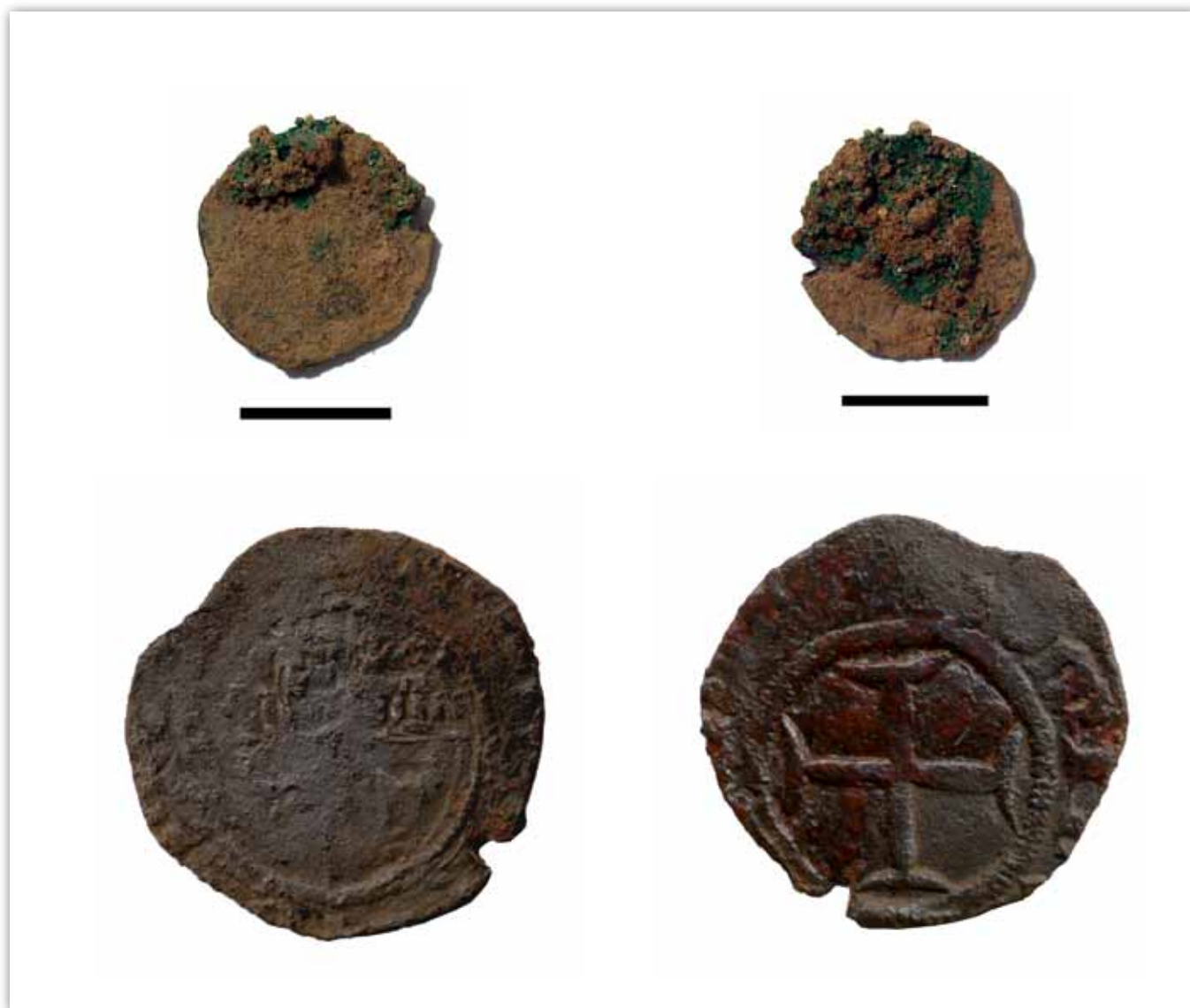


peuvent être esquissées. Les monnaies [2] et [3] ont été retrouvées au débouché du chemin presbytéral s'étendant du nord vers le sud, chemin devenu voie privée après acquisition de l'ancien bâtiment par **VINCENT SIBADEY** en 1790 et que l'on retrouve sur le cadastre de 1811, repris par l'atlas parcellaire de 1833 (cf. chapitre 7). Sans anachronisme, l'on pourrait ainsi évoquer la perte de ces pièces par un usager de cette voie de passage, au nord du cimetière, ou du jardin situé au-delà (temps du presbytère ou temps de la Maison **SIBADEY**). Concernant la monnaie [4], l'hypothèse d'un dépôt sépulcral volontaire vient immédiatement à l'esprit. L'explication pourrait être la coutume dite de l'obole à **CARON**, consistant à placer près du défunt une monnaie de faible valeur ou démonétisée. Cet usage, toléré par le christianisme, est encore signalé dans la première moitié du XX<sup>e</sup> siècle un peu partout en France.

**Au** demeurant, et concernant l'ensemble de ces trois pièces, le mode de dépôt (perte, dépôt sépulcral) ne peut être véritablement perçu compte tenu du contexte remanié de leur dé-

**FIGURE 91** Monnaie [4]. En haut : avant restauration. En bas : après restauration. À gauche : devers. À droite : revers.





**FIGURE 92** Monnaie [5]. En haut : avant restauration. En bas : après restauration. À gauche : devers. À droite : revers.

couverte. Bien que la monnaie **[4]** soit la seule qui puisse être taphonomiquement discutée (posée sur le thorax du squelette de la sépulture SP6), l'on ne peut exclure qu'elle fasse partie de la terre de remplissage de la tombe.

Enfin, l'on se souviendra que la fourchette temporelle de circulation de ces monnaies est très large (du XVI<sup>e</sup> au XIX<sup>e</sup> siècle), et que celles-ci ne permettent donc pas d'ancrer chronologiquement avec certitude l'US 1005 ■



ID	Alliage métallique	Diamètre (mm)	Masse (g)	Coins (h)	Observations	US
01	Bronze, aluminium ou maillechort	21	2,16	6	10-c type Lindauer – France, III <sup>e</sup> République (1917X1939) R—F perforation centrale R/CMES souligné millésime effacé Franc I 138-139 – Gad 67-68	US 1001
02	Cuivre	18x16 quadrangulaire	2,01	4	Double tournois 2 <sup>e</sup> type – France, Henri III (Bayonne, 1580X1581) H—RAN E•POL— buste barbu cuirassé lauré à gauche; « perle » à l'oreille R/—E TOVRNO— 3 lis posés 2 et 1; point au centre CGKL 18b (1580-1581) – Sb 4020 var (1581) – Dy1154 var (1580-1581) – Laf 994 var (1580-1581)	US 1005
03	Cuivre	20	2,33	6	Double tournois – France, Louis XIII (Bordeaux, 1614) LOV—III•R•DE•FR—T NAV buste à droite; atelier effacé R/ +DOVBLE*TOVRNO—; date effacée 3 lis posés 2 et 1 CGKL 272 (buste enfantin; * déterminante pour Bordeaux 1614)	US 1005
04	Cuivre	20	3,56	6	Double tournois de Navarre – France, Louis XIII (St-Palais, 1637) LOVISXIII D G R [FR]AN E•NA <i>écu</i> buste à droite R/ +DOVBLE [TOVRNOIS] 1637 3 lis posés 2 et 1 CGKL 506c (1635) – Dy 1379 var (1633 1635 1636) – Dr 144b (1633 1635 1636 1638 1639) – Gad 10(1632 1633 1635 1636 1638 1639 1643) – Ci 1730 (1635) – millésime inédit ?	US 1005 – SP 6
05	Bilon noir	15	0,66	12	Denier – Aquitaine, Henry IV/V/VI (Bordeaux ?, 1400-1453) <i>ILLISIBLE</i> écartelé aux 1 et 4 à 1 lis, aux 2 et 3 à un lion passant et regardant R/ +DOMInV[S ACITAn]IE croix fine pattée Elias 236 (H IV/V/VI 1400-1453) – Hewlett H IV 2 var b pour le D/; H IV 3 pour le R/ (1400-1413) – PA 3127 var (H IV 1400-1413)	US 1020

Abréviations bibliographiques. Ci: CIANI 1926; Dr: DROULERS 1987; Dy: DUPLESSY 1988–1989; Elias: ELIAS 1984; Franc: *Le Franc, argus des monnaies françaises* 1995; Gad: GADOURY 1987 + GADOURY et DROULERS 1986; Hewlett: HEWLETT 1920; Laf: LAFURIE et PRIEUR 1951–1956; PA: POEY D'AVANT 1858–1862; Sb: SOMBART 1997.

**TABLEAU 13** Inventaire des monnaies.





# SYNTHÈSE ET CONCLUSION

LOÏC DAULNY

# 7

## SYNTHÈSE ET CONCLUSION

LOÏC DAULNY

**S**UR UNE SURFACE DE **300 m<sup>2</sup>**, la parcelle du cimetière de l'église Saint-Vincent de Mérignac a révélé des structures de types variés, associées à plusieurs niveaux d'occupation (**FIGURE 93**) :

- des structures en creux (silos, fossés et puits) ;
- des structures en élévation (talus) ;
- des structures funéraires (cercueils avec ou sans linceul, coffres funéraires en pierres jointives, inhumations en pleine terre avec ou sans linceul) et
- des structures bâties (arases de murs, puits) témoins de plusieurs bâtiments, d'un mur de clôture de cimetière et d'un puits.

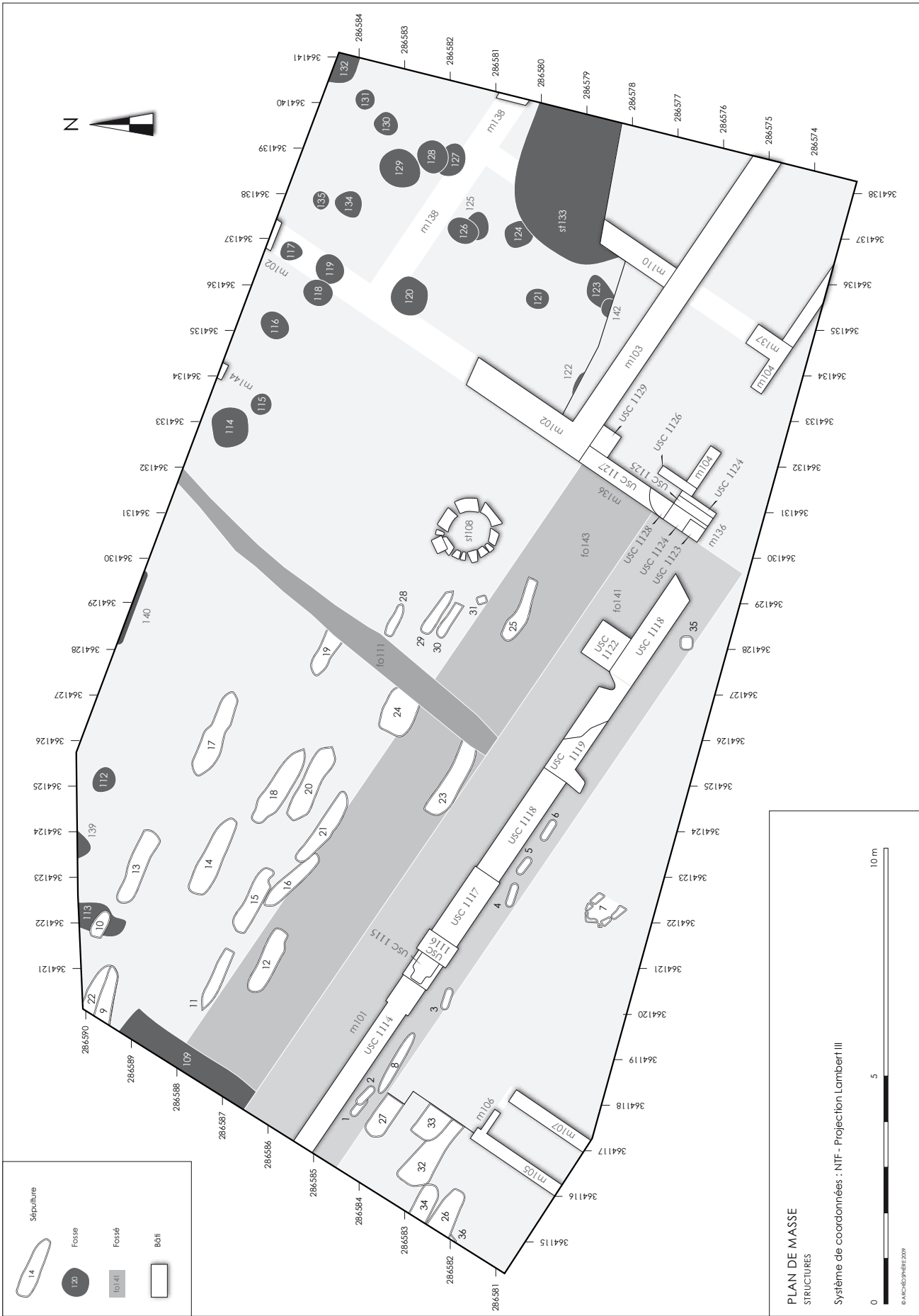
Ces structures ont été attribuées à différentes périodes chronologiques en croisant les données stratigraphiques (**FIGURE 94**), les données de l'analyse céramique (*voir annexe 6, « Inventaire des mobiliers »*) et les datations radiocarbone (**FIGURE 95**). Ces résultats ont été restitués sous la forme et d'un plan phasé (**FIGURE 96**) et d'une matrice de **HARRIS** simplifiée et phasée (**FIGURES 97**).

### **1 Première phase du cimetière (début XII<sup>e</sup>–fin XII<sup>e</sup> s.)** **Première délimitation, puis premier agrandissement du cimetière (FIGURE 98)**

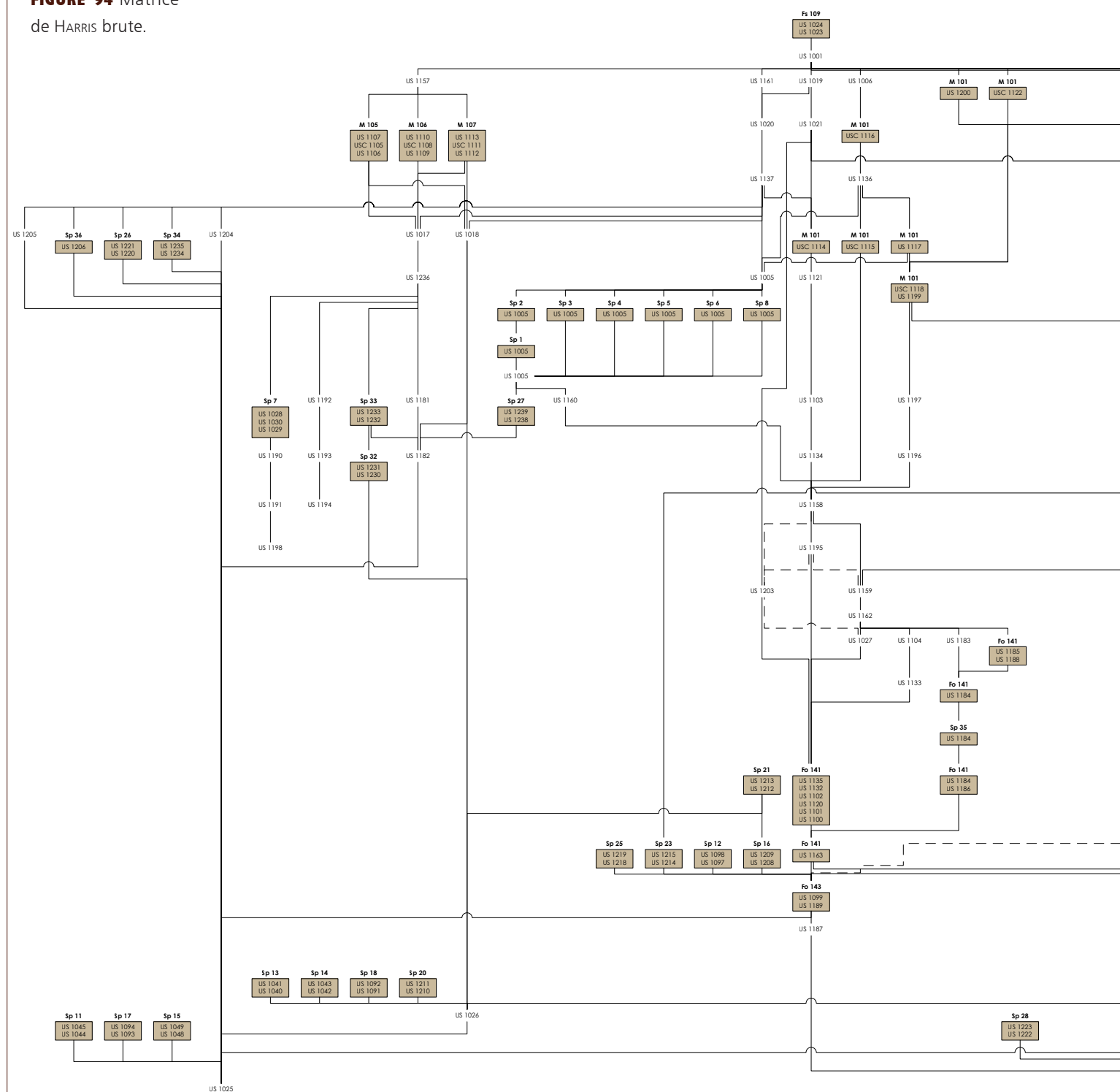
Pour la parcelle fouillée, la fonction cimetériale commence avec le creusement, probablement au début du XII<sup>e</sup> siècle, d'un fossé (Fo 143) pouvant être interprété comme une délimitation du cimetière. Puis le fossé se comble sans aucun témoignage d'entretien, jusqu'à son abandon définitif vers le milieu du XII<sup>e</sup> siècle.

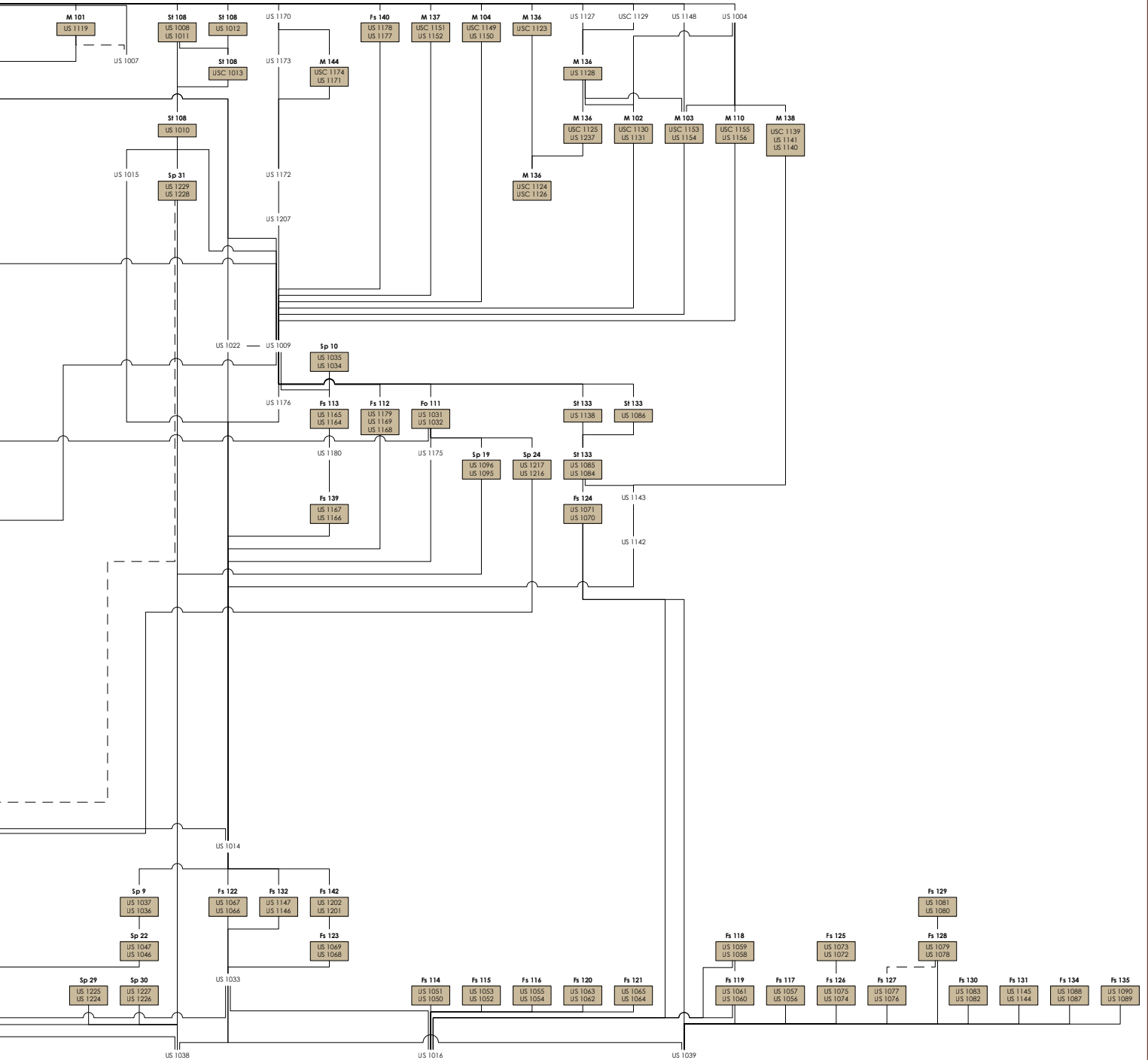
Suit alors une phase d'extension du cimetière durant la seconde moitié du XII<sup>e</sup> siècle, illustrée sur cette parcelle par trois inhumations (SP9, 12 et 22). En effet, l'inhumation 12, datée par <sup>14</sup>C entre **980** et **1160**, est creusée dans le comblement du fossé, et l'inhumation 9 recoupe l'inhumation 22, datée par <sup>14</sup>C entre **1170** et **1280**.

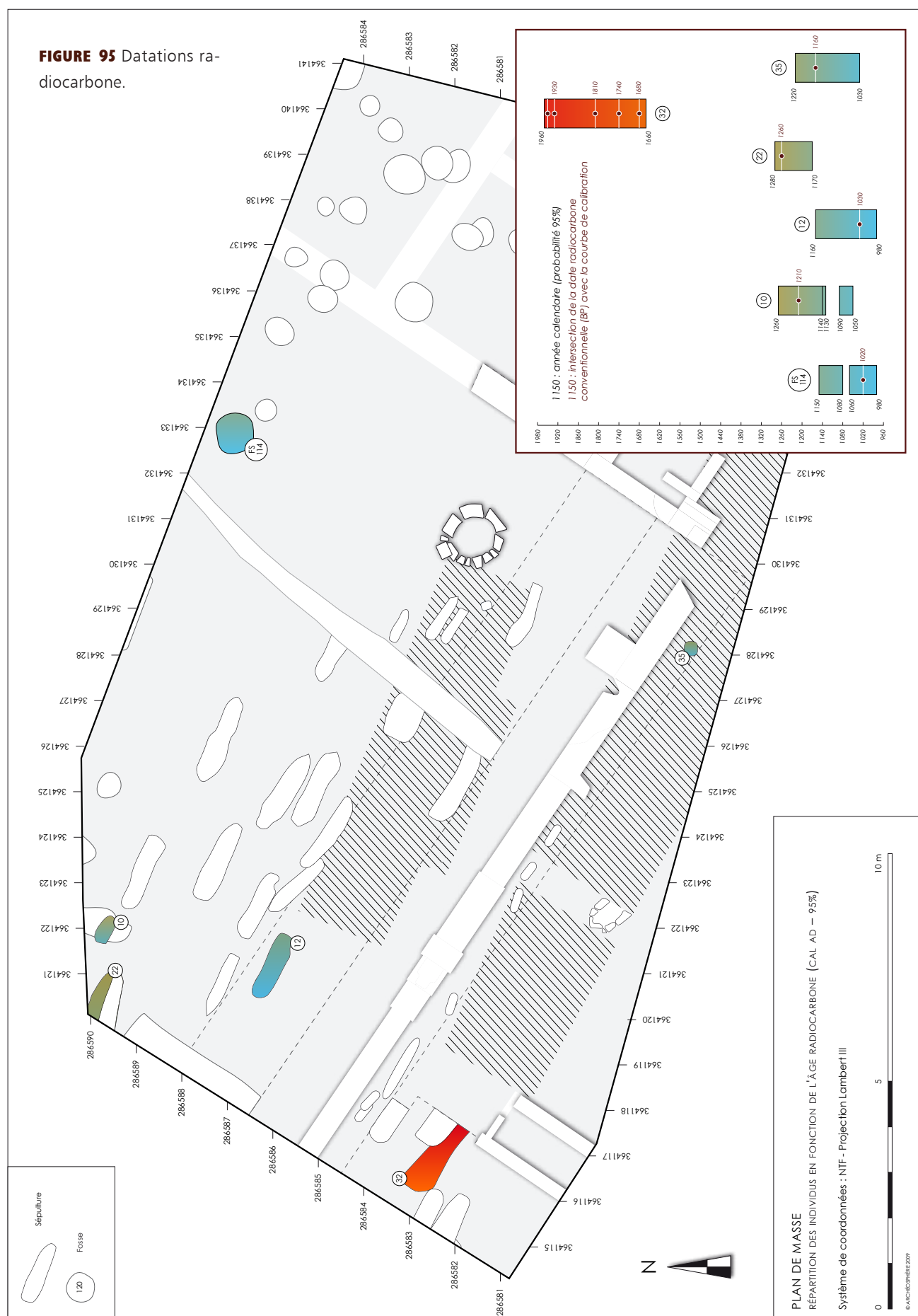




**FIGURE 94** Matrice de HARRIS brute.



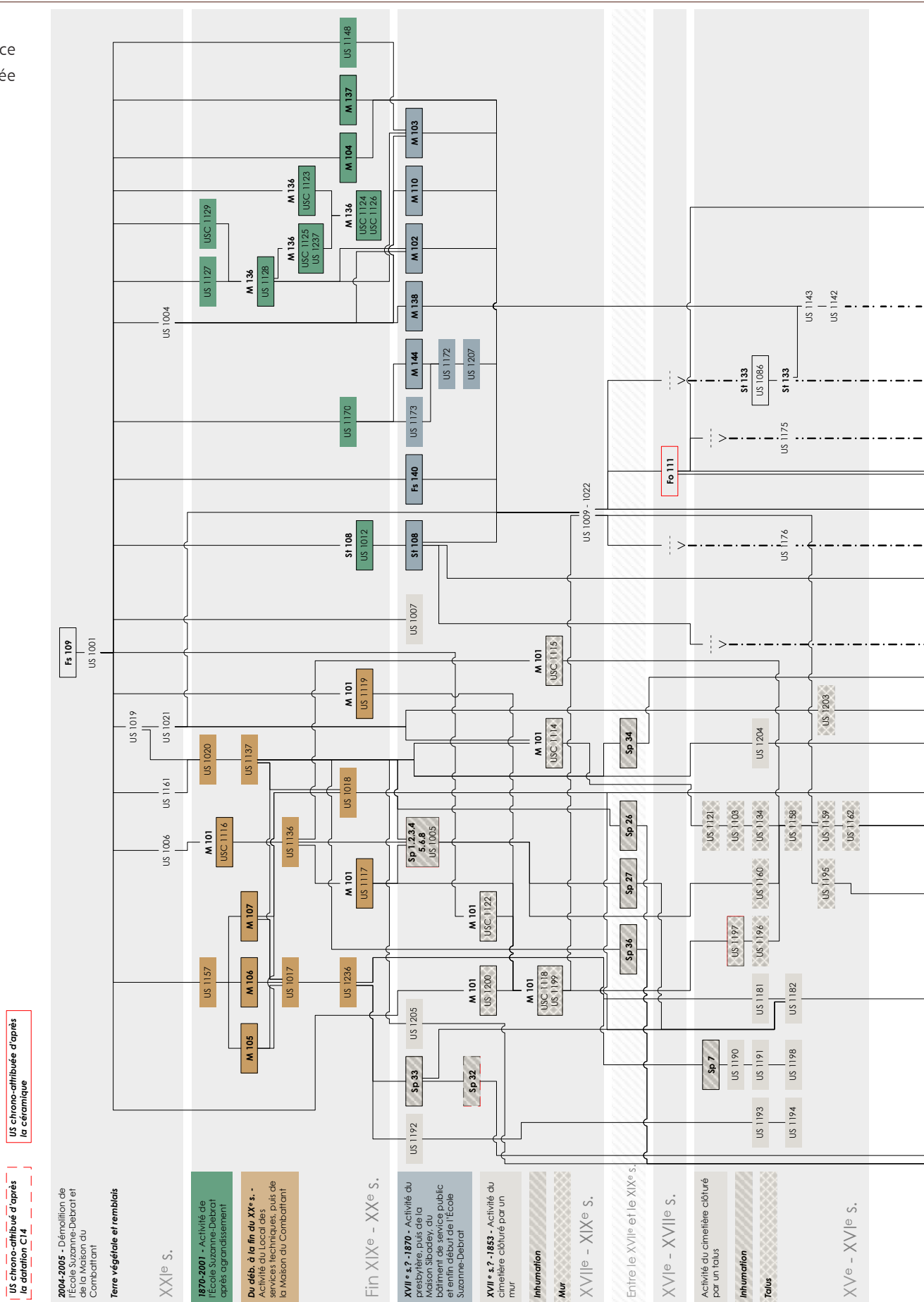


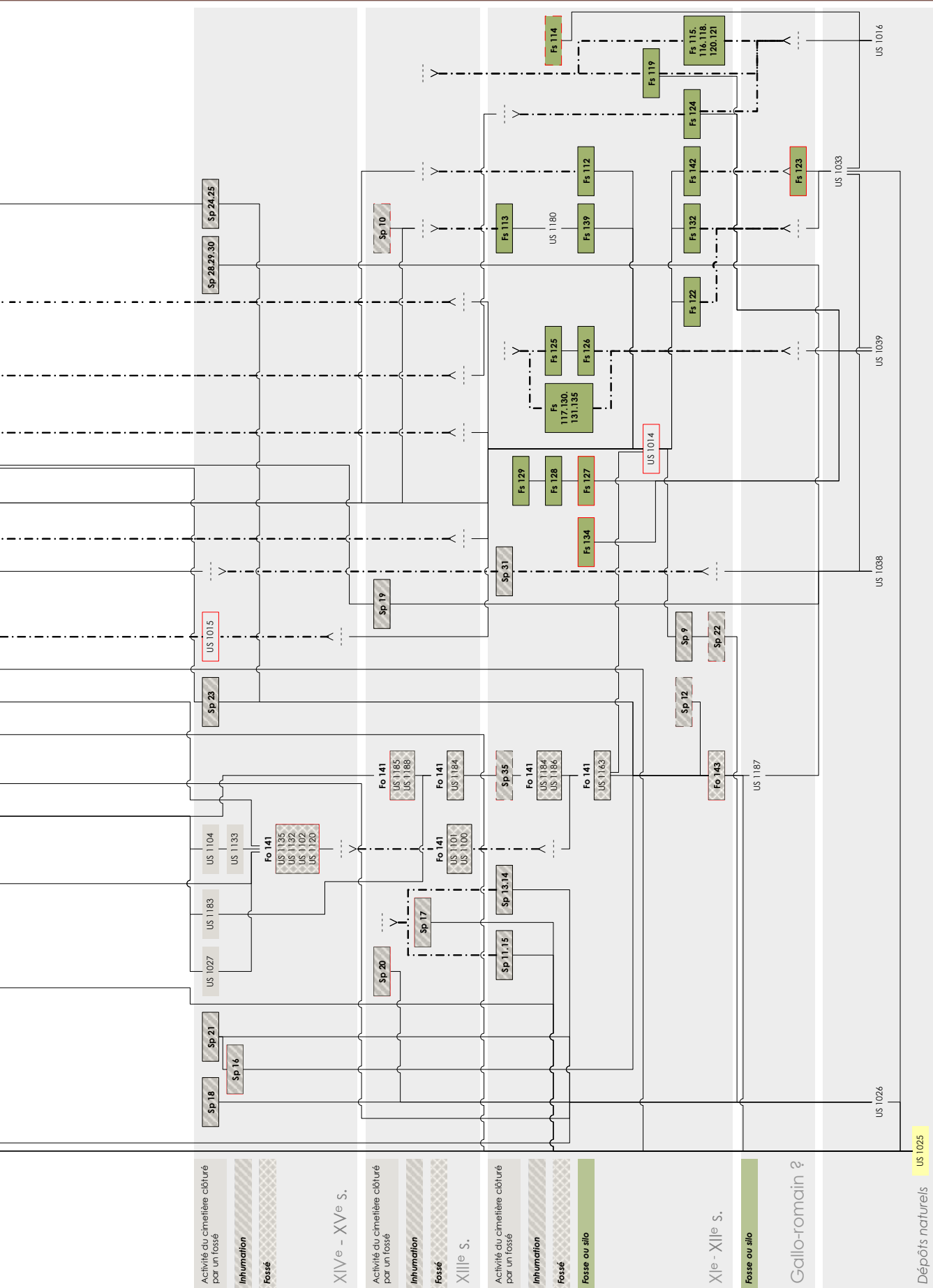


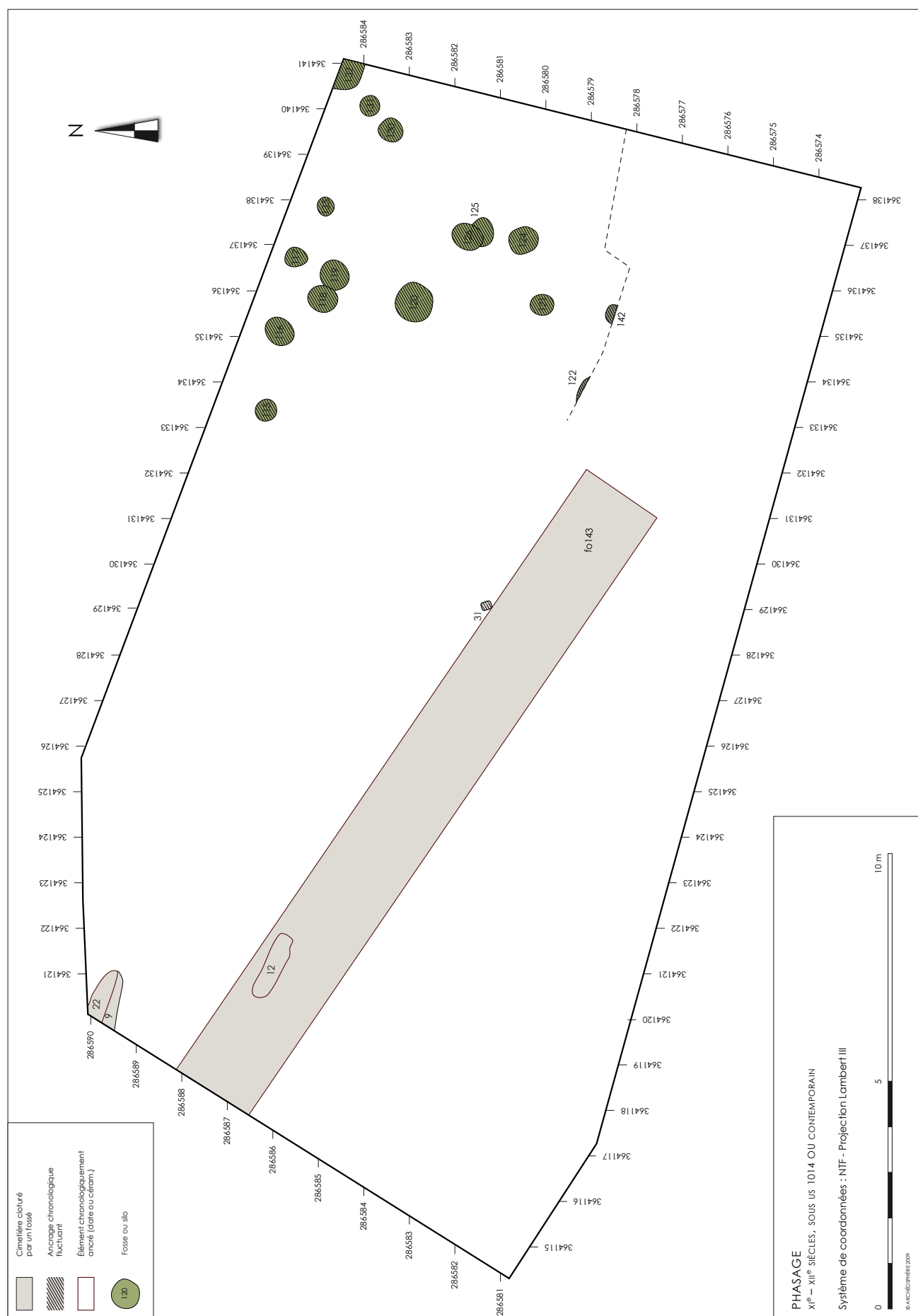




**FIGURE 97** Matrice de HARRIS simplifiée et phasée.







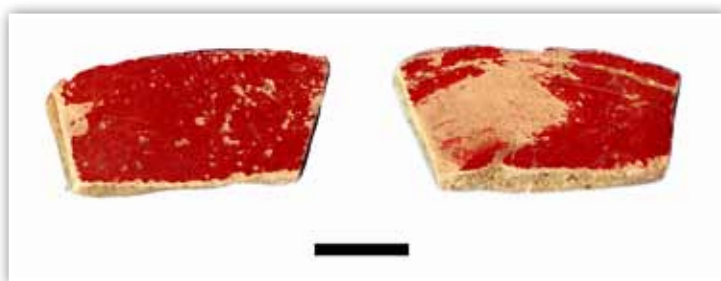
◁ **FIGURE 98** Plan du cimetière. XI<sup>e</sup>–XII<sup>e</sup> siècles, sous US 1014 ou contemporain.

À cette phase d'extension semble succéder une phase d'abandon ou de stabilisation de ce secteur du cimetière, signalée par l'US 1014 attribuée à la fin du XII<sup>e</sup> siècle.

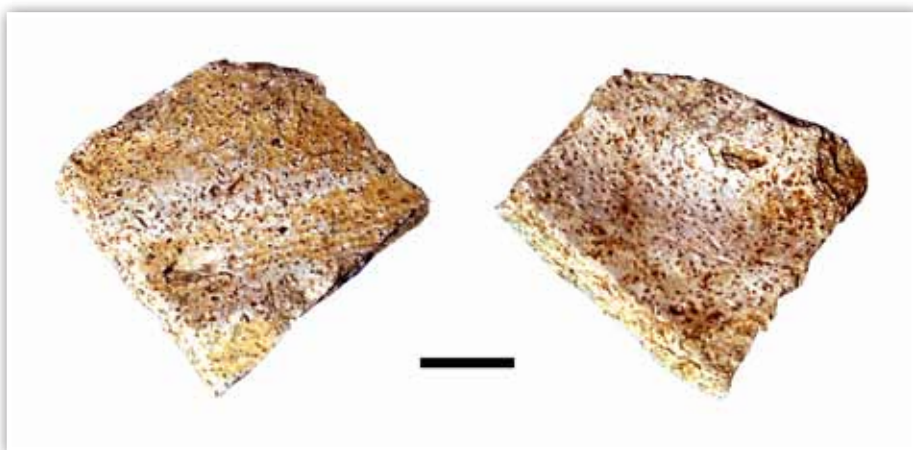
C'est à la fin du XI<sup>e</sup> siècle, que débute l'élévation de l'église romane Saint-Vincent de Mérignac, propriété du chapitre Saint-Seurin de Bordeaux (**EPRON 1998 ; GILLIARD ET GILLIARD 2002**). Ainsi, l'aménagement du fossé de délimitation du cimetière (Fo 143) est certainement contemporain de la fin de la construction de cette église. De l'église romane des XI<sup>e</sup> et XII<sup>e</sup> siècles, il ne subsiste que l'abside principale et l'abside sud (*ibid.*).

**Aires d'ensilage (XII<sup>e</sup> s.).** À la base de la stratigraphie, sous l'US 1014, se situent quatre silos (Fs 122, 123, 132 et 142). Seule la fosse 123 révèle du matériel céramique permettant une proposition de calage chronologique pour cette première phase d'occupation du secteur. En effet un tesson, une sigillée romaine (**FIGURE 99**), provient du comblement de cette structure. Cette même fosse a révélé un autre tesson à caractère plutôt médiéval (**FIGURE 100**). En présence de ce faible corpus, possiblement tous deux en position secondaire, il n'est pas possible d'attribuer cette structure plutôt à l'une ou à l'autre des périodes. Un second tesson antique se trouve dans le comblement de la sépulture 12. Ainsi, aucune structure gallo-romaine ne s'est ajoutée à celle qui avait été identifiée lors du diagnostic (**FIGURE 101**). Rappelons que dans l'US 3 du sondage 1 de l'Inrap, le matériel antique (amphore de bétique Us 3, coupe appartenant aux productions du centre potier de Vayres 33, Fs 1) indique sans conteste le haut Empire (**Ch. SIREIX in SCULLER et al. 2007**). Enfin, d'après une corrélation entre la coupe 2 du sondage 1 de l'Inrap et la coupe 2 de la fouille, ce niveau antique serait vraisemblablement l'US 1194. Ceci confirme ce qui était présumé dans le cahier des charges, c'est-à-dire que l'occupation gallo-romaine révélée en partie sous l'église Saint-Vincent ne se trouve pas au nord de celle-ci.

Sus-jacents à 1014, trois fosses (Fs 112, 113 et 139) témoignent d'une occupation agricole entre la fin du XII<sup>e</sup>

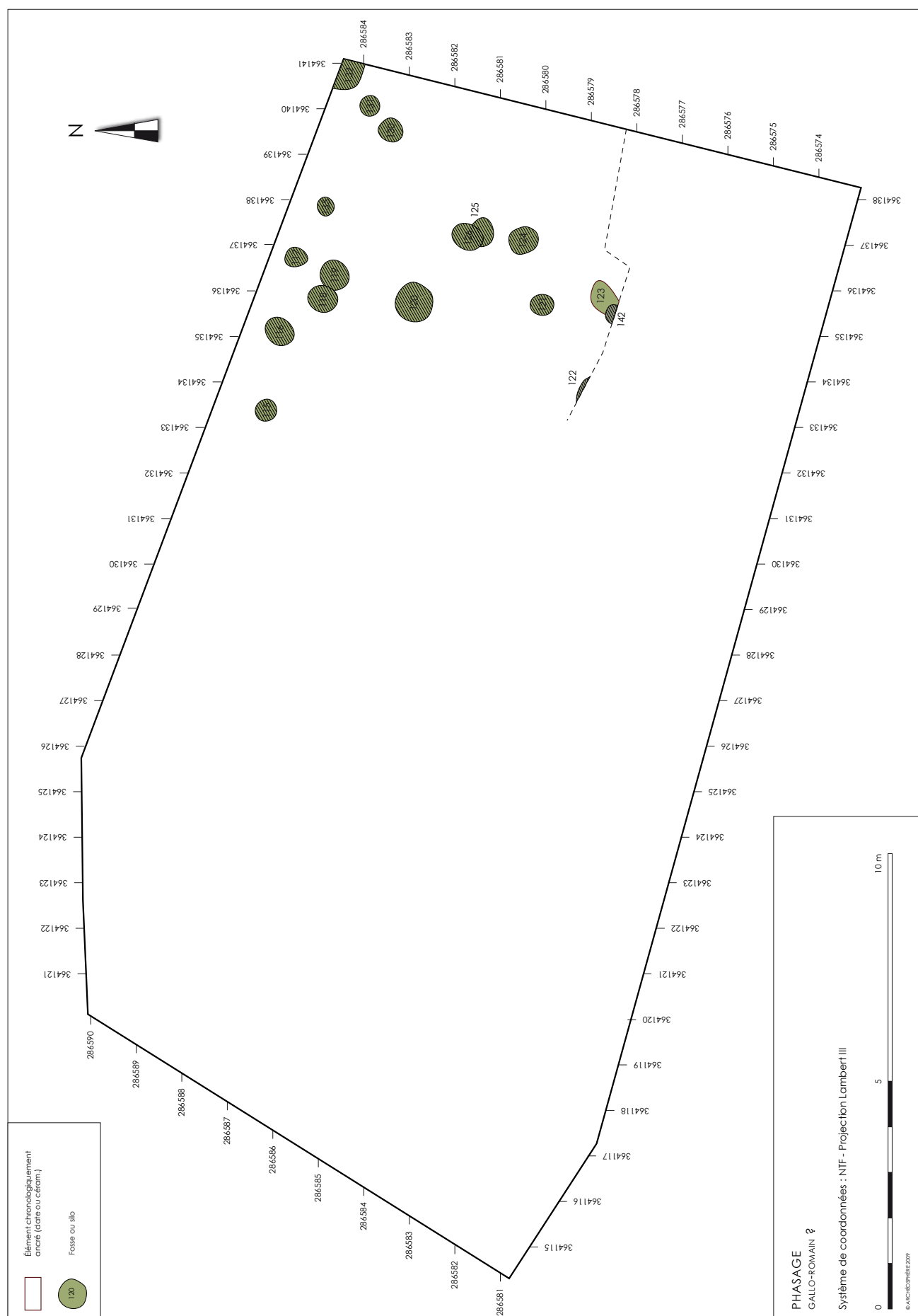


**FIGURE 99** Tesson de sigillée romaine retrouvé dans la fosse Fs 123. Échelle: 1 cm.



**FIGURE 100** Tesson médiéval retrouvée dans la fosse Fs 123. Échelle: 1 cm.





◀ **FIGURE 101** Plan du cimetière. Époque gallo-romaine ?.

et le milieu du XIII<sup>e</sup> siècle. En effet, deux de ces structures (Fs 113, 139) se placent stratigraphiquement sous une inhumation (SP 10) datée par radiocarbone de la première moitié du XIII<sup>e</sup> siècle.

À cela s'ajoutent quatre fosses (Fs 127, 128, 129, 134) attribuées, par chronologie relative, au Moyen âge, plus précisément avant le XIV<sup>e</sup> siècle. Enfin, la fosse 114 se présente par sa datation <sup>14</sup>C comme la structure la plus ancienne du secteur. Ce silo fut comblé entre la fin du X<sup>e</sup> et la première moitié du XII<sup>e</sup> siècle.

Ainsi cette série de fosses circulaires, interprétées comme des silos, témoignent d'au moins deux phases d'occupation du secteur comme aire d'ensilage. La première aurait fonctionné entre la fin du X<sup>e</sup> et la première moitié du XII<sup>e</sup> siècle (**FIGURE 98**), la seconde dans la première moitié du XIII<sup>e</sup> siècle (**FIGURE 102**). Cette dernière aire d'ensilage est clairement contemporaine des premières phases du cimetière identifiées dans ce secteur. La première occupation serait, quant à elle, contemporaine des débuts de l'église romane Saint-Vincent. De fait, le premier dispositif de limitation, le fossé 143, servait à séparer le cimetière d'une occupation agricole qui perdurera à sa périphérie immédiate, au moins durant un siècle. Si une date ancienne est retenue pour la fosse 114 (fin X<sup>e</sup> siècle), la première aire d'ensilage serait en partie contemporaine de la fin de la première église édifiée à l'époque mérovingienne, aux VII<sup>e</sup>–VIII<sup>e</sup> siècles (**GILLIARD ET GILLIARD op. cit.**).

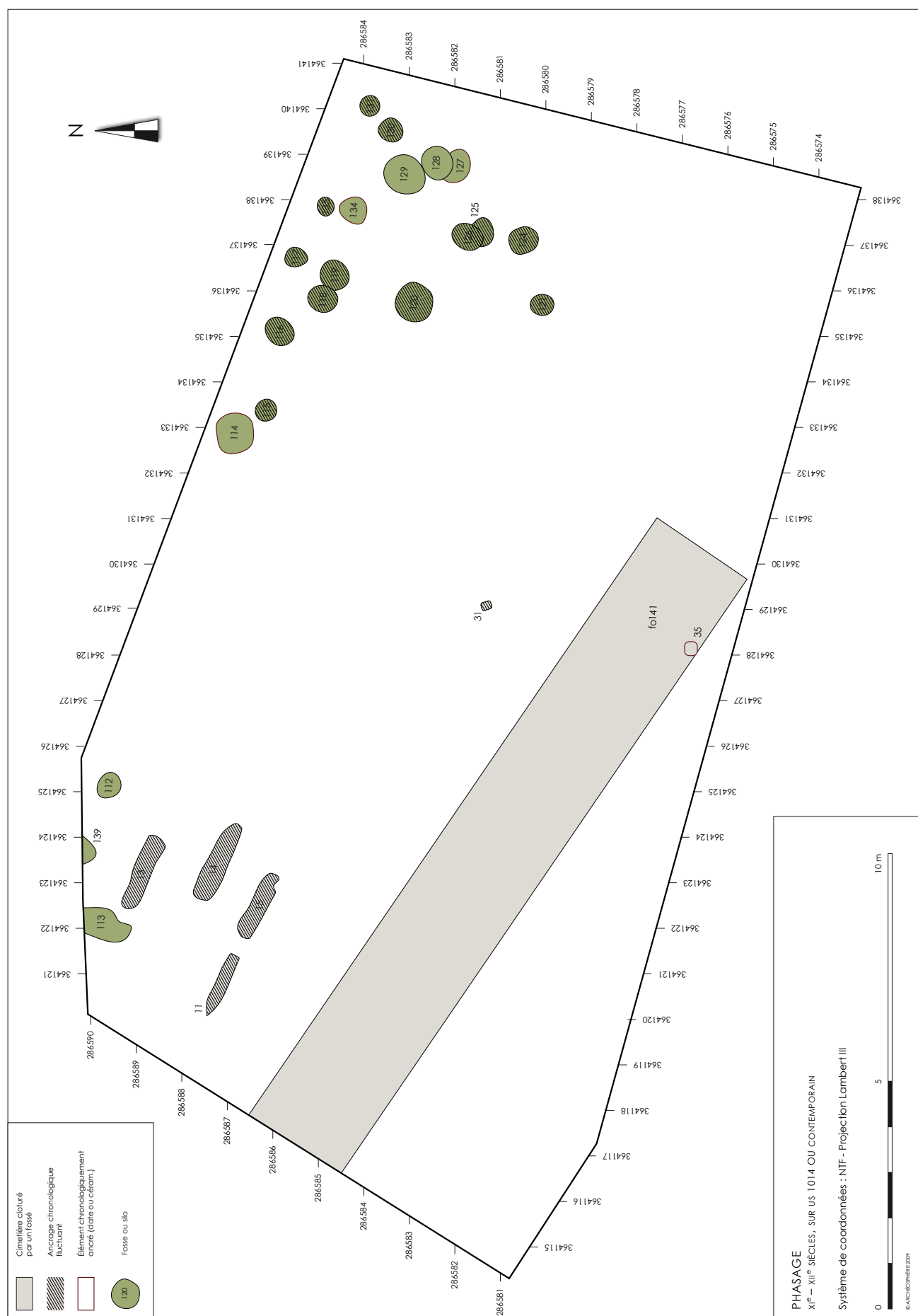
Treize fosses ne possèdent pas de *terminus ante quem*, mais sont probablement contemporaines de l'une de ces deux aires d'ensilage. À noter, enfin, l'absence de structures agraires repérées dans le sondage 2 du diagnostic de l'Inrap (**SCUILLER et al. op. cit.**) marquant la limite nord de cette espace de stockage.

## 2 Seconde phase du cimetière (fin XII<sup>e</sup>–début XIII<sup>e</sup> s.)

### Seconde délimitation et entretien (**FIGURE 9**).

Un second fossé (Fo 141), recoupant l'US 1014 et le comblement du fossé 143, délimite un espace plus réduit que celui marqué par le fossé précédent. À un premier curage, figuré par la base de l'US 1184, succède un second comblement (US 1184) où est creusé une inhumation (SP 35), attribuée par <sup>14</sup>C au début du XIII<sup>e</sup> siècle. Ainsi, l'aménagement de ce fossé se place entre la fin du XII<sup>e</sup> et le début du XIII<sup>e</sup> siècle. Aucune inhumation ne semble exister à l'extérieur de l'emprise du fossé durant cette période.

De fait, ces deux premières phases d'occupation et d'aménagement du cimetière se situent entre le XI<sup>e</sup> et le début du XIII<sup>e</sup> siècle. En l'absence de corrélation stratigraphique supérieure,



◀ **FIGURE 102** Plan du cimetière. XI<sup>e</sup>–XII<sup>e</sup> siècles, sur US 1014 ou contemporain.

cinq inhumations (SP 11, 13, 14, 15 et 31) peuvent théoriquement être rattachées à cette période autant qu'à la suivante datant du milieu du XIII<sup>e</sup> siècle.

### 3 Troisième phase du cimetière (milieu du XIII<sup>e</sup> s.) Second agrandissement, nouvel entretien (FIGURE 103)

Suivra, suivant les secteurs, un ou plusieurs curages. La coupe 3 témoigne de trois comblements successifs : US 1186, 1184 puis 1185 au milieu du XIII<sup>e</sup> siècle. Ainsi, le fossé 141 révèle une variabilité dans sa morphologie ; il se réduira progressivement.

Trois inhumations (SP 10, 17, 20) témoignent d'un second agrandissement du cimetière dès la première moitié du XIII<sup>e</sup> siècle. Aux cinq inhumations précédentes (SP 11, 13, 14, 15 et 31), à l'ancrage chronologique fluctuant, s'ajoute l'inhumation 19 qui peut être contemporaine de cette seconde phase d'extension du cimetière.

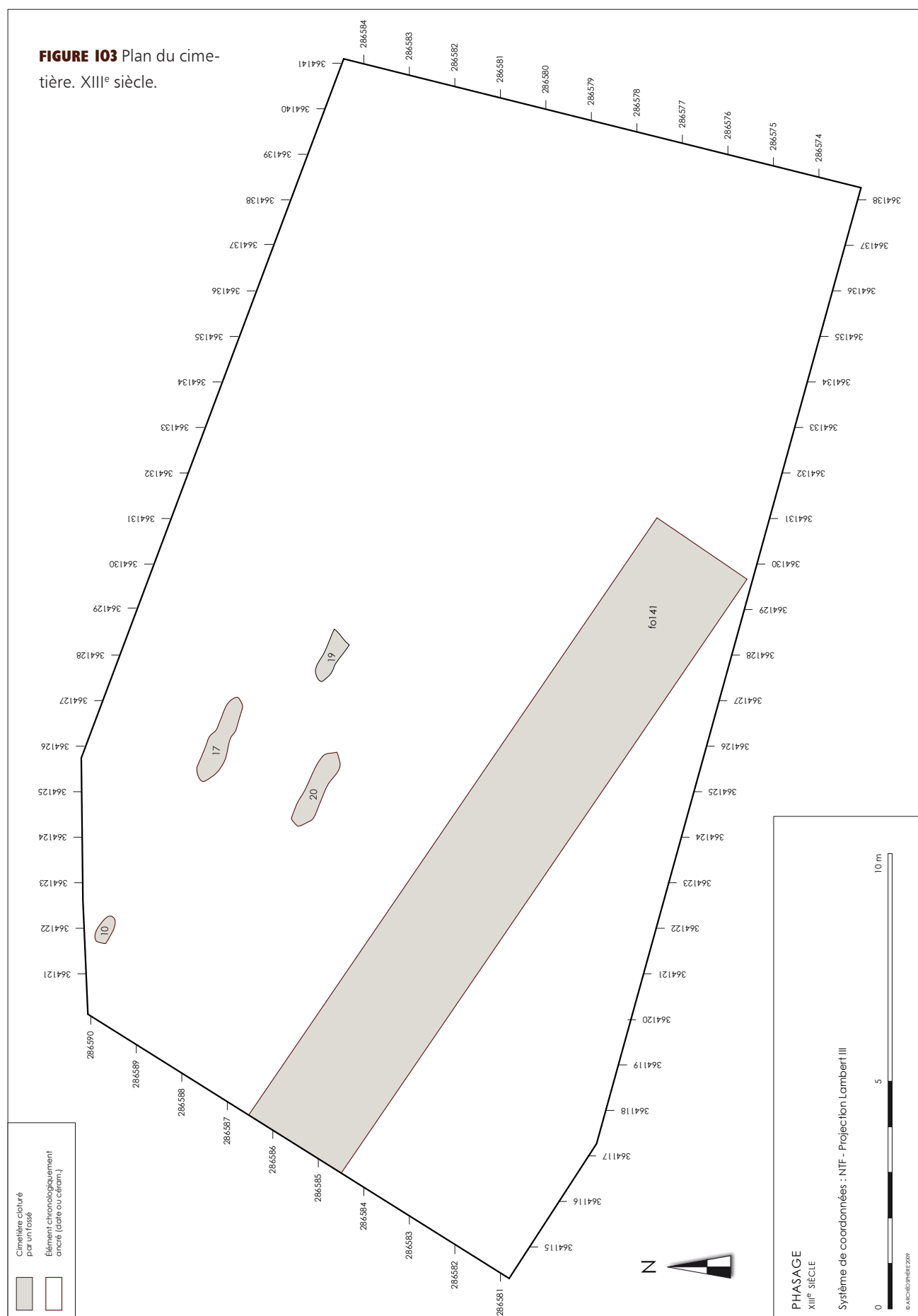
Le second curage (US 1188) se place certainement ensuite, vers le milieu du XIII<sup>e</sup> siècle.

Cette seconde phase d'extension du cimetière est contemporaine du siège du château de Veyrines que certains auteurs du XIX<sup>e</sup> siècle placent en **1242** (**EPRON** *op. cit.*) et du remaniement de certains éléments de l'église, comme la façade au XIII<sup>e</sup> siècle (**GILLIARD ET GILLIARD** *op. cit.*).

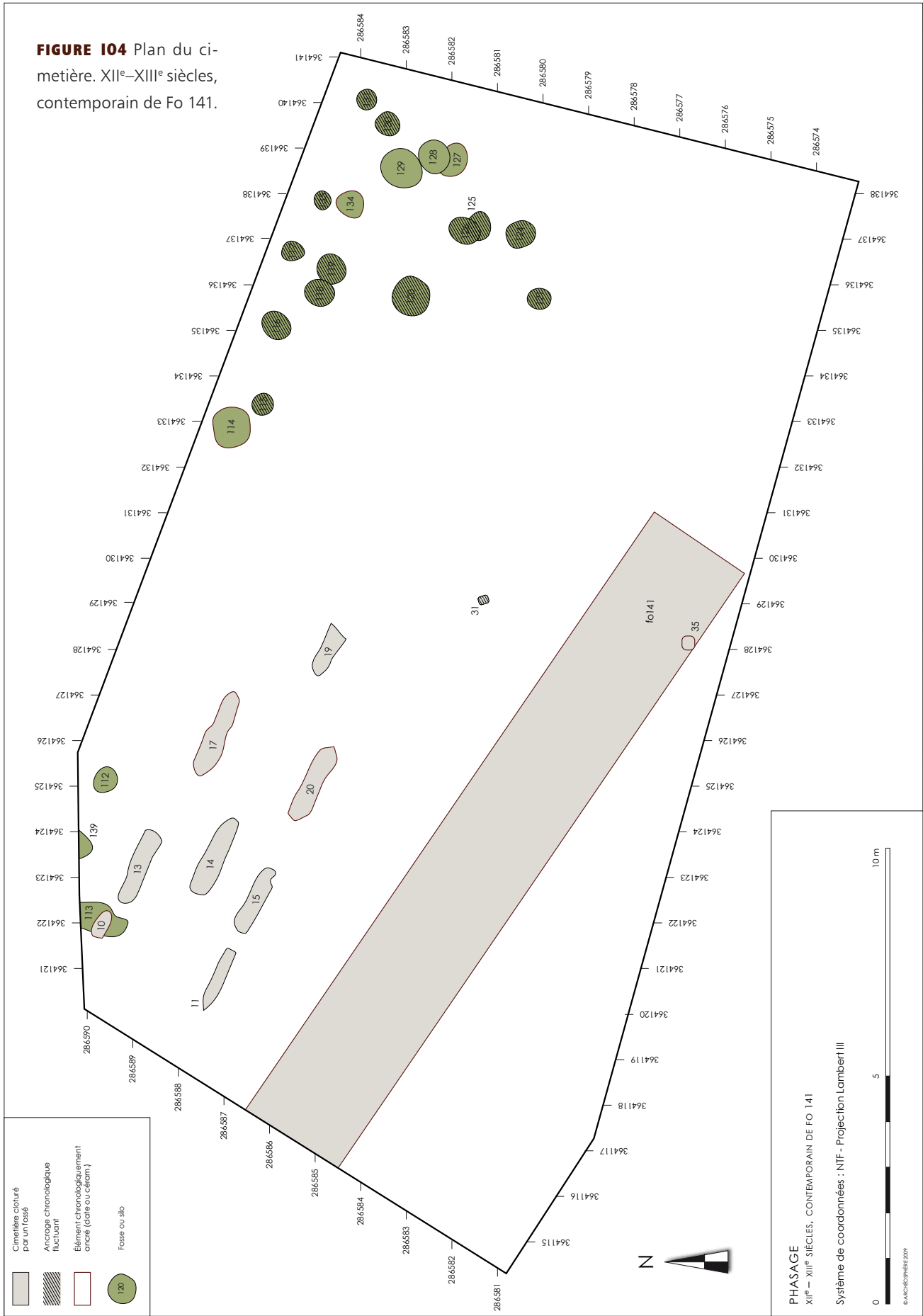
#### Structure et gestion du cimetière durant les trois premières phases (XII<sup>e</sup>–XIII<sup>e</sup> s.) [FIGURE 104]

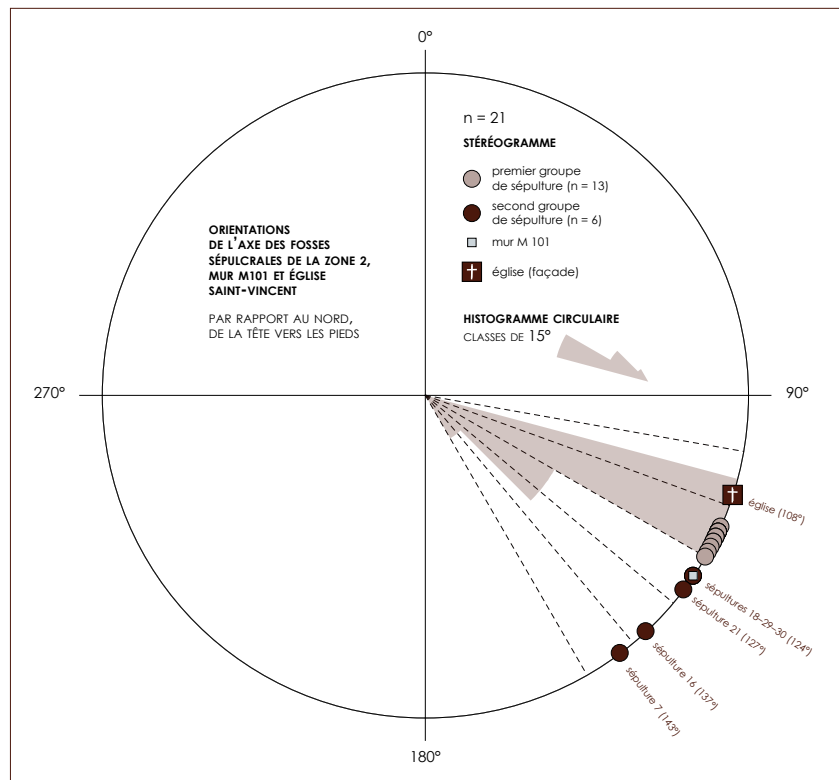
L'analyse spatiale des deux aires d'inhumation, signalant une extension du cimetière, révèle premièrement un développement en secteur, extérieur au dispositif de clôture, d'ouest en est. Au XIII<sup>e</sup> siècle, cet espace extérieur est structurée en trois rangées, orientée ouest-est (entre N114° et N119°). Ces deux aires présentent donc des fosses d'inhumation orientées parallèlement à l'axe de l'église romane Saint-Vincent et non suivant l'axe des deux fossés qui se succèdent (Fo 141, 143) [FIGURE 105]. Aucun dispositif de limitation au nord de cette aire d'extension n'a été mis à jour.

Le faible nombre de sépultures révèle une homogénéité dans le mode d'inhumation en pleine terre. Les fosses, creusées dans le substrat, possèdent une morphologie étroite et ajustée à la taille du défunt. L'absence de recoupement argumente pour la présence d'éléments de signalisation, confirmée par la réouverture de la sépulture 17. La pratique funéraire générale est la position du squelette en décubitus, tête à l'ouest, membres supérieurs indifféremment en extension ou en flexion et membres inférieurs en extension à l'exception des inhumations 15 et 20.









**FIGURE 105** Stéréogramme et histogramme circulaire de l'orientation de l'axe sagittal des fosses de la zone 2, du mur M 101 et de la façade de l'église Saint-Vincent.

Pour ces deux dernières, en prolongement l'une de l'autre, le squelette est disposé de 3/4 sur le côté droit. Ce sont toutes des inhumations individuelles primaires, à l'exception de la sépulture 14, ne présentant aucun mobilier.

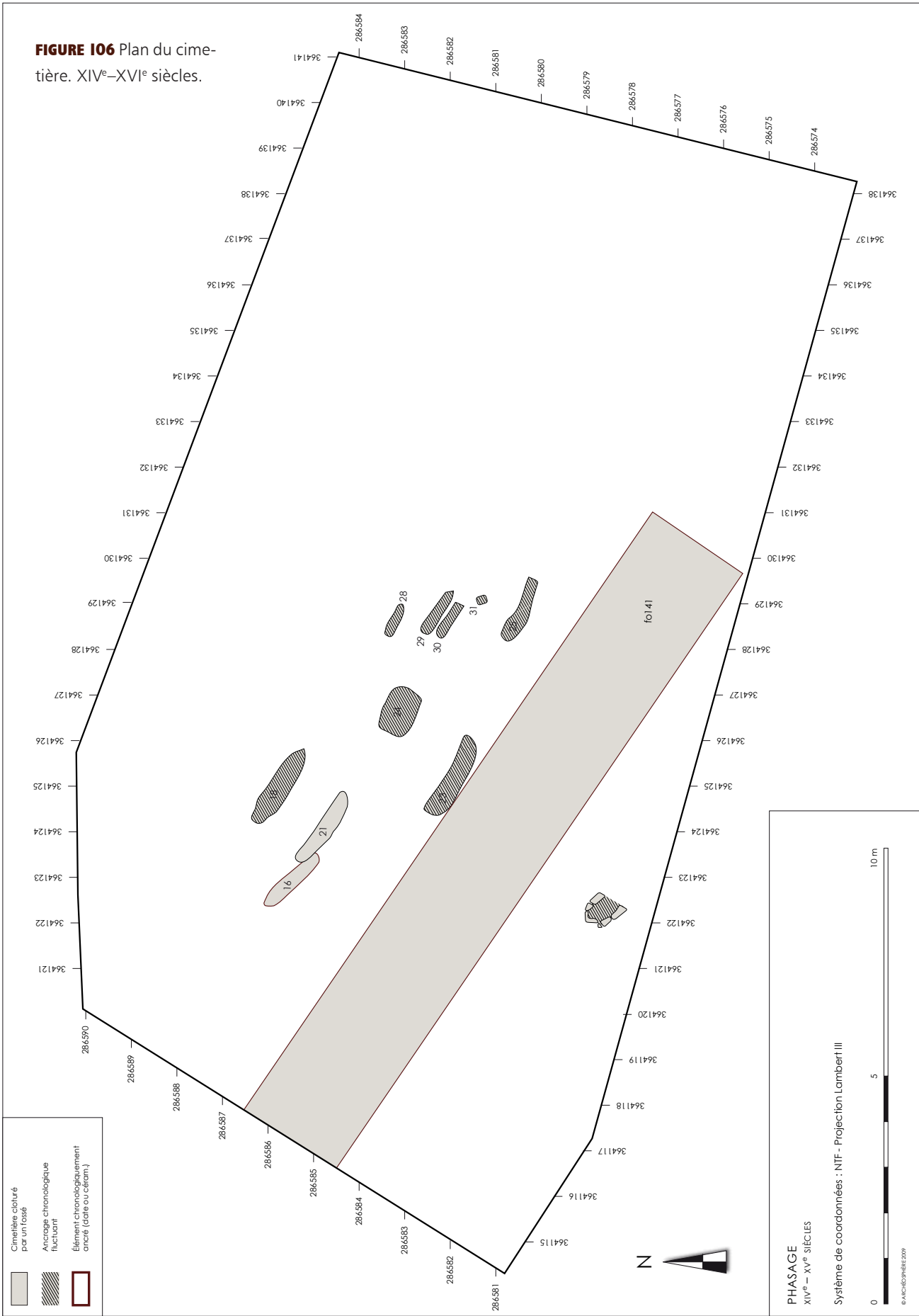
Enfin, la population inhumée révèle deux immatures ([5–9] et <20 ans) et sept adultes (>20 ans [2]; >30 ans (une femme); >40 ans [1]; >50 ans [2 dont une femme]; >60 ans [un homme]).

## 4 Quatrième phase du cimetière (XIV<sup>e</sup>–XVI<sup>e</sup> s.)

### Troisième agrandissement, troisième délimitation (FIGURE 106)

La coupe 1 révèle plusieurs curages du fossé 141 avec six comblements successifs (US 1100, 1101, 1120, 1102, 1132 et 1135). Des céramiques de différentes périodes ont été retrouvées dans l'US 1120, la plupart provenant de l'interface avec l'US remaniée 1020. À la base de l'unité stratigraphique 1120, hors zone perturbée, un bord à pâte épaisse et verte, associé avec un crâne humain en contact avec le fond du fossé (FIGURE 107), permet de proposer un *terminus post quem* entre la seconde moitié du XIV<sup>e</sup> et le début du XV<sup>e</sup> siècle. Ce crâne, en position secondaire, peut démontrer l'installation de sépultures dans l'un des comblements précédents remaniés par les curages successifs, rappelant le cas de la sépulture 35.

Deux inhumations peuvent être attribuées à une période postérieure au XIV<sup>e</sup>–XV<sup>e</sup> siècle, la sépulture 16, d'après un unique tesson de céramique, et la sépulture 21 qui la recoupe. Ces deux inhumations présentent une orientation différente





**FIGURE 107** Bord à pâte épaisse retrouvée au sein de l'US 1120. Échelle: 1 cm.

des phases précédentes (N127° et N137°). Cette orientation est à associer à celle du fossé 141 (N124°). Si nous analysons l'orientation des autres sépultures à l'attribution chronologique fluctuante (SP 7, 18, 23, 24, 25, 28, 29, 30), quatre d'entre elles (SP 7, 18, 29, 30) présentent également une orientation plus proche du fossé que de l'église (**FIGURE 105**). Ainsi, les sépultures 7, 16, 18, 21, 29 et 30 se dissocient

des inhumations des phases précédentes, en plus de leur orientation différente, par leur localisation hors des rangées et entre celles-ci. Ces sépultures illustrent une continuité de l'extension du cimetière vers l'est. De plus, les inhumations sont creusées de plus en plus proche du fossé, ce dernier réduisant de largeur progressivement dans le temps.

D'après ces observations sur la gestion de l'extension spatiale du cimetière, nous proposons d'attribuer à une période postérieure au milieu du XIII<sup>e</sup> siècle les quatre dernières sépultures à l'attribution chronologique fluctuante (SP 23, 24, 25, 28) mais à l'orientation proche de celle de l'église. Deux de ces dernières sont recoupées par le fossé 111 présentant des céramiques attribuées à une période allant du XIII<sup>e</sup> au XVII<sup>e</sup> siècle. Notons que la sépulture 31 peut également appartenir à cette période.

Seule une période large, entre le XIV<sup>e</sup> et le XVI<sup>e</sup> siècle, peut être proposée pour ces inhumations. De plus, nous ne pouvons déterminer avec certitude si les entretiens du fossé prirent fin avant cette troisième phase d'agrandissement du cimetière où sont contemporains de ceux-ci. Finalement, un talus, postérieur au XIV<sup>e</sup>–XV<sup>e</sup> s., éventuellement au XVI<sup>e</sup> s., succède au fossé 141 sur son même emplacement. Ainsi, nous proposons un possible schéma de gestion du cimetière comme suit : fin de l'entretien du fossé, puis dernier agrandissement du cimetière, et enfin clôture de ce dernier par l'élévation d'un talus sur l'ancien tracé du fossé.

Entre le XV<sup>e</sup> et le XVI<sup>e</sup> siècle, l'église subit encore des modifications en façade et l'abside nord est remplacée par une construction massive à la fenêtre ogivale qui se continue le long de la nef. C'est également de cette époque que date le clocher actuel (*ibid.*).

#### **Structure et gestion du cimetière durant la quatrième phase (XIV<sup>e</sup>–XVI<sup>e</sup>)**

Cette extension du cimetière hors de l'emprise du secteur délimité par le fossé 141 illustre encore un développement spatial vers l'est. L'absence de recoupement notable, entre les inhumations de cette période et entre celles-ci et les inhumations des

phases précédentes, révèle une pérennité dans les éléments de signalisation des tombes. Ainsi, il est logique de noter un développement du cimetière vers l'est, secteur vide d'inhumation.

Hormis la possible sépulture 28, aucune inhumation n'est disposée suivant les rangées précédentes. Les inhumations sont toujours orientées ouest-est et révèlent un léger changement d'orientation. Les fosses d'inhumations passent d'une orientation parallèle à l'église, à une orientation parallèle au dispositif de clôture du cimetière (**FIGURE 105**). C'est cette dernière qui sera illustrée par les inhumations de la phase suivante. Comme précédemment, aucun dispositif de limitation au nord de cette aire d'extension n'a été relevé.

Les sépultures présentent globalement les mêmes caractéristiques que celles des phases précédentes : inhumation individuelle primaire sans mobilier, mode d'inhumation en pleine terre et fosse étroite creusée dans le substrat, dont certaines révèlent des fosses très étroites (SP 11, 16, 25, 29). La position du squelette est toujours en décubitus, orienté selon l'axe nord-ouest/sud-est, tête au nord-ouest, membres supérieurs indifféremment en extension ou en flexion et membres inférieurs en extension. Seules deux sépultures (SP 7 et 23) présentent une différence par leur mode d'inhumation dans un coffre funéraire en pierres jointives. Notons que chacun de ces coffres funéraires est associé à un individu âgé de plus de 15 ans.

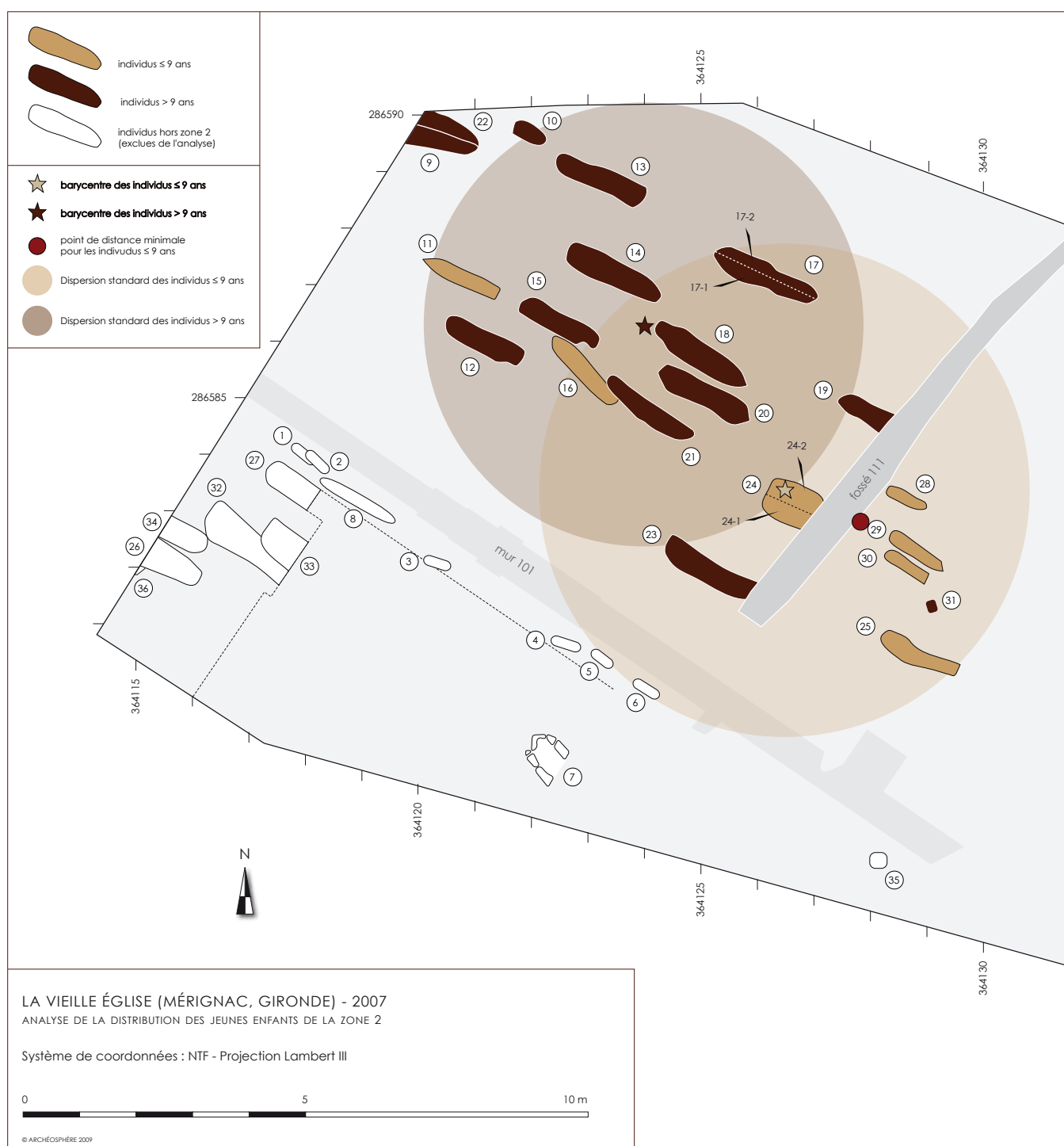
Enfin, l'inhumation 24 est une sépulture multiple primaire et le mode d'inhumation pour la sépulture 30 n'a pu être déterminé.

Ainsi, nous remarquons que le groupement d'inhumations (SP 16, 18, 21, 29 et 30) proposé d'après leur orientation commune, parallèle au dispositif de clôture du cimetière, présente une homogénéité dans leur pratique funéraire. Seules les inhumations à la chronologie fluctuante (SP 23 et 24) se dénotent par leur particularité.

Enfin, la population inhumée (SP 7, 16, 18, 21, 23, 24, 25, 28, 29, 30) révèle proportionnellement plus d'immatures qu'aux phases précédentes : huit immatures ([0]/[1-4] [1]; [1-4] [1]; [1-4]/[5-9] [2]; [5-9] [2]; [5-9]/[10-14] [1]; [15-19] [1]) et 3 adultes (ADO/AD >15 ans [1]; >40 ans [une femme]; >60 ans [une femme]).

Au Moyen âge, « selon la théologie, l'enfant baptisé qui meurt avant sept ans (âge du discernement ou âge "de raison", à partir duquel il peut avoir conscience de ses péchés) n'a pas encore péché ; il va donc directement au ciel, ce qui est pour lui une grande grâce, dans la mesure où, contrairement au lot commun des autres fidèles, il n'a pas besoin de séjourner un temps plus ou moins long au purgatoire avant d'être admis au paradis » (**MOREL 2001**). « Une autre conséquence de cette part de divin chez le petit enfant est qu'il a souvent droit à un lieu de sépulture privilégié : ainsi, en Provence, aux XVII<sup>e</sup> et XVIII<sup>e</sup>





*siècles, la plupart des petits morts "en âge d'innocence" sont inhumés dans le caveau des enfants qui se trouve à l'intérieur des églises. [...] Cette pratique de l'inhumation dans les églises disparaît peu à peu au cours du XVIII<sup>e</sup> siècle, pour des raisons d'hygiène et de place ; il reste l'habitude d'enterrer les petits baptisés au cimetière, dans un lieu à part, le carré des enfants, ce qui souligne plus modestement leur statut privilégié » (ibid.).*

**A**insi, la forte représentation d'immaturs pour cette période incite à analyser la distribution des jeunes enfants (de 15 à

◁ **FIGURE 108** Analyse de la distribution des jeunes enfants de la zone 2. Le barycentre résume la répartition spatiale de variables ponctuelles géoréférencées autour d'un point unique situé au centre géométrique du semis de point. Le barycentre peut donc être considéré comme l'équivalent de la moyenne en statistique a-spatiale. La dispersion des valeurs autour de cet indicateur de tendance centrale (écart-type) est décrite par le cercle de dispersion standard. L'utilisation de ces deux mesures dans le cadre du cimetière médiéval de Mérignac atteste d'une distribution spatiale différente entre les individus > 9ans (n=14) et < 9ans (n=7). Les barycentres de ces deux classes d'âge sont en effet séparé de 3,8m, les individus âgés étant situés relativement plus au nord-ouest. Cet éloignement spatiale s'accroît (5.5m) si l'on prend en compte comme indicateur de tendance centrographique le point de distance minimale qui est une mesure moins soumise aux valeurs extrêmes (points isolés, cf. individus 11 et 16). Afin de vérifier la significativité de cette disparité spatiale d'ordre démographique, un test de COCHRAN a été appliqué pour chaque paire de coordonnées X et Y des barycentres. Il en ressort que les différences sont significatives pour les deux mesures au risque de 5% d'erreur.

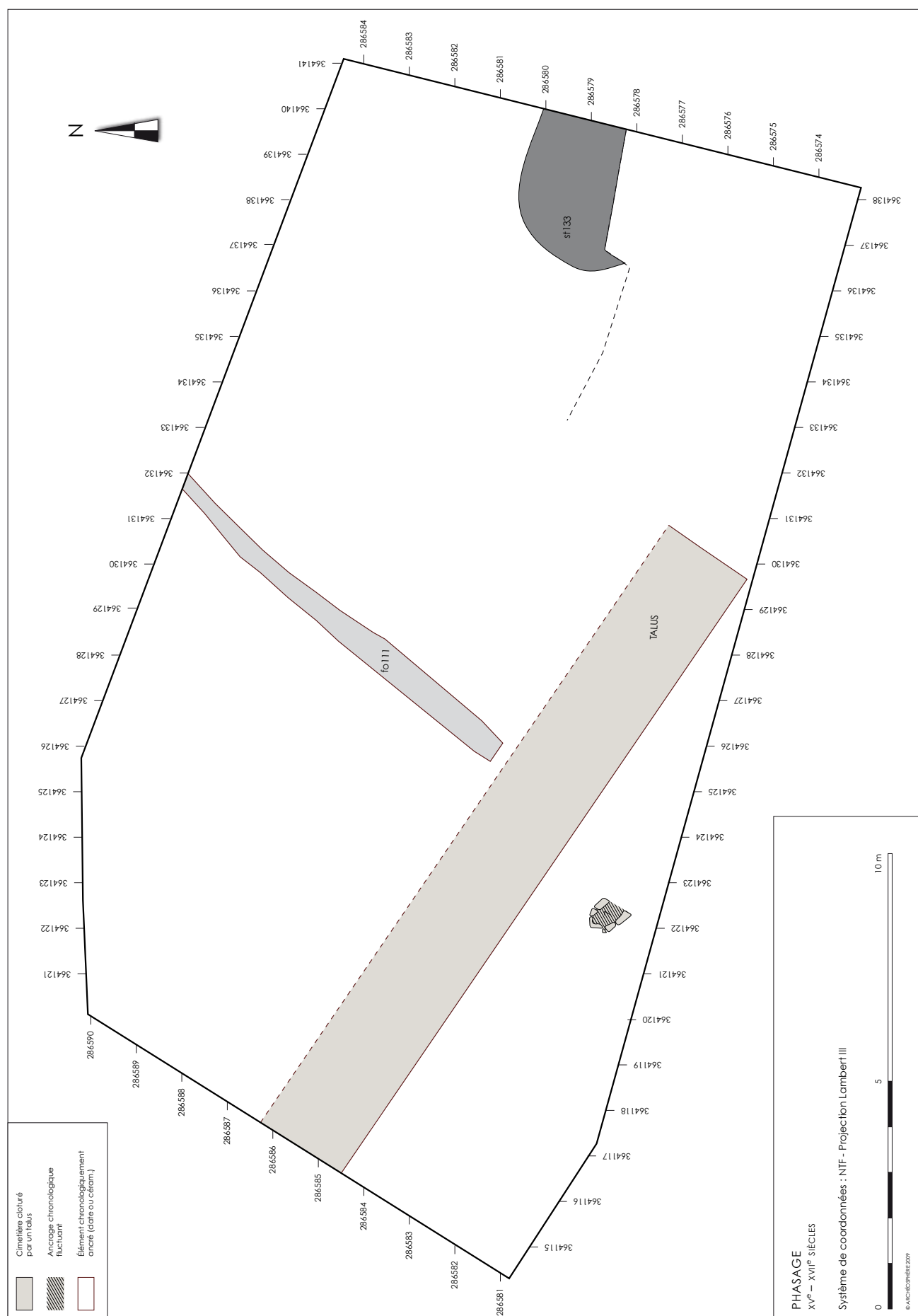
9 ans) de la zone d'extension du cimetière, quelque soit l'appartenance chronologique (**FIGURE 108**). La figure présentée ici illustre le cas où l'individu de la sépulture 16 est considéré comme un jeune enfant. Ainsi, cette analyse spatiale révèle le regroupement de cinq inhumations de six jeunes enfants (l'inhumation 24 étant double) pouvant être interprétée comme un possible carré d'enfants. Dans le cas, où l'individu de la sépulture 16 est décompté parmi les enfants âgés de plus de 9 ans, la répartition différentielle est encore plus nette. L'attribution chronologique des inhumations en question place la création de ce carré des enfants entre le XIV<sup>e</sup> et le XVI<sup>e</sup> siècle. D'après la stratigraphie et la chronologie relative, ce carré des enfants n'est pas à mettre en corrélation avec celui décrit dans le texte de **1787** (cf. *infra*).

Enfin, les individus, inhumés au cours de la période s'étendant du XII<sup>e</sup> au XVI<sup>e</sup> siècles, témoignent des difficultés alimentaires et sanitaires rencontrées par la population dont ils sont issus. À l'exception de la période du XV<sup>e</sup>–XVI<sup>e</sup> siècles qui voit apparaître les coffres funéraires, ils renseignent également d'une égalité dans le traitement funéraire du défunt selon l'âge, et probablement selon le sexe.

## 5 Cinquième phase du cimetière (XVI<sup>e</sup>–XVII<sup>e</sup> s.)

(**FIGURE 109**)

Avec le talus, postérieur au XV<sup>e</sup> s., nous assistons à la fixation définitive des limites du cimetière de l'église Saint-Vincent. Ainsi, le secteur nord de la fouille perd sa fonction cimetériale. Le fossé 111 se voit alors creusé sur cette ancienne aire d'inhumation. En effet, le comblement présente des céramiques attribuées à une période allant du XIII<sup>e</sup> au XVII<sup>e</sup> siècle (**FIGURE 110**). Le recoupement de trois inhumations par le fossé 111 démontre



◁ **FIGURE 109** Plan du cimetière. XV<sup>e</sup>–XVII<sup>e</sup> siècles.

qu'à l'abandon de cette aire d'inhumation, succède une désaffectation par la suppression des dispositifs de marquage des sépultures.

Le fossé 111 pourrait être associé à un second fossé au pied du talus mais aucun indice n'a été mis au jour pour étayer cette hypothèse. En effet, le talus pourrait être constitué, en partie, de la terre excavée à l'occasion de la construction de ce fossé.



**FIGURE 110** Tessons céramiques attribués des XIII<sup>e</sup> au XVII<sup>e</sup> siècles, retrouvées dans le comblement du fossé Fo 111. Échelle: 1 cm.



C'est également durant cette phase qu'a lieu probablement le creusement du puits 133 dans la partie nord-est de la zone fouillée. Cette structure est le premier témoin non funéraire depuis les aires d'ensilage du Moyen Âge classique et du début du bas Moyen Âge.

Enfin, c'est durant cette période qu'en «[...] 1649 Meyrin hac et son église sont saccagées et incendiées par les troupes du Duc d'Épernon, au moment de la Fronde» (GILLIARD ET GILLIARD op. cit.).

## 6 Sixième phase du cimetière (XVII<sup>e</sup>–XIX<sup>e</sup> s.) [FIGURE III]

### Quatrième et dernière délimitation

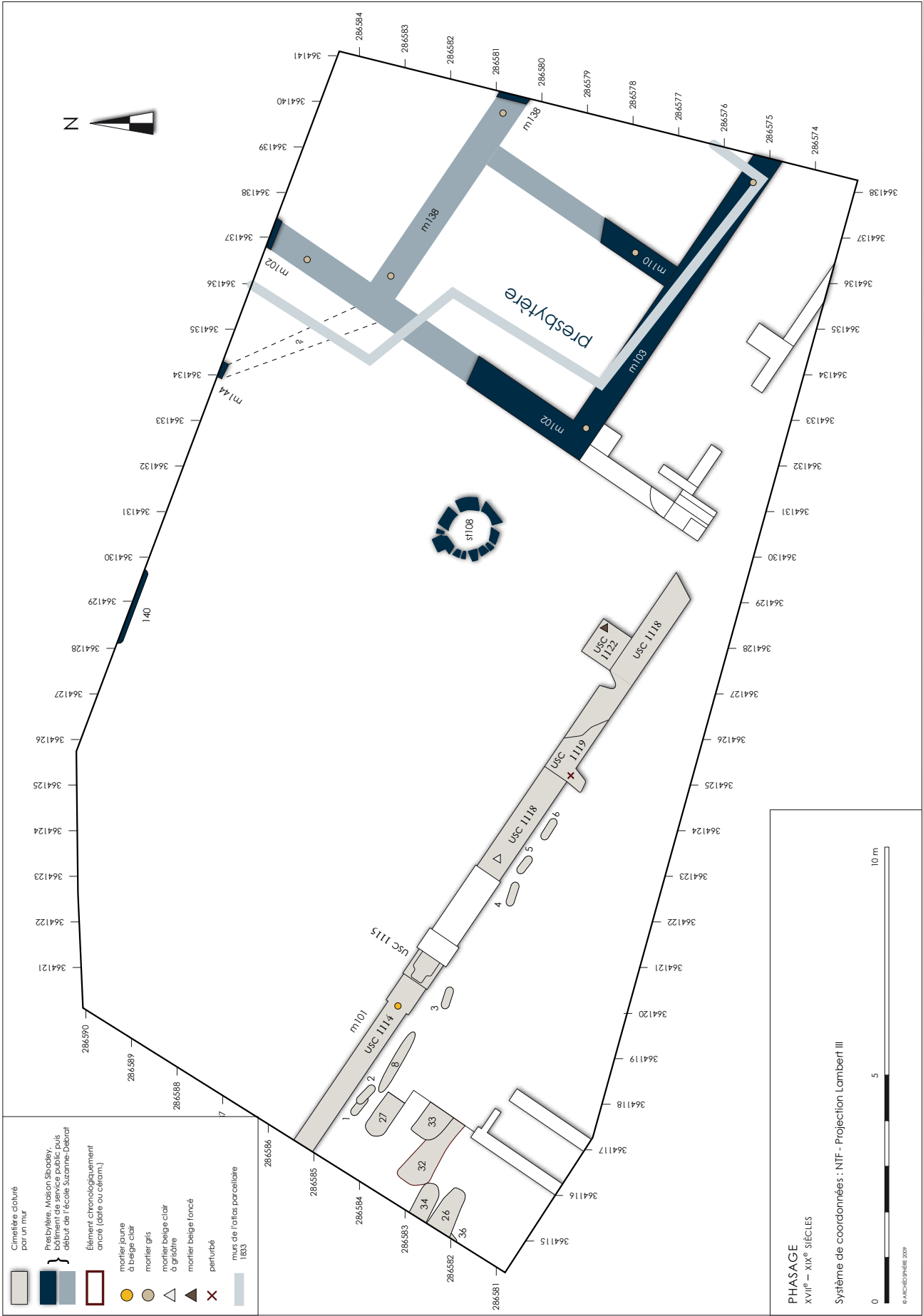
**Le mur de clôture du cimetière.** Au talus succède un mur, orienté nord-ouest/sud-est, qui s'élève sur son emplacement. Ce mur (M 101), maçonné de pierres de taille et de blocs de calcaire tendre liés au mortier, intègre un fragment de cuve de sarcophage. Il sera remanié par des constructions ultérieures (cf. infra). Ce dispositif de clôture sera le dernier jusqu'à la fin de l'activité du cimetière en 1853.

Les deux plus anciens plans faisant état, de manière précise, du cimetière et de son mur de clôture sont le cadastre napoléonien (1811) et une copie de celui-ci réalisé en 1833 (FIGURE I, chapitre 3, «Étude documentaire»). Deux textes, l'un du XVII<sup>e</sup> s., l'autre du XVIII<sup>e</sup> s., font état du cimetière de Mérignac. Le premier texte, daté du 5 mai 1664, décrit un cimetière «fermé & murailé» en bon état (archives départementales de la Gironde G 639 fol. 267). De fait, l'élévation du mur se situe chronologiquement entre le XVI<sup>e</sup> s., époque où le talus est actif, et la seconde moitié du XVII<sup>e</sup> s. Le second texte, daté de 1787, décrit au chapitre XXXII le cimetière en ces termes : «Procédant à la visite du cimetière, nous avons remarqué qu'il est entouré de muraille dont une partie est tombée, qu'il ne se ferme pas à clef, qu'il est entouré de l'Église, qu'il n'a pas de grille à l'entrée, qu'il y a une croix de pierre au milieu, qu'il n'y a pas de place séparé pour les jeunes Enfants baptisés, qu'il y a un terrain pour enterrer les Enfants morts sans Baptême ; & sur notre Enquis a été répondu qu'on brûloit les herbes & épines qui y croissent, qu'on n'y tient pas de marché, & qu'il n'y a pas de chemin public, que cependant on y a fait un passage journalier» (Archives départementales de la Gironde, G 652).

Notons qu'aucun indice archéologique ne permet de situer sur l'emprise de cette fouille le secteur dédié aux enfants morts sans baptême.

FIGURE III Plan du cimetière. XVII<sup>e</sup>–XIX<sup>e</sup> siècles ▷





**Les sépultures.** Un effectif de treize individus, répartis en treize inhumations, a été mis au jour à proximité de ce mur. Il se compose comme suit : 1 immature, 5 adolescents / adultes ; 6 adultes (dont un homme) et 1 indéterminé. Ce sont toutes des inhumations individuelles à l'exception de l'incertitude autour de la sépulture 33. L'orientation est nord-ouest/sud-est, parallèlement au mur de clôture, la tête au nord-ouest. La position « de référence » du cadavre correspond à un individu couché sur le dos dont le membre supérieur droit est fléchi, le membre supérieur gauche est étendu ou fléchi, les mains sont en position basse et les membres inférieurs en extension. L'architecture funéraire montre une certaine variabilité (**FIGURE 82**, chapitre 5, « *Étude anthropologique* ») :

- **4** inhumations en pleine terre (SP 1, 2, 3, 4) dont une avec une épingle de linceul (SP 4) ;
- **3** inhumations en linceul (présence *in situ* d'épingles de linceul ; SP 5, 6 et 8) ;
- **1** inhumation en coffre funéraire en matériau périssable avec présence de treize clous (SP 27) ;
- **5** inhumations de mode indéterminé dont 4 présentent deux à quatre clous (SP 26, 32, 33 et 34) dont une possède également deux épingles de linceul (SP 33).

Par radiocarbone, la sépulture 32 est datée au plus tard de

**1660**. Dans l'unité stratigraphique 1005, une anse de marmite ou pot à cuire, provenant de la région toulousaine est daté quant à elle des XVII<sup>e</sup>–XVIII<sup>e</sup> s. (**FIGURE 112**). Trois monnaies de la période moderne (XVI<sup>e</sup>–XVII<sup>e</sup> siècles), démonétisées en **1852**, ont également été mises au jour dans l'US 1005 (**FIGURES 89, 90 et 91**, chapitre 6, « *Étude des monnaies* »). Ceci permet de confirmer que ces sépultures appartiennent bien au cimetière décrit dans les extraits de texte cités précédemment.

Ainsi, une monnaie du XVII<sup>e</sup> siècle était associée à la sépulture 6, précisément sur le thorax. Le fait d'être associé à un très jeune immature renforce l'hypothèse d'un dépôt sépulcral

**FIGURE 112** Anse de marmite ou pot à cuire, retrouvée dans l'US 1005. Échelle : 1 cm.



volontaire (obole à Caron, voir chapitre 6, « Étude des monnaies »).

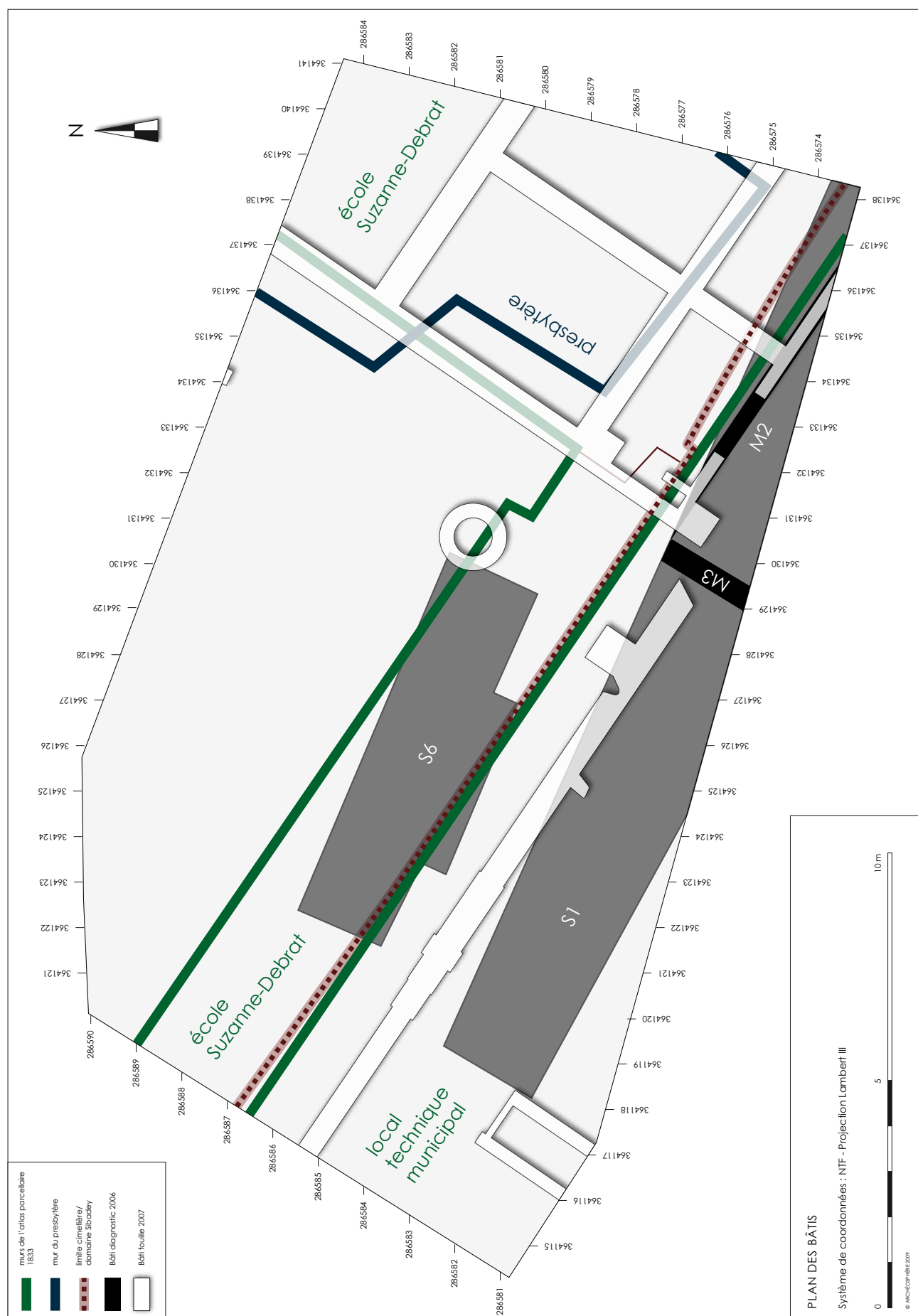
Les deux autres pièces de la période moderne ont été retrouvées non loin du fond de cuve de sarcophage réemployé dans la maçonnerie du mur M 101 (USC 1115). Comme évoqué lors de l'étude des monnaies, leur perte par un usager aux abords des voies d'accès à l'ancien presbytère est envisageable.

Pour cette époque, l'extension du cimetière paroissial a été vérifiée par les fouilles de **J. SAUTREAU (1981)** et **T. GÉ (2006)**, respectivement à l'intérieur de l'église Saint-Vincent et à l'est de cette dernière. En effet, un niveau de tombes en cercueil recoupe nettement un niveau funéraire plus ancien (non daté) [**GÉ 2006** cité in **SCULLER et al. 2007**]. À noter, l'absence de structures repérées dans le sondage 2 du diagnostic de l'Inrap (**SCULLER 2007**) confirmant la limite nord de cette espace funéraire.

L'organisation de l'espace funéraire révèle proportionnellement plus de recoupement que pour la période médiévale, avec deux recoupements : SP 1 puis 2 ; SP 33 puis 32. Les inhumations révèlent également des creusements de profondeur variée, celles qui sont disposées le long du mur étant les moins profondes. À cela s'ajoute des dépôts secondaires. L'étude des os en position secondaire inclus dans l'US 1005 a révélé la présence d'au minimum 40 individus répartis comme suit : 24 adultes, 5 adolescents ou adultes, 10 immatures et 1 périnatal.

Ces dépôts secondaires, ces recoupements et l'absence de structuration spatiale illustrent un manque de place critique pour les inhumations. Cette interprétation est confirmée par les textes. En effet, le cimetière, paroissial puis communal, cesse son activité alors qu'il est utilisé au-delà de ses capacités. On enterre dans les allées et à moins d'un mètre de la surface du sol. Des morceaux de cadavre sont déterrés par les chiens errants et retrouvés en ville. Ainsi, le cimetière « [...] ne correspond plus en 1845 aux conditions de la nouvelle loi sur les cimetières. Le Préfet impose au Maire de Mérignac la nécessité d'une translation du cimetière vers un autre lieu éloigné de l'agglomération de la population » (**GILLIARD ET GILLIARD op. cit.**). Le cimetière cessa ses activités en **1853**, les inhumations eurent lieu dès cette date à Tarreau, près du Croustet (*ibid.*). Le cimetière existera jusque vers **1870** puis sera recouvert d'une esplanade côté nord.

**Du presbytère à l'école communale de filles.** À l'est du secteur fouillé (**FIGURE III**), ont été mis au jour, soit en plan, soit en coupe, des arases de mur (M102, M103, M110 et M138) présentant en commun les caractéristiques suivantes : maçonnerie de pierres de taille de calcaire tendre liées au mortier maigre gris, très friable, contenant peu ou pas de chaux, du sable et peu de graviers. D'après l'atlas parcellaire de **1833 (FIGURE I13)**, ces éléments



◀ **FIGURE 113** Plan des bâtis.

de construction seraient les vestiges du presbytère communal concordataire, dont la première mention connue est celle de l'atlas parcellaire de **1833**. D'après la stratigraphie, la première unité stratigraphique chrono-attribuée précédant celles du presbytère est celle du fossé 111 avec un *terminus post quem* du XVII<sup>e</sup> siècle. Ceci permet de proposer une construction du presbytère plus ou moins contemporaine de l'élévation du mur du cimetière.

**D**e fait, nous pouvons interpréter les différents arases de murs d'après le plan du presbytère. Le mur M 102 témoignerait du mur de façade ouest du presbytère et le mur M 103 de celui de la façade sud. Les murs M 110 et M 138 pourraient être interprétés comme des murs de refend. Enfin, le mur M 144 ou l'assise de construction US 1173 (**FIGURE 44**, chapitre 4, « Structures archéologiques et stratigraphie ») pourrait correspondre au décrochement de l'avant de la façade ouest. Face au mur M 144 se situe l'unité stratigraphique construite 1122. Peut-on en déduire la présence d'un mur, parallèle au tracé du fossé 111, précédant la construction du puits 108 ?

**D'**après l'atlas parcellaire, un jardin est associé au presbytère en avant de la façade ouest. Il est localisé exactement sur les aires d'inhumation témoignant des diverses extensions du cimetière. Deux allées s'y croisent, dont l'une d'elles donne sur le mur du cimetière où a pu être aménagé un passage entre le presbytère et le cimetière pour accéder ensuite à ce dernier. Mais à l'exception des monnaies (*cf. supra*), aucun vestige archéologique ne témoigne d'un niveau de circulation, et moins encore d'une voie de circulation.

**Deux** autres structures sont contemporaines du cimetière moderne et du presbytère : le puits 108 (**FIGURE 37**, chapitre 4) et le fossé ou la fosse 140 (**FIGURE 43**, chapitre 4). Cette dernière structure en creux, centrée exactement en face de la façade du presbytère, pourrait être le négatif d'une structure bâtie (bassin...)

**D'**après les textes, cet édifice religieux gardera cette fonction jusqu'en **1790**, date de la fuite du prêtre réfractaire et sera détruit en **1870**. Ce bâtiment servira successivement de presbytère, de maison privée et de bâtiment public, mairie avec ses annexes puis école publique de filles.

**En 1790**, le prêtre réfractaire s'étant enfui, le presbytère de l'Ancien Régime est vendu à un particulier. Il devient la maison Sibadey du nom de son propriétaire Vincent Sibadey qui décèdera en **1839**. La maison sera rachetée par la commune pour servir de Mairie avec ses annexes. « En 1834 la première école publique communale est installée dans l'immeuble Sibadey, rue de la Vieille Église. Une ordonnance royale de Juin 1844



autorise la Commune de Mérignac à acquérir une partie du domaine "pour l'appropriation d'une maison d'école" (Archives Départementales de la Gironde 242420 Mérignac) » [GILLIARD ET GILLIARD *op. cit.*]. En 1870, l'ancien presbytère est détruit car vétuste et l'école reconstruite.

## 7 Le XX<sup>e</sup> siècle

### L'école communale de filles, puis l'école maternelle Suzanne Debrat (1870–2001)

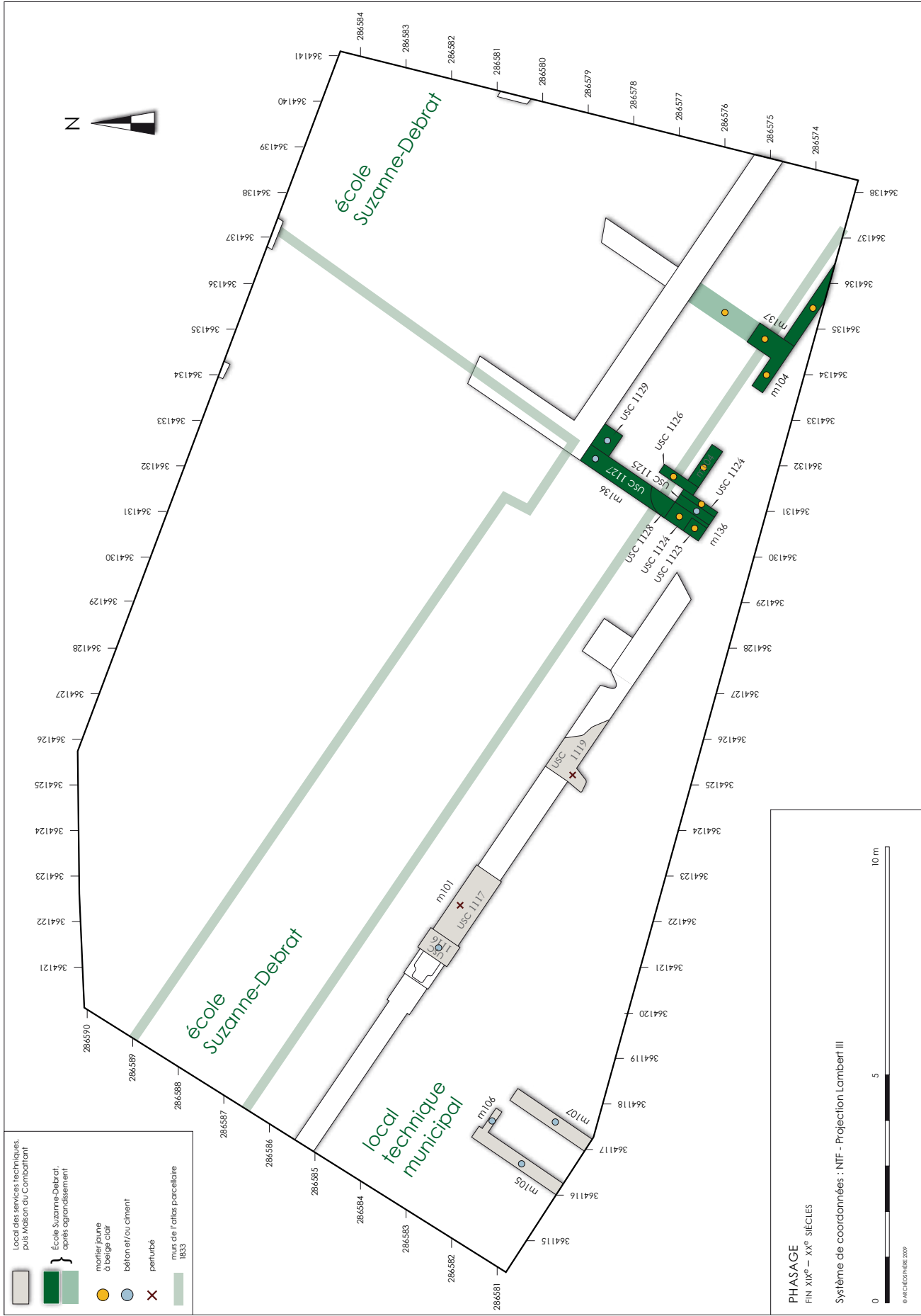
Plusieurs vestiges de construction témoignent de l'agrandissement de l'école et de ses modifications ultérieures. Les premiers aménagements présentent un mortier jaune à beige clair (M 104, M 136 [USC 1123, 1124, 1126], M 137), les suivants du ciment ou du béton (M 136 [USC 1127], USC 1125, 1129) [FIGURE I14]. Les murs M 104 et M 136 forment les murs extérieurs du bâtiment. Quant au mur M 137, il serait à interpréter comme un mur de refend. Ces arases de mur sont disposés en continuité des fondations du presbytère, ce qui témoignerait de leur réemploi. Enfin, un système de canalisation (USC 1124, 1125, 1129) [FIGURES 60 et 61, chapitre 4] a été mise au jour le long du mur M 136. L'atlas cadastral de 1965 (section BV) [FIGURE 89, chapitre 6, « Étude des monnaies »] et un cliché aérien montrant le centre ville de Mérignac nous renseignent sur l'existence d'un préau le long du mur M 101. Ainsi, l'unité de construction 1127 pourrait être le seuil entre le bâtiment principal et le préau, la canalisation passant également à cet endroit.

Ce bâtiment servira d'école communale de filles, puis à partir de 1950 d'école maternelle qui prendra le nom de Suzanne Debrat en octobre 1952 (*ibid.*). Elle cessera son activité en 2001 et sera démolie en 2004–2005.

### Le local des services techniques, puis Maison du Combattant

D'après l'atlas cadastral de 1965 (section BV), deux bâtiments s'appuient de part et d'autre du mur M 101, respectivement au nord le préau de l'école élémentaire et au sud le bâtiment de service public construit au début du XX<sup>e</sup> siècle sur l'emplacement de l'esplanade. Il sert de hangar pour les services techniques (ambulance et camion benne, stockage de pièce d'aviation pendant la Première guerre mondiale) puis accueille les bureaux des services techniques (sert au ravitaillement pendant la Seconde guerre mondiale). Il prend en 1976 le nom de Maison du Combattant. Cette dernière sera détruite en 2004–2005.

La présence dans le mur M 101 d'une portion maçonnerie avec du béton (USC 1116) et également d'éléments anciens perturbés témoignent de cette construction et/ou de celle du préau.



Un massif bétonné composé de trois murs (M 105, 106, 107) a également été mis au jour, sa fonction reste indéterminée. Les unités stratigraphiques 1017, 1019 et 1020 témoignent de la phase de démolition du bâtiment. La morphologie en « U » de la section de l'US de 1020, visible dans les coupes 1 (entre les US 1005 et 1161), 2 (entre les US 1192 et 1005) et 6 (entre les US 1204 et 1159), permet de proposer le comblement d'une tranchée vidée lors de la démolition du bâtiment (suppression d'une canalisation ?) qui s'étend au minimum de la coupe 6 à la coupe 2. Le secteur localisée entre la coupe 6 et le mur M 105 a été profondément remanié comme le signalent les traces d'un godet à dents dans le substrat.

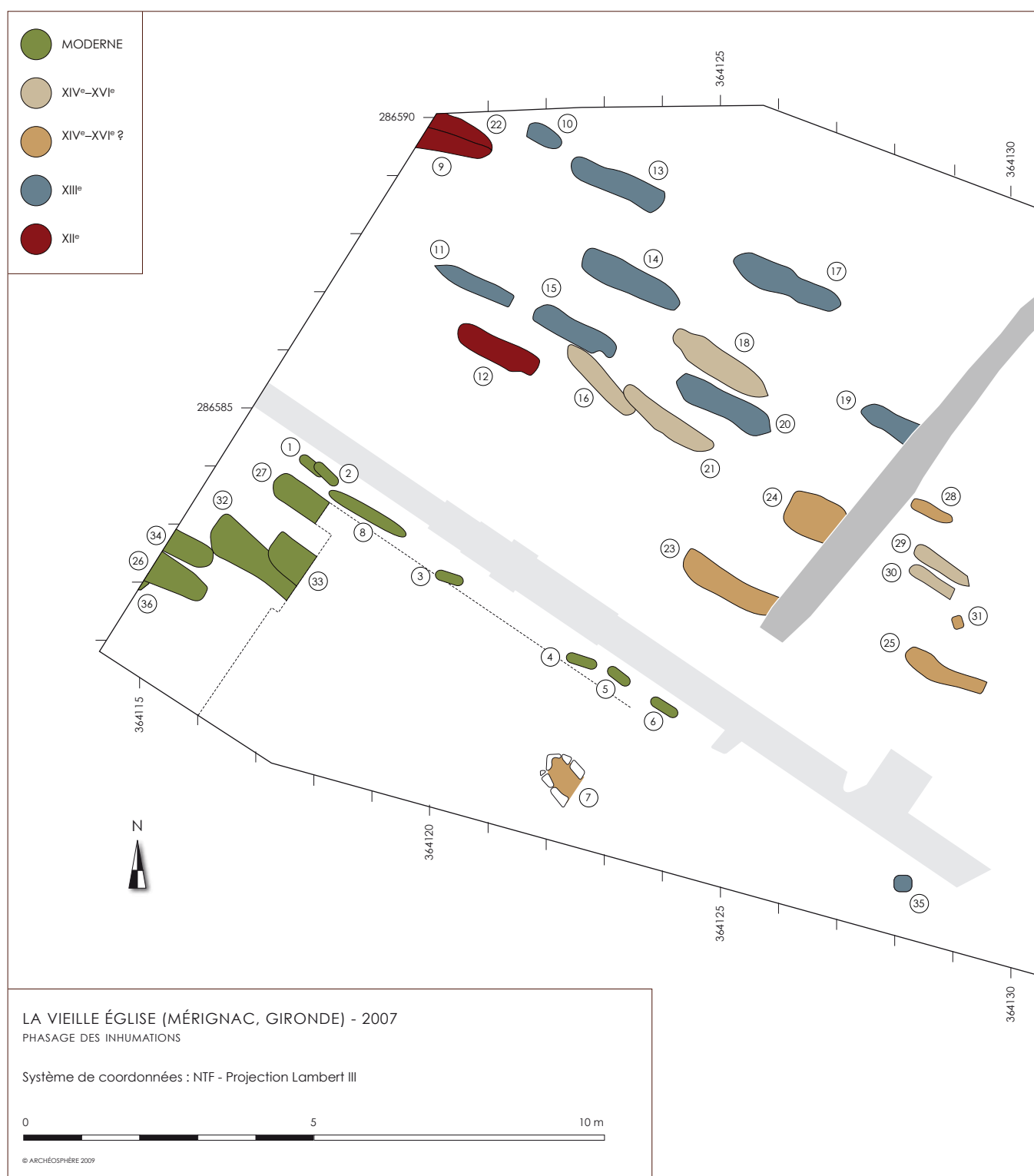
## 8 Conclusion

La parcelle du cimetière de l'église Saint-Vincent de Mérignac a révélé, sous des vestiges de bâtiments modernes, des arases de murs d'un presbytère, deux puits, des structures funéraires, des silos et la succession sur le même tracé de plusieurs dispositifs de clôture du cimetière.

Le cimetière lui-même révèle une continuité d'utilisation du XII<sup>e</sup> au XIX<sup>e</sup> siècle, avec une succession d'extension et de rétraction durant le Moyen Âge (**FIGURES II5 et II6**). Cette succession nous renseigne également sur les variations dans la structuration et la gestion d'entretien à la limite d'un cimetière au cours de cette longue période. Ainsi quatre dispositifs de délimitation ont été révélés pour la période du début XII<sup>e</sup> au XIX<sup>e</sup> siècle et trois agrandissements du début XII<sup>e</sup> au XVI<sup>e</sup> siècle.

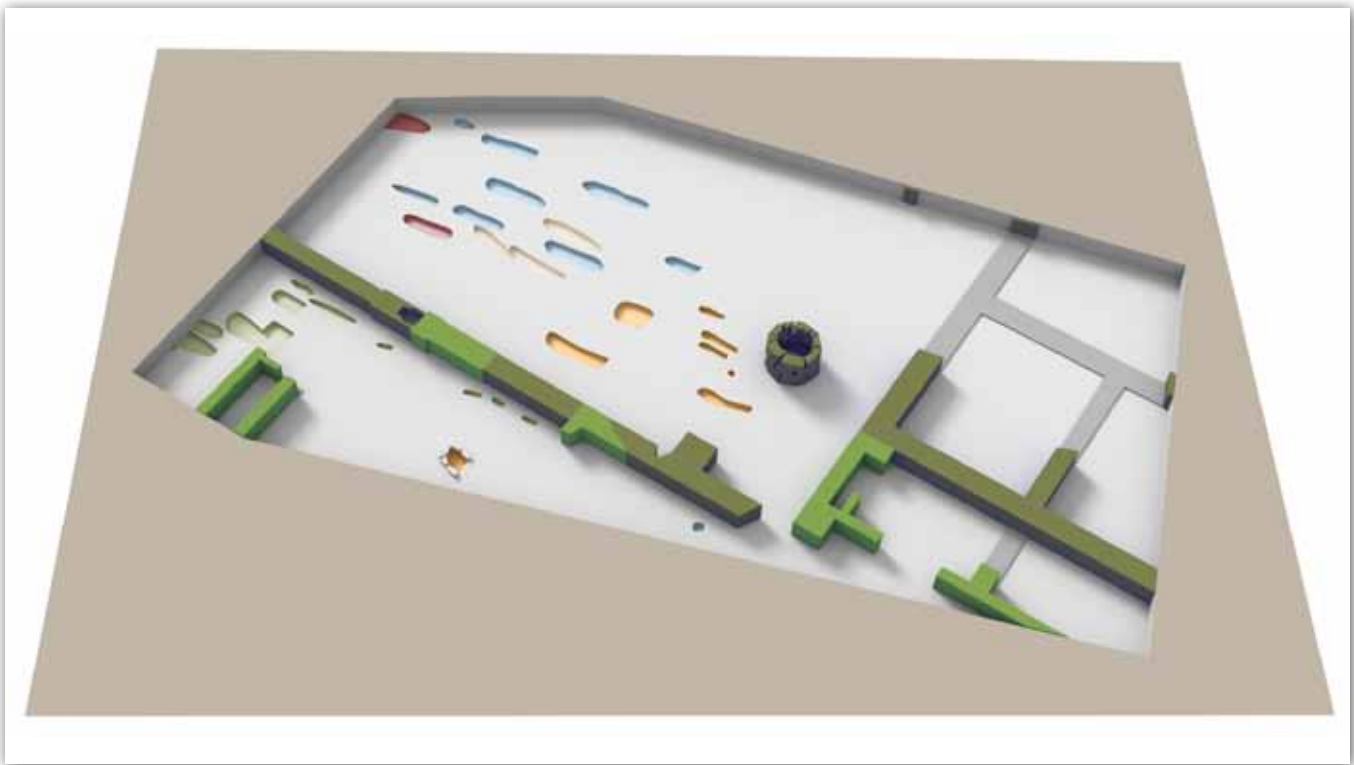
**Mais**, la première occupation avérée du secteur est une aire d'ensilage datée entre la fin du X<sup>e</sup> siècle et la première moitié du XII<sup>e</sup> siècle. Cette implantation agricole serait contemporaine de la fin de la première église édifiée à l'époque mérovingienne. Une seconde aire d'ensilage est utilisée durant la première moitié du XIII<sup>e</sup> siècle.

**Quant** à la fonction cimétériale, cette dernière commence au début du XII<sup>e</sup> siècle avec le creusement d'un fossé de délimitation du cimetière contemporain des débuts de l'église romane. Suit l'abandon du fossé et une phase d'extension du cimetière durant la seconde moitié du XII<sup>e</sup> siècle. Cette phase d'agrandissement est contemporaine de la seconde aire d'ensilage. Puis l'aménagement d'un second fossé révèle une gestion d'entretien illustrée par une succession de curages entre la fin du XII<sup>e</sup> et le début du XV<sup>e</sup> siècle. S'intercale une seconde phase d'extension du cimetière, structurée en trois rangées, durant la première moitié du XIII<sup>e</sup> siècle. Un troisième et dernier agrandissement du cimetière, présentant un possible carré d'enfants, prend place entre le XIV<sup>e</sup> et le XVI<sup>e</sup> siècle à la suite de la fin de l'entretien du fossé. Postérieurement au XV<sup>e</sup> siècle, la surface du cimetière est définitivement fixée par l'élévation d'un talus sur l'ancien tracé du fossé et l'ancienne partie du cimetière



hors limite est désaffectée. Cette espace est alors raménagé avec un puits et un fossé, puis un presbytère avec son jardin prendra lieu et place en cet endroit au cours du XVII<sup>e</sup> siècle. Au talus succède, entre le XVI<sup>e</sup> siècle et la seconde moitié du XVII<sup>e</sup> siècle, un mur maçonné de pierres de taille, orienté nord-ouest/sud-est. Ce dispositif de clôture sera le dernier jusqu'à la fin de l'activité du cimetière en **1853**. Cette dernière phase

**FIGURE I15** Plan de phasage des inhumations.



**FIGURE II6** Modèle 3D du cimetière. Voir la figure 22 pour la colorimétrie

d'utilisation du cimetière est connue par plusieurs documents anciens : le cadastre napoléonien (1811), une copie de ce dernier (1833) et trois textes des XVII<sup>e</sup>, XVIII<sup>e</sup> et XIX<sup>e</sup> siècles.

Du XII<sup>e</sup> au XVI<sup>e</sup> siècle, les sépultures révèlent la présence d'éléments de signalisation et présentent une homogénéité dans leur pratique funéraire : inhumation individuelle primaire sans mobilier, mode d'inhumation en pleine terre et fosse étroite creusée dans le substrat. La position du squelette est en décubitus, orienté selon l'axe nord-ouest/sud-est, tête au nord-ouest, membres supérieurs indifféremment en extension ou en flexion et membres inférieurs en extension. Seules deux sépultures, attribuées à la troisième phase d'agrandissement, présentent une différence par leur mode d'inhumation dans un coffre funéraire en pierres jointives. Jusqu'à cette troisième phase d'extension, les fosses d'inhumation sont orientées parallèlement à l'axe de l'église romane Saint-Vincent, puis suivant l'axe du dispositif de clôture et ne sont plus disposées en rangée.

Du XVII<sup>e</sup> au XIX<sup>e</sup> siècle, treize inhumations individuelles présentent une orientation nord-ouest/sud-est, parallèlement au mur de clôture, la tête au nord-ouest. La position « de référence » du cadavre correspond à un individu couché sur le dos dont le membre supérieur droit est fléchi, le membre supérieur gauche est étendu ou fléchi, les mains sont en position basse et les membres inférieurs en extension. L'architecture funéraire montre une certaine variabilité : inhumations en pleine terre, inhumations en linceul et une inhumation en coffre funéraire en matériau périssable. Enfin des dépôts secondaires, des re-



couplements et l'absence de structuration spatiale illustrent un manque de place critique pour les inhumations.

**L**a mauvaise conservation des ossements et le faible nombre d'inhumations (38 individus répartis dans 36 inhumations) limitent fortement toute interprétation. En raison de la non-exhaustivité de la fouille (et donc du faible effectif d'inhumations mises au jour) du cimetière médiéval (25 inhumations) et du cimetière moderne et contemporain (13 inhumations), l'ensemble de la population inhumée ne peut être appréhendé, et il n'est donc pas possible de réaliser une étude fine du recrutement des ensembles sépulcraux.

**E**nfin les méthodes de diagnose sexuelle n'ont fourni de résultat que pour six individus. Le cimetière médiéval présente quatre femmes et un seul homme. Seul un homme est identifié pour le cimetière récent. Ceci empêche toute interprétation quant à un recrutement lié au sexe pour les différentes phases du cimetière ■





## RÉFÉRENCES BIBLIOGRAPHIQUES

# 8

## RÉFÉRENCES BIBLIOGRAPHIQUES

**COURTAUD P. 1996.** « Anthropologie de sauvetage » : vers une optimisation des méthodes d'enregistrement. Présentation d'une fiche anthropologique, *Bulletins et Mémoires de la Société d'Anthropologie de Paris*, n.s., t. 8 (3 – 4), pp. 157–67.

**EPRON 1998.** *Dictionnaire de l'Origine des noms de Lieux en Gironde et en Aquitaine*, Collection La France Insolite et Mystérieuse. Bordeaux : ARPE Éditeur.

**GILLIARD P., GILLIARD G. 2002.** *Origine et essor des quartiers de Mérignac*.

**OWING WEBB P. A., SUCHEY J. M. 1985.** Epiphyseal union of the anterior iliac crest and medial clavicle in a moderne multiracial sample of american males and females, *American Journal of Physical Anthropology*, 68, pp. 457–466.

**SCHEUER L., BLACK S. 2000.** *Developmental Juvenil Osteology*, Academic Press : Paris.

**MOORREES C. F. A. FANNING E. A., HUNT E. E. 1963a.** Formation and resorption of three deciduous teeth in children, *American Journal of Physical Anthropology*, 21, pp. 205–213.

**MOORREES C. F. A., FANNING E. A., HUNT E. E. 1963b.** Age variation of formation stages for ten permanent teeth, *Journal of Dental Research*, 42, pp. 1490–1502.

**MOREL M.-F. 2001.** Images du petit enfant mort dans l'histoire. In collectif. *Études sur la Mort*, 119 : 17–38.

**SCHMITT A. 2005.** Une nouvelle méthode pour estimer l'âge au décès des adultes à partir de la surface sacro-pelvienne iliaque. *Bulletins et Mémoires de la Société d'Anthropologie de Paris*, 17, 1–2, pp. 89-101.

**MURAIL P., BRUZEK J., HOÛET F., CUNHA E. 2005.** DSP: a tool for probabilistic sex diagnosis using worldwide variability in hip

bone measurements, *Bulletins et Mémoires de la Société d'Anthropologie de Paris*, n.s., t. 17 (3 – 4), pp. 167–176.

**BRÄUER G. 1988**, Osteometrie, in KNUSSMANN R., *Anthropologie, Handbuch der vergleichenden Biologie des Menschen* : Stuttgart.

**SCHULTER-ELLIS F. P., HAYEK C., SCHMIDT D. J. 1985**. Determination of sex with a discriminant analysis of new pelvic bone measurements: Part II, *Journal of Forensic Sciences*, 30, pp. 178–185.

**NOVOTNY V. 1975**. Diskriminant analyse der Geschlechtsmerkmale auf dem Os coxae beim Menschen, Papers of the 13th Congress of Anthropologist Czechoslovak, Brno, p. 1–23.

**CLEUVENOT E., HOUËT F. 1993**. Propositions de nouvelles équations d'estimation de stature applicables pour un sexe indéterminé et basées sur les échantillons de Trotter et Glaser, *Bulletins et Mémoires de la Société d'Anthropologie de Paris*, n.s., 5, pp.245–255.

**CIANI L. 1926**. *Les monnaies royales françaises de Hugues Capet à Louis XVI*, Paris

**DROULERS F. 1987**. *Répertoire général des monnaies de Louis XIII à Louis XVI*, Paris.

**DUPLESSY J. 1988–1989**. *Les monnaies françaises royales de Hugues Capet à Louis XVI*, Paris-Maastricht, 2 vol.

**ELIAS D. 1984**. *The Anglo-Gallic Coins* (Les monnaies anglo-françaises), Paris-Londres.

*Le Franc, argus des monnaies françaises [depuis 1795]*, Paris, 1<sup>re</sup> éd. 1995.

**GADOURY V. 1987**. *Monnaies françaises*, Monte-Carlo, 8<sup>e</sup> éd., 1789-1987..

**GADOURY V., DROULERS F. 1986**. *Monnaies royales françaises 1610-1792*, Monte-Carlo, 2<sup>e</sup> éd.



**HEWLETT M.M. 1920.** *Anglo-Gallic Coins*, Londres.

**LAFaurie J., PRIEUR P. 1951–1956.** *Les monnaies des rois de France, Hugues Capet à Henri IV*, Paris-Bâle, 2 vol.

**POEY D'AVANT F. 1858–1962.** *Monnaies féodales de France*, Paris, 4 vol.

**SOMBART S. 1997.** *Catalogue des monnaies royales françaises de François I<sup>er</sup> à Henri IV (1540-1610)*, Paris.

**SAUTREAU J. 1981.** *Vieille Eglise Saint-Vincent, rapport de sondages archéologiques*, 15 décembre 1981, 11 p.

**SAUTREAU J. 1982.** *Vieille Eglise Saint-Vincent. Mérignac, ville verte*, 12.

**SCUILLER C., GROcq S., BOULOGNE S. 2007.** *Mérignac, Avenue du Maréchal Leclerc, rue de la vieille Eglise, rapport de diagnostic*, Inrap, 27 p.

**SÉNAC R.-A. 2007.** *Remarques et observations à propos des sondages archéologiques menés dans le centre ville de Mérignac à l'automne 2006*. Mérignac : Archives communales.

**BRUTAILS J.-A. 1897.** *Le cartulaire de l'église collégiale Saint-Seurin de Bordeaux*, Bordeaux : Gounouilhou.


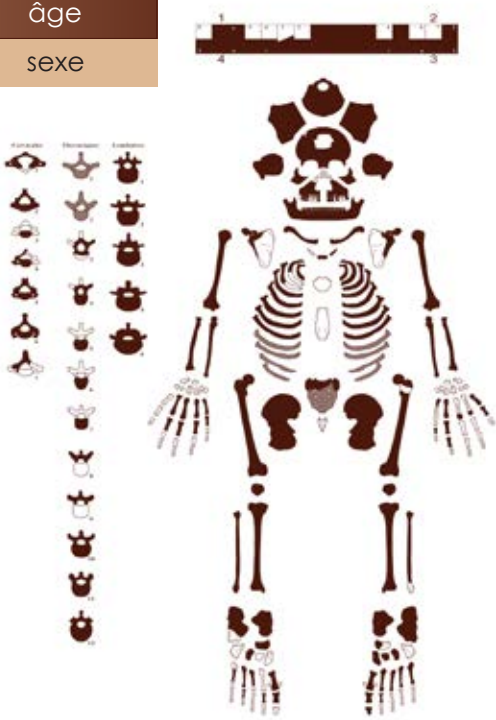




# ANNEXE I

## CATALOGUE DES SÉPULTURES\*

\*Chaque sépulture est décrite sur une double page, organisée comme sur l'exemple fictif ci-dessous.

		<p>sépulture <b>ID</b></p> <p>■ Type de sépulture</p> <p><b>Position du squelette</b></p> <p><b>Description taphonomique</b></p> <p><b>Mobilier</b></p>		<p>âge</p> <p>sexe</p> 	
<p>zone</p> <p>unité strati.</p>	<p>long. x larg.</p> <p>orientation/nord</p> <p>fosse</p>		<p>Fiche de conservation (COURTAUD modifié DEVRIENDT)</p> <p>bonne conservation</p> <p>mauvaise conservation</p>		
<p>Mode <b>d'inhumation</b></p>					

# sépulture 1



- individuelle primaire
- chevauche la sépulture 2

## Position du squelette

- décubitus

## Description taphonomique

- phase initiale de la décomposition : espace colmaté
- conservation de l'articulation scapulo-humérale gauche en connexion étroite
- mise à plat complète des côtes droites

## Mobilier

- néant

cimetière moderne

us 1005

INDÉT.  
N129°

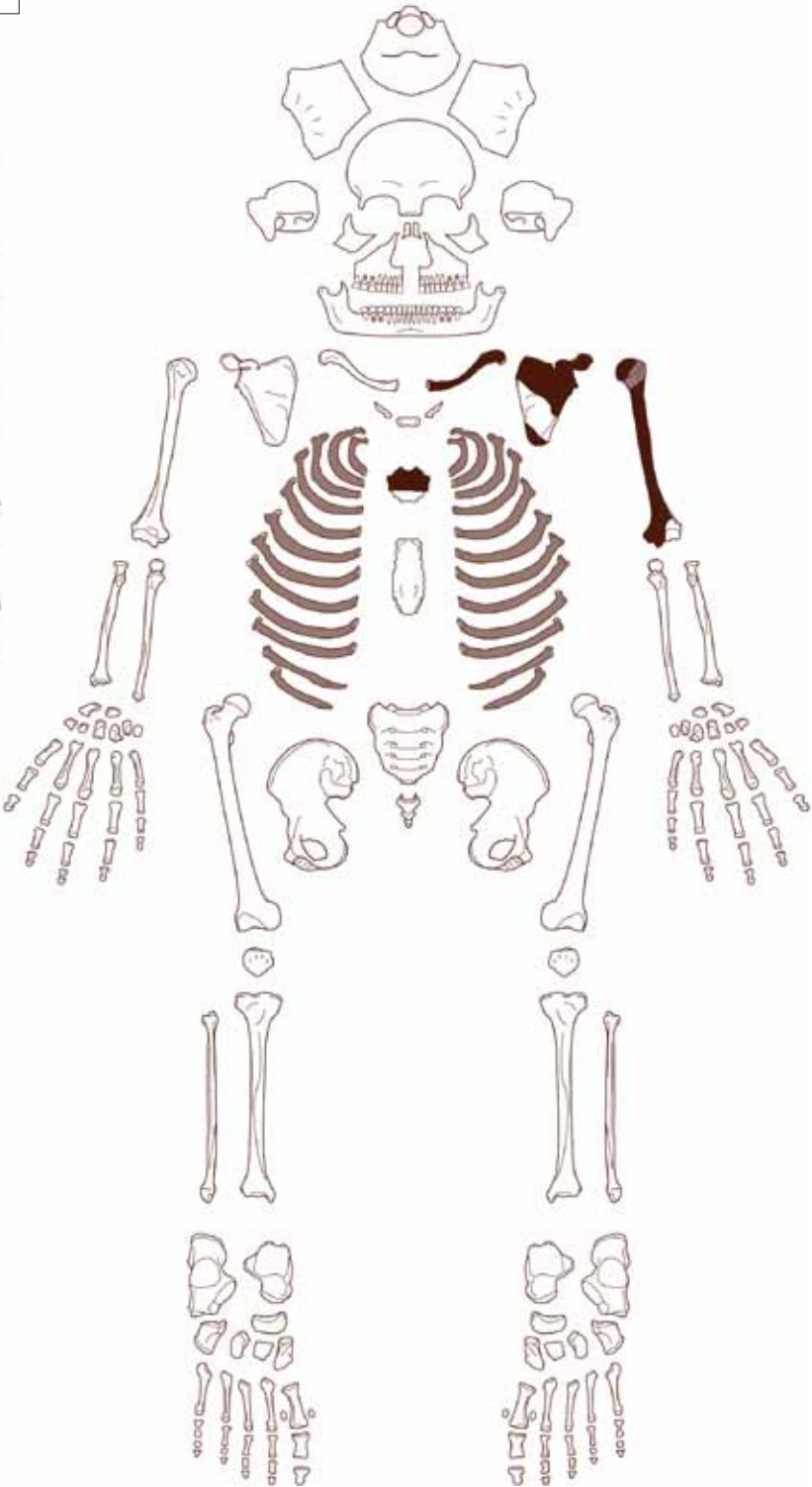
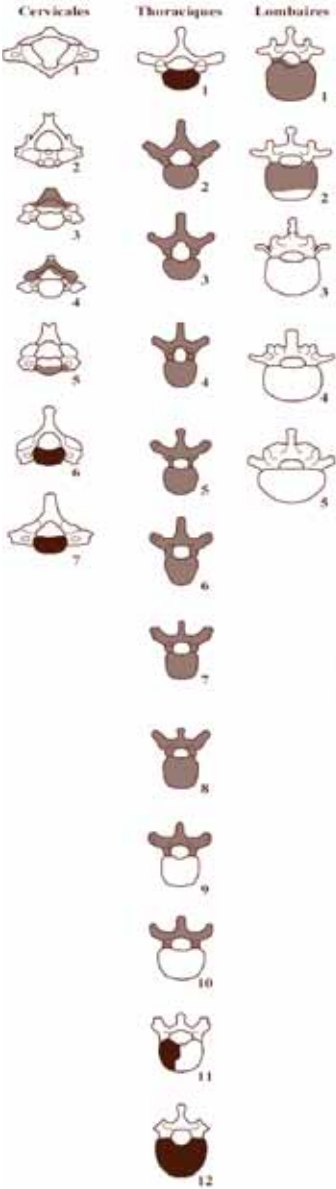
Mode **d'inhumation**: PLEINE TERRE



AD. > 20 ANS

SEXE INDÉTERMINABLE

1																2													
8	7	6	5	4	3	2	1		1	2	3	4	5	6	7	8													
4																3													



## sépulture 2



- individuelle primaire
- sous la sépulture 2

### Position du squelette

- décubitus

### Description taphonomique

- phase initiale de la décomposition : espace colmaté
- conservation de l'articulation scapulo-humérale gauche en connexion étroite
- mise à plat partielle de la cage thoracique

### Mobilier

- néant

cimetière moderne

us 1005

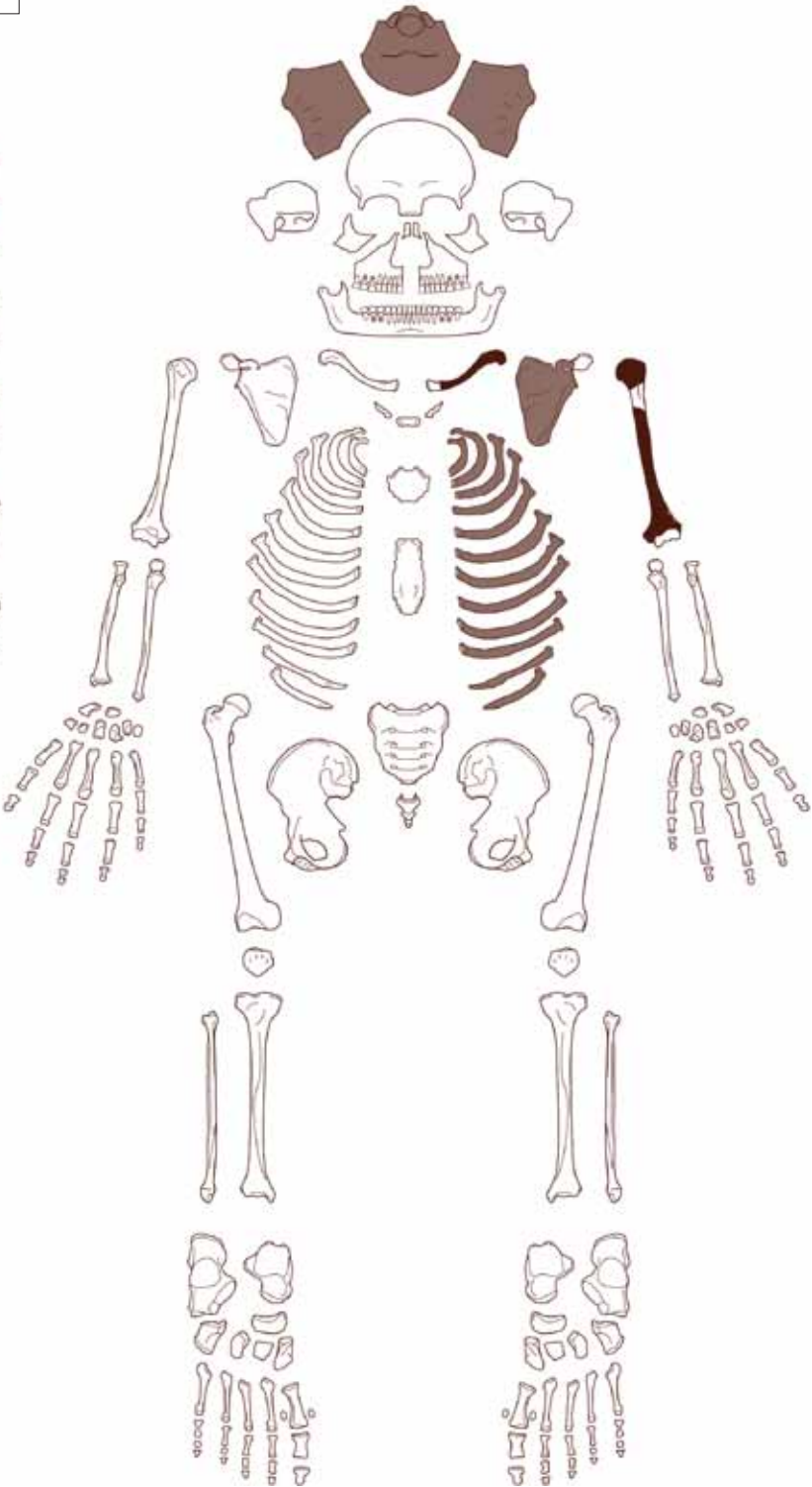
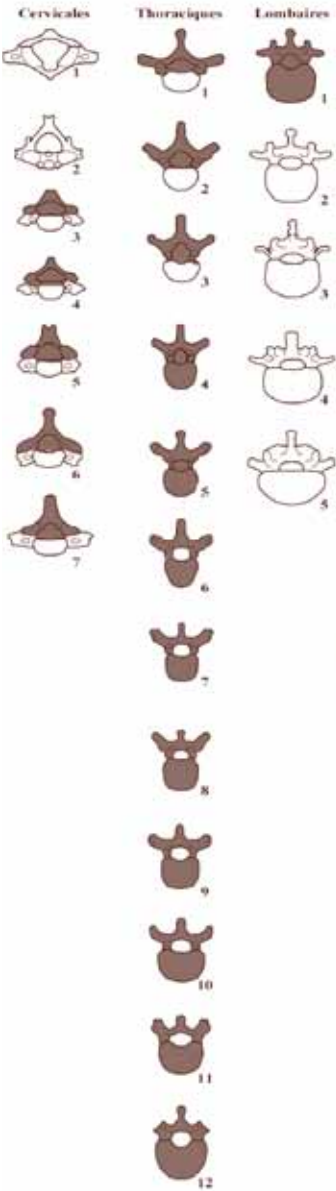
INDÉT.  
N135°

Mode **d'inhumation** : PLEINE TERRE

AD. > 20 ANS

SEXE INDÉTERMINABLE

1																2													
8	7	6	5	4	3	2	1		1	2	3	4	5	6	7	8													
4																3													





## sépulture 3

- individuelle primaire

### Position du squelette

- décubitus

### Description taphonomique

- phase initiale de la décomposition : espace colmaté
- conservation de l'articulation scapulo-humérale gauche en connexion étroite

### Mobilier

- néant



cimetière moderne

us 1005

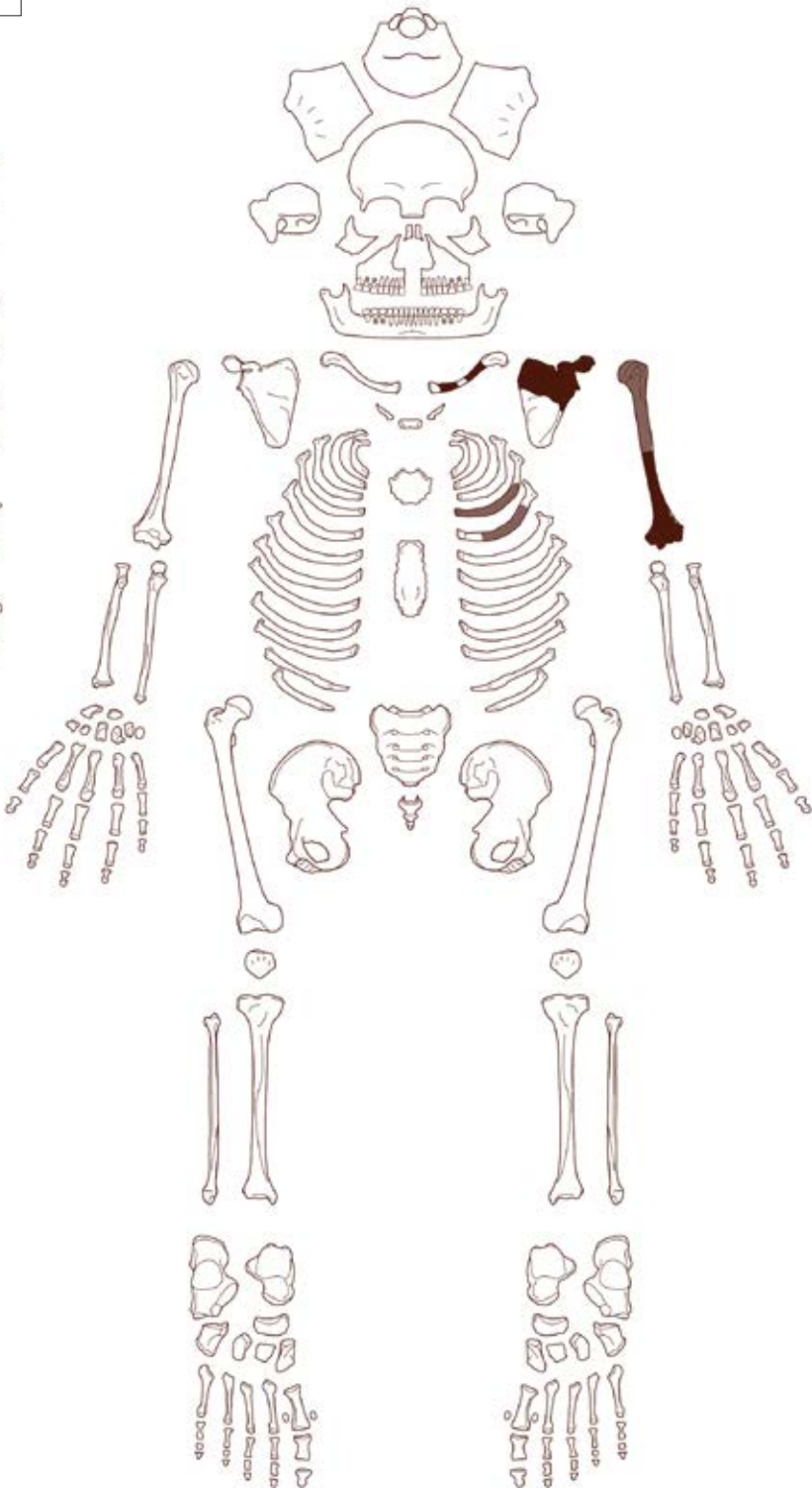
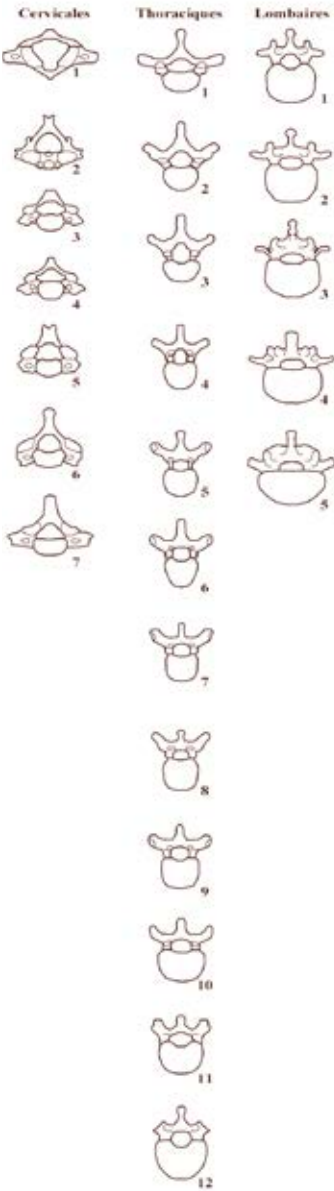
INDÉT.  
N108°

Mode **d'inhumation**: PLEINE TERRE

ADO./AD. > 15 ANS

SEXE INDÉTERMINABLE

1								2							
8	7	6	5	4	3	2	1	1	2	3	4	5	6	7	8
8	7	6	5	4	3	2	1	1	2	3	4	5	6	7	8
4								3							





## sépulture 4

- individuelle primaire

### Position du squelette

- décubitus
- membres inférieurs en extension

### Description taphonomique

- phase initiale de la décomposition : espace colmaté
- conservation des articulations des pieds en étroite connexion

### Mobilier

- épingle de linceul au niveau du calcanéum droit
- une seconde à proximité de la première



cimetière moderne

us 1005

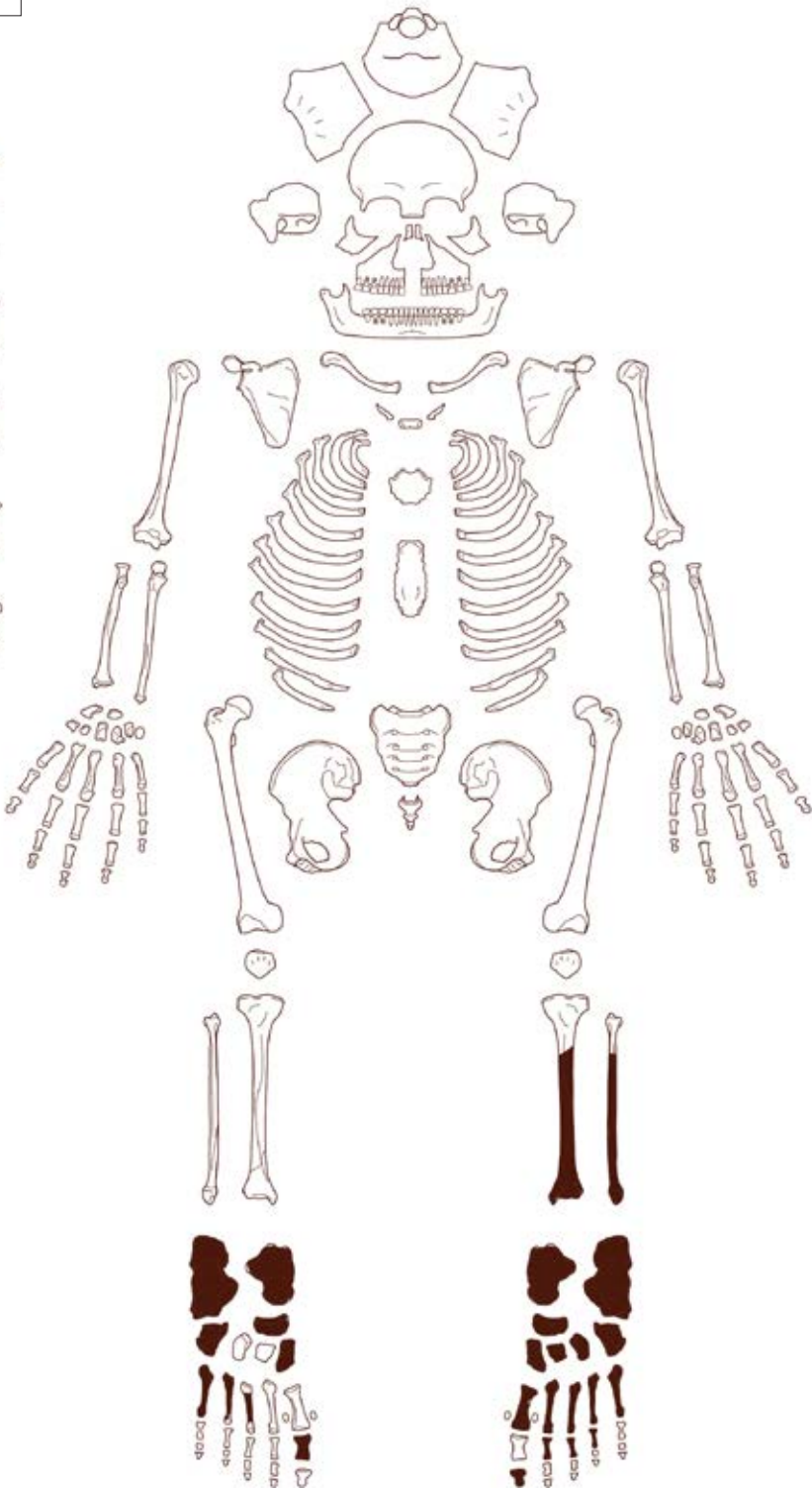
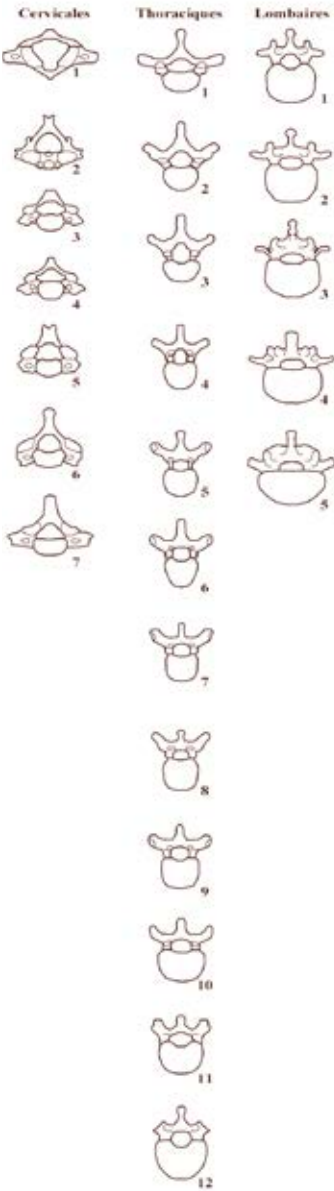
INDÉT.  
N108°

Mode **d'inhumation** : PLEINE TERRE

ADO./AD. > 15 ANS

SEXE INDÉTERMINABLE

1								2							
8	7	6	5	4	3	2	1	1	2	3	4	5	6	7	8
8	7	6	5	4	3	2	1	1	2	3	4	5	6	7	8
4								3							



## sépulture 5

- individuelle primaire

### Position du squelette

- ?

### Description taphonomique

- phase initiale de la décomposition : espace vide

### Mobilier

- 2 épingles de linceul à proximité des pieds



cimetière moderne

us 1005

INDÉT.  
N128°

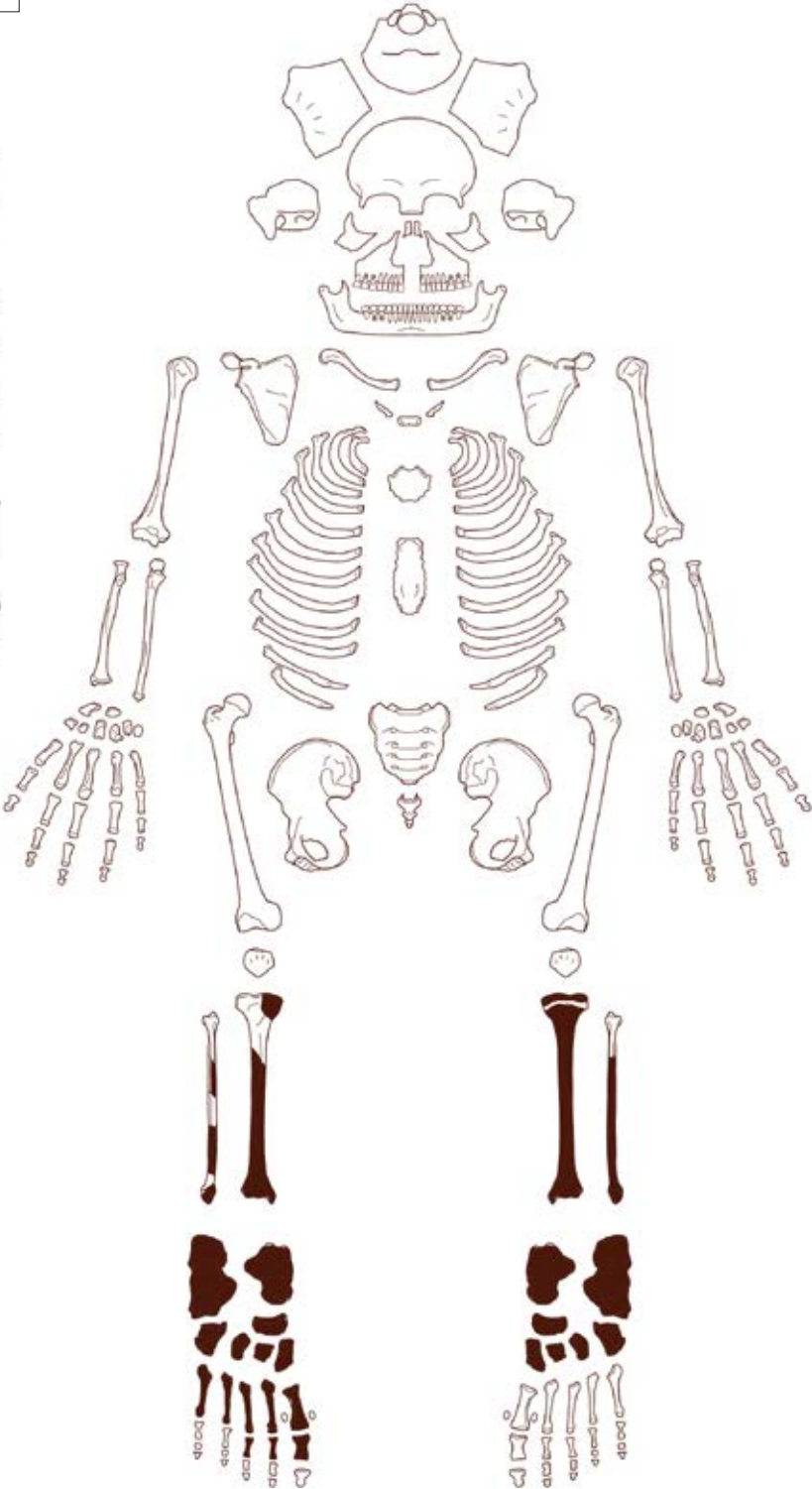
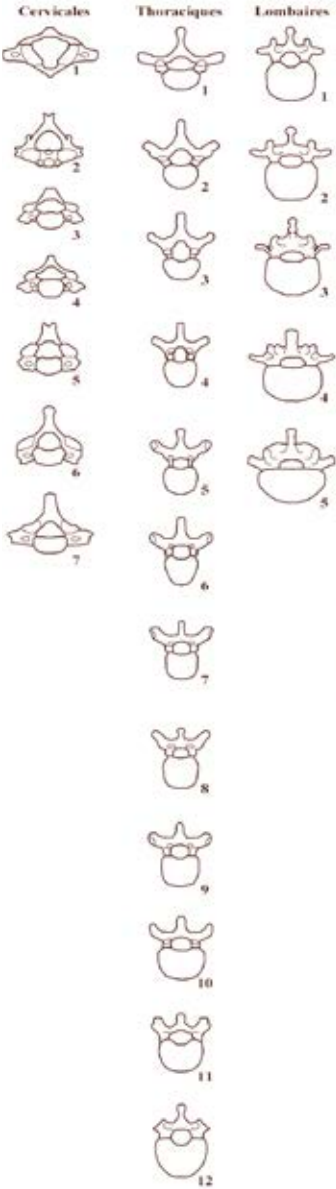
Mode **d'inhumation**: LINCEUL



ADO./AD. > 15 ANS

SEXE INDÉTERMINABLE

1								2							
8	7	6	5	4	3	2	1	1	2	3	4	5	6	7	8
8	7	6	5	4	3	2	1	1	2	3	4	5	6	7	8
4								3							



## sépulture 6



- individuelle primaire

### Position du squelette

- décubitus
- membre supérieur droit en flexion, main en position moyenne
- membre supérieur gauche en flexion, main en position moyenne
- membres inférieurs en extension

### Description taphonomique

- phase initiale de la décomposition : espace vide

### Mobilier

- 4 épingles de linceul
- une pièce de monnaie du XVII<sup>e</sup> siècle au niveau du thorax

cimetière moderne

us 1005

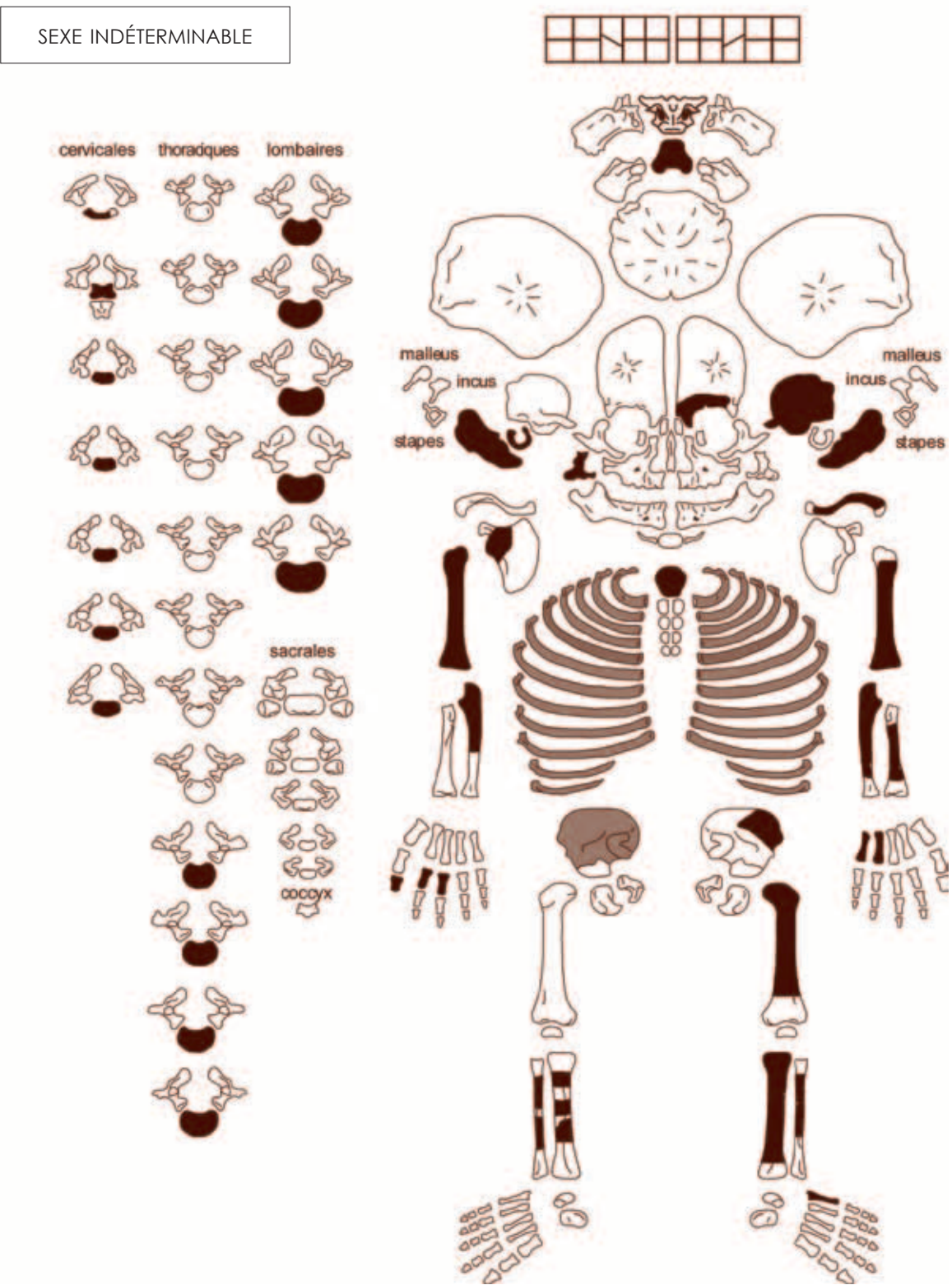
INDÉT.  
N122°

Mode **d'inhumation**: LINCEUL



IMM. [0]

SEXE INDÉTERMINABLE



## sépulture 7



- individuelle primaire
- recoupée par le sondage Inrap

### Position du squelette

- décubitus
- membre supérieur droit en extension
- membre supérieur gauche en extension

### Description taphonomique

- phase initiale de la décomposition : espace vide
- crâne en position secondaire
- chute de la mandibule
- verticalisation des clavicules et mise à plat partielle des côtes (compression ➤ coffrage)
- effet de paroi au niveau des épaules (➤ coffrage)

### Mobilier

- néant

cimetière médiéval

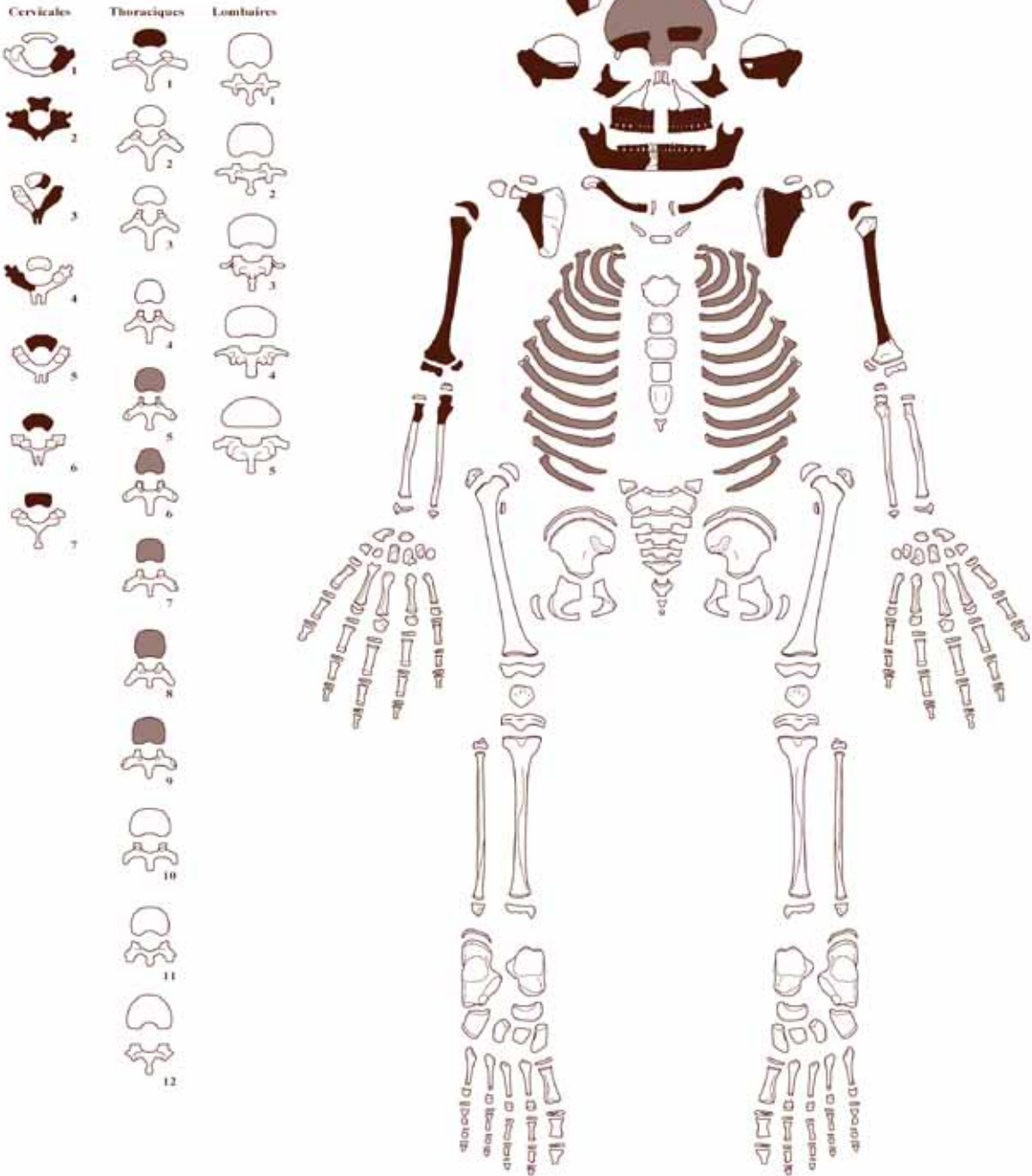
us 1028/1029/1030

INDÉT.  
N143°

Mode **d'inhumation**: COFFRE FUNÉRAIRE EN PIERRE

IMM. [15–19]

SEXE INDÉTERMINABLE





## sépulture 8



- individuelle primaire
- perturbée par l'US 1020 à la droite de l'individu

### Position du squelette

- décubitus
- membre supérieur gauche en flexion, main en position moyenne
- membres inférieurs en extension

### Description taphonomique

- phase initiale de la décomposition : espace vide
- mise à plat des côtes et du coxal à gauche
- pas de rotation acquise à gauche (contrainte ► linceul)
- effet de paroi de type butée au niveau de la patella droite (► linceul)

### Mobilier

- 3 épingles de linceul au niveau du membre inférieur gauche
- clou



cimetière moderne

us 1005

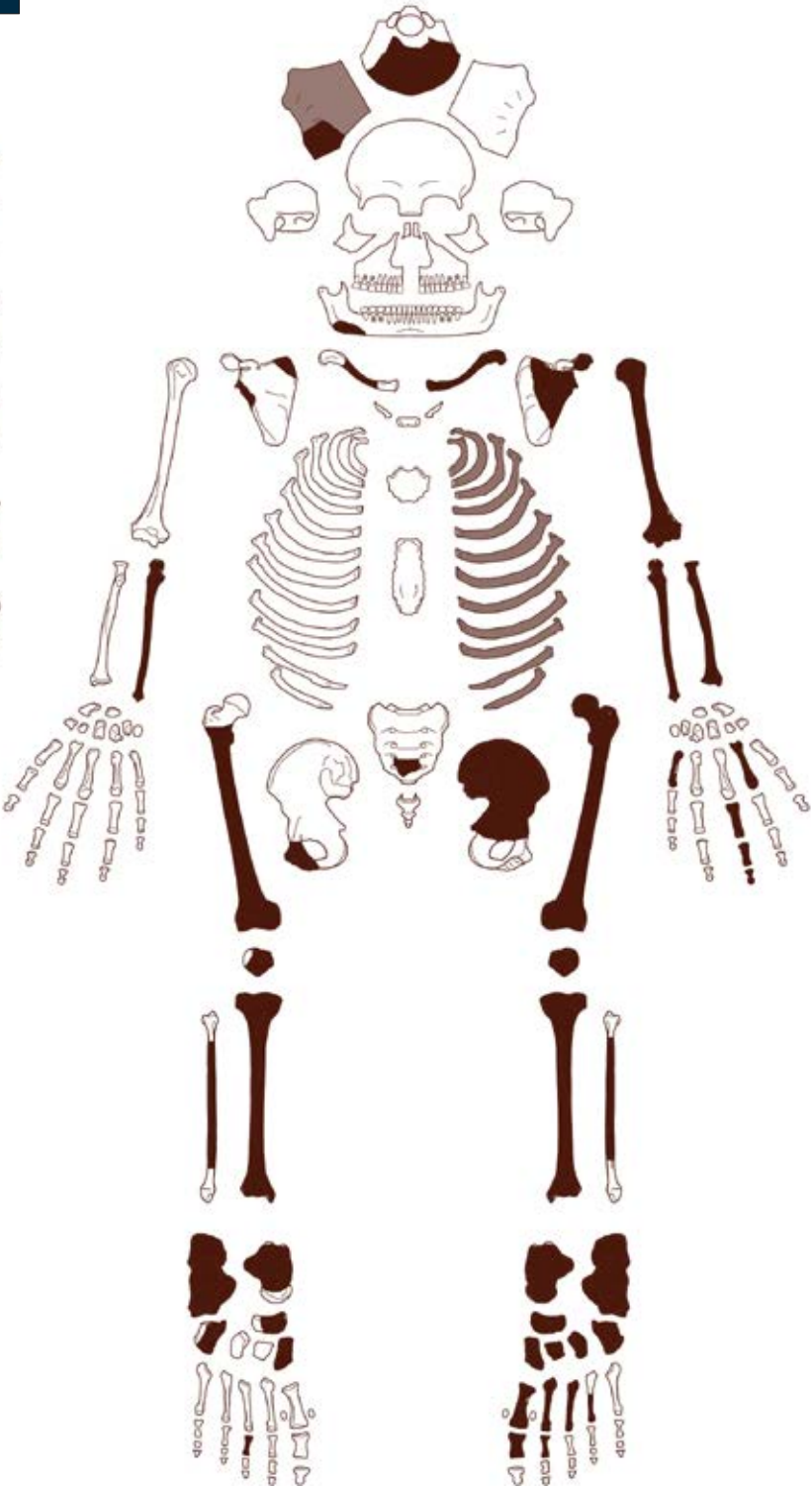
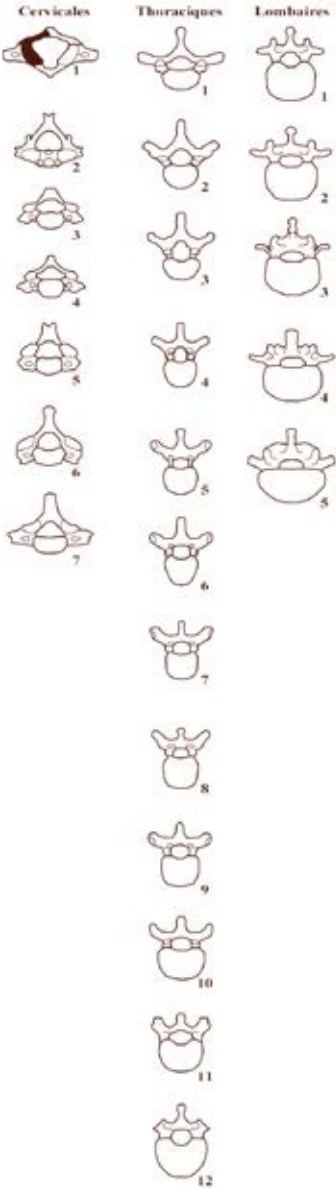
INDÉT.  
N120°

Mode **d'inhumation**: LINCEUL

AD. [20–49]

HOMME

1								2							
8	7	6	5	4	3	2	1	1	2	3	4	5	6	7	8
8	7	6	5	4	3	2	1	1	2	3	4	5	6	7	8
4								3							





## sépulture 9



- individuelle primaire

### Position du squelette

- décubitus
- membre supérieur droit en extension, main en position basse
- membre supérieur gauche en extension, main en position basse
- membre inférieur droit en extension
- membre inférieur gauche en flexion

### Description taphonomique

- phase initiale de la décomposition : espace colmaté
- maintien du coude droit et du pied gauche en connexion étroite
- mise à plat des coxaux
- déplacements des métatarsiens et métacarpiens uniquement dans le volume corporel

### Mobilier

- néant

cimetière médiéval

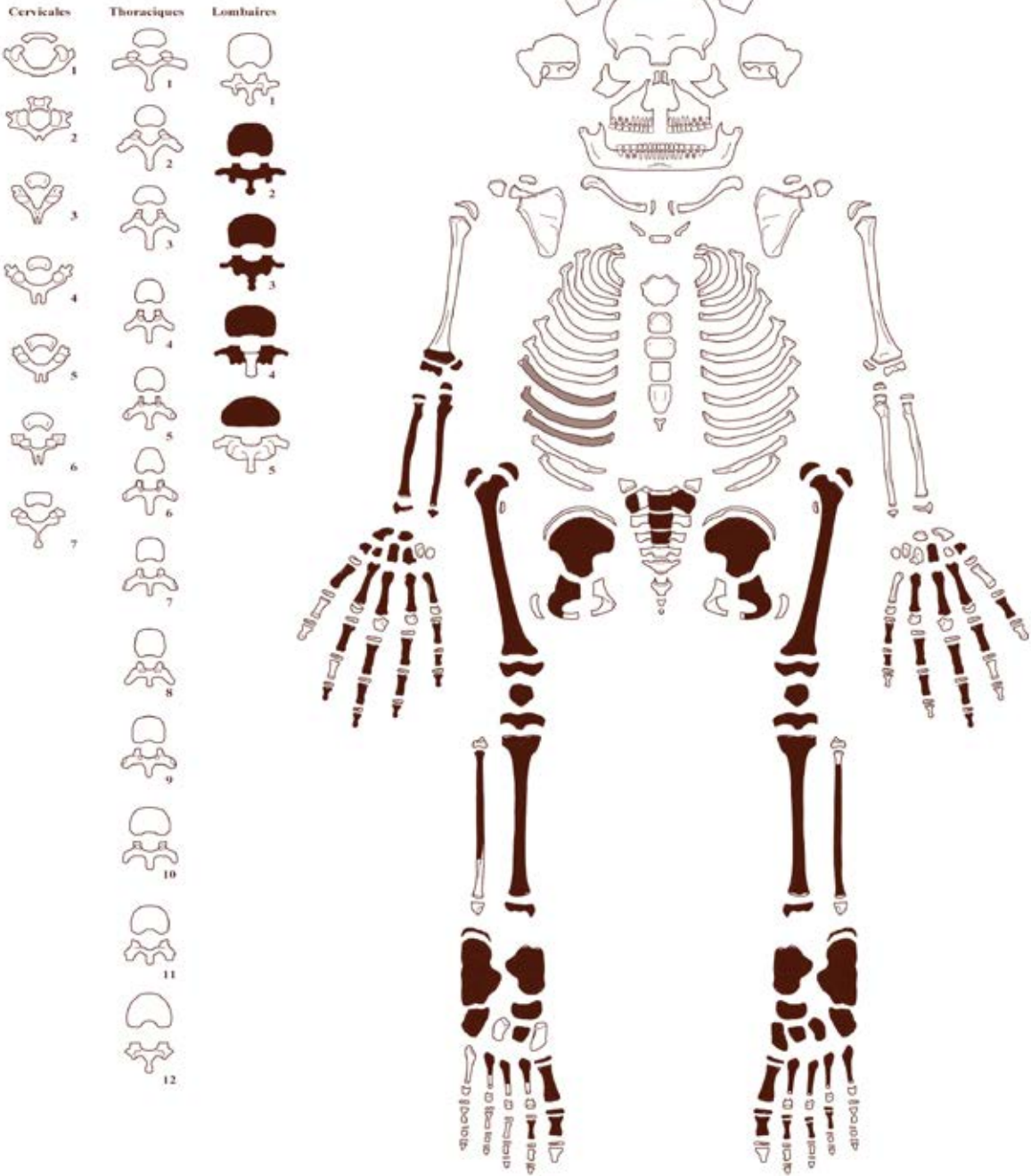
us 1036/1037

INDÉT.  
N104°

Mode **d'inhumation** : PLEINE TERRE

IMM. [15–19]

SEXE INDÉTERMINABLE



## sépulture 10



- individuelle primaire
- recoupe la fosse FS 113

### Position du squelette

- décubitus
- membre supérieur droit en extension, main en position basse
- membre supérieur gauche en extension, main en position basse
- membres inférieurs en extension

### Description taphonomique

- phase initiale de la décomposition : espace colmaté
- mise à plat partielle des côtes limitée par les membres supérieurs
- mise à plat du bassin

### Mobilier

- neant

cimetière médiéval

us 1034/1035

0,64 x 0,32 m  
N117°

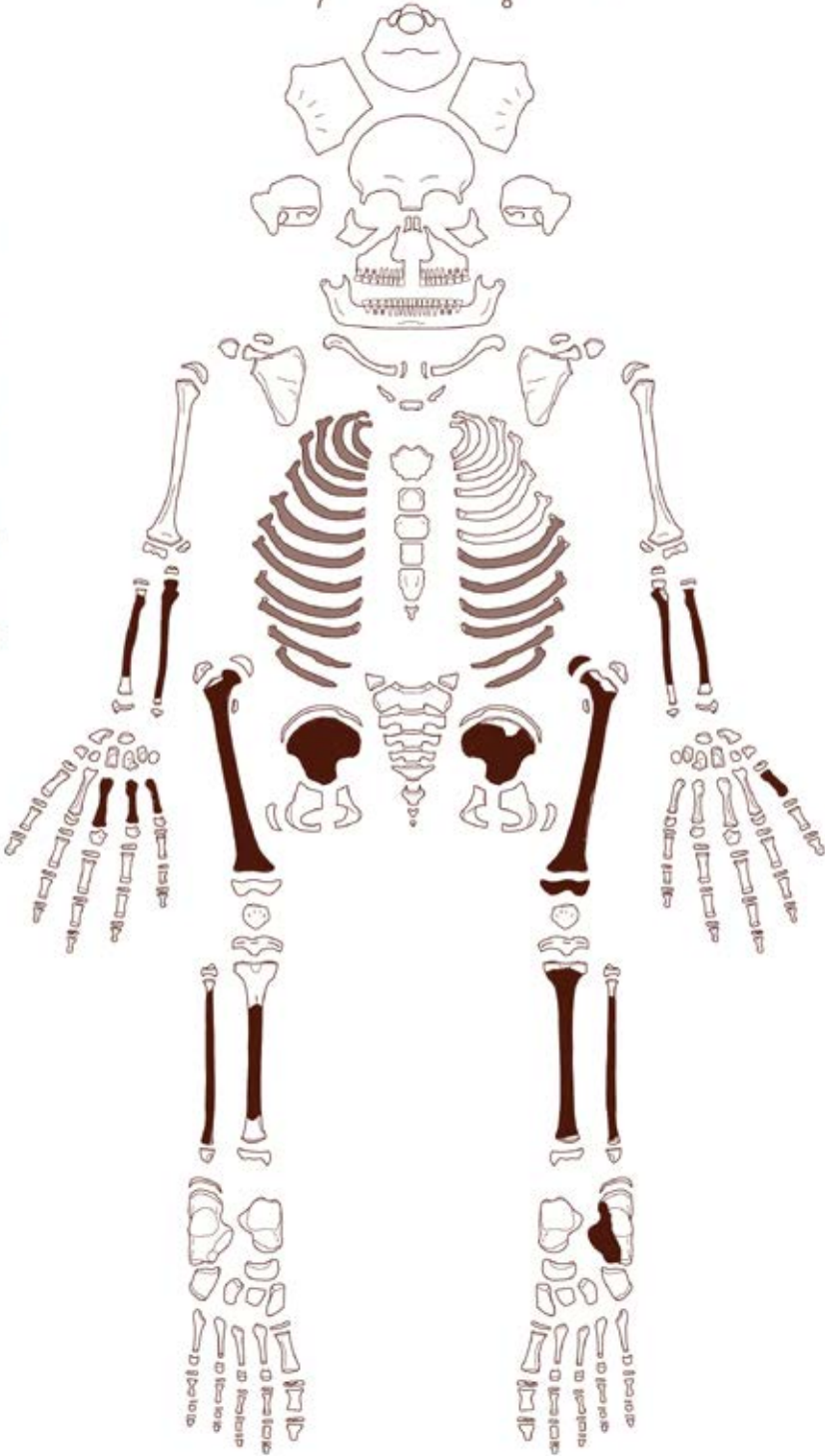
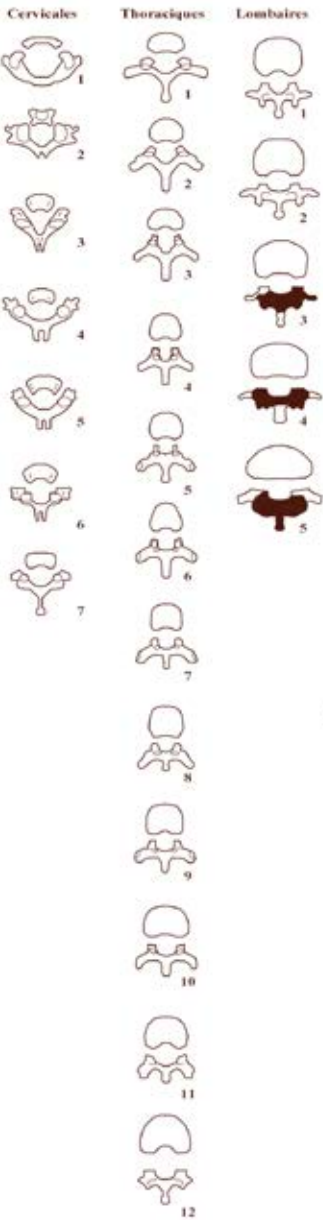
Mode **d'inhumation** : PLEINE TERRE



IMM. < 20 ANS

SEXE INDÉTERMINABLE

				5				6							
1												2			
8	7	6	5	4	3	2	1	1	2	3	4	5	6	7	8
8	7	6	5	4	3	2	1	1	2	3	4	5	6	7	8
4				7				8				3			



# sépulture 11



- individuelle primaire

## Position du squelette

- décubitus
- membre supérieur droit en flexion, main en position basse
- membre supérieur gauche en extension, main en position basse
- membres inférieurs en extension

## Description taphonomique

- phase initiale de la décomposition : espace colmaté
- crâne en position primaire
- verticalisation des clavicules, absence de mise à plat de la cage thoracique et mise à plat partielle des coxaux (compression ➤ paroi de la fosse)
- effets de paroi de type butée au niveau du crâne, des épaules, des coudes, des coxaux et des pieds (➤ paroi de la fosse)
- déplacements uniquement dans le volume corporel (mandibule, patella, MTC)

## Mobilier

- néant

cimetière médiéval

us 1044/1045

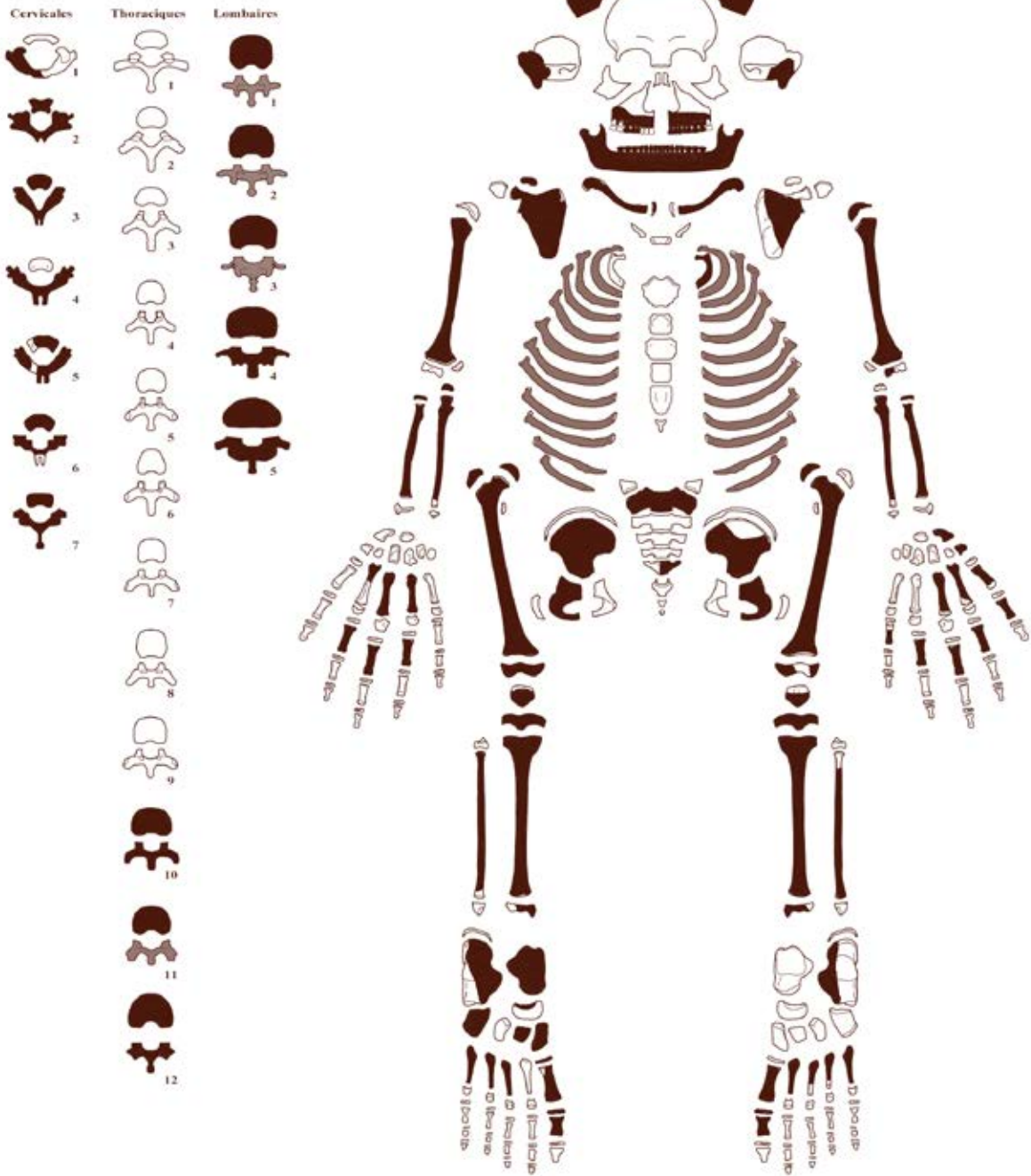
1,46 x 0,29 m  
N115°

Mode **d'inhumation**: PLEINE TERRE



IMM. [5-9]

SEXE INDÉTERMINABLE



## sépulture 12



- individuelle primaire

### Position du squelette

- décubitus
- membre supérieur droit en flexion, main en position basse
- membre supérieur gauche en flexion, main en position basse
- membres inférieurs en extension

### Description taphonomique

- phase initiale de la décomposition : espace colmaté
- crâne en position primaire
- connexion temporo-mandibulaire étroite
- verticalisation des clavicules, mise à plat partielle de la cage thoracique (compression ► paroi de la fosse)
- effets de paroi de type butée : crâne, épaules, coude gauche, coxal gauche, fémur gauche (grand trochanter et diaphyse) et pieds (► paroi de la fosse)
- déplacement de métacarpiens et du radius gauche dans le volume corporel
- rotation acquise du membre inférieur droit avec chute de la patella droite

### Mobilier

- néant

cimetière médiéval

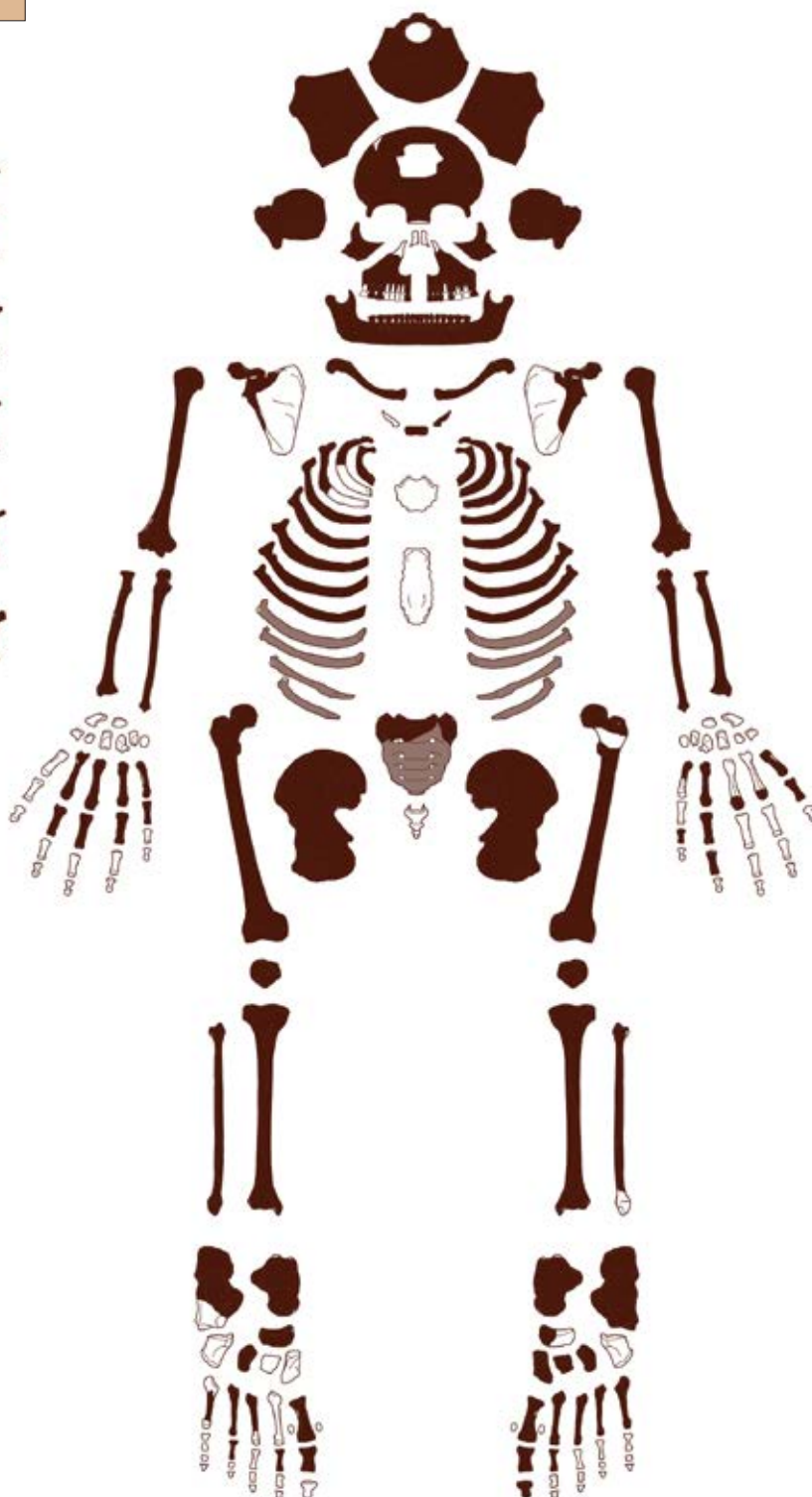
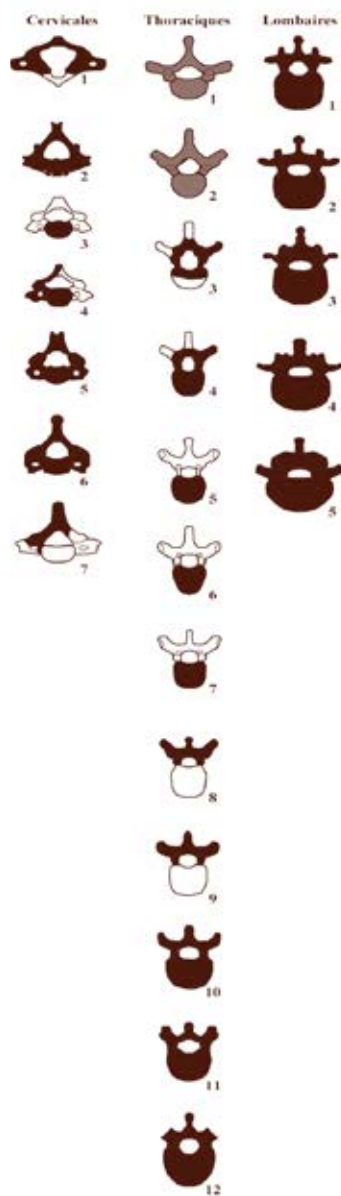
us 1097/1098

1,52 x 0,43 m  
N116°

Mode **d'inhumation** : PLEINE TERRE

AD. [30–59]

SEXE INDÉTERMINÉ





## sépulture 13



- individuelle primaire

### Position du squelette

- décubitus
- membre supérieur droit en extension, main en position basse
- membre supérieur gauche en flexion, main en position moyenne
- membres inférieurs en extension

### Description taphonomique

- phase initiale de la décomposition : espace colmaté
- verticalisation des clavicules, mise à plat partielle du thorax (compression ➤ paroi de la fosse)
- effet de paroi de type butée au niveau du coxal et du fémur à gauche (➤ paroi de la fosse)
- articulations scapulo-humérales et de la main en connexion étroites
- chute de la mandibule

### Mobilier

- néant

cimetière médiéval

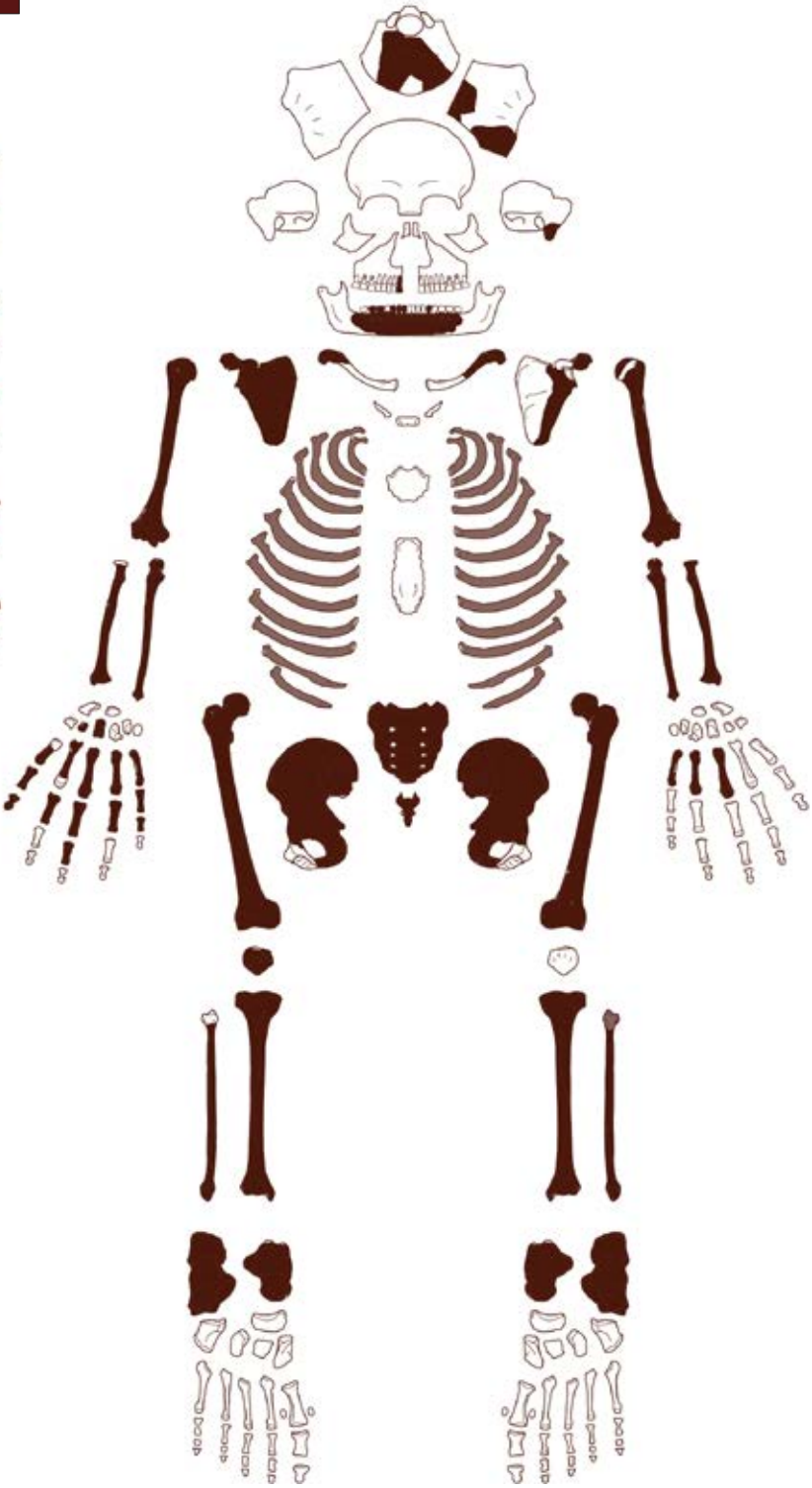
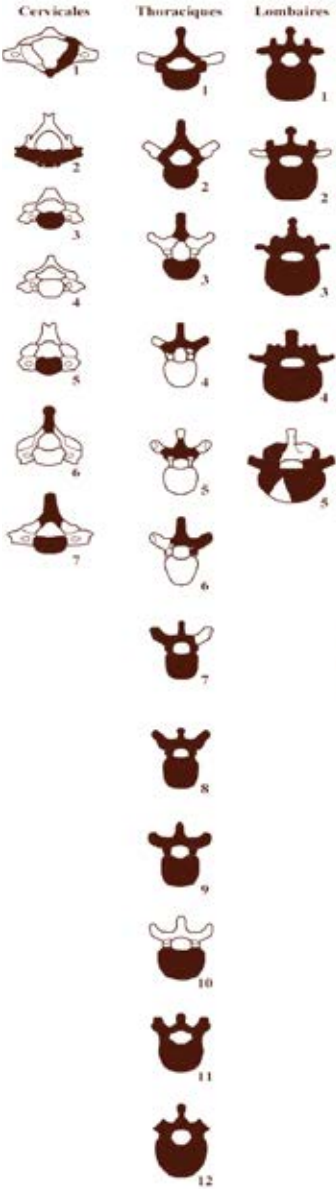
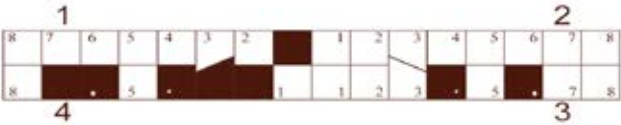
us 1040/1041

1,71 x 0,41 m  
N115°

Mode **d'inhumation**: PLEINE TERRE

AD. > 50 ANS

FEMME





## sépulture 14



- individuelle secondaire
- la décomposition a déjà commencé lors de l'inhumation, et une tentative de « reconstitution » de l'organisation du corps est constatée

### Position du squelette

- décubitus
- membre supérieur droit en extension, main en position basse
- membre supérieur gauche en extension, main en position basse
- membres inférieurs en extension (rotation interne maximale)

### Description taphonomique

- phase initiale de la décomposition : ?
- crâne en position secondaire
- déconnexion des articulations labiles (temporo-mandibulaire, scapulo-humérale, scapulo-thoracique, rachis cervical et articulations des mains) et déplacements importants des os
- conservés dans le volume corporel
- déconnexion de certaines articulations persistantes (coudes, rachis lombaire, charnière lombo-sacrée, genoux, tarse postérieur)

### Mobilier

- néant

cimetière médiéval

us 1042/1043

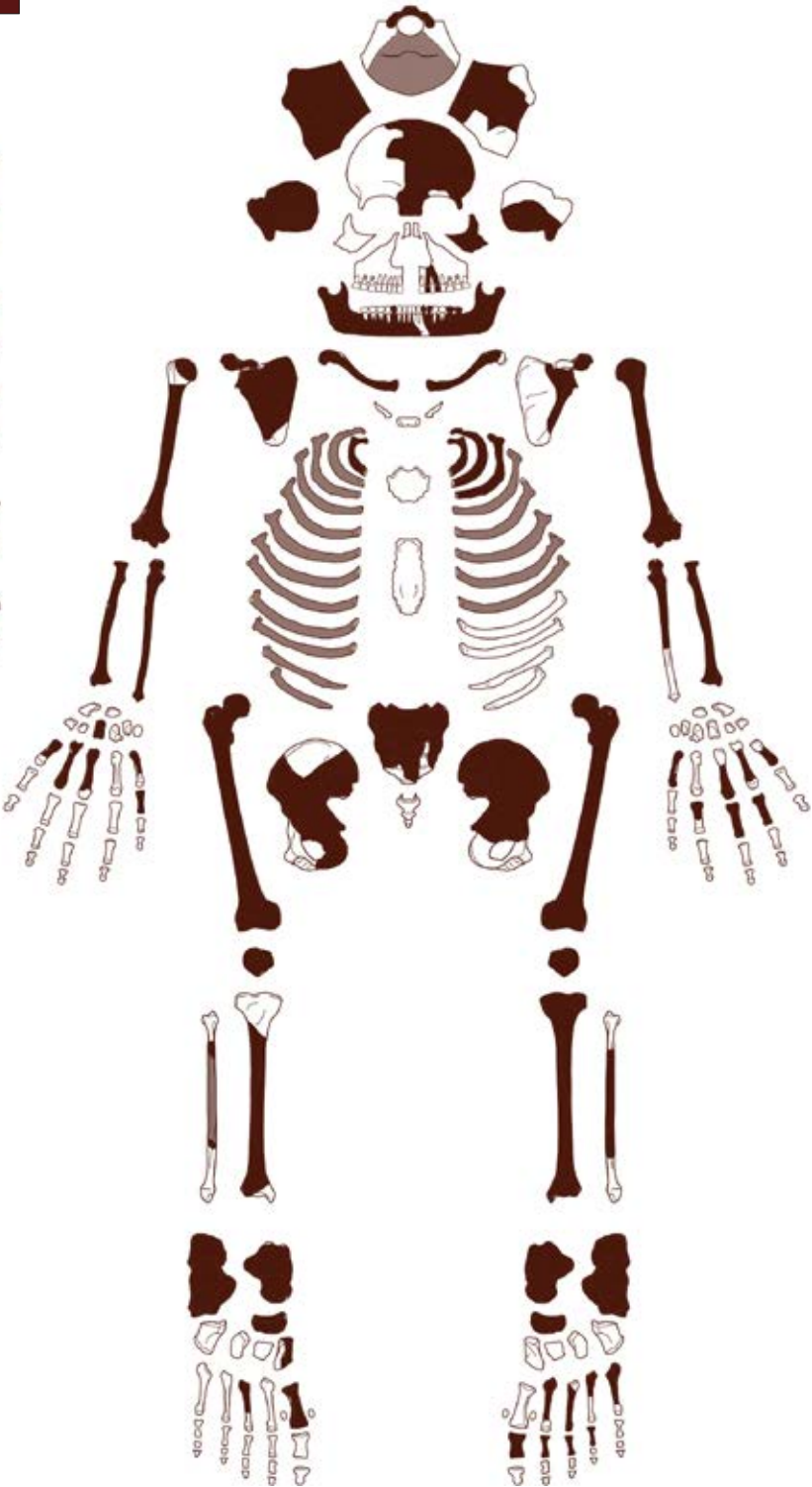
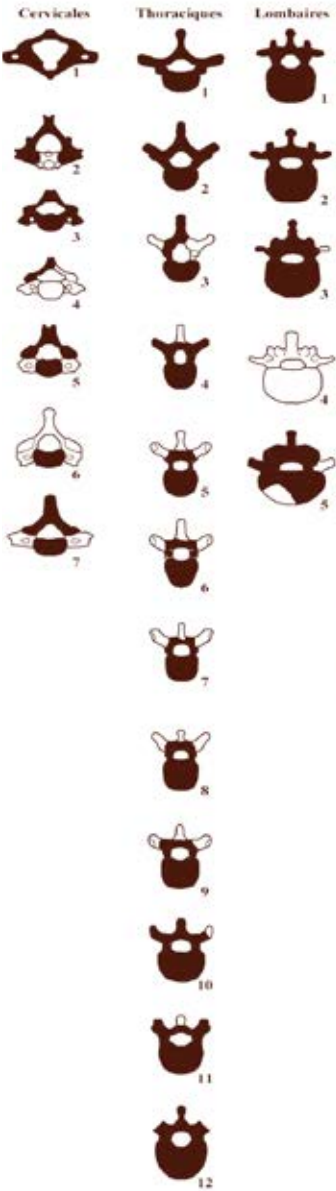
1,84 x 0,46 m  
N115°

Mode **d'inhumation**: INCONNU

AD. > 30 ANS

FEMME

1								2							
8	7	6	5	4	3	2	1	1	3	-	5	6	7	8	
8	7	6	5	4	3	2	1	1	2	-	5	6	7	8	
4								3							



## sépulture 15



- individuelle primaire

### Position du squelette

- couché de  $\frac{3}{4}$  sur le côté droit
- membre supérieur droit en flexion, main en position haute
- membre supérieur gauche en flexion, main en position basse
- membres inférieurs en extension

### Description taphonomique

- phase initiale de la décomposition : espace colmaté
- conservations des articulations de la main droite et du pied droit en connexion
- compression du à la position de  $\frac{3}{4}$  : verticalisation de la clavicule droite, mise à plat du coxal droit et coxal gauche fermé
- pas d'effet de paroi

### Mobilier

- néant

cimetière médiéval

us 1018/1049

1,53 x 0,37 m  
N118°

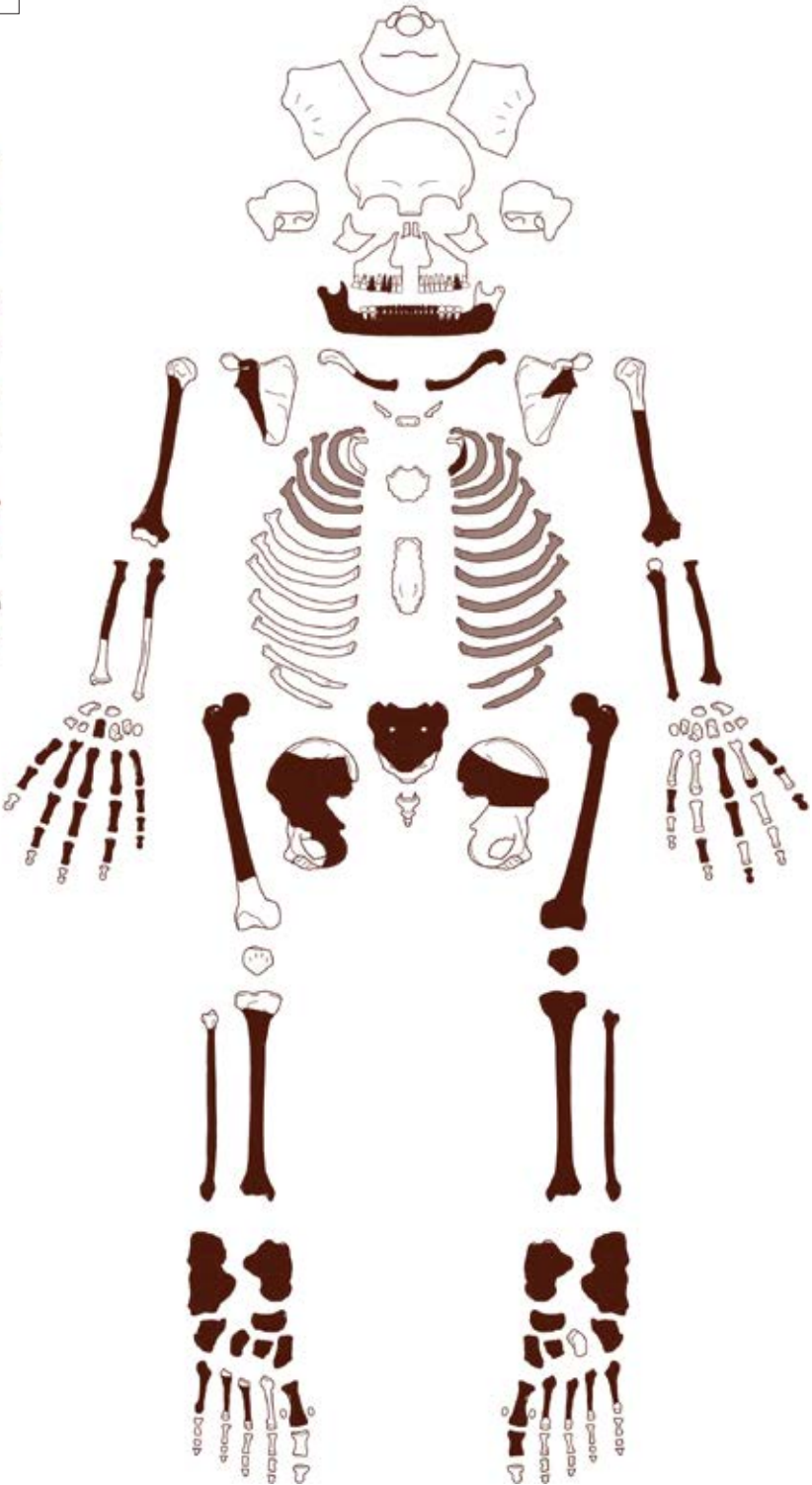
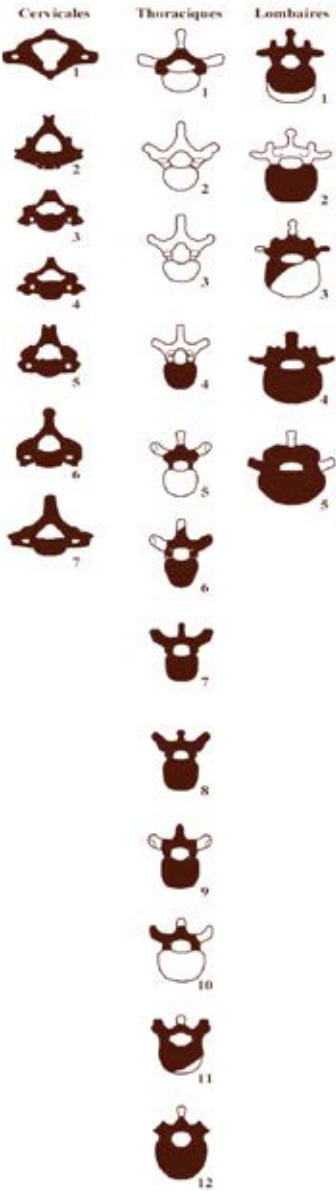
Mode **d'inhumation**: PLEINE TERRE



AD. > 50 ANS

SEXE INDÉTERMINABLE

1																2								
8	7	6	5	4	3	2	1		1	2	3	4	5	6	7	8								
8	7	6	5	4	3	2	1		1	2	3	4	5	6	7	8								
4																3								



## sépulture 16



- individuelle primaire
- recoupée par la sépulture 21

### Position du squelette

- décubitus
- membre supérieur droit en flexion, main en position haute
- membre supérieur gauche en extension, main en position basse
- membres inférieurs en extension

### Description taphonomique

- phase initiale de la décomposition : espace colmaté
- crâne en position primaire
- maintien des pieds en connexion
- verticalisation de la clavicule gauche, absence d'ouverture du bassin (compression ➤ paroi de la fosse)

### Mobilier

- néant

cimetière médiéval

us 1208/1209

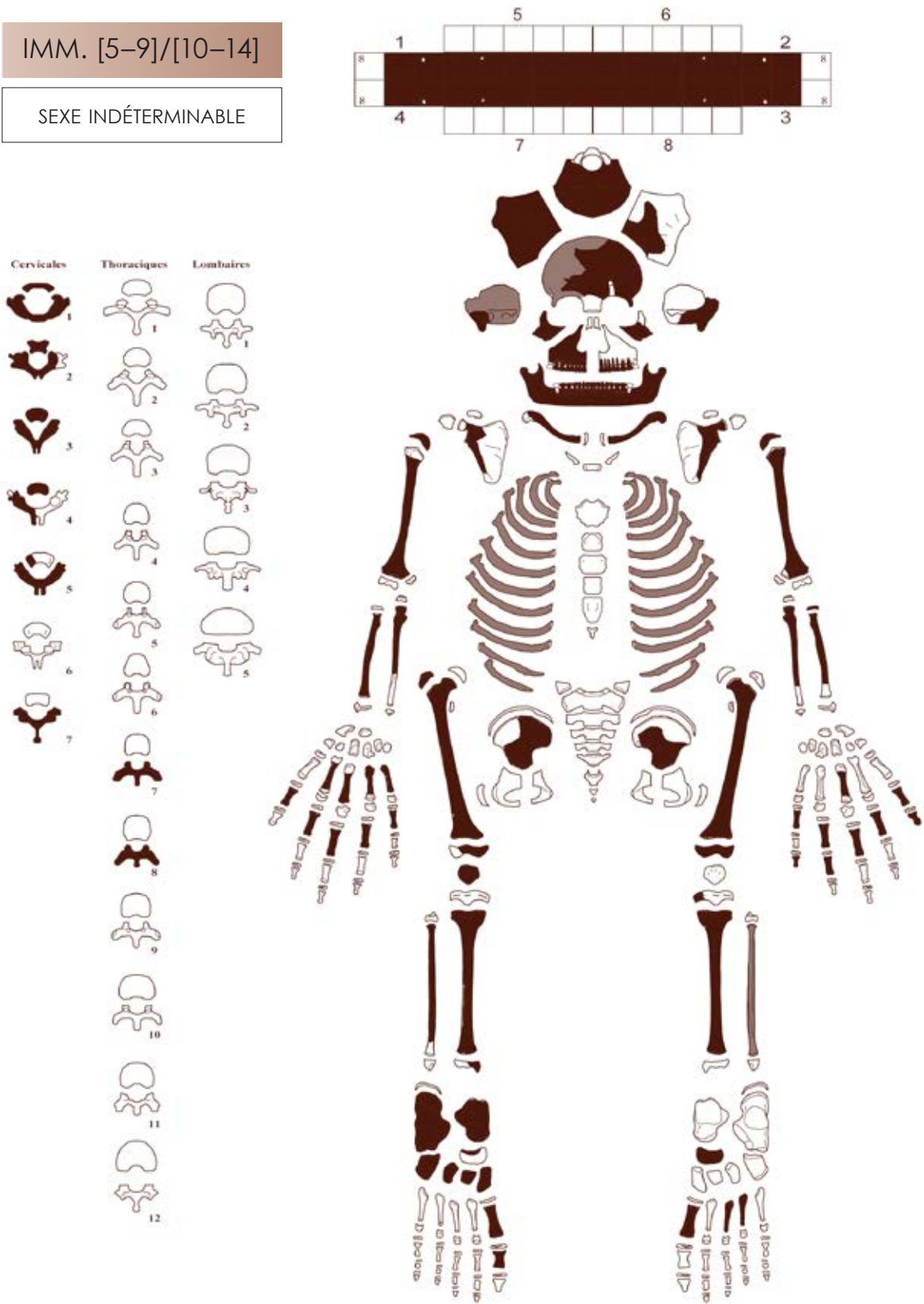
1,60 x 0,32 m  
N137°

Mode **d'inhumation** : PLEINE TERRE



IMM. [5-9]/[10-14]

SEXE INDÉTERMINABLE



# sépulture 17

INDIVIDUS 17-1 ET 17-2



cimetière médiéval

us 1093/1094

1,98 x 0,52 m  
N114°

- individuelle primaire
- réutilisation d'une fosse: des fragments d'os (os hyoïde, coxal, fémur, ulna, radius et 5<sup>e</sup> métatarsien) n'appartenant pas à l'individu 17-1 sont retrouvés dans le fond de fosse. Il s'agit d'un adolescent ou d'un adulte (crête iliaque soudée donc > 15 ans)

## Position du squelette

- décubitus
- membre supérieur droit en flexion, main en position moyenne
- membre supérieur gauche en flexion, en main en position moyenne
- membres inférieurs en extension

## Description taphonomique

- phase initiale de la décomposition: espace colmaté (colmatage différé)
- crâne en position primaire
- profondes perturbations au niveau de la cage thoracique, des vertèbres et de l'avant bras gauche (➤ origine animale, végétale ou anthropique)
- déconnexion scapulo-humérale
- effet de paroi de type butée au niveau des coxaux et des humérus (➤ paroi de la fosse)

## Mobilier

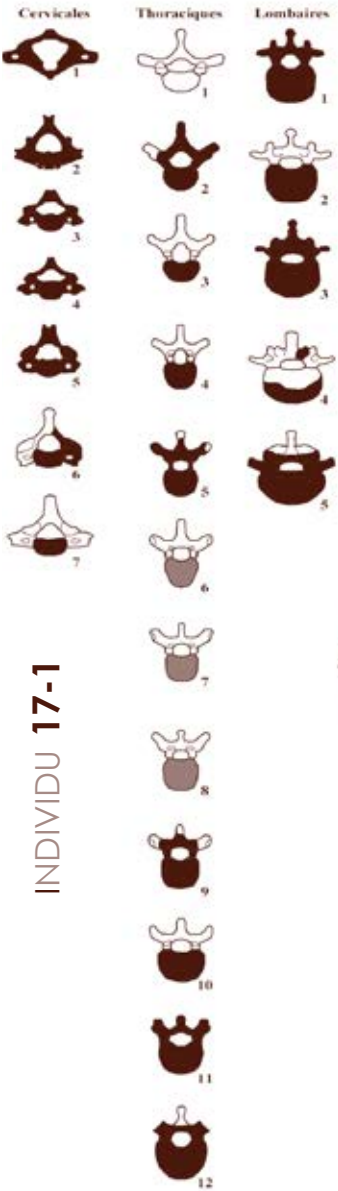
- néant

Mode **d'inhumation**: PLEINE TERRE

INDIVIDU 17-1

AD. > 20 ANS

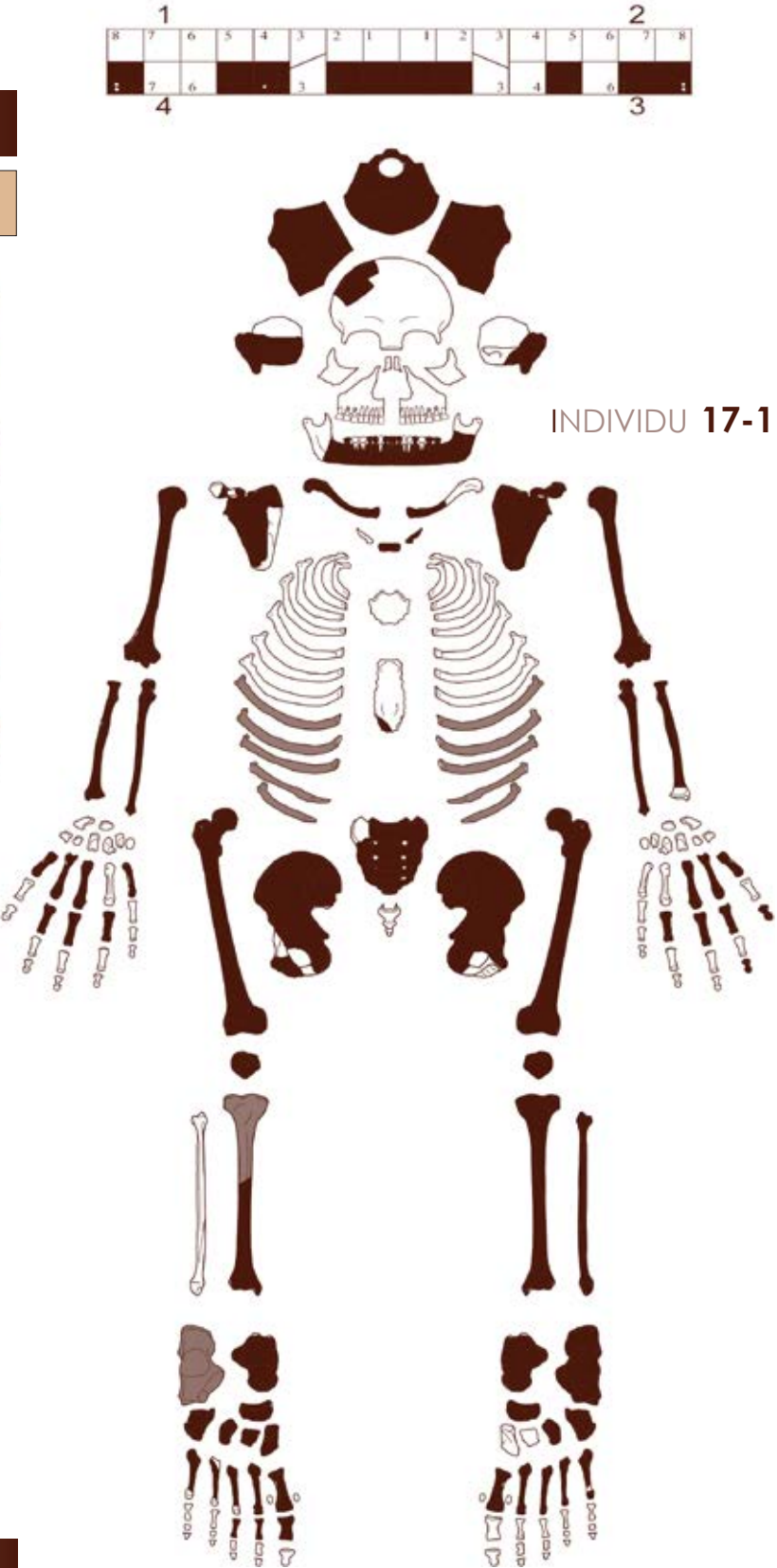
SEXE INDÉTERMINÉ



INDIVIDU 17-2

AD. > 20 ANS

SEXE INDÉTERMINABLE





## sépulture 18



- individuelle primaire

### Position du squelette

- décubitus
- membre supérieur droit en flexion, main en position moyenne
- membre supérieur gauche en flexion, main en position moyenne
- membres inférieurs en extension

### Description taphonomique

- phase initiale de la décomposition : espace colmaté
- crâne en position primaire (effet de paroi de type butée ➤ paroi de la fosse)
- articulation temporo-mandibulaire déconnectée
- ouverture complète du bassin et rotation acquise avec chute limitée des patella qui viennent buter l'une contre l'autre
- mise à plat partielle de la cage thoracique (compression ➤ avant-bras)
- importantes perturbations du rachis thoracique (➤ animal fouisseur)

### Mobilier

- néant

cimetière médiéval

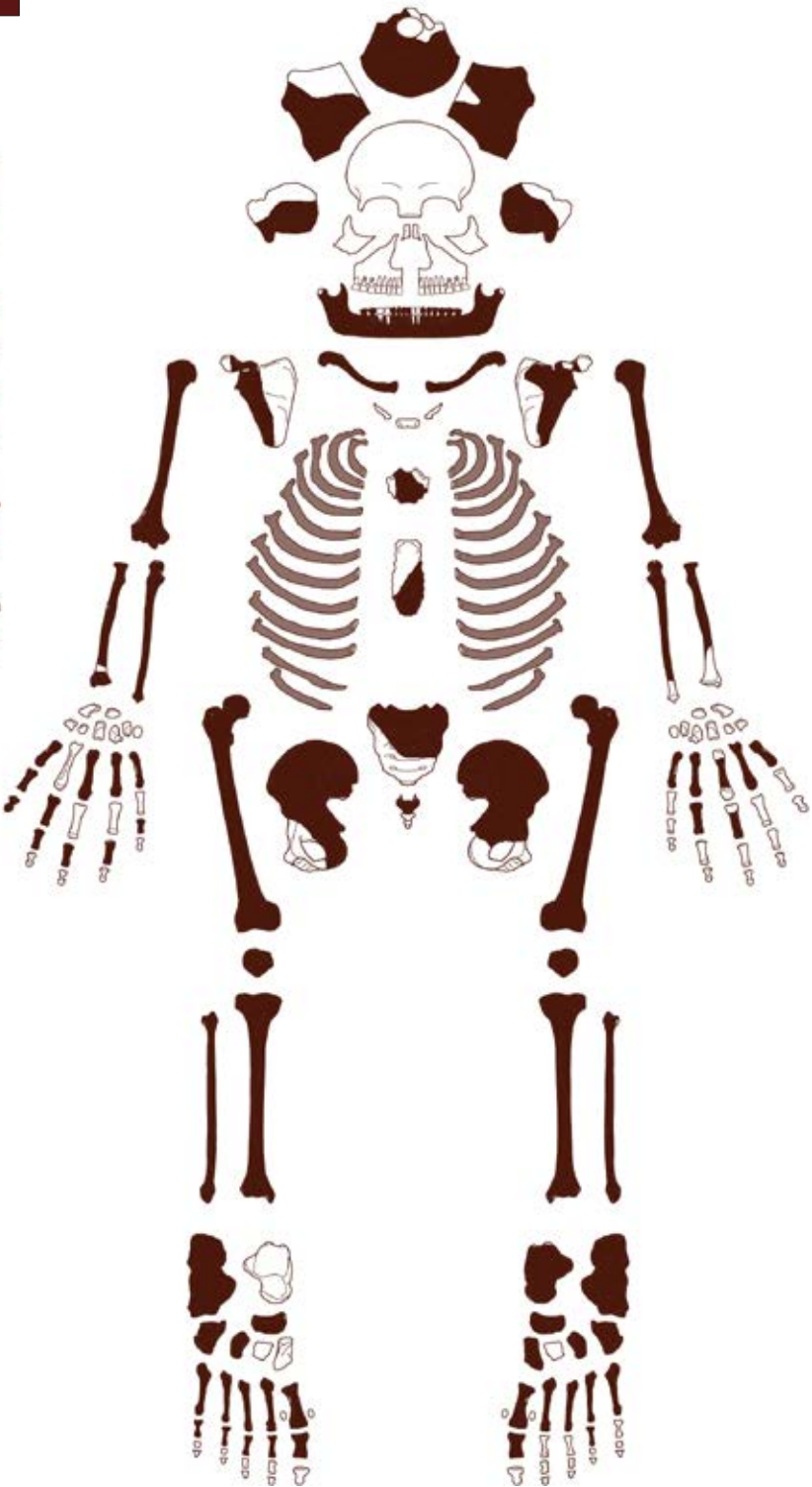
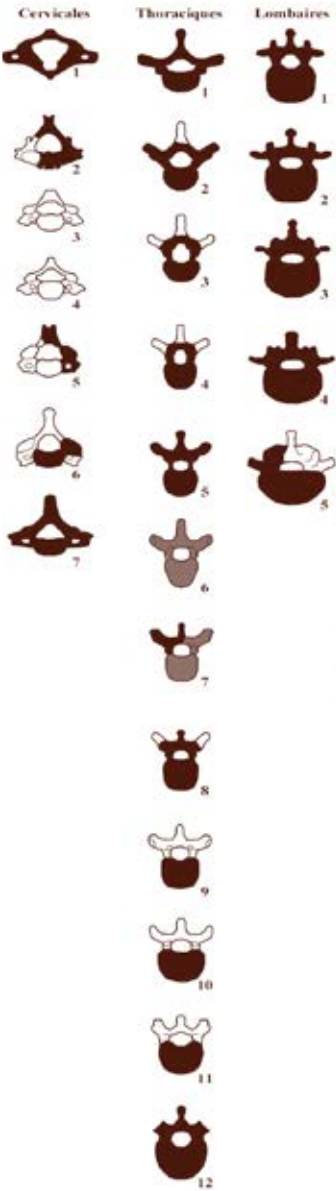
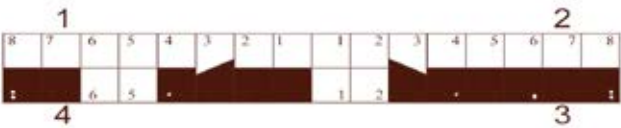
us 1091/1092

1,92 x 0,51 m  
N124°

Mode **d'inhumation**: PLEINE TERRE

AD. > 40 ANS

FEMME





## sépulture 19



- individuelle primaire
- recoupée par FO 111

### Position du squelette

- décubitus
- membre supérieur droit en extension, main en position basse
- membre supérieur gauche en extension, main en position basse

### Description taphonomique

- phase initiale de la décomposition : espace colmaté
- crâne en position primaire
- déconnexion de la mandibule
- verticalisation des clavicules et mise à plat partielle de la cage thoracique (compression ➤ paroi de la fosse)
- effet de paroi de type butée au niveau des épaules (➤ paroi de la fosse)
- ouverture du bassin
- conservation des connexions articulaires de la main gauche

### Mobilier

- néant

cimetière médiéval

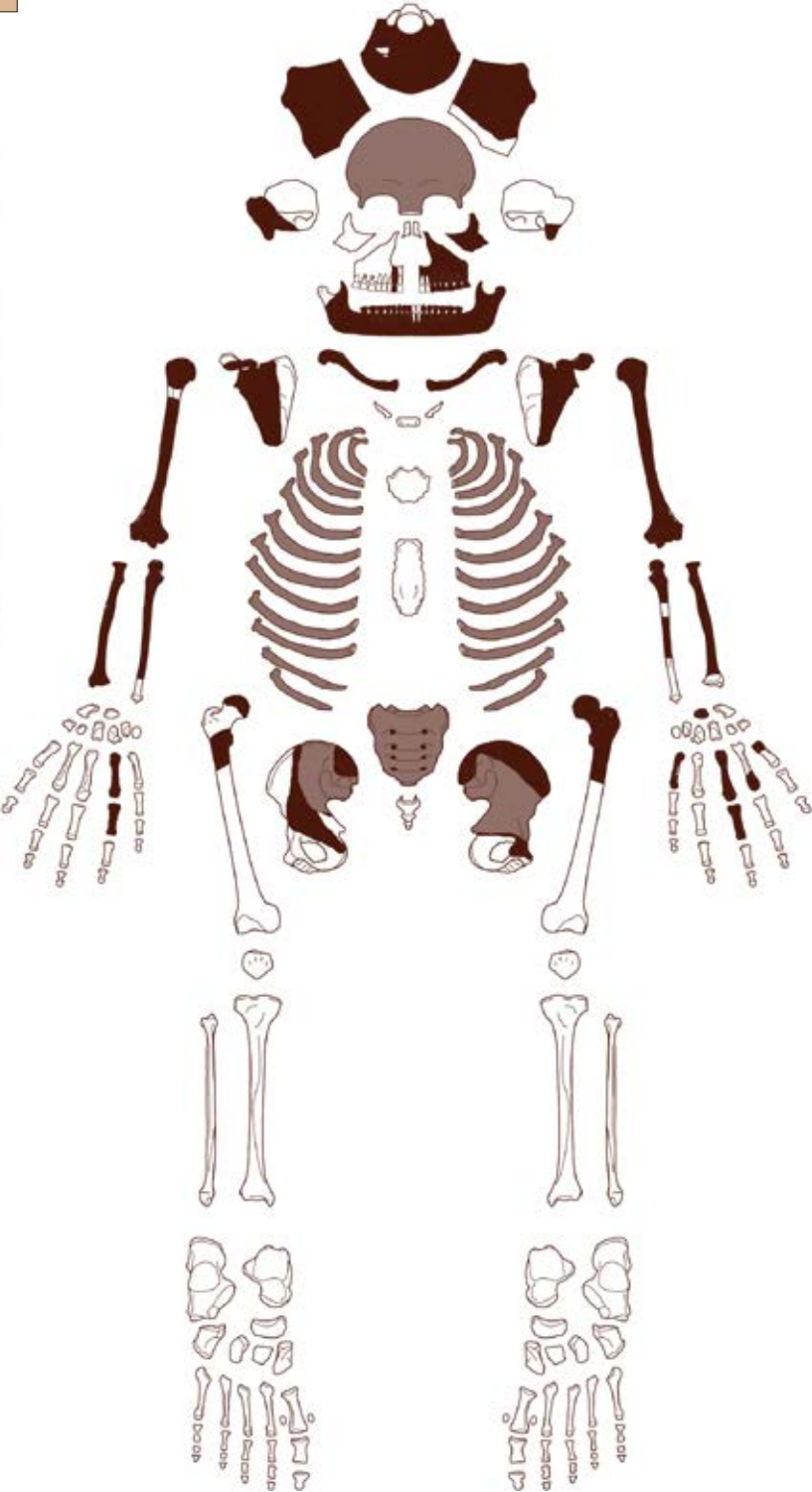
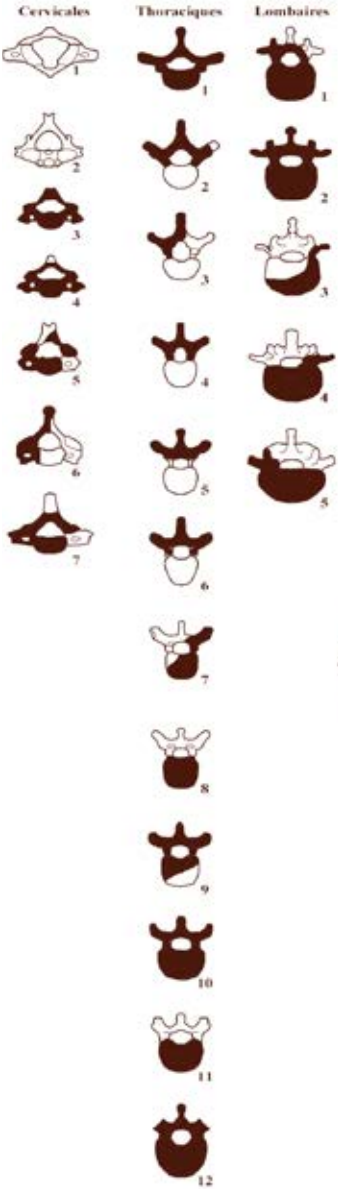
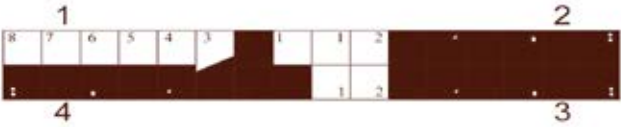
us 1095/1096

INDÉT.  
N119°

Mode **d'inhumation** : PLEINE TERRE

AD. > 40 ANS

SEXE INDÉTERMINÉ



## sépulture 20



- individuelle primaire

### Position du squelette

- couché de  $\frac{3}{4}$  sur le côté droit
- membre supérieur droit en extension, main en position basse
- membre supérieur gauche en flexion, main en position moyenne
- membre inférieur droit en flexion
- membre inférieur gauche en extension

### Description taphonomique

- phase initiale de la décomposition : espace colmaté
- crâne en position primaire
- articulation temporo-mandibulaire en connexion étroite
- non ouverture du bassin
- maintien des connexions articulaires des pieds, de l'épaule et du coude gauche
- perturbations de la colonne thoracique liées au pendage vers le sud

### Mobilier

- néant

cimetière médiéval

us 1210/1211

1,82 x 0,48 m  
N117°

Mode **d'inhumation** : PLEINE TERRE





# sépulture 21



- individuelle primaire

## Position du squelette

- décubitus
- membre supérieur droit en extension, main en position basse
- membre supérieur gauche en flexion, main en position basse
- membres inférieurs en extension

## Description taphonomique

- phase initiale de la décomposition : espace colmaté
- crâne en position primaire
- chute de la mandibule
- semi-ouverture du bassin (➤ paroi de fosse)
- verticalisation de la clavicule gauche, mise à plat partielle du thorax (compression ➤ paroi de la fosse)
- effets de paroi de type butée à droite (coxa, avant bras et pied) et à gauche (épaule, coude, coxa, patella et pied) [➤ paroi de la fosse]
- les pieds conservent leurs articulations en connexion étroite

## Mobilier

- néant

cimetière médiéval

us 1212/1213

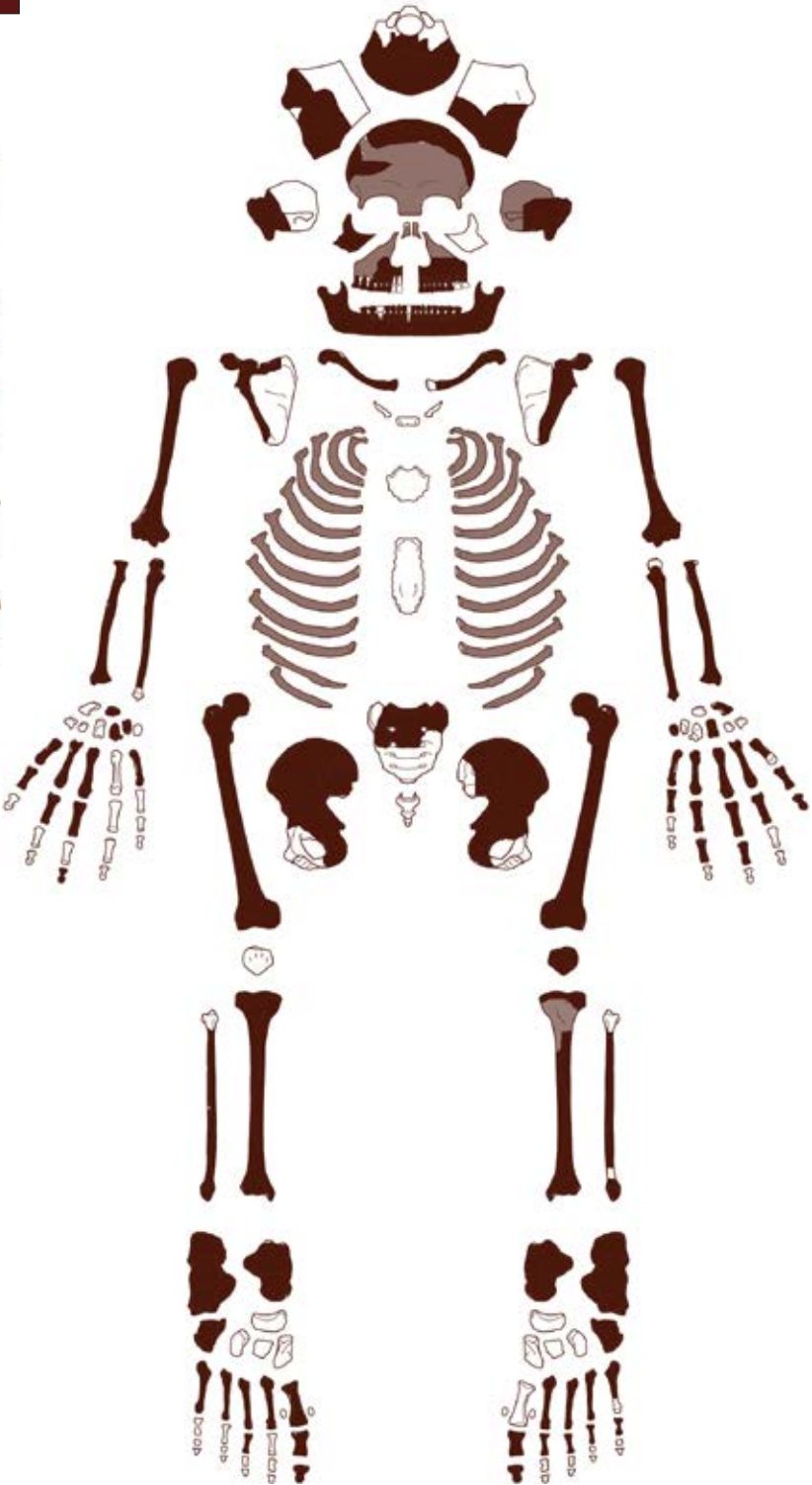
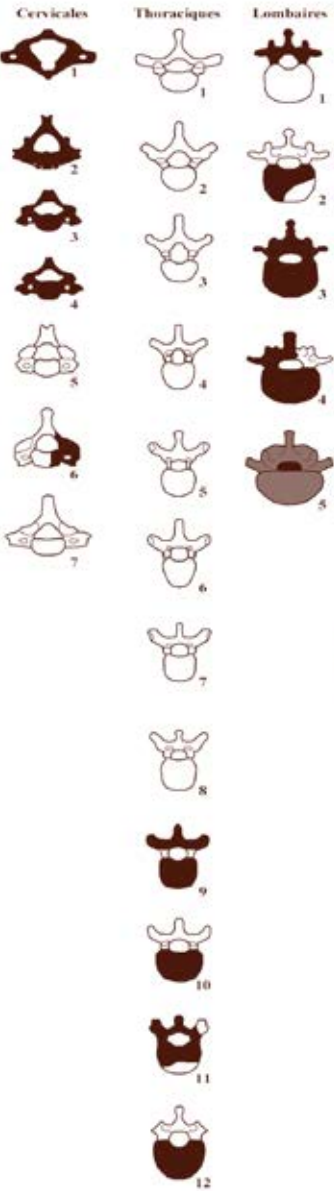
1,81 x 0,37 m  
N127°

Mode **d'inhumation**: PLEINE TERRE



AD. > 60 ANS

FEMME



## sépulture 22



- individuelle primaire
- recoupée par la sépulture 9
- perturbation des jambes et pieds par la mise en place de la SP 9

### Position du squelette

- décubitus
- membres inférieurs en extension

### Description taphonomique

- phase initiale de la décomposition: ?
- les fémurs sont en position primaire

### Mobilier

- néant

cimetière médiéval

us 1046/1047

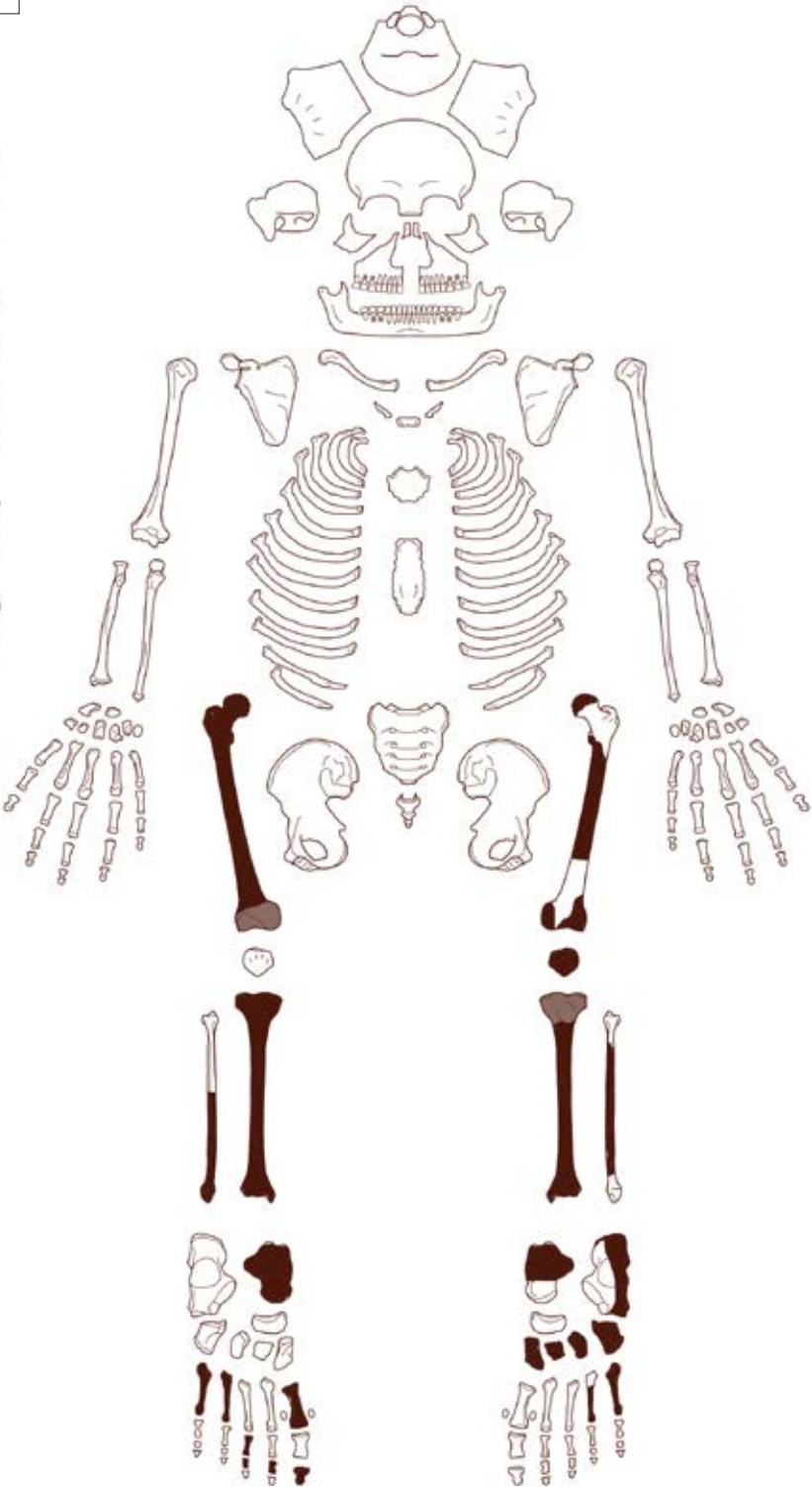
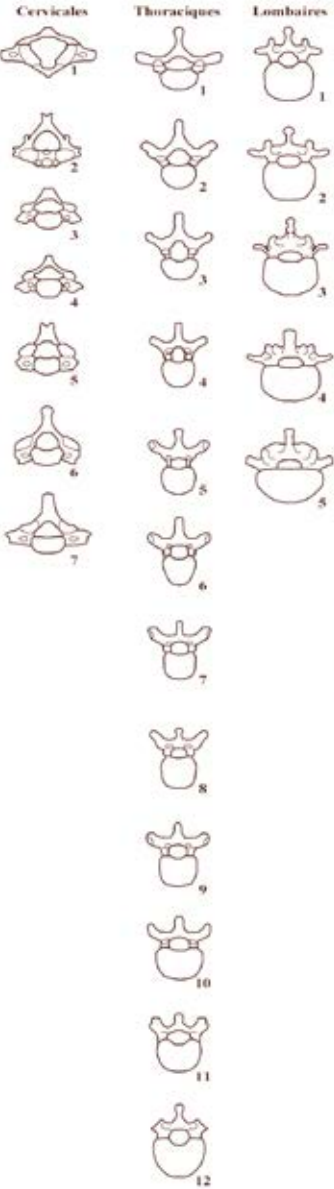
INDÉT.  
N110°

Mode **d'inhumation**: INCONNU

ADO./AD. > 15 ANS

SEXE INDÉTERMINABLE

1								2							
8	7	6	5	4	3	2	1	1	2	3	4	5	6	7	8
4								3							



## sépulture 23



- individuelle primaire
- recoupée par le fossé FO 111

### Position du squelette

- décubitus
- membre supérieur gauche en flexion, main en position basse
- membres inférieurs en extension

### Description taphonomique

- phase initiale de la décomposition : espace colmaté
- mise à plat de la cage thoracique
- ouverture complète du bassin
- effet de paroi de type butée au niveau du pied droit (➤ paroi de la fosse)

### Mobilier

- néant

cimetière médiéval

us 1214/1215

1,86 x 0,49 m  
N120°

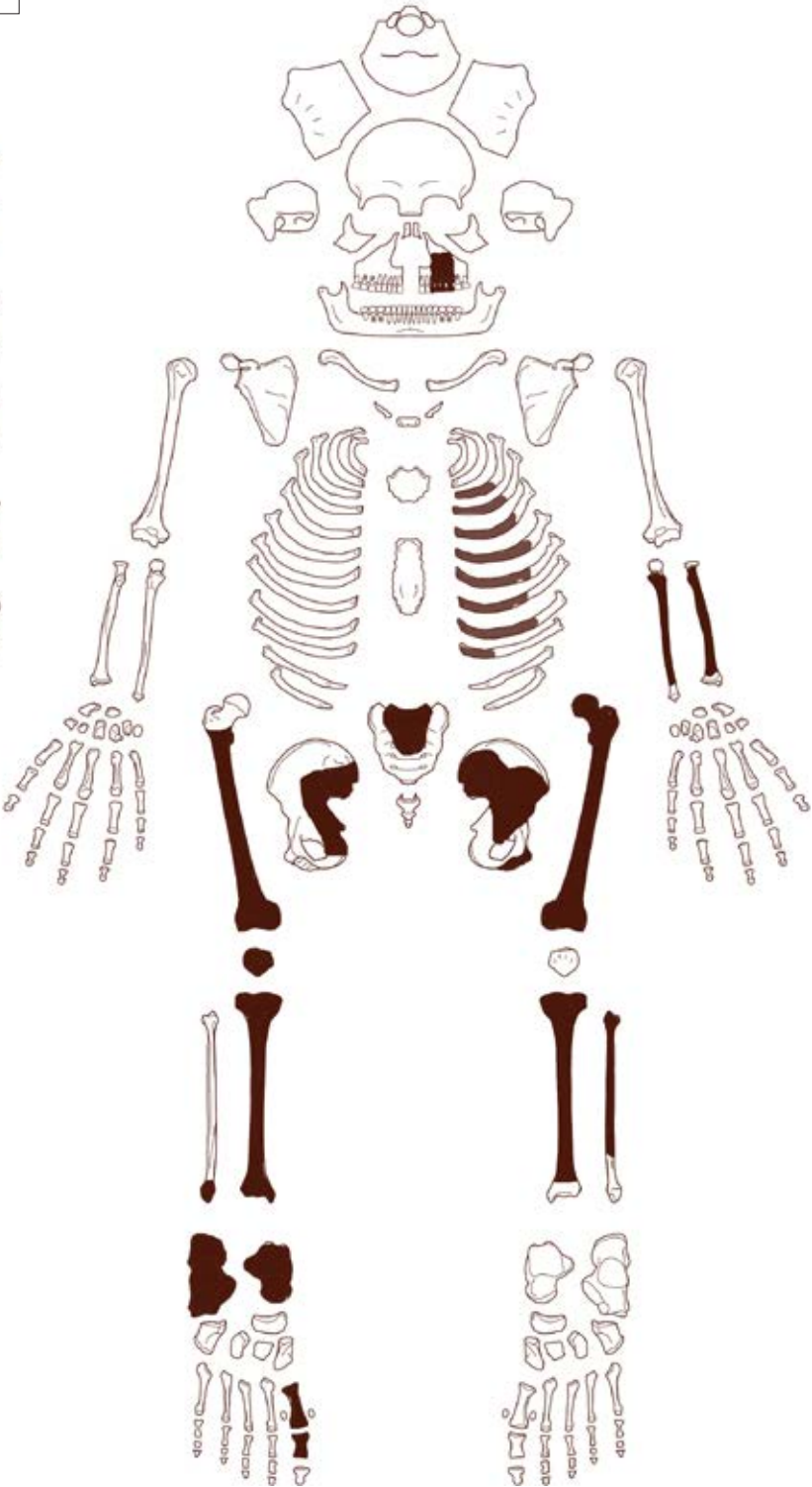
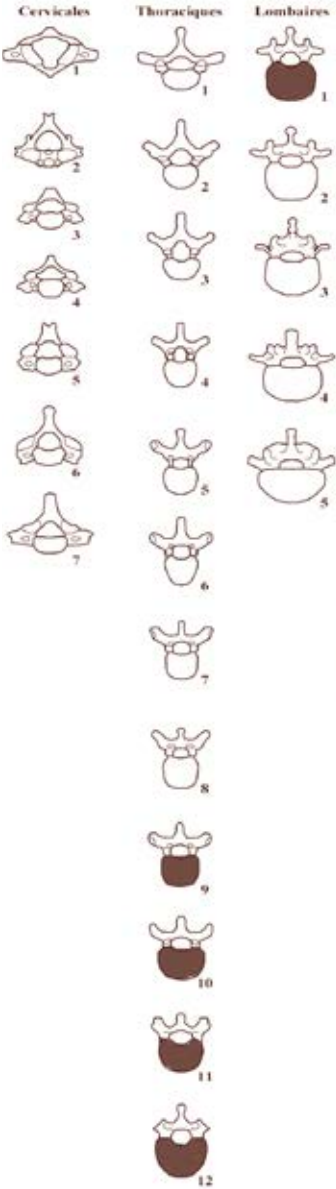
Mode **d'inhumation**: COFFRE FUNÉRAIRE EN PIERRE



ADO./AD. > 15 ANS

SEXE INDÉTERMINABLE

1								2							
8	7	6	5	4	3	2	1	1	2	3	4	5	6	7	8
8	7	6	5	4	3	2	1	1	2	3	4	5	6	7	8
4								3							





# sépulture 24

INDIVIDU 24-1



- multiple primaire
- recoupée par le fossé FO 111

## Position du squelette

- décubitus
- membre supérieur droit en extension, main en position basse
- membre supérieur gauche en extension, main en position basse
- membres inférieurs en extension

## Description taphonomique

- phase initiale de la décomposition : espace colmaté
- chute de la mandibule
- articulation du coude lâche
- conservation du volume thoracique à droite
- mise à plat des côtes gauches
- mise à plat partielle du bassin (le coxal droit but sur l'avant bras)
- verticalisation de la clavicule gauche (compression ► individu 24-2)

## Mobilier

- néant

cimetière médiéval

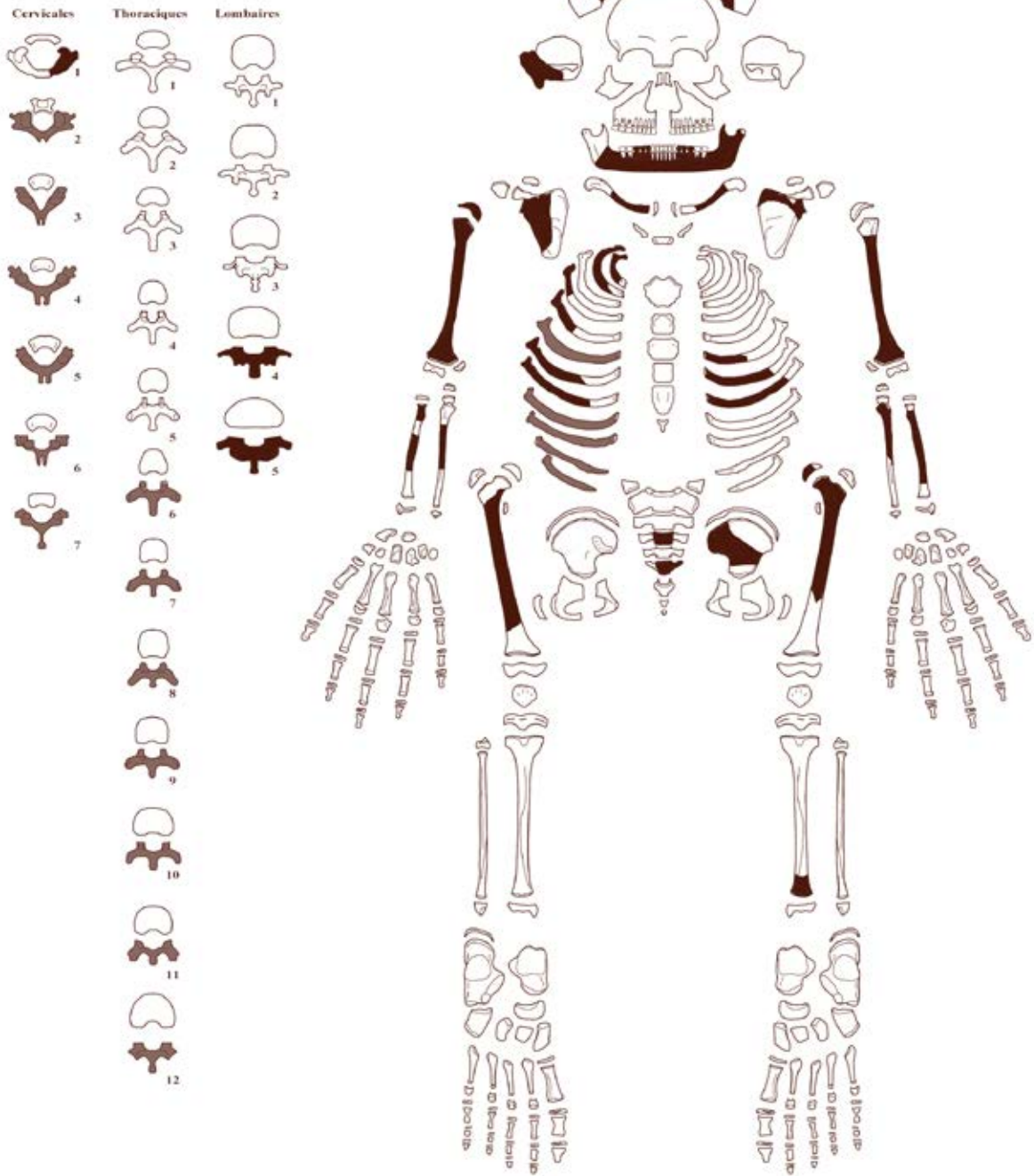
us 1216/1217

INDÉT.  
N115°

Mode **d'inhumation**: PLEINE TERRE

IMM. [1–4]/[5–9]

SEXE INDÉTERMINABLE



# sépulture 24

INDIVIDU 24-2



- multiple primaire
- recoupée par le fossé FO 111

## Position du squelette

- décubitus
- membre supérieur droit en extension, main en position basse
- membre supérieur gauche en flexion
- membres inférieurs en extension
- Description taphonomique
- phase initiale de la décomposition : espace colmaté
- chute de la mandibule
- verticalisation de la clavicule droite (compression ► individu 24-1)

## Mobilier

- néant

cimetière médiéval

us 1216/1217

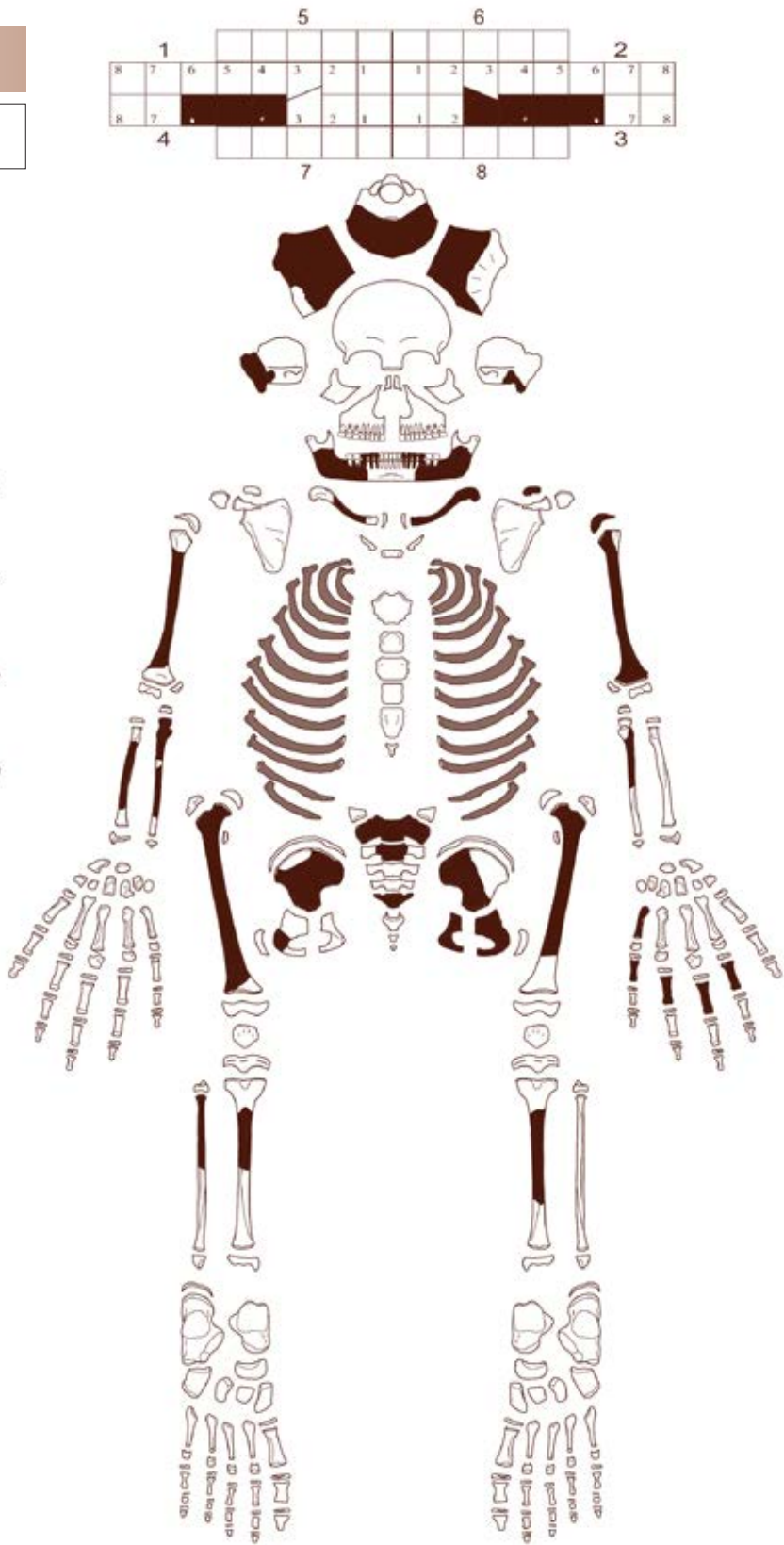
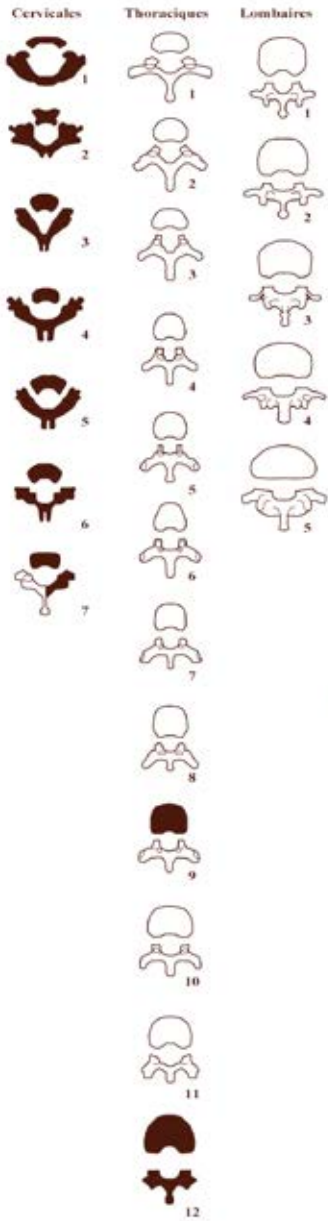
INDÉT.  
N115°

Mode **d'inhumation** : PLEINE TERRE



IMM. [1–4]/[5–9]

SEXE INDÉTERMINABLE



## sépulture 25



- individuelle primaire

### Position du squelette

- décubitus
- membre supérieur droit en extension, main en position basse
- membre supérieur gauche en flexion, main en position basse
- membres inférieurs en extension

### Description taphonomique

- phase initiale de la décomposition : espace colmaté
- crâne en position primaire
- chute de la mandibule
- ouverture du bassin
- verticalisation des clavicules et absence de mise à plat des côtes (compression ➤ paroi de la fosse)
- effet de paroi de type butée au niveau des épaules et du coude gauche (➤ paroi de la fosse)
- perturbations de la colonne thoracique et lombaire (➤ animal fouisseur)

### Mobilier

- néant

cimetière médiéval

us 1218/1219

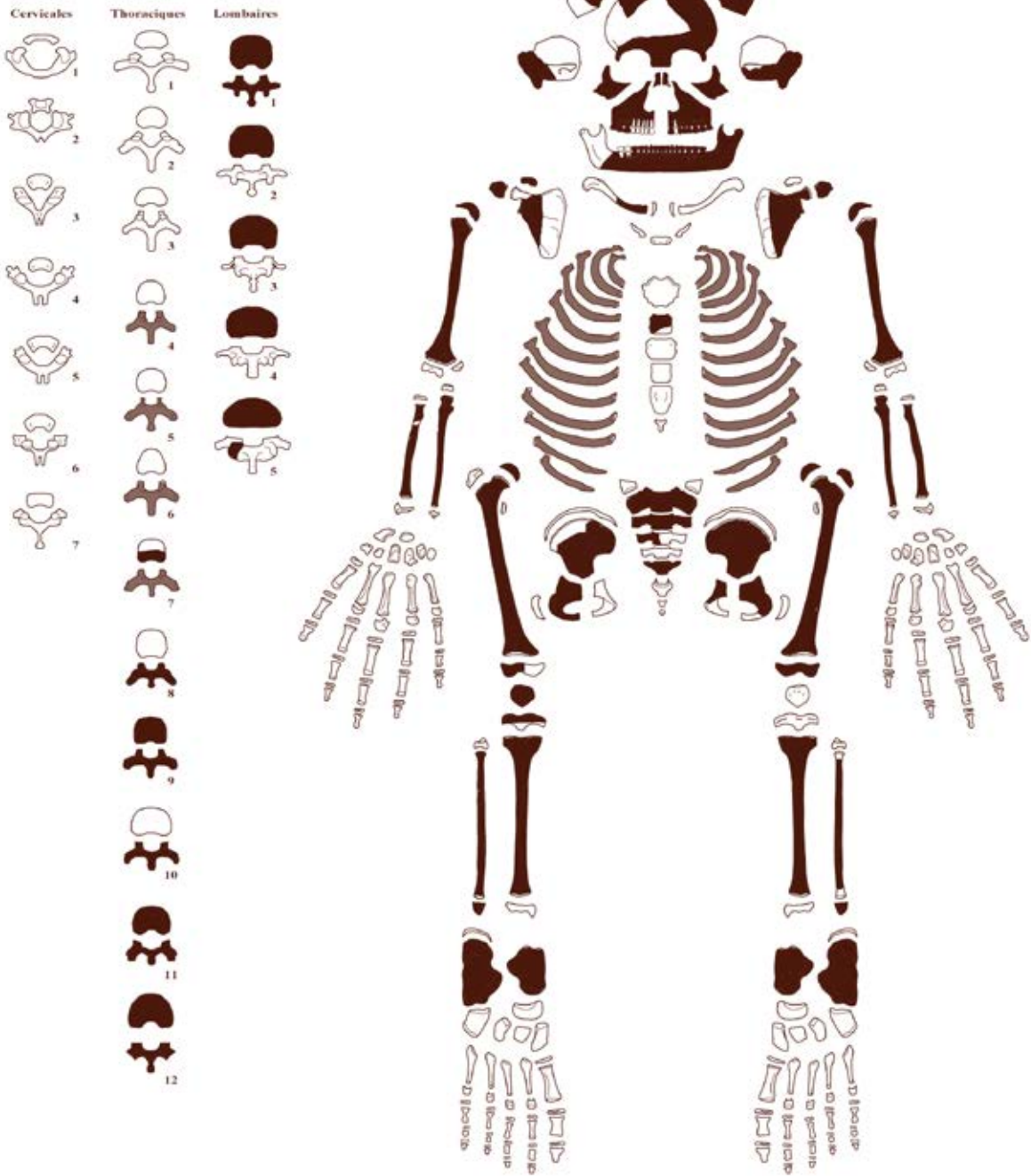
1,47 x 0,38 m  
N116°

Mode **d'inhumation** : PLEINE TERRE



IMM. [5-9]

SEXE INDÉTERMINABLE



## sépulture 26

- individuelle primaire

### Position du squelette

- décubitus
- membres inférieurs en extension

### Description taphonomique

- phase initiale de la décomposition : ?

### Mobilier

- trois clous



cimetière moderne

us 1220/1221

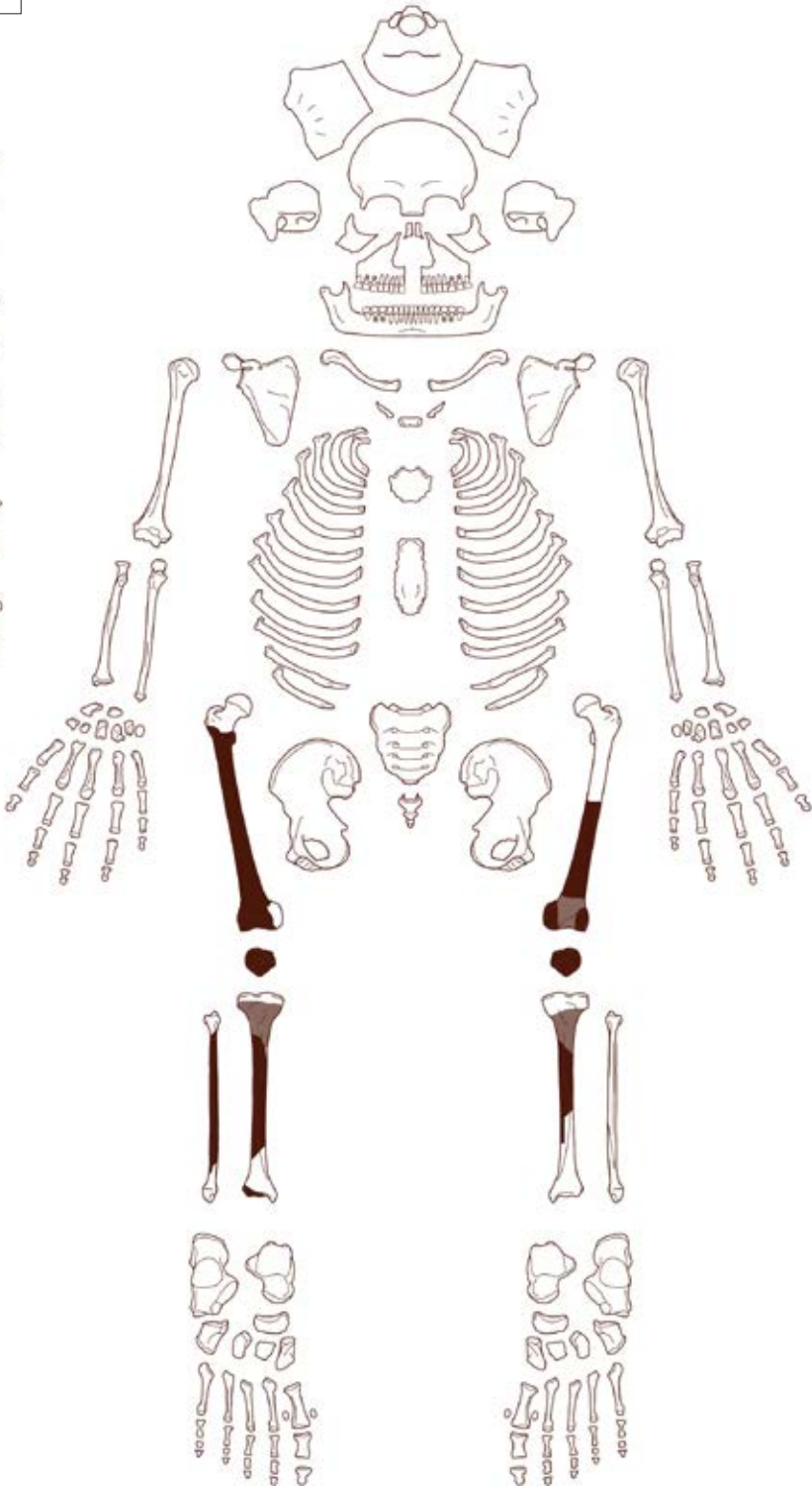
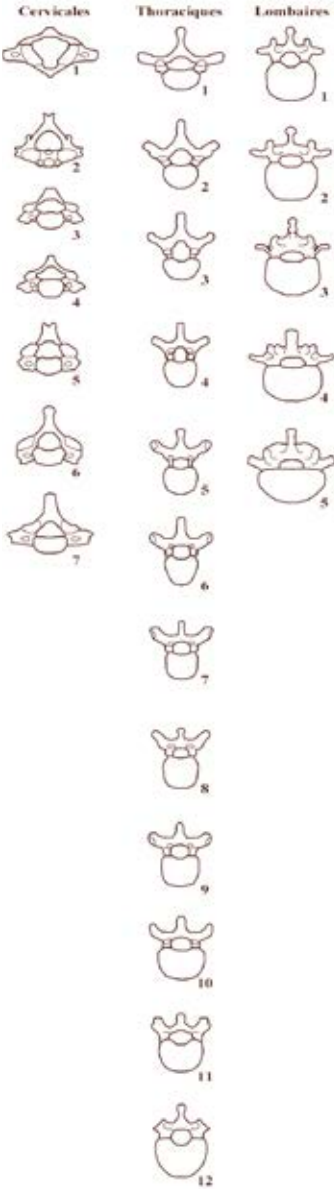
INDÉT.  
N120°

Mode **d'inhumation**: INCONNU

ADO./AD. > 15 ANS

SEXE INDÉTERMINABLE

1								2							
8	7	6	5	4	3	2	1	1	2	3	4	5	6	7	8
8	7	6	5	4	3	2	1	1	2	3	4	5	6	7	8
4								3							



## sépulture 27



- individuelle primaire

### Position du squelette

- décubitus
- membre supérieur droit en flexion, main en position moyenne
- membres inférieurs en extension

### Description taphonomique

- phase initiale de la décomposition : espace vide
- crâne en position secondaire
- mise à plat du coxal droit
- mise à plat complète des côtes droites
- effet de paroi de type délimitation linéaire à droite (patella, humérus, coxal et fémur) [► coffrage]

### Mobilier

- 12 clous

cimetière moderne

us 1005

INDÉT.  
N125°

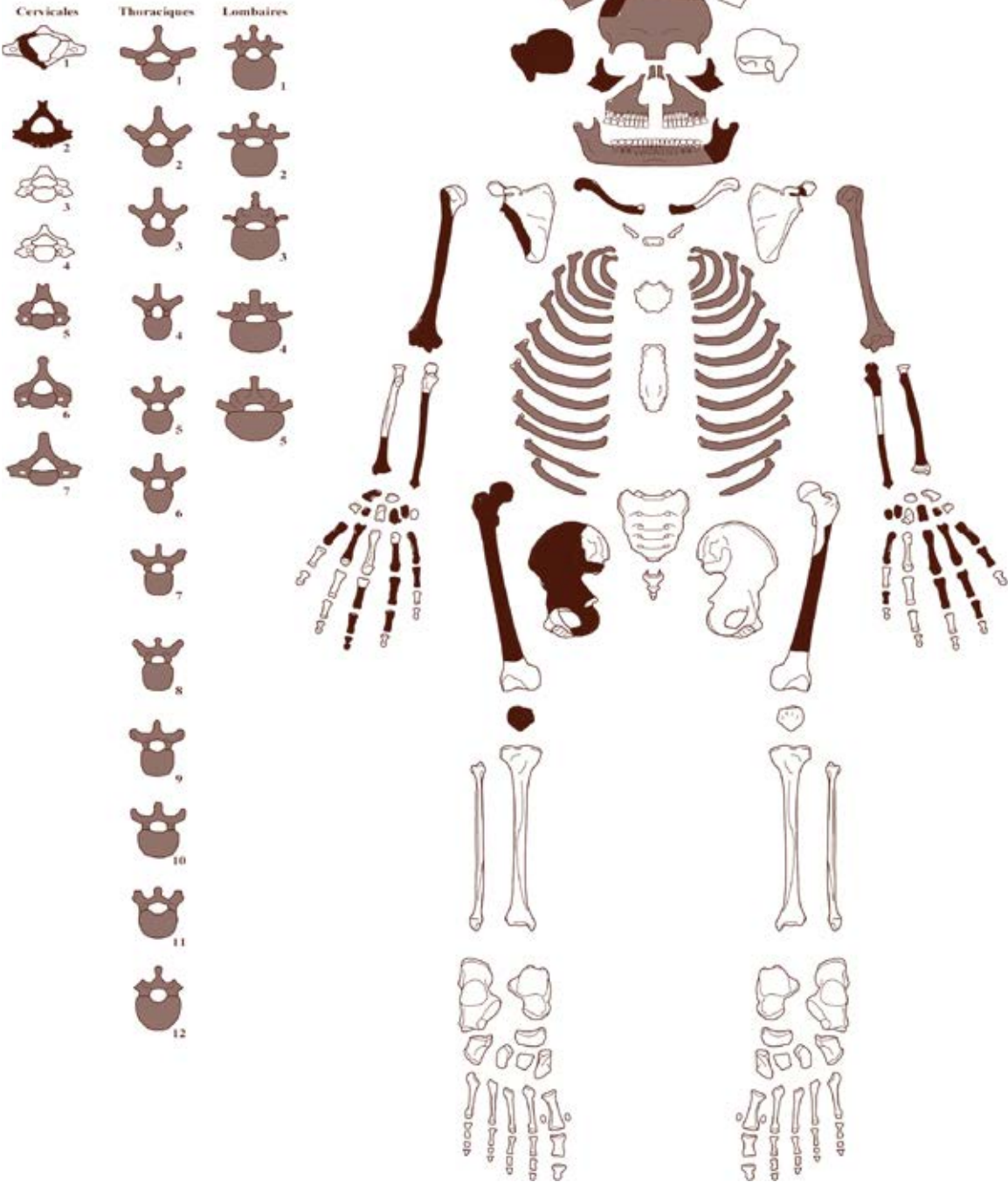
Mode **d'inhumation**: COFFRAGE EN MAT. PÉRISSABLE



AD. > 20 ANS

SEXE INDÉTERMINABLE

1								2							
8	7	6	5	4	3	2	1	1	2	3	4	5	6	7	8
8	7	6	5	4	3	2	1	1	2	3	4	5	6	7	8
4								3							





## sépulture 28



- individuelle primaire

### Position du squelette

- décubitus
- membre supérieur droit en flexion, main en position basse
- membres inférieurs en extension

### Description taphonomique

- phase initiale de la décomposition: ?

### Mobilier

- néant

cimetière médiéval

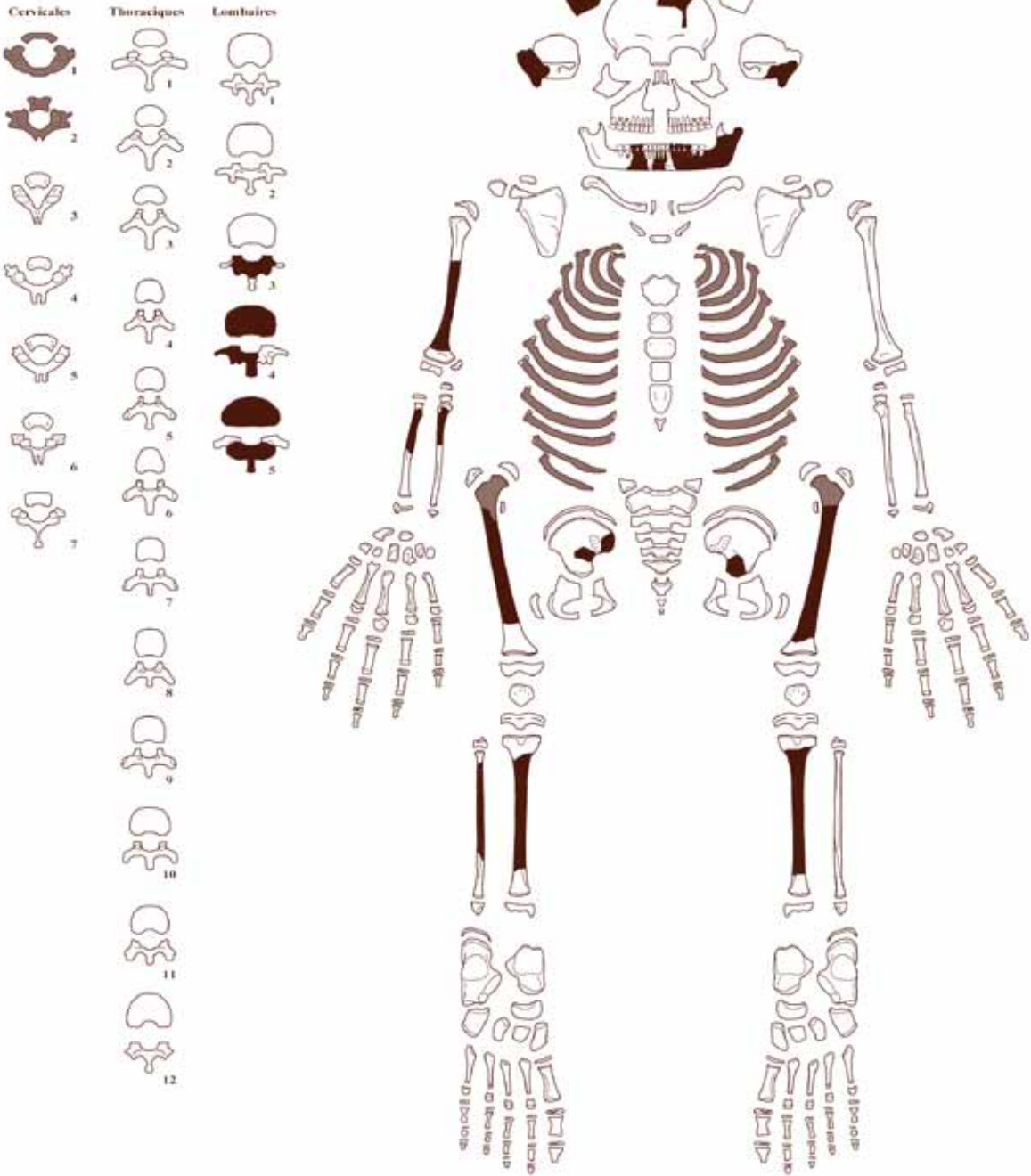
us 1222/1223

0,76 x 0,22 m  
N116°

Mode **d'inhumation**: INCONNU

IMM. [0]/[1-4]

SEXE INDÉTERMINABLE



## sépulture 29



- individuelle primaire

### Position du squelette

- décubitus
- membre supérieur droit en flexion, main en position basse
- membre supérieur gauche en extension, main en position basse
- membres inférieurs en extension

### Description taphonomique

- phase initiale de la décomposition : espace colmaté
- crâne en position primaire (effet de paroi de type butée ➤ paroi de la fosse)
- articulation temporo-mandibulaire en connexion
- effet de paroi de type butée au niveau des coxaux et des pieds (➤ paroi de la fosse)
- mise à plat partielle des côtes (compression ➤ paroi de la fosse)

### Mobilier

- néant

cimetière médiéval

us 1224/1225

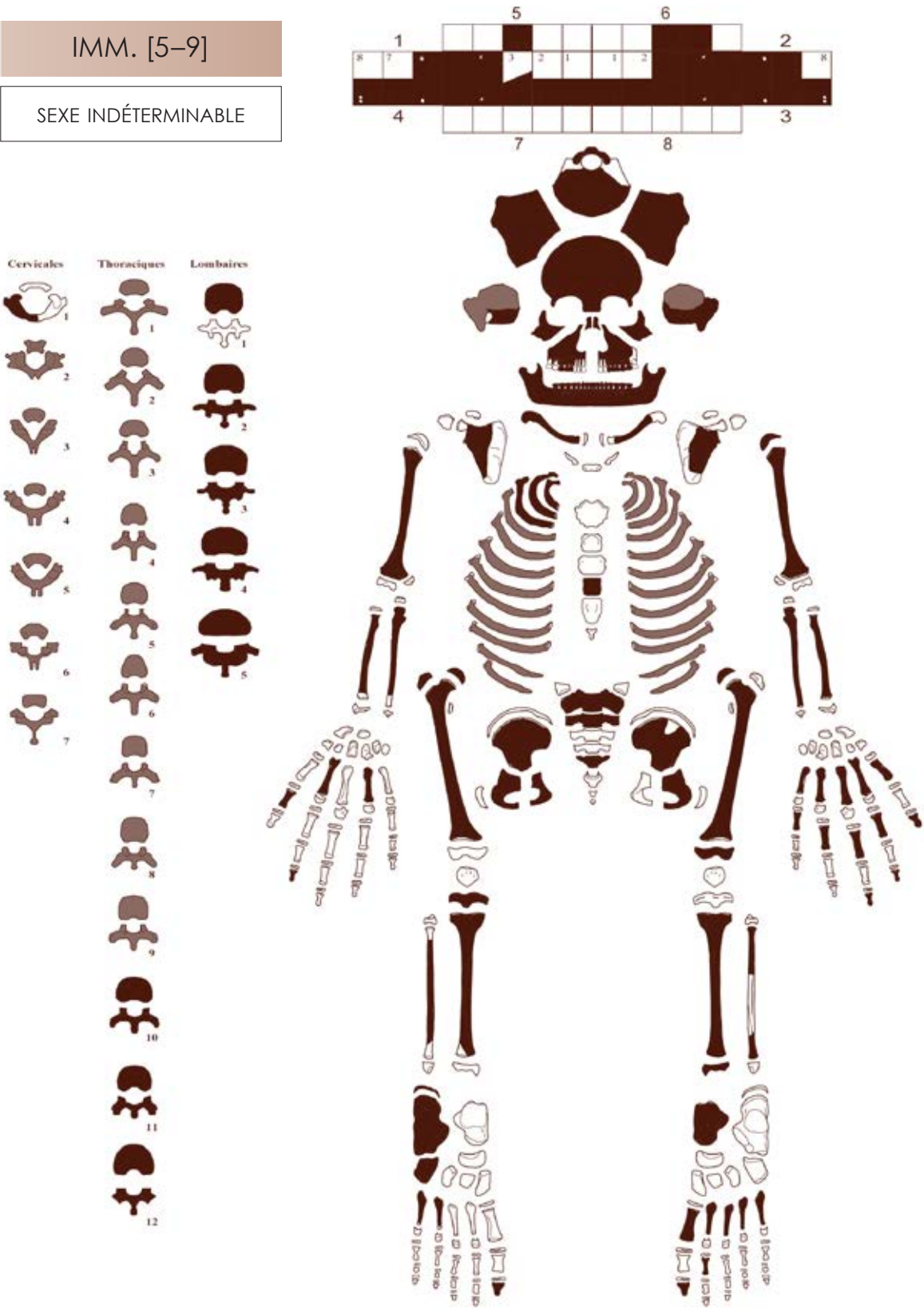
1,12 x 0,26 m  
N124°

Mode **d'inhumation**: PLEINE TERRE



IMM. [5-9]

SEXE INDÉTERMINABLE





## sépulture 30



- individuelle primaire

### Position du squelette

- décubitus
- membre supérieur gauche en flexion, main en position moyenne
- membres inférieurs en extension

### Description taphonomique

- phase initiale de la décomposition: ?

### Mobilier

- néant

cimetière médiéval

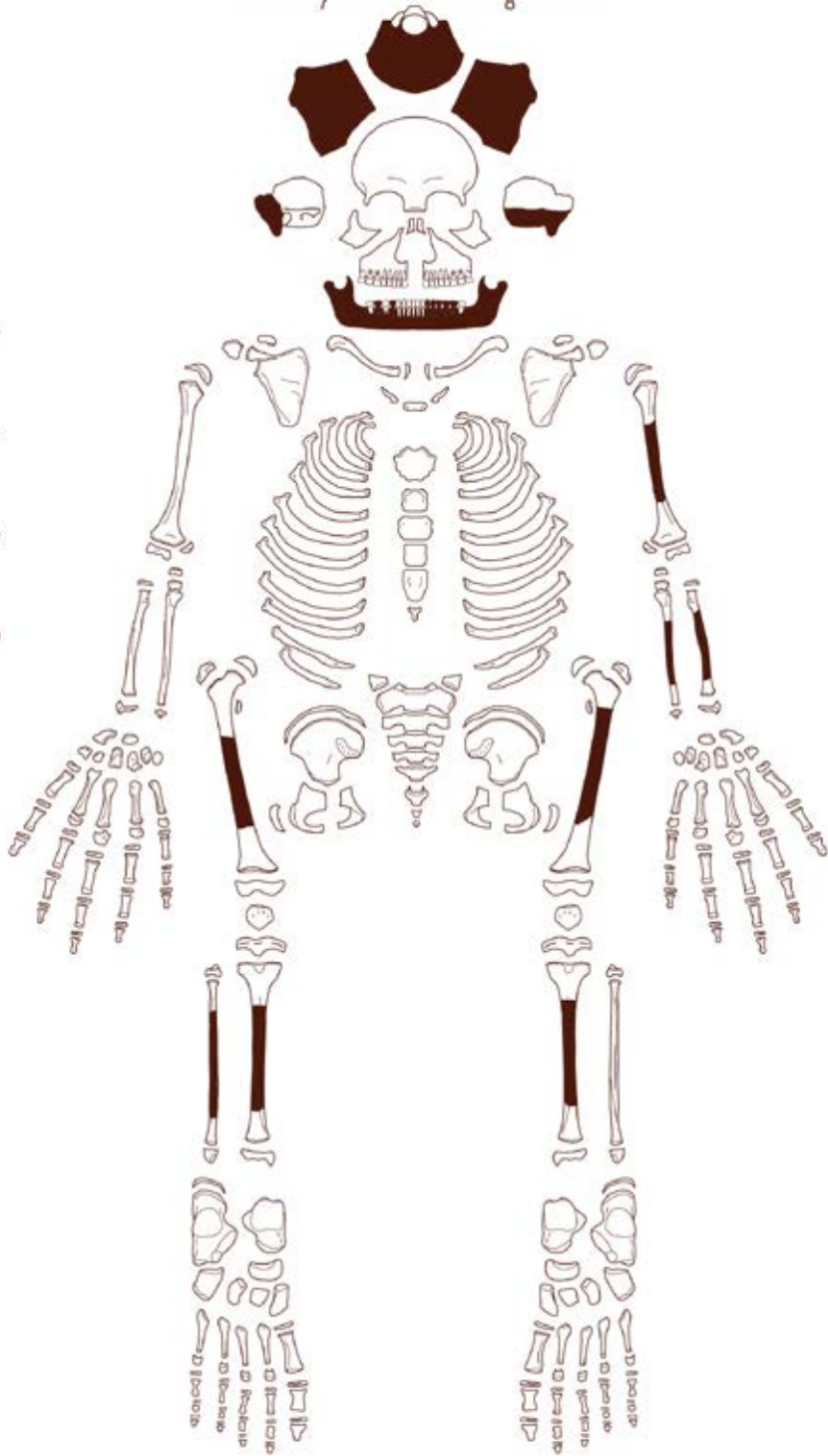
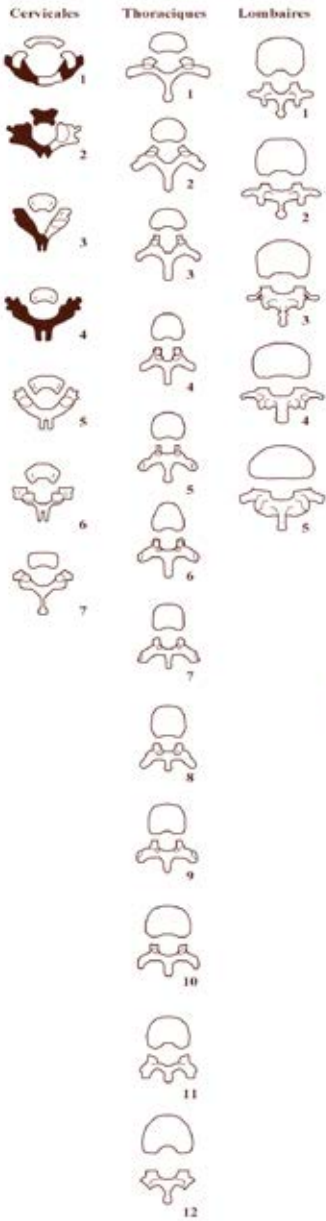
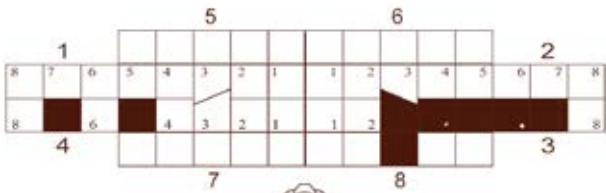
us 1226/1227

0,85 x 0,23 m  
N124°

Mode **d'inhumation**: INCONNU

IMM. [1-4]

SEXE INDÉTERMINABLE



## sépulture 31



- type de sépulture : inconnu
- recoupée par le puits ST 108

### Position du squelette

- ?

### Description taphonomique

- ?

### Mobilier

- néant

cimetière médiéval

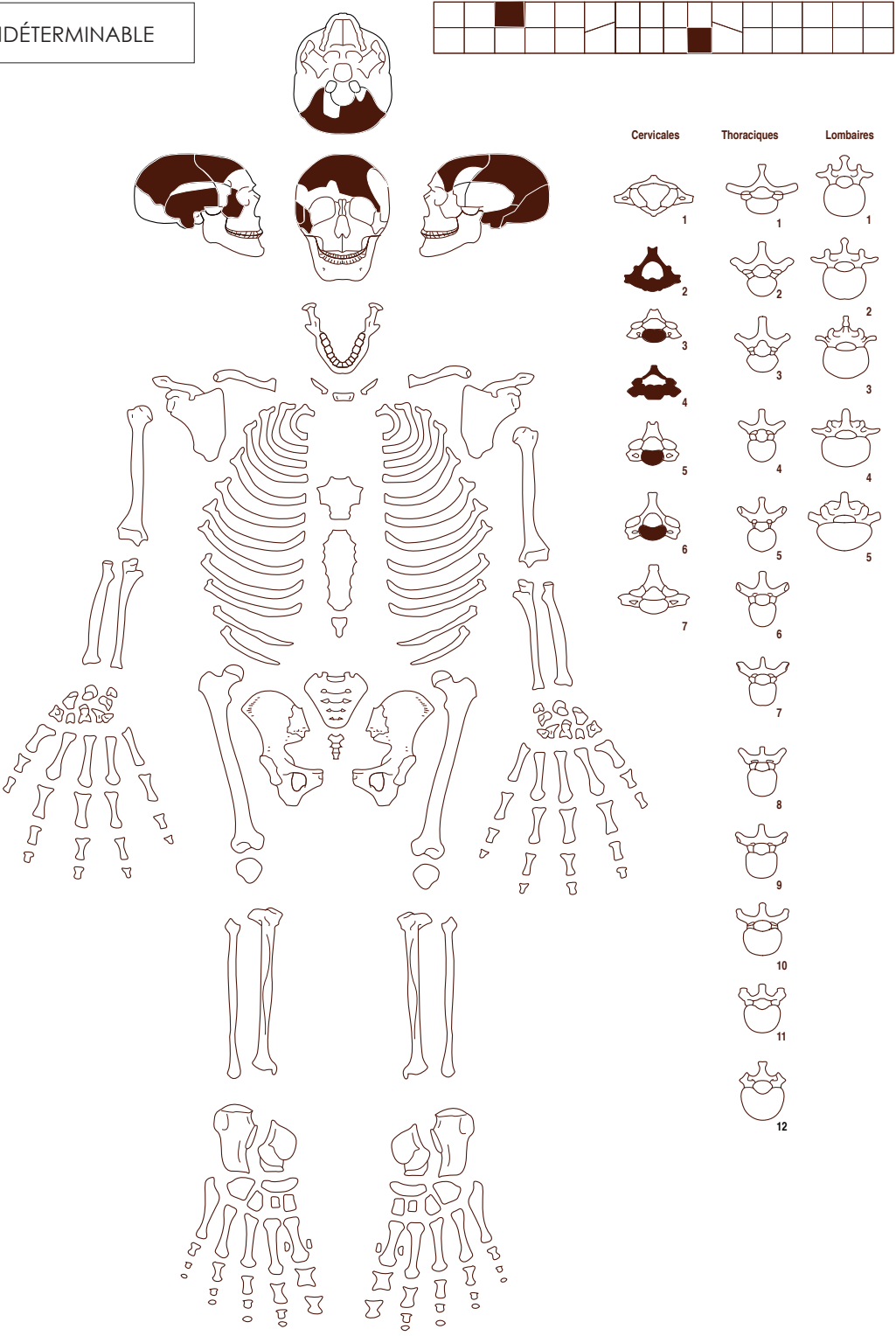
us 1228/1229

INDÉT.  
INDÉT.

Mode **d'inhumation** : INCONNU

AD. > 20 ANS

SEXE INDÉTERMINABLE





## sépulture 32



- individuelle primaire
- recoupée par la sépulture 33 et arasée par la pelle mécanique

### Position du squelette

- décubitus
- membre supérieur gauche en extension
- membre inférieur droit en extension

### Description taphonomique

- phase initiale de la décomposition: ?
- mise à plat du coxal droit
- conservation des connexions articulaires du pied droit

### Mobilier

- 4 clous

cimetière moderne

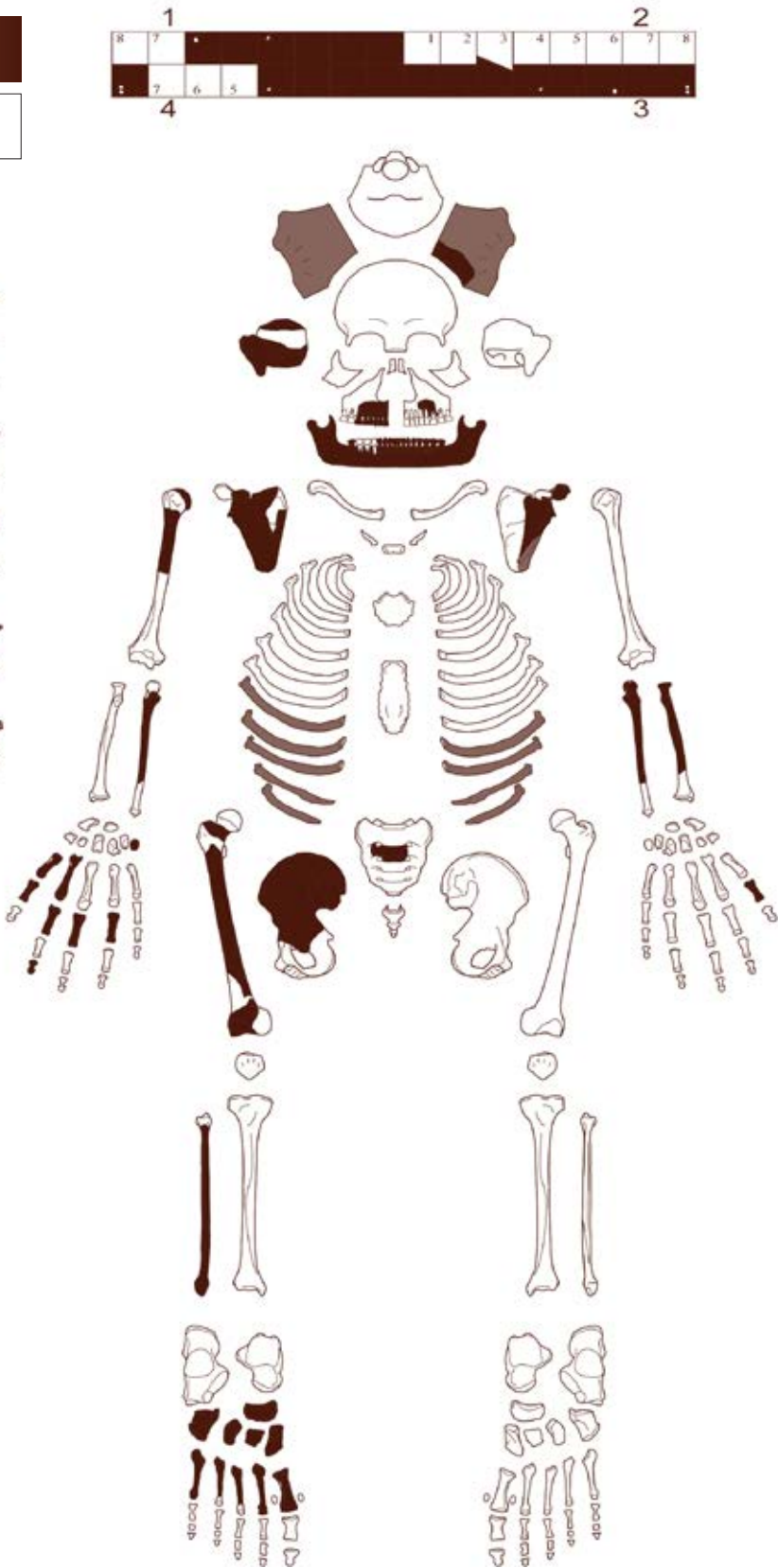
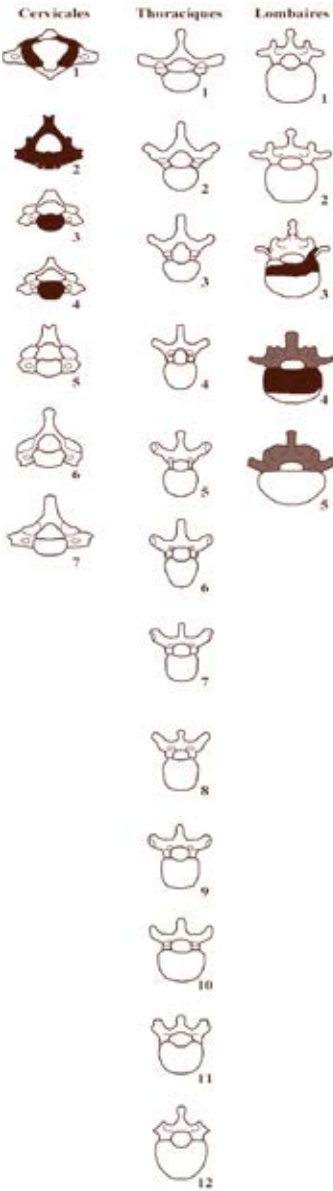
us 1230/1231

INDÉT.  
N131°

Mode **d'inhumation**: INCONNU

AD. > 20 ANS

SEXE INDÉTERMINABLE



## sépulture 33



- individuelle primaire ou secondaire ?

### Position du squelette

- décubitus

### Description taphonomique

- phase initiale de la décomposition : ?

### Mobilier

- 2 clous
- 2 épingles de linceul

cimetière moderne

us 1232/1233

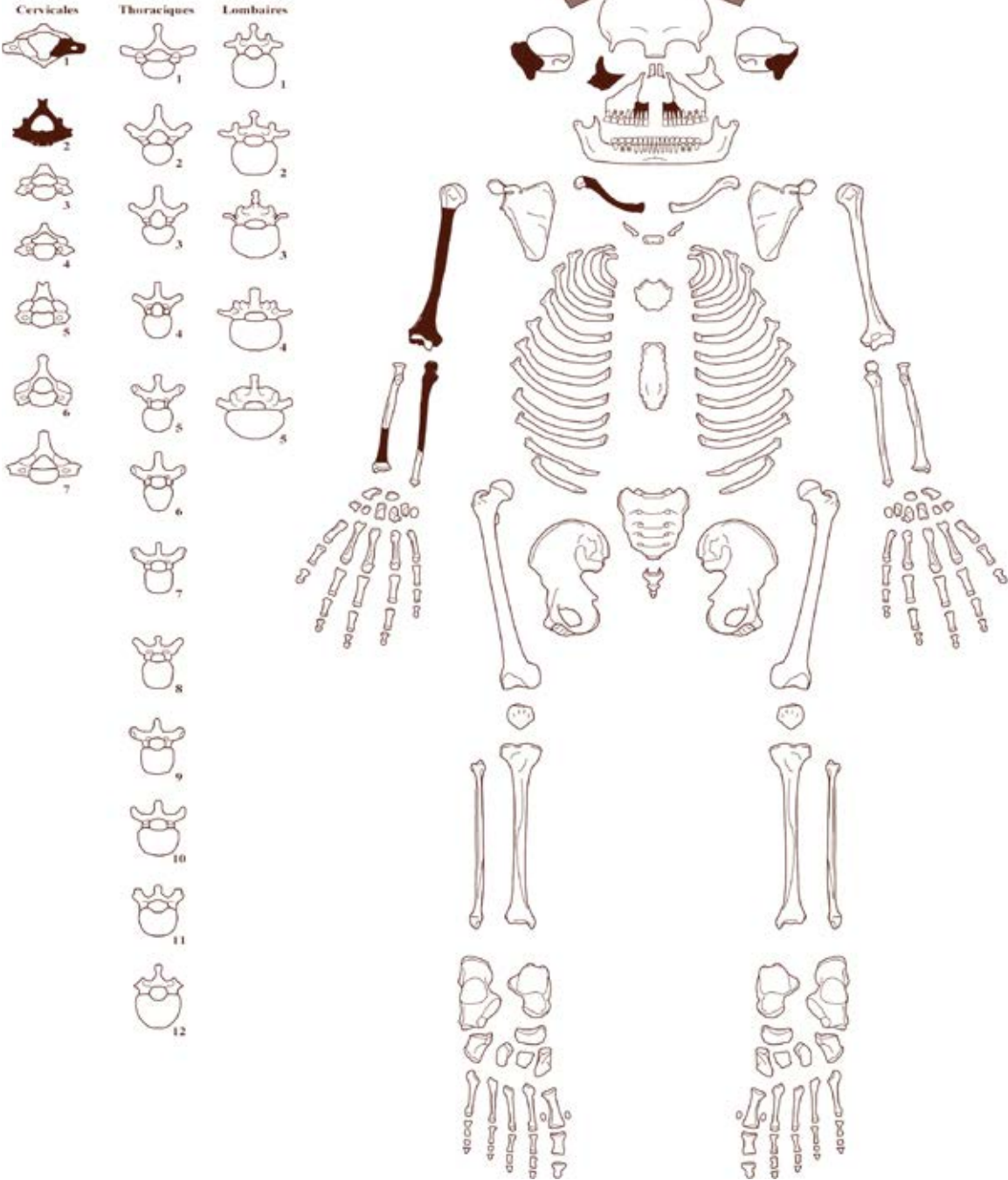
INDÉT.  
N125°

Mode **d'inhumation**: INCONNU

AD. > 20 ANS

SEXE INDÉTERMINABLE

1								2							
8	7	6	5	4	3	2	1	1	2	3	4	5	6	7	8
8	7	6	5	4	3	2	1	1	2	3	4	5	6	7	8
4								3							





## sépulture 34

- individuelle primaire

### Position du squelette

- décubitus
- membres inférieurs en extension

### Description taphonomique

- phase initiale de la décomposition: ?

### Mobilier

- 2 clous



cimetière moderne

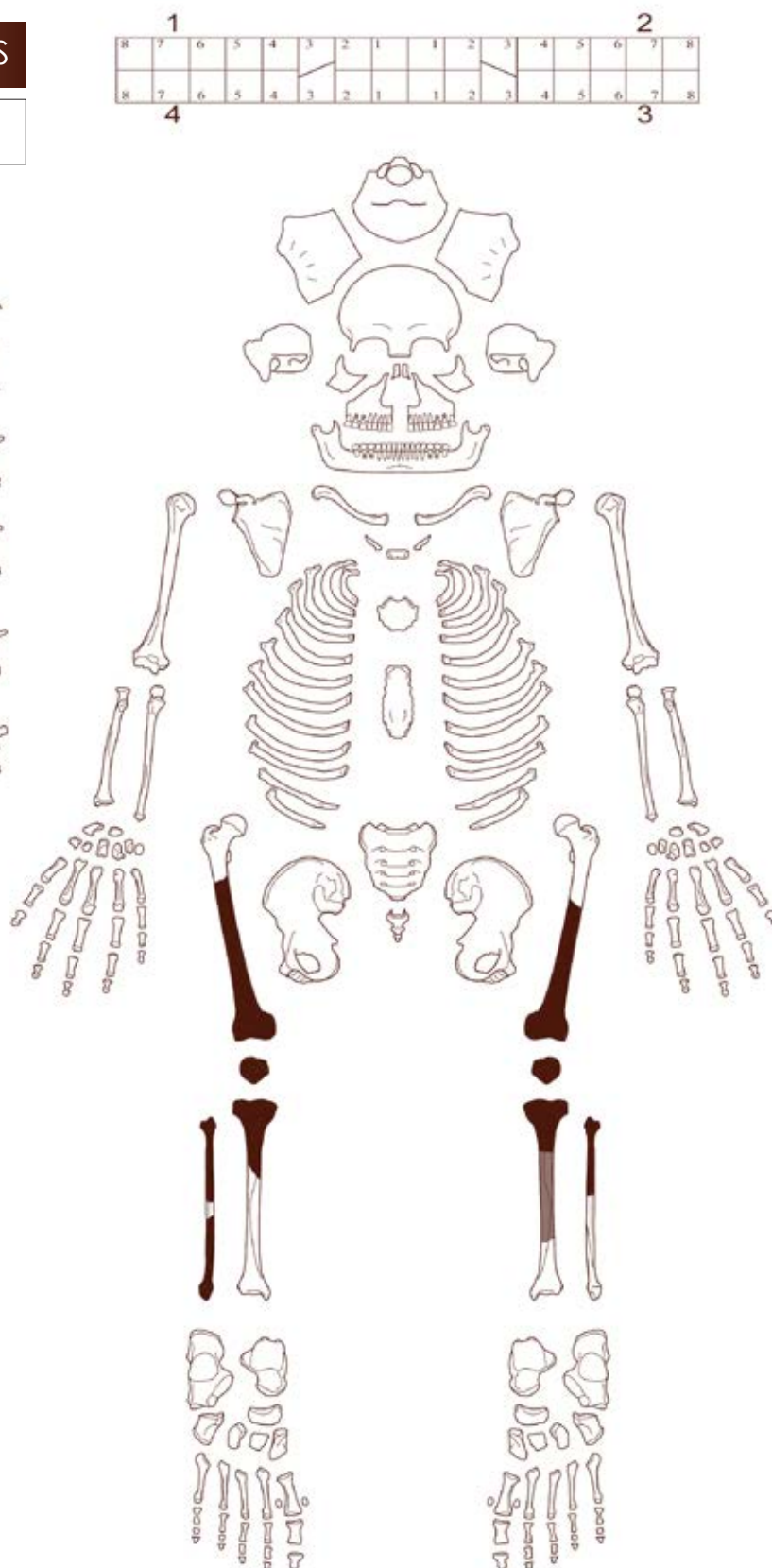
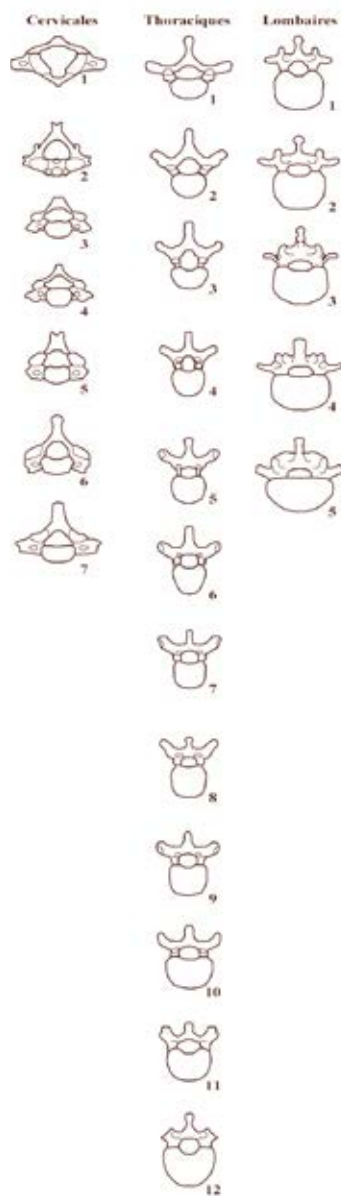
us 1234/1235

INDÉT.  
N120°

Mode **d'inhumation**: INCONNU

ADO./AD. > 15 ANS

SEXE INDÉTERMINABLE



## sépulture 35



■ Type de sépulture: inconnu

### Position du squelette

■ ?

### Description taphonomique

■ ?

### Mobilier

■ néant

cimetière médiéval

us 1184

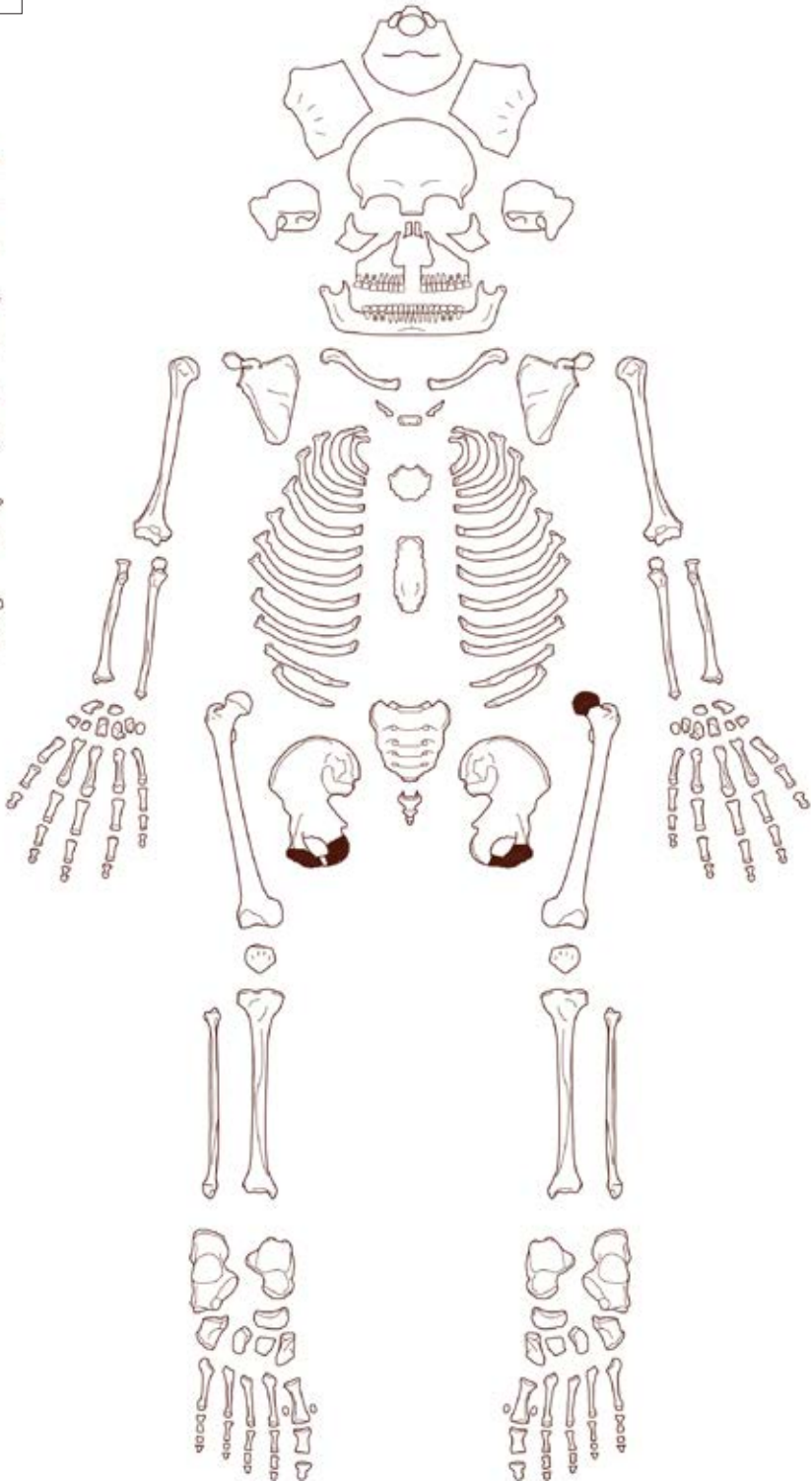
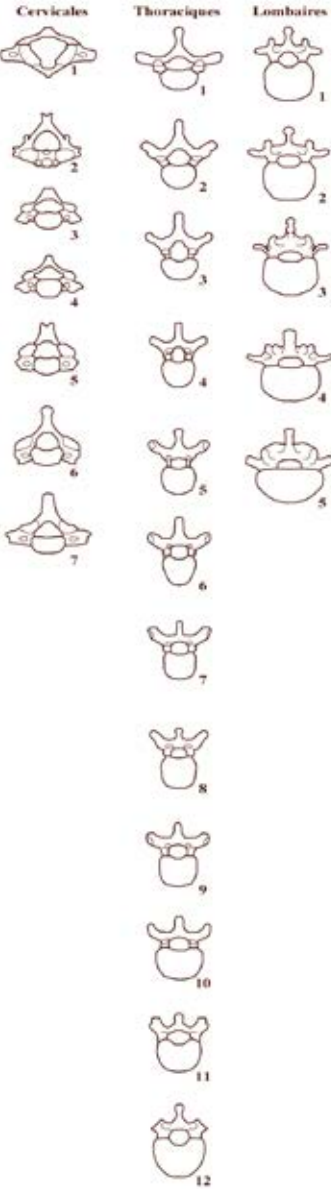
INDÉT.  
INDÉT.

Mode **d'inhumation**: INCONNU

ADULTE

SEXE INDÉTERMINABLE

1								2							
8	7	6	5	4	3	2	1	1	2	3	4	5	6	7	8
8	7	6	5	4	3	2	1	1	2	3	4	5	6	7	8
4								3							





## sépulture 36



■ type de sépulture : inconnu

### Position du squelette

- inconnue
- coupé aux chevilles

### Description taphonomique

- ?

### Mobilier

- néant

cimetière moderne

us 1206

INDÉT.  
INDÉT.

Mode **d'inhumation** : INCONNU

ÂGE INDÉTERMINABLE

SEXE INDÉTERMINABLE



# ANNEXE II

## DÉPÔTS SECONDAIRES



## Carré N / US 1005

Os	Partie(s) conservée(s) <sup>1</sup>	Latéralité	Longueur	Patho	Divers	Âge <sup>2</sup>
patella	complète	G				Ad
scapula	cavité glénoïde	D				Ad
humérus	EP /MTP	D		traumatique		Ad
humérus	ED	?			fragment	Ad
humérus	D	?				Ad
4e métatarsien	EP/MTP	D				Ad
5e métatarsien	EP/MTP	G				Ad
ulna	FD	?				Ad

1 Avec EP = épiphyse proximale, MTP = métaphyse proximale, D = diaphyse, FD = fragment de diaphyse, MTD = métaphyse distale, ED = épiphyse distale

2 Ad= adulte, TJ Imm = très jeune immature, Imm = immature

- 1 crâne Ad
- Atlas incomplet Ad

## Carré O / US 1005

Os	Partie(s) conservée(s) <sup>1</sup>	Latéralité	Longueur	Patho	Divers	Âge <sup>2</sup>
humérus	MTD	D			2 fragments recollés	Ad
humérus	ED	G			2 fragments recollés	Ad
radius	D	?				Ad
ulna	EP/MTP	G				Ad
3 <sup>e</sup> métacarpien	complet	D				Ad
métacarpien	D	?				Ad
phalange distale de la main	complète	?				Ad
fémur	D	?				Ad
fémur	FD	?				Ad
fémur	ED	G				Ad
fémur	ED	?				Ad
fémur	ED	?				Ad
fémur	EP / ED	?				Ad
fémur	EP	?			grand trochanter	Ad

Os	Partie(s) conservée(s) <sup>1</sup>	Latéralité	Longueur	Patho	Divers	Âge <sup>2</sup>
tibia	D	G				Imm
tibia	D	?				Ad
tibia	D	?				Ad
fibula	D	?				Ad
5 <sup>e</sup> métatarsien	EP/MTP	D				Ad
phalange proximale du 1 <sup>er</sup> rayon du pied	complet	G				Ad
3 <sup>e</sup> métatarsien	complet	G				Ad
3 <sup>e</sup> métatarsien	EP/MTP/MTD	D				Ad
4 <sup>e</sup> métatarsien	EP/MTP	G				Ad
métatarsien	D	?				Ad
phalange proximale du 1 <sup>er</sup> rayon du pied	complet	D				Ad
cuboïde	complet	G				Ad
calcaneum	complet	G			CAL = 76 mm CBW = 37 mm CHW = 40 mm	Ad
calcaneum	incomplet	G				Ad
lunatum	complet	G				Ad

<sup>1</sup> Avec EP = épiphyse proximale, MTP = métaphyse proximale, D = diaphyse, FD = fragment de diaphyse, MTD = métaphyse distale, ED = épiphyse distale

<sup>2</sup> Ad= adulte, TJ Imm = très jeune immature, Imm = immature

- 117 esquilles d'os longs
- 72 esquilles d'os spongieux
- 1 coxal Ad : fragment d'acetabulum
- 1 fragment de crête illiaque Ad
- 1 axis complet Ad
- 1 corps vertébral de thoracique
- 3 fragments d'arcs neuraux Ad
- 1 fragment de patella Ad
- 1 corps vertébral de cervicale Ad
- 1 atlas incomplet Ad
- 1 crâne Ad
- 1 processus coronoïde Droit d'une mandibule Ad
- 1ère molaire hémi-mandibule Gauche, Ad
- 3e molaire hémi-mandibule Gauche, Ad
- 2e molaire hémi-mandibule Droite, Ad
- 2e incisive hémi-mandibule Droit, Ad

## Carré P / US 1005

Os	Partie(s) conservée(s) <sup>1</sup>	Latéralité	Longueur	Patho	Divers	Âge <sup>2</sup>
tibia	EP	?				TJ Imm
ulna	FD	?				Ad
fémur	EP	D				Ad
clavicule	ED	D			1/3	Ad
capitatum	complet	D				Ad

<sup>1</sup> avec EP = épiphyse proximale, MTP = métaphyse proximale, D = diaphyse, FD = fragment de diaphyse, MTD = n métaphyse distale, ED = n épiphyse distale

<sup>2</sup> Ad = adulte, TJ Imm = très jeune immature, Imm = Immature

- 1 atlas incomplet Imm.
- 17 esquilles d'os longs.
- 1 crâne adulte

## Carré Q / US 1005

Os	Partie(s) conservée(s) <sup>1</sup>	Latéralité	Longueur	Patho	Divers	Âge <sup>2</sup>
ulna	MTP	G				Ad
ulna	D	?				Ad
ulna	FD	?				Ad
radius	MTD	G			1/3	Ad
radius	FD	?				Ad
humérus	MTD	G			1/3	Ad
humérus	EP	G				Ad
humérus	MTD				Trochlée non conservée	Ad
clavicule	complète	D				Ad
fémur	EP	D				Ad
fémur	D	?				Ad
tibia	MTD	D			2 fragments recollés	Ad
tibia	MTD	G				Ad
fibula	ED	D				Ad
fibula	FD	?				Ad
fibula	ED	G				Ad

Os	Partie(s) conservée(s) <sup>1</sup>	Latéralité	Longueur	Patho	Divers	Âge <sup>2</sup>
scapula	cavité glénoïde Apophyse cora- coïde	D				Ad
scapula	bord latéral acromion	D				Ad
scapula	cavité glénoïde Apophyse cora- coïde	G				Ad
patella	complète	G				Ad
5 <sup>e</sup> métacarpien	complet	G				Ad
3 <sup>e</sup> métacarpien	MTD	D				Ad
phalange proximale du 3 <sup>e</sup> rayon de la main	complète	?				Ad
1 <sup>er</sup> métatarsien	complet	D				Ad
2 <sup>e</sup> métatarsien	MTD	G				Ad
3 <sup>e</sup> métatarsien	MTP	G				Ad
3 <sup>e</sup> métatarsien	MTD	D				Ad
4 <sup>e</sup> métatarsien	complet	D				Ad
4 <sup>e</sup> métatarsien	EP	D				Ad
4 <sup>e</sup> métatarsien	MTP	G				Ad
4 <sup>e</sup> métatarsien	complet	G				Ad
4 <sup>e</sup> métatarsien	MTD	D				Ad
4 <sup>e</sup> métatarsien	MTD	G				Ad
5 <sup>e</sup> métatarsien	complet	D				Ad
5 <sup>e</sup> métatarsien	MTD	G				Ad
phalange proximale du 2 <sup>e</sup> rayon du pied	complète	D				Ad
phalange proximale du 3 <sup>e</sup> rayon du pied	complète	D				Ad
talus	complet	G				Ad
talus	complet	G				Ad
talus	complet	D				Ad
talus	complet	D				Ad
talus	incomplet	D				Ad
naviculaire	complet	D				Ad
cuboïde	complet	D				Ad

Os	Partie(s) conservée(s) <sup>1</sup>	Latéralité	Longueur	Patho	Divers	Âge <sup>2</sup>
<b>cuboïde</b>	complet	G				Ad
<b>1<sup>er</sup> cuneiforme</b>	complet	D				Ad
<b>1<sup>er</sup> cuneiforme</b>	complet	G				Ad
<b>calcaneum</b>	incomplet	G				Ad

<sup>1</sup> avec EP = épiphyse proximale, MTP = métaphyse proximale, D = diaphyse, FD = fragment de diaphyse, MTD = n métaphyse distale, ED = n épiphyse distale

<sup>2</sup> Ad = adulte, TJ Imm = très jeune immature, Imm = Immature

Os	ALX	ABW	AHW	Sexe
<b>talus G</b>	56 mm	53 mm	30 mm	
<b>talus D</b>	55 mm	42 mm	33 mm	
<b>talus G</b>	54 mm	44 mm	30 mm	
<b>talus G</b>	51 mm	—	32 mm	

- 23 esquilles de côtes Ad.
- 3 esquilles d'os longs indéterminés.
- 1 occipital Ad

## Vertèbres

- 1 corps vertébral incomplet de L5 Ad.
- C6/C7/T1 appartenant à un même individu Ad.
- 2 corps vertébraux complets de thoraciques hautes Ad.
- 1 vertèbre du segment T5-T7 incomplète Ad.
- 11 fragments d'arcs neuraux Ad.
- 1 corps vertébral Imm.

## Pièce 1

Estimation de l'âge : supérieur à 40 ans

- SSPIA = score 2
- SSPIB = score 3
- SSPIC = score 1
- SSPID = score 1

## Pièce 2

Estimation de l'âge : M3 est apparue, peu d'attrition dentaire

Stade B2 (Lovejoy, 1985) : jeune adulte



## Carré R / US 1005

Os	Partie(s) conservée(s)	Latéralité	Longueur	Patho	Divers	Âge
radius	D	?				Ad
ulna	D	?				Ad
ulna	D	?				Ad
fémur	EP	G				Ad
fémur	EP	G				Imm
fémur	D	?				Ad
acetabulum	Incomplet	D				Ad

Avec EP = épiphyse proximale, MTP = métaphyse proximale, D = diaphyse, FD = fragment de diaphyse, MTD = métaphyse distale, ED = épiphyse distale

- 8 esquilles d'os longs
  - ▷ 4 fragments de côtes Ad
  - ▷ 24 fragments crâniens
  - ▷ 2<sup>e</sup> prémolaire Ad, gauche

## Carré S / US 1005

Os	Partie(s) conservée(s) <sup>1</sup>	Latéralité	Longueur	Patho	Divers	Âge <sup>2</sup>
scapula	cavité glénoïde	D				Ad
clavicule	ED	D			2 fragments recollés	Ad
radius	D	?				Imm
ulna	D	?				Ad
ulna	EP/MTP	D				Ad
humérus	FD	?				Ad
humérus	FD	?				Ad
humérus	FD	?				Ad
humérus	MTD	D				Ad
tibia	MTP / D	G				Imm
fémur	EP	G				Ad
fémur	D	?				Ad
fémur	D	?			Petit trochanter	Ad
fémur	EP	G				Ad

Os	Partie(s) conservée(s) <sup>1</sup>	Latéralité	Longueur	Patho	Divers	Âge <sup>2</sup>
<b>2<sup>e</sup> métacarpien</b>	complet	G				Ad
<b>phalange proximale du 2<sup>e</sup> rayon de la main</b>	complet	G				Ad
<b>5<sup>e</sup> métatarsien</b>	MTD/ED	D				Ad
<b>vertèbre thoracique</b>	Corps vertébral					Ad

<sup>1</sup> avec EP = épiphyse proximale, MTP = métaphyse proximale, D = diaphyse, FD = fragment de diaphyse, MTD = n métaphyse distale, ED = n épiphyse distale

<sup>2</sup> Ad = adulte, TJ Imm = très jeune immature, Imm = Immature

- 1 fragment d'occipital
- 37 fragments crâniens
- 42 esquilles d'os longs
- 1 fragment de mandibule, pièce 1 (fiche de conservation)

## Carré T / US 1005

Os	Partie(s) conservée(s) <sup>1</sup>	Latéralité	Longueur	Patho	Divers	Âge <sup>2</sup>
<b>humérus</b>	MTD	D				Ad
<b>humérus</b>	D	?				Ad
<b>humérus</b>	MTD	G				Ad
<b>humérus</b>	D	?				Ad
<b>humérus</b>	ED	D				Ad
<b>radius</b>	EP/MTP	G				Ad
<b>clavicule</b>	D /MTD	D				Ad
<b>3<sup>e</sup> métacarpien</b>	complet	D				Ad
<b>métacarpien</b>	ED	?				Ad
<b>5<sup>e</sup> métacarpien</b>	MTP/D	G				Ad
<b>5<sup>e</sup> métacarpien</b>	ED	D				Ad
<b>phalange proximale du 3<sup>e</sup> rayon de la main</b>	complète	G				Ad
<b>phalange proximale du 1<sup>er</sup> rayon de la main</b>	complète	D				Ad
<b>phalange proximale du 5<sup>e</sup> rayon de la main</b>	complète	G				Ad

Os	Partie(s) conservée(s) <sup>1</sup>	Latéralité	Longueur	Patho	Divers	Âge <sup>2</sup>
phalange proximale du 5 <sup>e</sup> rayon de la main	complète	D				Ad
phalange proximale du 5 <sup>e</sup> rayon de la main	complète	G				Ad
phalange distale du 1 <sup>er</sup> rayon de la main	complète	G				Ad
fémur	MTD/ED	D				Ad
fémur	D	?				Ad
fémur	MTP	G				Ad
fémur	ED	G				Ad
fémur	EP	G				Ad
tibia	FD	?				Ad
tibia	EP	D				Ad
tibia	D	?	65 mm			TJ Imm
fibula	D	?				Ad
fibula	D	?				Ad
fibula	D	?				Ad
fibula	MTP	G				Ad
1 <sup>er</sup> métatarsien	complet	D				Ad
2 <sup>e</sup> métatarsien	MTD/ED	G				Ad
4 <sup>e</sup> métatarsien	EP/MTP	D				Ad
4 <sup>e</sup> métatarsien	EP	G				Ad
5 <sup>e</sup> métatarsien	FD	?				Ad
3 <sup>e</sup> cuneiforme	incomplet	D				Ad

<sup>1</sup> Avec EP = épiphyse proximale, MTP = métaphyse proximale, D = diaphyse, FD = fragment de diaphyse, MTD = métaphyse distale, ED = épiphyse distale

<sup>2</sup> Ad= adulte, TJ Imm = très jeune immature, Imm = immature

- 15 fragments d'os spongieux
- 28 esquilles d'os longs
- L3 complète Ad
- L5 incomplète, Ad
- 3 corps vertébraux de vertèbres lombaires
- 1 processus transverse Gauche de vertèbre lombaire
- 1 thoracique du segment T6-T9

- 2 fragments d'arcs neuraux de vertèbres thoraciques
- C6 incomplète, Ad
- 14 fragments de côtes
- 1 sacrum incomplet, Ad (3 fragments)
- 6 coxaux (pièces 1, 2, 3, 4, 5, 6) (5 gauches, 1 droit)
- 2 mandibules (pièces 7 et 8)
- 1 crâne (pièce 9, voir fiche)
- 3 temporaux Droits, incomplets, Ad
- 1 temporal Gauche, incomplet, Ad
- 2 occipitaux, incomplets, Ad
- 3 orbites Droites, incomplètes, Ad

## Carré U / US 1005

Os	Partie(s) conservée(s) <sup>1</sup>	Latéralité	Longueur	Patho	Divers	Âge <sup>2</sup>
1 <sup>er</sup> métacarpien	complet	D				Ad
2 <sup>e</sup> métacarpien	complet	D				Ad
3 <sup>e</sup> métacarpien	ED	G				Ad
4 <sup>e</sup> métacarpien	complet	D				Ad
métacarpien	D	?				Ad
phalange proximale du 2 <sup>e</sup> rayon de la main	complet	?				Ad
phalange proximale du 5 <sup>e</sup> rayon de la main	complet	?				Ad
phalange proximale du 2 <sup>e</sup> rayon de la main	complet	?				Ad
5 <sup>e</sup> métacarpien	complet	D				Ad
phalange intermédiaire du 5 <sup>e</sup> rayon de la main						
4 <sup>e</sup> métatarsien	EP/MTP	G				Ad
4 <sup>e</sup> métatarsien	EP/MTP	D			fracture de l'épiphyse proximale	Ad
3 <sup>e</sup> métatarsien	EP	D				Ad
phalange proximale du 5 <sup>e</sup> rayon du pied	complet	?				Ad
clavicule	complète	D				Ad
clavicule	complète	D				Ad

Os	Partie(s) conservée(s) <sup>1</sup>	Latéralité	Longueur	Patho	Divers	Âge <sup>2</sup>
clavicule	ED	D				Ad
clavicule	ED	D				Ad
clavicule	D	G				Ad
clavicule	D	?				Ad
clavicule	D	?				Ad
humérus	ED	D			2 fragments recollés	Ad
humérus	ED	G				Ad
humérus	MTD	D				Ad
humérus	D	?				Ad
humérus	MTP/MTD/ED	G				Ad
humérus	D	?				Ad
radius	D	?				Ad
radius	EP/MTP	D				Ad
ulna	EP	G				Ad
ulna	D	?				Ad
ulna	D	?				Ad
tibia	D	D				Ad
tibia	MTD	?				Ad
tibia	MTD	?				Ad
tibia	MTD	?				Ad
tibia	D	?				Ad
tibia	D	?				Ad
tibia	D	?				Ad
tibia	D	?				Ad
tibia	ED	D				Ad
tibia	EP	?			plateau tibial	Imm
tibia	MTP	?				Imm
fémur	MTP	G			2 fragments recollés	Ad
fémur	FD	?				Ad
fémur	FD	?				Ad
fémur	FD	?				Ad
fémur	EP	D				Ad
fémur	ED	G				Ad



Os	Partie(s) conservée(s) <sup>1</sup>	Latéralité	Longueur	Patho	Divers	Âge <sup>2</sup>
<b>fémur</b>	EP	?				Imm
<b>fémur</b>	EP	?				Imm
<b>fémur</b>	EP	?				Ad
<b>fémur</b>	ED	?				Ad
<b>fémur</b>	ED	?				Ad
<b>fémur</b>	D	?				Ad
<b>fibula</b>	D	?				Ad
<b>fibula</b>	D	?				Ad
<b>scapula</b>	cavité glénoïde	D				Ad
<b>scapula</b>	cavité glénoïde	G				Ad
<b>scapula</b>	cavité glénoïde	G				Ad
<b>scapula</b>	cavité glénoïde	G				Ad
<b>scapula</b>	cavité glénoïde	G				Ad
<b>capitulum</b>	complet	G				Ad
<b>hamatum</b>	complet	D				Ad
<b>calcaneum</b>	complet	G			CAL = 77 mm CHW = 36 mm CBW = 38 mm	Ad
<b>talus</b>	Incomplete	D				Ad
<b>naviculaire</b>	Incomplete	D				Ad
<b>patella</b>	complete	G				Ad

<sup>1</sup> Avec EP = épiphyse proximale, MTP = métaphyse proximale, D = diaphyse, FD = fragment de diaphyse, MTD = métaphyse distale, ED = épiphyse distale

<sup>2</sup> Ad= adulte, TJ Imm = très jeune immature, Imm = immature

- 6 fragments de scapula, Ad
- 170 esquilles/fragments (os spongieux et os longs)
- 10 fragments de côtes, Ad
- 1 ischium Droit, incomplet, Imm
- 6 crânes Ad, incomplets (pièces 3, 4, 5, 6)
- 2 coxaux (pièces 1 et 2)

## Vertèbres

- S1, Ad, incomplète
- 1 corps vertébral de vertèbre sacrée Ad
- 4 corps vertébraux de vertèbres lombaires Ad
- 3 axis incomplets, Ad
- T1 incomplète, Ad
- 1 corps vertébral de vertèbre cervicale Ad

## Carré V / US 1005

Os	Partie(s) conservée(s) <sup>1</sup>	Latéralité	Longueur	Patho	Divers	Âge <sup>2</sup>
radius	FD	?				Ad
phalange proximale du 2 <sup>e</sup> rayon de la main	complète					Imm
phalange proximale du 1 <sup>er</sup> rayon de la main	complète	D				Ad
phalange proximale du 2 <sup>e</sup> rayon de la main	complète	D				Ad

<sup>1</sup> Avec EP = épiphyse proximale, MTP = métaphyse proximale, D = diaphyse, FD = fragment de diaphyse, MTD = métaphyse distale, ED = épiphyse distale

<sup>2</sup> Ad= adulte, TJ Imm = très jeune immature, Imm = immature

### Un crâne adulte incomplet

- une mandibule adulte incomplète (fiche de conservation)
- 22 esquilles d'ossements indéterminés
- M3 Ad, hémi-mandibule gauche
- M1 Ad, hémi-mandibule gauche

## Coupe 1

Os	Partie(s) conservée(s) <sup>1</sup>	Latéralité	Longueur	Patho	Divers	Âge <sup>2</sup>
fémur	MTP / MTD	D			2 fragments	Ad
fémur	MTP / ED	D			2 fragments	Ad
fémur	MTP	D				Ad
fémur	EP	D				Ad
fémur	MTP	D				Imm
fémur	MTD	D				Ad
fémur	MTD	D				Ad
fémur	MTP	D			Petit trochanter	Ad
fémur	EP / MTP	G			2 fragments recollés	Ad
fémur	MTD	G				Ad
fémur	MTD	G				Ad
fémur	MTD	G				Ad

Os	Partie(s) conservée(s) <sup>1</sup>	Latéralité	Longueur	Patho	Divers	Âge <sup>2</sup>
fémur	D	G			Petit trochanter	Ad
fémur	ED	G				Ad
fémur	ED	G				Ad
fémur	ED	G				Ad
fémur	EP	G				Ad
fémur	EP	G				Ad
fémur	EP	G		Cribriforme		Ad
fémur	ED	G				Ad
fémur	D	?				Ad
fémur	D	?				Ad
fémur	D	?				Ad
fémur	EP	G				Imm
fémur	MTD / ED	G				Ad
fémur	MTP / MTD	G				Ad
fémur	MTP	D				Ad
fémur	EP	G				Ad
fémur	FD	?				Ad
fémur	FD	?				Ad
fémur	F	?				Ad
fémur	FD	?				Ad
tibia	D	?				Ad
tibia	FD	?				Ad
tibia	FD	?				Ad
tibia	FD	?				Ad
tibia	ED	D				Ad
tibia	EP	D				Ad
tibia	EP	D				Ad
tibia	EP	D				Ad
tibia	complet	G	324 mm			Ad
tibia	EP / MTP	D				Imm
tibia	EP	G				Ad
tibia	EP	G				Ad
tibia	MTD / ED	G				Ad
tibia	ED	G				Ad

Os	Partie(s) conservée(s) <sup>1</sup>	Latéralité	Longueur	Patho	Divers	Âge <sup>2</sup>
tibia	D	?				Ad
tibia	D	?				Ad
tibia	D	?				Ad
tibia	D	?				Ad
tibia	D	?				Ad
tibia	D	?				Ad
tibia	D	G				Ad
tibia	D	?				Ad
tibia	D	?				Ad
tibia	D	?				Ad
tibia	D	G				Ad
tibia	D	?				Ad
humérus	EP	D				Ad
humérus	EP / MTP	G				Ad
humérus	EP / MTP	G				Ad
humérus	EP	G				Ad
humérus	FD	?				Ad
humérus	ED	D				Ad
ulna	D	?				Ad
ulna	MTP	G				Ad
ulna	EP / MTP	G				Ad
ulna	EPS / MTP	D				Ad
ulna	MTP / MTD/ ED	D				Ad
ulna	D	?				Ad
ulna	D	?				Ad
ulna	FD	?				Ad
ulna	FD	?				Ad
radius	EP	G				Ad
radius	EP / MTP	D				Ad
radius	MTD / ED	D				Ad
radius	MTP	D				Ad
radius	complet	D	218 mm			Ad
radius	complet	D	231 mm			Ad
radius	D	?				Âge <sup>2</sup>

Os	Partie(s) conservée(s) <sup>1</sup>	Latéralité	Longueur	Patho	Divers	Âge <sup>2</sup>
radius	MTP	G				Ad
4 <sup>e</sup> métacarpien	EP / MTP / MTD	D				Ad
1 <sup>er</sup> métatarsien	ED / MTD	G				Ad
clavicule	D	D				Ad
radius	D	?				Ad
5 <sup>e</sup> métatarsien	complet	D				Ad
5 <sup>e</sup> métatarsien	complet	G				Ad
3 <sup>e</sup> métatarsien	complet	D				Ad
2 <sup>e</sup> métatarsien	complet	G				Ad
1 <sup>er</sup> métatarsien	complet	D				Ad
3 <sup>e</sup> métatarsien	EP / MTP / MTD	D				Ad
2 <sup>e</sup> métatarsien	EP / MTP / MTD	D				Ad
3 <sup>e</sup> métacarpien	complet	D				Ad
phalange proximale du 5 <sup>e</sup> rayon de la main	D	D				Ad
phalange proximale du 3 <sup>e</sup> rayon de la main	EP / MTP / MTD	D				Ad
métacarpien	ED	?				Ad
phalange proximale du 2 <sup>e</sup> rayon de la main	complet	?				
scapula	épine scapulaire	?				Ad
talus	complet	D	ALX = 56,5 mm ABW = 48 mm AHW = 35 mm			Ad
calcaneum	Incomplet	G	CAL = 72 mm CBW = 42 mm CHW = _			Ad
calcaneum	sustentaculum tali	D				Ad
cuboïde	complet	D				Ad
naviculaire	complet	D				Ad
naviculaire	complet	D				Ad
3 <sup>e</sup> cunéiforme	Incomplet	D				Ad
1 <sup>er</sup> cunéiforme	complet	D				Ad
1 <sup>er</sup> cunéiforme	complet	D				Ad



Os	Partie(s) conservée(s) <sup>1</sup>	Latéralité	Longueur	Patho	Divers	Âge <sup>2</sup>
<b>cuboïde</b>	Incomplet	D				Ad
<b>2<sup>e</sup> cunéiforme</b>	complet	D				Ad

<sup>1</sup> Avec EP = épiphyse proximale, MTP = métaphyse proximale, D = diaphyse, FD = fragment de diaphyse, MTD = métaphyse distale, ED = épiphyse distale

<sup>2</sup> Ad= adulte, TJ Imm = très jeune immature, Imm = immature

- 2 crânes Ad
- 2 mandibules Ad
- 2 coxaux Ad (voir fiche, pièces 5 et 6)
- L2-L3 : rachis lombaire appartenant à un même individu. DISH mais si l'on s'en réfère aux critères de certains auteurs, il manque un pont osseux pour caractériser le DISH.
- T9-T10-T11-T12
- T12 complète, Ad
- T1 complète, Ad.
- 2 vertèbres thoraciques du segment T1-T5 présentant de l'arthrose inter-apophysaire postérieure et des becs de perroquets.
- 1 vertèbre lombaire, Ad, incomplète (absence de corps vertébral) probablement L1
- 1 vertèbre thoracique basse, Ad, incomplète (absence de corps vertébral)
- 1 fragment de corps sternal, Ad
- 4 fragments de côtes
- 18 esquilles d'os longs
- 1 fragment de maxillaire Droit (perte ante mortem de toutes les dents), Ad
- 1 coxal (pièce 8)

## Pièce 5

Estimation de l'âge : > 50 ans (Schmitt, 2005)

- SSPIA = 2
- SSPIB = 3
- SSPIC = 2
- SSPID = 2

## Pièce 6

Estimation de l'âge : 20-29 ans (Schmitt, 2005)

- SSPIA = 1
- SSPIB = 1
- SSPIC = 1
- SSPID = 1



# ANNEXE III

## DÉTERMINATION DU SEXE

MÉTHODE **MORPHOLOGIQUE**

## Méthode morphologique : critères pour la détermination du sexe (d'après BRUZEK 1991,2002)

Caractère	Critères de sexualisation		
Région Préauriculaire	RP1	Critère du développement de la surface préauriculaire	f - Dépression nette i - Forme intermédiaire m - Surface plane
	RP2	Critère de la forme du sillon ou des fossettes	f - Fossette ou sillon au contour limitant une circonférence fermée i - Forme intermédiaire m - Dépression avec circonférence ouverte
	RP3	Critère de la manifestation du tubercule de Buisson	f - Absence de tubercule i - Forme intermédiaire m - Présence du tubercule
Grande incisure ischiatique	GS1	Critère du rapport entre les longueurs des segments	f - Segment supérieur (AC) plus long ou égal au segment inférieur (CB) i - Forme intermédiaire m - Segment supérieur (AC) plus court que le segment inférieur (CB)
	GS2	Critère de la forme du contour des segments	f - Symétrie par rapport à la ligne de plus grande profondeur i - Forme intermédiaire m - Asymétrie par rapport à la ligne de plus grande profondeur
	GS3	Critère de la position du profil par rapport au segment supérieur	f - Le contour du segment supérieur ne coupe pas la perpendiculaire i - Forme intermédiaire m - Le contour du segment supérieur coupe la perpendiculaire
Arc composé	AC	Critère du rapport des contours de l'échancrure et de la facette auriculaire	f - Double courbe i - Forme intermédiaire m - Courbe unique
Branche ischio-pubienne	BIP1	Critère d'incurvation du bord inférieur de l'os coxal	f - Eversion externe i - Forme intermédiaire m - Ligne droite de la partie médiane
	BIP2	Critère du développement de la crista phallica	f - Absence de crista phallica ou seulement présence de petites saillies i - Forme intermédiaire m - Présence nette de crista phallica
	BIP3	Critère de la constitution de la branche ischiopubienne	f - Gracile i - Forme intermédiaire m - Robuste
Longueur relative du pubis comparée à l'ischium	PI	Critère du rapport entre les longueurs du pubis et de l'ischium	f - Pubis nettement plus long que l'ischion i - Forme intermédiaire m - Ischion nettement plus long que le pubis







# ANNEXE IV

## INVENTAIRES DES STRUCTURES

INVENTAIRE **DES SÉPULTURES**  
INVENTAIRE **DES FAITS**

## Inventaire des sépultures

Sépulture	Zone	US associées
SP 1	1	Dans US 1005
SP 2	1	Dans US 1005
SP 3	1	Dans US 1005
SP 4	1	Dans US 1005
SP 5	1	Dans US 1005
SP 6	1	Dans US 1005
SP 7	1	US 1028, 1029, 1030
SP 8	1	Dans US 1005
SP 9	2	US 1036, 1037
SP 10	2	US 1034, 1035
SP 11	2	US 1044, 1045
SP 12	2	US 1097, 1098
SP 13	2	US 1040, 1041
SP 14	2	US 1042, 1043
SP 15	2	US 1048, 1049
SP 16	2	US 1208, 1209
SP 17	2	US 1093, 1094
SP 18	2	US 1091, 1092
SP 19	2	US 1095, 1096
SP 20	2	US 1210, 1211
SP 21	2	US 1212, 1213
SP 22	2	US 1046, 1047
SP 23	2	US 1214, 1215
SP 24	2	US 1216, 1217
SP 25	2	US 1218, 1219
SP 26	1	US 1220, 1221
SP 27	1	US 1238, 1239
SP 28	2	US 1222, 1223
SP 29	2	US 1224, 1225
SP 30	2	US 1226, 1227
SP 31	2	US 1228, 1229
SP 32	1	US 1230, 1231
SP 33	1	US 1232, 1233

Sépulture	Zone	US associées
SP 34	1	US 1234, 1235
SP 35	1/2	Dans US 1184
SP 36	1	Dans US 1206

## Inventaire des faits

Fait	Zone	Description	US/USC associées
M 101	1/2	Mur orienté Est/Ouest	USC 1114, 1115, 1116, 1118, 1122, US 1117, 1119, 1199, 1200
M 102	3	Mur orienté Nord/Sud	USC 1130, US 1131
M 103	3	Mur orienté Est/Ouest	USC 1153, US 1154
M 104	3	Mur orienté Est/Ouest	USC 1149, US 1150
M 105	1	Mur orienté Nord/Sud	USC 1105, US 1106, 1107
M 106	1	Mur orienté Est/Ouest	USC 1108, US 1109, 1110
M 107	1	Mur orienté Nord/Sud	USC 1111, US 1112, 1113
ST 108	2	Puits	USC 1013, US 1008, 1010, 1011, 1012
FS 109	2	Fosse	US 1023, 1024
M 110	3	Mur orienté Nord/Sud	USC 1155, US 1156
FO 111	2	Fossé orienté Nord/Sud	US 1031, 1032
FS 112	2	Fosse	US 1168, 1169, 1179
FS 113	2	Fosse	US 1164, 1165
FS 114	2	Silo	US 1050, 1051
FS 115	2	Silo	US 1052, 1053
FS 116	2	Silo	US 1054, 1055
FS 117	3	Silo	US 1056, 1057
FS 118	3	Silo	US 1058, 1059
FS 119	3	Silo	US 1060, 1061
FS 120	3	Silo	US 1062, 1063
FS 121	3	Silo	US 1064, 1065
FS 122	3	Silo	US 1066, 1067
FS 123	3	Silo	US 1068, 1069
FS 124	3	Silo	US 1070, 1071
FS 125	3	Silo	US 1072, 1073

Fait	Zone	Description	US/USC associées
<b>FS 126</b>	<b>3</b>	Silo	US 1074, 1075
<b>FS 127</b>	<b>3</b>	Silo	US 1076, 1077
<b>FS 128</b>	<b>3</b>	Silo	US 1078, 1079
<b>FS 129</b>	<b>3</b>	Silo	US 1080, 1081
<b>FS 130</b>	<b>3</b>	Silo	US 1082, 1083
<b>FS 131</b>	<b>3</b>	Silo	US 1144, 1145
<b>FS 132</b>	<b>3</b>	Silo	US 1146, 1147
<b>ST 133</b>	<b>3</b>	Puits ?	US 1084, 1085, 1086, 1138
<b>FS 134</b>	<b>3</b>	Silo	US 1087, 1088
<b>FS 135</b>	<b>3</b>	Silo	US 1089, 1090
<b>M 136</b>	<b>3</b>	Mur orienté Nord/Sud	USC 1123, 1124, 1125, 1126, US 1128, 1237
<b>M 137</b>	<b>3</b>	Mur orienté Nord/Sud	USC 1151, US 1152
<b>M 138</b>	<b>3</b>	Mur orienté Est/Ouest	USC 1139, US 1140, 1141
<b>FS 139</b>	<b>2</b>	Fosse	US 1166, 1167
<b>FS 140</b>	<b>2</b>	Fosse ou fossé	US 1177, 1178
<b>FO 141</b>	<b>1/2</b>	Fossé orienté Est/Ouest	US 1163, 1100, 1101, 1102, 1120, 1132, 1135, 1184, 1185, 1186, 1188
<b>FS 142</b>	<b>3</b>	Fosse	US 1201, 1202
<b>FO 143</b>	<b>2</b>	Fossé orienté Est/Ouest	US 1099, 1189
<b>M 144</b>	<b>2</b>	Mur orienté Nord/Sud	USC 1174, US 1171







# ANNEXE V

## INVENTAIRES DES UNITÉS STRATIGRAPHIQUES

US/USC	Fait	Zone	Coupe	Relations stratigraphiques			
				Sous	Sur	Égal	Synchrone
US 1001		1,2,3	C1, C2, C3, C4, C5, C6, C7, C8	FS 109	US 1002, 1003, 1004, 1005, 1006, 1007, 1008 (ST 108), 1009, 1015, 1017, 1018, 1019, 1020, 1021, 1121, 1127, 1129, 1148, 1157, 1161, 1170, 1192, 1197, FS 140, M 101, 102, 103, 104, 105, 106, 107, 110, 136, 137, ST 108, SP 7		
US 1002				US 1001			
US 1003				US 1001			
US 1004		3	C7,C8	US 1001	US 1009, 1014, 1033, 1143, M 102, 103, 110, 138		
US 1005		1	C1, C2	US 1001, 1117 (M 101), 1136, 1137	US 1158, 1101 (FO 141), 1160, 1182, SP 27		SP 1, 2, 3, 4, 5, 6, 8
US 1006		1		US 1001	US 1136, USC 1116 (M 101)		
US 1007		1		US 1001, 1119 (M101)			
US 1008	ST 108	2	C3, C5	US 1001	US 1010 (ST 108), 1011 (ST 108), USC 1013 (ST 108)		
US 1009		2, 3	C3, C4, C5, C6, C7, C8	US 1001, 1004, 1010 (ST 108), 1021, 1023 (FS 109), 1148?, 1199 (M 101), 1207, USC 1118 (M 101), 1122 (M 101), M 102, 103, 104, 110, 137, FS 140	US 1014, 1159, 1175, 1176, 1180, FO 111, FS 112, 113, 139, ST 133	US 1022	
US 1010	ST 108	2	C3, C5	US 1008 (ST 108), 1011 (ST 108), USC 1013 (ST 108)	US 1009, 1014, 1015, 1016, 1033, 1038, SP 31, FO 143		

Description	Mobilier	Prélèvement	Attrib. chrono.	Interprétation
Sédiment sablo-limoneux brun foncé, meuble et hétérogène contenant des fragments de brique industrielle creuse, de tuyau en plastique et de dalle de béton ainsi que des graviers, des cailloux, des tuiles, des fragments de verre récent, des carreaux de carrelage et des objets métalliques récents	Tuiles, briques, carreaux récents, monnaie		XXIème s.	Terre végétale de surface d'époque actuelle
Sédiment limono-sableux brun orangé, meuble et hétérogène, contenant des graviers, des cailloux et des objets en plastique	Épingle			US technique correspondant au décapage de la partie au sud de M 101 et correspondant en grande partie au comblement du sondage 1 de l'INRAP
Sédiment limono-sableux brun, assez compact et hétérogène				US technique correspondant au décapage de la partie au nord de M 101
Sédiment limono-sableux brun foncé, assez compact, contenant des fragments de brique industrielle creuse, de dalle de béton, de tuyau de plastique et de verre récent, ainsi que des nodules de mortier, des graviers et des cailloux			XXème s.	Niveau postérieur à la démolition du bâtiment est
Sédiment limono-argileux brun foncé, plutôt meuble, contenant des graviers (surtout dans la partie supérieure), des fragments de brique et de tuile et quelques charbons. Niveau contenant des squelettes en connexion partiellement conservées (SP 1, 2, 3, 4, 5, 6, 8)	Os humain, céramique, épingles, monnaies, clous de cercueil, huîtres, tuile			Niveau correspondant au cimetière le plus tardif
Sédiment sableux brun grisâtre, meuble et hétérogène (plus limoneux en profondeur), contenant des fragments de brique industrielle creuse et de carrelage, des nodules de béton, des graviers et des petits blocs de calcaire tendre	Os humain, carreaux de carrelage		XXème s.	Comblement d'une tranchée très récente, orientée nord/sud et coupant M 101
Sédiment limono-sableux, brun clair orangé, compact contenant quelques graviers, de petits fragments de calcaire tendre, des fragments de terre cuite et quelques nodules argileux oranges. Les os humains visibles en surface sont remaniés	Os humains, épingle			
Sédiment limoneux brun assez compact, contenant beaucoup d'inclusions : des graviers, des fragments de calcaire tendre, quelques galets, beaucoup de nodules d'argile orange, des fragments de tuile et des charbons	Céramique			Comblement supérieur du creusement lié à la construction du puits (ST 108)
Sédiment limono-sableux brun, compact contenant beaucoup de graviers, des fragments de calcaire tendre, de brique et de tuile et des charbons	Céramique, verre, métal, tuile, os de faune			Remblai
Creusement de forme plutôt carré en surface, à profil en U. Le fond du creusement n'a pas été atteint				Creusement pour la construction du puits (ST 108)



US/USC	Fait	Zone	Coupe	Relations stratigraphiques			
				Sous	Sur	Égal	Synchrone
US 1011	ST 108	2	C3, C5	US 1008 (ST 108)	US 1010 (ST 108), USC 1013 (ST 108)		
US 1012	ST 108	2	C3, C5	US 1001	USC 1013 (ST 108)		
USC 1013	ST 108	2	C3	US 1001, 1008 (ST 108), 1011 (ST 108), 1012 (ST 108)	US 1010 (ST 108)		USC 1122?
US 1014		1,2,3	C3, C5, C6, C7, C8	US 1004, 1009, 1015, 1022, 1142, 1175, 1176, 1180, 1184 (FO 141), 1207, M 102, FS 109, 112, 113, 139, 140, ST 108, 133, FO 111, 141	US 1025, 1033, SP 9, 22, FS 122, 123, 132, 142		
US 1015		2	C5	US 1001, ST 108	US 1014		
US 1016		1, 2	C3, C4, C5, C7	US 1033, ST 108, 133, FS 114, 115, 116, 118, 119, 120, 121, 122, 123, 124, 142			
US 1017		1	C1, C2	US 1001, 1019, 1137, M 105, 106, 107	US 1236		
US 1018		1	C6	US 1001, 1019, 1137, M 105, 107	US 1025, 1026, 1182		
US 1019		1	C6	US 1001, FS 109	US 1017, 1018, 1020, 1021, USC 1114 (M 101), M 105, 106		

Description	Mobilier	Prélèvement	Attrib. chrono.	Interprétation
Sédiment sablo-argileux grossier, jaune orangé à brun, meuble, contenant des graviers, des fragments de calcaire tendre et des nodules sableux oxydés noirs ou rouges	Céramique			Comblement inférieur du creusement lié à la construction du puits (ST 108)
Sédiment sablo-limoneux brun, meuble, contenant beaucoup de graviers et quelques fragments de tuile				Comblement du puits (ST 108) correspondant à son abandon
Maçonnerie formant une structure circulaire majoritairement enterrée composée de pierres de taille de calcaire tendre, de forme rectangulaire ou incurvée, liées au mortier maigre beige foncé, compact, contenant peu ou pas de chaux (présence de petits nodules blancs qui pourraient être des fragments de calcaire tendre), du sable (granulométrie fine) et peu de graviers ( $\leq 0,03$ m). Les blocs sont assez mal ajustés. Les interstices parfois assez larges sont comblés par des fragments de calcaire tendre et de brique. Beaucoup de blocs sont des remplois car ils portent des encoches, des ressauts ou des traces de peinture sans aucun lien avec la maçonnerie du puits. La partie supérieure comporte une assise de briques séparant la partie enterrée de la partie saillante. Cette dernière ne comporte qu'une assise également construite en pierre de taille de calcaire tendre dont les faces intérieures sont concaves. Le diamètre intérieur est de 0,86 m et le diamètre extérieur de 1,34 m en surface		Mortier		Architecture du puits (ST 108)
Sédiment sablo-limoneux fin, brun à brun rougeâtre, assez compact, contenant quelques inclusions de graviers et de fragments de calcaire tendre	Céramique, métal			Remblai
Sédiment limono-argileux brun à orangé, plutôt meuble, contenant des graviers et des fragments de calcaire tendre	Céramique			Remblai
Sédiment sableux assez fin, jaune, meuble, contenant des graviers et des nodules sableux oxydés noirs ou rouges				Sédiment naturel?
Sédiment limono-sableux brun clair orangé, compact, contenant des cailloux, de petits galets et des fragments de tuile	Os, verre, clous		XXème s.	Sédiment remanié récemment
Sédiment limono-sableux brun orangé, meuble, contenant peu d'inclusion : des petits galets, des fragments de calcaire tendre et de tuile et quelques charbons	Os humains (peu fragmentés), verre, épingles, clous			Terre de cimetière remaniée
Sédiment sableux noirâtre, meuble et hétérogène, contenant des poches sableuses grises, des graviers, des fragments de tuile, des blocs de béton, des fragments ou blocs de calcaire tendre, des carreaux de carrelage			XXème s.	Niveau postérieur à la démolition du petit bâtiment au sud ouest de la zone 1

US/USC	Fait	Zone	Coupe	Relations stratigraphiques			
				Sous	Sur	Égal	Synchrone
US 1020		1	C1, C2, C6	US 1001, 1019, 1161	US 1137		
US 1021		2	C6	US 1001, 1019, FS 109	US 1009, 1022, 1027, 1158, 1203, USC 1114 (M 101)		
US 1022		2	C6	US 1021, FS 109	US 1014	US 1009	
US 1023	FS 109	2	C6	US 1024 (FS 109)	US 1001, 1009, 1014, 1019, 1021, 1022, 1025, 1027, 1135 (FO 141), SP 22		
US 1024	FS 109	2	C6		US 1023 (FS 109)		
US 1025		1, 2	C1, C2, C5, C6, C7	US 1014, 1018, 1026, 1033, 1137, 1182, 1204, 1205, 1206, 1236, SP 9, 10, 11, 13, 14, 15, 16, 17, 18, 20, 21, 22, 26, 27 32, 33, 34, FO 141, 143, M 105, 106, FS 109, 112, 113, 139			
US 1026		1, 2		US 1018, 1137, SP 13, 14, 18, 20, 21, 22, 32	US 1025		
US 1027		2	C6	US 1021, 1162, 1203?, FS 109	US 1135 (FO 141)		
US 1028	SP 7	1	C2	US 1001	US 1029 (SP 7), 1030 (SP 7)		
US 1029	SP 7	1	C2	US 1028 (SP 7), 1030 (SP 7), 1236	US 1190, 1191		

Description	Mobilier	Prélèvement	Attrib. chrono.	Interprétation
Sédiment limono-sableux, brun orangé, compact et hétérogène, contenant beaucoup d'inclusions : des graviers, des fragments de calcaire tendre et de tuile et des blocs de béton	Os, épingles, monnaie		XXème s.	Sédiment remanié récemment
Sédiment sablo-limoneux, brun foncé, assez meuble, contenant des graviers, des petits galets et des fragments de terre cuite				
Sédiment limono-sableux brun jaunâtre, compact, contenant des graviers, des petits galets et des fragments de calcaire tendre				Remblai
Creusement dont seule la partie est a pu être observée. De forme rectangulaire en plan, il présente en coupe un profil assez droit, allant en se resserrant légèrement vers le bas. Le fond du creusement n'a pas été atteint			XXIème s.	Creusement de FS 109
Sédiment hétérogène, composé en majorité de sable fin, jaune et meuble, contenant des graviers, des petits galets et quelques fragments de calcaire tendre. Il contient également plusieurs poches de sédiment limoneux brun foncé plus compact, contenant des graviers, des petits galets, des charbons et des blocs de béton			XXIème s.	Comblement de FS 109
Sédiment sableux jaune clair, compact, contenant des coquillages et beaucoup de calcaire tendre				Substrat
Sédiment argilo sableux orange, compact, contenant quelques graviers et se répartissant en poches sur le substrat (US 1025)				Sédiment naturel ?
Sédiment limoneux brun assez clair, compact, contenant beaucoup d'inclusions : des graviers et des fragments de calcaire tendre				
Sédiment sablo-limoneux brun, très meuble, homogène, contenant des fragments de calcaire tendre (provenant du coffre US 1030?) et beaucoup de graviers				Comblement de SP 7
Creusement recoupé dans sa partie est par le sondage 1 réalisé par l'INRAP. La partie conservée à une extrémité plutôt ovale en surface et la largeur a un profil en U anguleux. Largeur max. : 0,66 m ; longueur conservée : 0,72 m.				Creusement de SP 7

US/USC	Fait	Zone	Coupe	Relations stratigraphiques			
				Sous	Sur	Égal	Synchrone
US 1030	SP 7	1	C2	US 1001, 1028 (SP 7)	US 1029 (SP 7)		
US 1031	FO 111	2	C7	US 1009	US 1032 (FO 111)		
US 1032	FO 111	2	C7	US 1031 (FO 111)	US 1014, 1033, 1038, 1175, SP 19, 23, 24, FO 143		
US 1033		1, 2, 3	C3, C5, C7, C8	US 1004, 1014, 1142, 1175, ST 108, 133, FS 122, 123, 132, 140, 142, FO 111, 141	US 1016, 1025, 1038, 1039		
US 1034	SP 10	2		US 1035 (SP 10)	US 1025, FS 113		
US 1035	SP 10	2			US 1034 (SP 10)		
US 1036	SP 9	2	C6	US 1037 (SP 9)	US 1025, SP 22		
US 1037	SP 9	2	C6	US 1014	US 1036 (SP 9)		
US 1038		1, 2	C3, C5, C7	US 1033, 1187, ST 108, FO 111, 141, 143, SP 19, 24, 28, 29, 30, 31			
US 1039		3	C4, C5, C7, C8	US 1033, FS 117, 119, 124, 125, 126, 127, 128, 129, 130, 131, 132, 134, 135, ST 133			
US 1040	SP 13	2		US 1041 (SP 13)	US 1025, 1026		
US 1041	SP 13	2			US 1040 (SP 13)		
US 1042	SP 14	2		US 1043 (SP 14)	US 1025, 1026		



Description	Mobilier	Prélèvement	Attrib. chrono.	Interprétation
Coffre dont la partie est a été coupée par le sondage 1 réalisé par l'INRAP. Il est composé de pierres de taille de calcaire tendre posées de champ contre les parois du creusement. La pierre de tête a été retaillée afin d'y aménager une logette céphalique. Largeur des blocs latéraux : de 0,12 à 0,15 m ; hauteur max. : 0,20 m				Coffre de SP 7
Sédiment limono-sableux brun orangé, fin et meuble, contenant des graviers, des fragments de tuile, des nodules d'argile orange, des coquillages et des charbons. Les inclusions sont plus nombreuses dans la partie supérieure	Céramique, huître, os humain, tuile, épingles			Comblement d'un fossé (FO 111)
Creusement orienté nord/sud, dont le profil en U irrégulier va en se rétrécissant vers le fond. Largeur sup. : 1,40 m ; largeur inf. : 0,32 m ; longueur partiellement observée ; profondeur max. : 0,83 m				Creusement d'un fossé (FO 111)
Sédiment très sableux et peu limoneux brun jaunâtre à orangé, meuble	Céramique			Interface entre le sédiment naturel (1025, 1016, 1038, 1039) et les couches supérieures
Creusement orienté ouest/est dont les limites n'ont pas été perçues clairement à la fouille				Creusement de SP 10
Sédiment limono-sableux brun, plutôt meuble, contenant des graviers et quelques charbons	Céramique			Comblement de SP 10
Creusement dont seule la partie est a été observée. De forme plutôt ovale, il est orienté ouest/est				Creusement de SP 9
Sédiment limono-sableux brun foncé, plutôt compact, contenant des fragments de calcaire tendre				Comblement de SP 9
Sédiment sableux orange, meuble, contenant des graviers et des nodules sableux oxydés noirs ou rouges				Sédiment naturel ?
Sédiment argilo sableux jaune, compact, contenant des graviers				Sédiment naturel ?
Creusement de forme plutôt ovale, orienté ouest/est				Creusement de SP 13
Sédiment hétérogène. La partie ouest est composée d'un sédiment limono-sableux brun foncé, meuble, contenant des graviers, des charbons, des fragments de tuile. La partie est présente un sédiment argilo sableux orange, compact et fin, contenant quelques charbons (//US 1026)	Céramique			Comblement de SP 13
Creusement de forme ovale, difficilement perceptible vers l'est, orienté ouest/est				Creusement de SP 14

US/USC	Fait	Zone	Coupe	Relations stratigraphiques			
				Sous	Sur	Égal	Synchrone
<b>US 1043</b>	SP 14	2			US 1042 (SP 14)		
<b>US 1044</b>	SP 11	2		US 1045 (SP 11)	US 1025		
<b>US 1045</b>	SP 11	2			US 1044 (SP 11)		
<b>US 1046</b>	SP 22	2	C6	US 1047 (SP 22)	US 1025, 1026		
<b>US 1047</b>	SP 22	2	C6	US 1014, SP 9, FS 109	US 1046 (SP 22)		
<b>US 1048</b>	SP 15	2		US 1049 (SP 15)	US 1025		
<b>US 1049</b>	SP 15	2			US 1048 (SP 15)		
<b>US 1050</b>	FS 114	2		US 1051 (FS 114)	US 1016		
<b>US 1051</b>	FS 114	2			US 1050 (FS 114)		
<b>US 1052</b>	FS 115	2		US 1053 (FS 115)	US 1016		
<b>US 1053</b>	FS 115	2			US 1052 (FS 115)		
<b>US 1054</b>	FS 116	2		US 1055 (FS 116)	US 1016		
<b>US 1055</b>	FS 116	2			US 1054 (FS 116)		
<b>US 1056</b>	FS 117	2, 3		US 1057 (FS 117)	US 1039		
<b>US 1057</b>	FS 117	2, 3			US 1056 (FS 117)		
<b>US 1058</b>	FS 118	2, 3		US 1059 (FS 118)	US 1016, FS 119?		
<b>US 1059</b>	FS 118	2, 3			US 1058 (FS 118)		
<b>US 1060</b>	FS 119	2, 3		US 1061 (FS 119)	US 1016, 1039		

Description	Mobilier	Prélèvement	Attrib. chrono.	Interprétation
Sédiment argilo sableux brun orangé, assez meuble et homogène, contenant des graviers et des charbons				Comblement de SP 14
Creusement de forme ovale, orienté ouest/est				Creusement de SP 11
Sédiment limono-sableux brun, assez compact, contenant beaucoup de fragments de calcaire tendre et des graviers. Il est coupé à l'est par un petit creusement (il manque le pied gauche et les métatarses de l'individu inhumé)				Comblement de SP 11
Creusement dont seule la partie est a été dégagée, de forme plutôt ovale, orienté ouest/est				Creusement de SP 22
Sédiment limoneux brun, plutôt meuble, contenant peu d'inclusions : des graviers et des fragments de calcaire tendre	1 objet en fer			Comblement de SP 22
Creusement de forme ovale allongée, orienté ouest/est				Creusement de SP 15
Sédiment limono-sableux brun, assez compact, contenant des fragments de calcaire tendre				Comblement de SP 15
Creusement de forme circulaire, de 0,95 m de diamètre en surface et de profil en U. Profondeur max. : 0,34 m				Creusement d'un silo (FS 114)
Sédiment sablo-limoneux brun, fin et meuble, contenant des graviers, quelques charbons, des nodules d'argile orange et des fragments de tuile	Os de faune, céramique, tuile			Comblement d'un silo (FS 114)
Creusement de forme circulaire, de 0,53 m de diamètre en surface				Creusement d'un silo (FS 115)
Sédiment sableux brun clair orangé, fin et meuble, contenant des graviers et des charbons				Comblement d'un silo (FS 115)
Creusement de forme plutôt circulaire, de 0,60 à 0,68 m de diamètre en surface				Creusement d'un silo (FS 116)
Sédiment sableux brun clair orangé, fin et meuble, contenant des graviers				Comblement d'un silo (FS 116)
Creusement de forme circulaire, de 0,50 m de diamètre en surface				Creusement d'un silo (FS 117)
Sédiment sablo-argileux brun clair orangé, fin et meuble, contenant des graviers et des fragments de calcaire tendre				Comblement d'un silo (FS 117)
Creusement de forme circulaire, de 0,63 m de diamètre en surface, de profil en U très évasé. Profondeur max. : 0,08 m				Creusement d'un fond de silo (FS 118)
Sédiment sablo-limoneux brun orangé, fin et meuble, contenant des graviers et des charbons				Comblement d'un fond de silo (FS 118)
Creusement de forme circulaire, de 0,66 m de diamètre en surface, de profil en U très évasé. Profondeur max. : 0,11 m				Creusement d'un fond de silo (FS 119)

US/USC	Fait	Zone	Coupe	Relations stratigraphiques			
				Sous	Sur	Égal	Synchrone
US 1061	FS 119	2, 3		FS 118?	US 1060 (FS 119)		
US 1062	FS 120	3		US 1063 (FS 120)	US 1016		
US 1063	FS 120	3			US 1062 (FS 120)		
US 1064	FS 121	3		US 1065 (FS 121)	US 1016		
US 1065	FS 121	3			US 1064 (FS 121)		
US 1066	FS 122	3		US 1067 (FS 122)	US 1016, 1033		
US 1067	FS 122	3		US 1014	US 1066 (FS 122)		
US 1068	FS 123	3		US 1069 (FS 123)	US 1016, 1033		
US 1069	FS 123	3		US 1014, FS 142	US 1068 (FS 123)		
US 1070	FS 124	3		US 1071 (FS 124)	US 1016, 1039		
US 1071	FS 124	3		ST 133	US 1070 (FS 124)		
US 1072	FS 125	3		US 1073 (FS 125)	US 1039, FS 126		
US 1073	FS 125	3			US 1072 (FS 125)		
US 1074	FS 126	3		US 1075 (FS 126)	US 1039		
US 1075	FS 126	3		FS 125	US 1074 (FS 126)		
US 1076	FS 127	3		US 1077 (FS 127)	US 1039		
US 1077	FS 127	3		FS 128	US 1076 (FS 127)		
US 1078	FS 128	3		US 1079 (FS 128)	US 1039, FS 127		

Description	Mobilier	Prélèvement	Attrib. chrono.	Interprétation
Sédiment sablo-limoneux brun clair orangé, meuble, contenant des graviers et des charbons				Comblement d'un fond de silo (FS 119)
Creusement de forme plutôt circulaire, de 0,84 à 0,88 m de diamètre en surface, de profil en U. Profondeur max. : 0,45 m				Creusement d'un silo (FS 120)
Sédiment sablo-limoneux brun clair orangé, meuble, contenant des graviers, des galets de quartz, des galets oxydés, des fragments de tuile, des blocs de calcaire tendre (de 0,10 à 0,30 m de diamètre), un fragment de silex et des charbons	Tuile			Comblement d'un silo (FS 120)
Creusement de forme circulaire, de 0,51 m de diamètre en surface, de profil en U. Profondeur max. : 0,19 m				Creusement d'un silo (FS 121)
Sédiment sableux brun orangé très clair, meuble, contenant des graviers	Céramique, tuile			Comblement d'un silo (FS 121)
Creusement dont seule la partie nord a été dégagée, qui semble plutôt circulaire, orienté ouest/est				Creusement d'une fosse (FS 122)
Sédiment sableux brun orangé, meuble, contenant des graviers. Des petits blocs de calcaire tendre sont présent en surface				Comblement d'une fosse (FS 122)
Creusement de forme circulaire, de 0,55 m de diamètre en surface, de profil en U. Profondeur max. : 0,22 m				Creusement d'un silo (FS 123)
Sédiment sableux brun, meuble, contenant des graviers et quelques fragments de calcaire tendre	Céramique			Comblement d'un silo (FS 123)
Creusement de forme circulaire, de 0,64 m de diamètre en surface	Tuile			Creusement d'un silo (FS 124)
Sédiment sablo-limoneux brun orangé, meuble, contenant des graviers				Comblement d'un silo (FS 124)
Creusement de forme plutôt circulaire, de 0,57 à 0,60 m de diamètre en surface				Creusement d'un silo (FS 125)
Sédiment sablo-limoneux brun, meuble, contenant des graviers et des charbons				Comblement d'un silo (FS 125)
Creusement de forme circulaire, de 0,59 m de diamètre en surface				Creusement d'un silo (FS 126)
Sédiment sablo-argileux brun clair orangé, meuble, contenant des graviers				Comblement d'un silo (FS 126)
Creusement de forme circulaire, de 0,74 m de diamètre en surface				Creusement d'un silo (FS 127)
Sédiment sablo-argileux brun foncé, meuble, contenant des graviers, des fragments de calcaire tendre, un fragment de terre cuite et des charbons	Céramique			Comblement d'un silo (FS 127)
Creusement de forme circulaire, de 0,72 m de diamètre en surface				Creusement d'un silo (FS 128)



US/USC	Fait	Zone	Coupe	Relations stratigraphiques			
				Sous	Sur	Égal	Synchrone
US 1079	FS 128	3		FS 129	US 1078 (FS 128)		
US 1080	FS 129	3		US 1081 (FS 129)	US 1039, FS 128		
US 1081	FS 129	3			US 1080 (FS 129)		
US 1082	FS 130	3		US 1083 (FS 130)	US 1039		
US 1083	FS 130	3			US 1082 (FS 130)		
US 1084	ST 133	3	C5, C8	US 1085 (ST 133)	US 1014, 1016, 1033, 1039, 1143, FS 124		
US 1085	ST 133	3	C5, C8	US 1009, 1086 (ST 133), 1138 (ST 133), M 110	US 1084 (ST 133)		
US 1086	ST 133	3	C5, C8	US 1009	US 1085 (ST 133)		
US 1087	FS 134	3		US 1088 (FS 134)	US 1039		
US 1088	FS 134	3			US 1087 (FS 134)		
US 1089	FS 135	3		US 1090 (FS 135)	US 1039		
US 1090	FS 135	3			US 1089 (FS 135)		
US 1091	SP 18	2		US 1092 (SP 18)	US 1025, 1026		
US 1092	SP 18	2			US 1091 (SP 18)		
US 1093	SP 17	2		US 1094 (SP 17)	US 1025		
US 1094	SP 17	2			US 1093 (SP 17)		

Description	Mobilier	Prélèvement	Attrib. chrono.	Interprétation
Sédiment sableux brun clair orangé, meuble, contenant des graviers et quelques charbons				Comblement d'un silo (FS 128)
Creusement de forme plutôt ovale, de 0,83 à 0,95 m de diamètre en surface				Creusement d'un silo (FS 129)
Sédiment sablo-limoneux brun foncé, meuble, contenant des graviers, des charbons et des nodules d'argile orange				Comblement d'un silo (FS 129)
Creusement de forme plutôt circulaire, de 0,50 à 0,56 m de diamètre en surface				Creusement d'un silo (FS 130)
Sédiment sableux brun clair orangé, meuble, contenant des graviers, un nodule d'argile blanche rosée et quelques charbons				Comblement d'un silo (FS 130)
Creusement dont seule la partie nord ouest a été dégagée, de forme plutôt circulaire en surface				Creusement pour l'aménagement d'un puits? (ST 133)
Sédiment argilo sableux brun très orangé, compact, contenant beaucoup de nodules d'argile orange, des graviers, des fragments de tuile et quelques charbons				Comblement lié à l'aménagement d'un puits? (ST 133)
Sédiment formant une poche circulaire de 0,90 m de diamètre à la surface d'US 1085 et de profil assez rectiligne en coupe (le diamètre varie entre 0,60 et 0,90 m). Sédiment sablo-limoneux brun orangé, compact, contenant des graviers, des fragments de calcaire tendre et de tuile, des charbons, des escargots et quelque nodules argileux				Comblement correspondant à l'abandon d'un puits? (ST 133)
Creusement de forme circulaire, de 0,60 m de diamètre en surface				Creusement d'un silo (FS 134)
Sédiment sablo-limoneux brun, meuble, contenant des graviers, des charbons et des nodules d'argile orange	Céramique			Comblement d'un silo (FS 134)
Creusement de forme circulaire, de 0,40 m de diamètre en surface				Creusement d'un silo (FS 135)
Sédiment sablo-limoneux brun, meuble, contenant des graviers, des cailloux et des charbons				Comblement d'un silo (FS 135)
Creusement de forme ovale allongée, orienté ouest/est, dont les limites sont nettes.				Creusement de SP 18
Sédiment sablo-argileux brun, plutôt meuble, contenant des graviers, des fragments de calcaire tendre et des charbons	Céramique			Comblement de SP 18
Creusement de forme ovale allongée, orienté ouest/est, dont les limites sont nettes				Creusement de SP 17
Sédiment limono-sableux brun orangé avec des passes plus grisâtres, meuble, contenant des graviers, des fragments de calcaire tendre et des charbons	Céramique			Comblement de SP 17

US/USC	Fait	Zone	Coupe	Relations stratigraphiques			
				Sous	Sur	Égal	Synchrone
<b>US 1095</b>	SP 19	2		US 1096 (SP 19)	US 1038		
<b>US 1096</b>	SP 19	2		FO 111	US 1095 (SP 19)		
<b>US 1097</b>	SP 12	2		US 1098 (SP 12)	US 1099 (Fo 143)		
<b>US 1098</b>	SP 12	2			US 1097 (SP 12)		
<b>US 1099</b>	FO 143	2	C1, C2, C3, C6	FO 111, 141, ST 108, SP 12, 16, 21, 23, 24, 25, 31?	US 1189 (FO 143)		
<b>US 1100</b>	FO 141	1, 2	C1	US 1101 (FO 141), 1103	US 1163 (FO 141)		
<b>US 1101</b>	FO 141	1, 2	C1	US 1005?, 1102 (FO 141), 1103, 1120 (FO 141), 1135 (FO 141), 1159, 1160	US 1100 (FO 141), 1163 (FO 141)		
<b>US 1102</b>	FO 141	1, 2	C1, C6	US 1104, 1132 (FO 141), 1135 (FO 141), 1159, 1162, 1195	US 1101 (FO 141), 1120 (FO 141)	US 1132?	
<b>US 1103</b>		1, 2	C1	US 1121, USC 1114 (M 101)	US 1100 (FO 141), 1101 (FO 141), 1104, 1134, 1135 (FO 141), 1158		
<b>US 1104</b>		1, 2	C1	US 1103, 1134, 1159, 1162	US 1102 (FO 141), 1133, 1135 (FO 141)		
<b>USC 1105</b>	M 105	1	C1	US 1001, 1019, 1107 (M 105), 1157	US 1106 (M 105)		USC 1108 (M 106), 1111 (M 107)
<b>US 1106</b>	M 105	1		USC 1105 (M 105), US 1107 (M 105)	US 1017, 1018, 1025, 1182		US 1109 (M 106), 1112 (M 107)
<b>US 1107</b>	M 105	1		US 1001, 1019, 1157	US 1106 (M 105), USC 1105 (M 105)		US 1110 (M 106), 1113 (M 107)

Description	Mobilier	Prélèvement	Attrib. chrono.	Interprétation
Creusement de forme ovale allongée, orienté ouest/est, dont les limites sont nettes				
Sédiment limono-argileux, brun foncé, meuble, contenant des graviers				Comblement de SP 19
Creusement imperceptible à la fouille, orienté ouest/est				Creusement de SP 12
Sédiment limono-sableux brun foncé, meuble, contenant des fragments de calcaire tendre et des graviers	Céramique			Comblement de SP 12
Sédiment limoneux brun foncé, meuble et fin en surface, plus sableux au fond, contenant beaucoup de fragments de calcaire tendre et des graviers	Céramique			Comblement de FO 143
Sédiment limono-sableux brun clair, compact, contenant des fragments de calcaire tendre et quelques graviers				Comblement de FO 141
Sédiment sableux gris, compact contenant quelques graviers				Comblement de FO 141
Sédiment limono-sableux brun clair à grisâtre, assez compact, contenant quelques graviers, beaucoup de fragments et de blocs de calcaire tendre et des fragments de tuile	Cuivre			Comblement de FO 141
Sédiment limono-sableux brun, assez meuble, contenant des graviers, des fragments de calcaire tendre et des coquilles d'escargots	Céramique			
Sédiment limono-sableux brun foncé avec des taches plus claires, assez compact, contenant beaucoup de graviers, des cailloux et des fragments de calcaire tendre	Clou			
Mur orienté nord/sud, dégagé dans sa partie nord sur 2,40 m et de 0,25 à 0,32 m de large. Maçonnerie de pierres de taille de calcaire tendre liées au ciment gris clair, compact et sableux (granulométrie variable)			XXème s.	Élément de coffrage d'un massif de fondation
Creusement rectiligne le long de USC 1105, de 0,10 à 0,15 m de large par rapport au parement extérieur du mur, rendu perceptible grâce à la présence d'une fine couche de ciment contre la limite ouest du creusement			XXème s.	Creusement de la tranchée de fondation de M 105
Sédiment limono-sableux brun, assez meuble, contenant des graviers, des fragments de calcaire tendre, des charbons et une fine couche de ciment contre la limite ouest du creusement (US 1106). Os humains remaniés	Os		XXème s.	Comblement de la tranchée de fondation de M 105

US/USC	Fait	Zone	Coupe	Relations stratigraphiques			
				Sous	Sur	Égal	Synchrone
USC 1108	M 106	1	C1	US 1001, 1110 (M 106), 1157	US 1109 (M 106)		USC 1105 (M 105), 1111 (M 107)
US 1109	M 106	1	C1	US 1110 (M 106), USC 1108 (M 106)	US 1017, 1025		US 1106 (M 105), 1112 (M 107)
US 1110	M 106	1	C1	US 1001, 1157	US 1109 (M 106), USC 1108 (M 106)		US 1107 (M 105), 1113 (M 107)
USC 1111	M 107	1		US 1001, 1113 (M 107), 1157	US 1112 (M 107)		USC 1105 (M 105), 1108 (M 106)
US 1112	M 107	1		US 1113 (M 107), USC 1111 (M 107)	US 1017, 1018		US 1106 (M 105), 1109 (M 106)
US 1113	M 107	1		US 1001, 1157	US 1112 (M 107), USC 1111 (M 107)		US 1107 (M 105), 1110 (M 106)
USC 1114	M 101	1, 2	C1, C6	US 1001, 1019, 1021, 1137	US 1103, 1121, 1158		USC 1115
USC 1115	M 101	1, 2		US 1001, 1136	US 1158		USC 1114
USC 1116	M 101	1, 2		US 1001, 1006	US 1136		



Description	Mobilier	Prélèvement	Attrib. chrono.	Interprétation
Mur orienté est/ouest, conservé sur 1 m de long, l'extrémité est étant très endommagée et de 0,16 à 0,22 m de large. Maçonnerie de pierres de taille de calcaire tendre ou froid liées au ciment gris clair, compact et sableux (granulométrie variable). Ce mur est construit un peu en retrait par rapport à l'extrémité nord de M 105. Le parement nord est en partie recouvert d'un enduit de ciment			XXème s.	Élément de coffrage d'un massif de fondation
Creusement rectiligne le long de USC 1108, de 0,15 m de large par rapport au parement extérieur du mur			XXème s.	Creusement de la tranchée de fondation de M 106
Sédiment limono-sableux brun orangé, meuble, contenant des graviers, des fragments de calcaire tendre, de coquilles d'escargot, des fragments de tuile et des os humains remaniés	Os		XXème s.	Comblement de la tranchée de fondation de M 106
Mur orienté nord/sud, dégagé dans sa partie nord sur 2,40 m et de 0,23 à 0,30 m de large. Maçonnerie de pierres de taille de calcaire tendre liées au ciment gris clair, compact et sableux (granulométrie variable). L'extrémité nord est très endommagée. Contre l'angle avec M 106, un lambeau d'agrégat sableux bleu à noir contenant des graviers (goudron?) est conservé			XXème s.	Élément de coffrage d'un massif de fondation
Creusement rectiligne le long de M 107, de 0,10 m de large par rapport au parement extérieur du mur			XXème s.	Creusement de la tranchée de fondation de M 107
Sédiment limoneux brun, meuble, contenant des graviers et des fragments de calcaire tendre			XXème s.	Comblement de la tranchée de fondation de M 107
Maçonnerie située à l'ouest de M 101, partiellement dégagée. Conservée sur une assise de 0,06 à 0,12 m d'épaisseur, sa partie ouest, très endommagée, présente une largeur de 0,48 m. La partie est, mieux conservée, est large de 0,58 à 0,60 m et intègre à l'est un fragment de cuve de sarcophage (USC 1115). Maçonnerie de pierres de taille et de blocs de calcaire tendre liés au mortier maigre jaune à beige, friable, sableux (granulométrie variable), contenant des graviers ( $\leq 0,01$ m) et quelques petits fragments de terre cuite		Mortier		Maçonnerie située à l'ouest de M 101
Morceau de fond de cuve de sarcophage monolithe en calcaire tendre réemployé dans la maçonnerie de M 101 (lié avec USC 1114). La pierre rectangulaire de 0,64 m de long sur 0,58 à 0,64 m de large a été creusée (traces de pointe) afin d'y aménager un espace d'inhumation de 0,43 m de large comportant une logette céphalique. Ce creusement a été comblé avec des fragments de calcaire tendre liés au limon argileux brun, assez compact, contenant quelques graviers				Remploi d'un fragment de cuve de sarcophage dans M 101, contemporain de la mise-en-œuvre d'USC 1114
Reprise de maçonnerie dans M 101, de 0,51 m de long sur 0,64 à 0,77 m de large, comportant 4 tiges de fer recourbées localisées dans les angles, prises dans du béton			XXème s.	Bouchage d'une tranchée récente

US/USC	Fait	Zone	Coupe	Relations stratigraphiques			
				Sous	Sur	Égal	Synchrone
US 1117	M 101	1, 2		US 1001, 1136	US 1005, USC 1118 (M 101)		
USC 1118	M 101	1, 2	C2, C3	US 1001, 1117 (M 101), 1119 (M 101), 1200 (M 101), USC 1122 (M 101)	US 1009, 1199 (M 101)		
US 1119	M 101	1, 2		US 1001	US 1007?, USC 1118 (M 101)		
US 1120	FO 141	1, 2	C1, C6	US 1102 (FO 141), 1137, 1159	US 1101 (FO 141), 1163 (FO 141)		
US 1121		2	C1	US 1001, USC 1114 (M 101)	US 1103, 1158		
USC 1122	M 101	2		US 1001	USC 1118 (M 101), 1009		USC 1013 (ST 108)?
USC 1123	M 136	3		US 1001	USC 1124 (M 136)		
USC 1124	M 136	3		US 1001, 1128 (M 136), 1237 (M 136), USC 1123 (M 136)	USC 1126		
USC 1125	M 136	3		US 1001, 1128 (M 136)	US 1237 (M 136)		

Description	Mobilier	Prélèvement	Attrib. chrono.	Interprétation
Portion de M 101 très perturbée, de 1,70 de long sur 0,66 m de large présentant des blocs de calcaire tendre assez épars dans un limon brun assez argileux, compact, contenant beaucoup de graviers et des fragments de tuile et de brique industrielle creuse. Quelques blocs sont encore liés avec un mortier identique à celui d'USC 1114			XXème s.	Portion perturbée de M 101
Maçonnerie à l'est de M 101, de 0,56 à 0,62 m de large, comportant une à deux assises. Maçonnerie composée de blocs de calcaire tendre très friables, liés au mortier de chaux beige clair grisâtre, très compact, sableux (granulométrie fine), contenant peu de graviers ( $\leq 0,01$ m) et quelques nodules de chaux. Maçonnerie coupée par US 1117, 1119 et le sondage 1 de l'INRAP. Deux portions sont conservées		Mortier		Maçonnerie située à l'est de M 101
Portion de M 101 très perturbée, présentant des blocs de calcaire tendre assez épars dans un limon brun sombre, assez meuble, contenant des graviers et des fragments de tuile et de brique industrielle creuse. Quelques blocs sont encore liés avec un mortier très proche de celui d'USC 1114		Mortier	XXème s.	Portion perturbée de M 101
Sédiment sablo-limoneux gris, compact, contenant beaucoup de fragments de calcaire tendre, des graviers et quelques cailloux	Os, céramique, tuile, brique			Comblement de FO 141
Sédiment limono-sableux brun, assez meuble, contenant des graviers, des fragments de calcaire tendre et des coquilles d'escargot				
Massif maçonné arasé, de 0,75 m sur 0,86 m, accolé à USC 1118. Maçonnerie mixte composée de petits blocs de calcaire tendre, d'un bloc de calcaire froid et de fragments de brique et de tuile rouge liés au mortier maigre beige foncé, assez compact, contenant peu ou pas de chaux (présence de petits nodules blancs qui pourraient être des fragments de calcaire tendre), du sable (granulométrie fine) et peu de graviers ( $\leq 0,015$ m)		Mortier	XXème s.?	Sorte de contrefort accolé au nord de M 101
Blocage de petits moellons de calcaire tendre et froid et de galets liés au mortier de chaux jaune à beige clair, assez compact, sableux (granulométrie variable), contenant des graviers ( $\leq 0,02$ m) et quelques petits nodules de chaux		Mortier		Maçonnerie de M 136
Maçonnerie de pierres de tailles de calcaire tendre et de quelques moellons de calcaire froid, liée au mortier maigre jaune à beige, friable, sableux (granulométrie variable), contenant des graviers ( $\leq 0,025$ m) et quelques petits fragments de terre cuite.		Mortier		Maçonnerie de M 136
Maçonnerie comblant une tranchée recoupant USC 1124, composée de pierres de taille de calcaire tendre dont la largeur est ajustée à celle du creusement, liées au ciment			XXème s.	Comblement d'une tranchée recoupant M 136

US/USC	Fait	Zone	Coupe	Relations stratigraphiques			
				Sous	Sur	Égal	Synchrone
USC 1126	M 136	3		US 1001, 1128 (M 136), USC 1124 (M 136)			M 104, M 137
US 1127		3		US 1001	US 1128 (M 136)		USC 1129
US 1128	M 136	3		US 1127, USC 1129	M 102, M 103, M 136		
USC 1129		3		US 1001	US 1128 (M 136)		US 1127
USC 1130	M 102	3	C5, C7	US 1001, 1004, 1128 (M 136)	US 1131 (M 102)		
US 1131	M 102	3	C5, C7	USC 1130 (M 102)	US 1009, 1014		
US 1132	Fo 141	1, 2	C1	US 1135 (FO 141), 1162	US 1102 (FO 141)	US 1102?	
US 1133		1, 2	C1	US 1104, 1162	US 1135 (FO 141)		
US 1134		1, 2	C1	US 1103	US 1104, 1158, 1159		
US 1135	FO 141	2	C1, C6	US 1027, 1103, 1104, 1133, 1162, 1195, 1203, FS 109	US 1101 (FO 141), 1102 (FO 141), 1132 (FO 141)		
US 1136		1		US 1006, USC 1116 (M 101)	US 1005, 1117 (M 101), USC 1115 (M 101)		
US 1137		1	C1, C2, C6	US 1020, 1161	USC 1114 (M 101), US 1005, 1017, 1018, 1025, 1026, 1120 (FO 141), 1158, 1159, 1181, 1182, 1192, 1193, 1194, 1204, 1205, 1206 (SP 36), SP 26, 27, 34		
US 1138	ST 133	3	C8	US 1009	US 1085 (ST 133)		

Description	Mobilier	Prélèvement	Attrib. chrono.	Interprétation
Maçonnerie de pierres de tailles de calcaire tendre, liées au mortier maigre jaune clair grisâtre, friable, contenant peu ou pas de chaux (présence de petits nodules blancs qui pourraient être des fragments de calcaire tendre), du sable (granulométrie fine), contenant peu de graviers ( $\leq 0,01$ m)		Mortier		Maçonnerie de M 136
Dalle de béton contemporaine de l'aménagement d'USC 1129, partiellement dégagée, d'environ 0,12 m d'épaisseur			XXème s.	Dalle de béton
Démolition liée à l'aménagement d'US 1127 et USC 1129			XXème s.	Démolition
Fosse rectangulaire de 0,47 m sur 0,55 m, profonde de 0,30 m, en béton, portant des traces d'oxydation liées à la présence d'eau			XXème s.	
Mur orienté nord/sud, arasé, conservé sur une hauteur maximale de 0,55 m et qui se prolonge sous la limite nord de la fouille. Maçonnerie de pierres de taille de calcaire tendre liées au mortier maigre gris, très friable, contenant peu ou pas de chaux, du sable (granulométrie fine) et très peu de graviers				Mur ouest d'un bâtiment
Creusement lisible uniquement grâce au mortier liant M 102 qui déborde des pierres et s'arrête de manière rectiligne et verticale contre le creusement				Tranchée de fondation de M 102
Sédiment limono-sableux brun, fin et assez meuble, contenant peu d'inclusions : quelques fragments de calcaire tendre				Comblement de FO 141
Sédiment argilo sableux jaunâtre, compact				
Lentille de sédiment limono-sableux brun jaunâtre, compact				
Sédiment limono-sableux brun, compact, contenant beaucoup de graviers et de fragments de calcaire tendre				Comblement de FO 141
Creusement orienté nord/sud de 0,50 m de large			XXème s.	Tranchée récente
Creusement dont l'emprise est indéterminée, qui a largement perturbé la zone 1. Le fond conserve des traces de godet à dents			XXème s.	Creusement lié à des aménagements récents
Lentille de sédiment argileux blanc, compact, contenant beaucoup de fragments de calcaire tendre, des graviers, des fragments de tuiles et quelques charbons				Comblement supérieur du creusement lié à l'aménagement de ST 133



US/USC	Fait	Zone	Coupe	Relations stratigraphiques			
				Sous	Sur	Égal	Synchrone
USC 1139	M 138	3	C8	US 1004	US 1140 (M 138), 1141 (M 138)		
US 1140	M 138	3	C8	US 1141 (M 138), USC 1139 (M 138)	US 1143		
US 1141	M 138	3	C8	USC 1139 (M 138)	US 1140 (M 138)		
US 1142		3	C8	US 1143	US 1014, 1033		
US 1143		3	C8	US 1004, M 138, ST 133	US 1142		
US 1144	FS 131	3		US 1145 (FS 131)	US 1039		
US 1145	FS 131	3			US 1144 (FS 131)		
US 1146	FS 132	3	C7, C8	US 1147 (FS 132)	US 1033, 1039		
US 1147	FS 132	3	C7, C8	US 1014	US 1146 (FS 132)		
US 1148		3	C8	US 1001	US 1009?, M 103		
USC 1149	M 104	3		US 1001	US 1150 (M 104)		USC 1126 (M 136), M 137
US 1150	M 104	3		USC 1149 (M 104)	US 1009		
USC 1151	M 137	3		US 1001	US 1152 (M 137)		USC 1126 (M 136), M 104

Description	Mobilier	Prélèvement	Attrib. chrono.	Interprétation
Mur orienté est/ouest, conservé sur 0,17 m de haut et de 0,58 m de large. Maçonnerie de moellons de calcaire tendre, liés au mortier maigre gris, très friable, contenant peu ou pas de chaux (présence de petits nodules blancs), du sable (granulométrie fine), très peu de graviers ( $\leq 0,015$ m), quelques nodules de mortier blanc et quelques fragments de terre cuite		Mortier		Mur de refend?
Creusement de profil en U, de 0,37 m de profondeur sur 0,55 m de large				Creusement de la tranchée de fondation de M 138
Sédiment argileux, un peu sableux, gris, compact, contenant des graviers et des charbons				Semelle de fondation de M 138?
Creusement dont le profil irrégulier présente une partie supérieure évasée qui va en se rétrécissant vers le bas				
Sédiment argileux, un peu sableux vers le nord, brun clair, compact, contenant des graviers, des cailloux et des charbons				
Creusement de forme circulaire, de 0,50 m de diamètre en surface				Creusement d'un silo (FS 131)
Sédiment sablo-limoneux, brun foncé, fin et assez meuble, contenant des graviers et des charbons				Comblement d'un silo (FS 131)
Creusement dégagé partiellement présentant une forme en quart de cercle, de 0,37 m de rayon				Creusement d'un silo (FS 132)
Sédiment sablo-limoneux brun, meuble, contenant des graviers				Comblement d'un silo (FS 132)
Sédiment limoneux brun, compact, contenant beaucoup d'inclusions : des graviers, des fragments de tuile, des charbons et présentant en surface des plaques de chaux pure				Niveau de circulation. Sol?
Mur orienté est/ouest, partiellement dégagé, arasé. Maçonnerie de pierres de taille et moellons de calcaire tendre, liés au mortier maigre beige clair, friable, contenant peu ou pas de chaux (présence de petits nodules blancs), du sable (granulométrie fine), très peu de graviers ( $\leq 0,01$ m) et quelques fragments de terre cuite		Mortier		Mur
Creusement lisible uniquement grâce au mortier liant M 104 qui déborde des pierres et présente une limite rectiligne le long des parements				Creusement de la tranchée de fondation de M 104
Mur orienté nord/sud, arasé, très endommagé et dont il ne reste que l'extrémité sud sur une longueur de 0,78 m et une hauteur de 0,09 m, à la jonction avec M 104. Maçonnerie de pierres de taille de calcaire tendre liées au mortier maigre jaune clair, très friable, contenant peu ou pas de chaux (présence de petits nodules blancs), du sable (granulométrie fine), très peu de graviers ( $\leq 0,01$ m) et quelques fragments de terre cuite		Mortier		Mur de refend?

US/USC	Fait	Zone	Coupe	Relations stratigraphiques			
				Sous	Sur	Égal	Synchrone
US 1152	M 137	3		USC 1151 (M 137)	US 1009		
USC 1153	M 103	3	C4	US 1001, 1004, 1128 (M 136), 1148	US 1154 (M 103)		
US 1154	M 103	3		USC 1153 (M 103)	US 1009		
USC 1155	M 110	3		US 1001, 1004	US 1156 (M 110)		
US 1156	M 110	3		USC 1155 (M 110)	US 1009, 1085 (ST 133)		
US 1157		1	C1	US 1001	M 105, 106, 107		
US 1158		1, 2	C1, C3, C6	US 1005, 1021, 1103, 1121, 1134, 1137, 1160, 1196, 1197, 1199 (M 101), USC 1114 (M 101), USC 1115 (M 101)	US 1159, 1195, 1203?		
US 1159		1, 2	C1, C2, C3, C6	US 1009, 1134, 1137, 1158, 1160, 1195?, 1199 (M 101)	US 1162, 1101 (FO 141), 1102 (FO 141), 1104, 1120 (FO 141), 1185 (FO 141)		
US 1160		1	C1	US 1005	US 1101 (FO 141), 1158, 1159		
US 1161		1	C1	US 1001	US 1020, 1137, 1181		
US 1162		1, 2	C1, C3, C6	US 1159	US 1027, 1102 (FO 141), 1104, 1132 (FO 141), 1133, 1135 (FO 141), 1183, 1184 (FO 141), 1185 (FO 141)		
US 1163	FO 141	1, 2	C1, C3, C6	US 1100 (FO 141), 1101 (FO 141), 1120 (FO 141), 1184? (FO 141), 1186 (FO 141)	US 1014, 1025, 1033, 1038, 1187, FO 143		

Description	Mobilier	Prélèvement	Attrib. chrono.	Interprétation
Creusement lisible uniquement grâce au mortier liant M 137 qui débord des pierres et présente une limite rectiligne le long du parement est				
Mur orienté est/ouest, arasé, partiellement dégagé dans sa partie ouest. Maçonnerie de pierres de taille de calcaire tendre liées au mortier maigre gris, très friable, contenant peu ou pas de chaux (présence de petits nodules blancs), du sable (granulométrie fine) et très peu de graviers ( $\leq 0,01$ m)		Mortier		Mur de refend?
Creusement lisible uniquement grâce au mortier liant M 103 qui débord des pierres et présente une limite rectiligne le long des parements				Creusement de la tranchée de fondation de M 103
Mur orienté nord/sud, arasé, très endommagé au nord. Maçonnerie de pierres de taille de calcaire tendre liées au mortier maigre gris, très friable, contenant peu ou pas de chaux (présence de petits nodules blancs), du sable (granulométrie fine), très peu de graviers ( $\leq 0,015$ m), quelques nodules de mortier blanc et quelques fragments de terre cuite.		Mortier		Mur
Creusement lisible uniquement grâce au mortier liant M 110 qui débord des pierres et s'arrête de manière rectiligne et verticale contre le creusement				Creusement de la tranchée de fondation de M 110
Béton de ciment contenant beaucoup de graviers remplissant l'espace entre M 105, M 106 et M 107				Massif de fondation
Sédiment sablo-limoneux brun clair, compact, contenant des graviers, des fragments de calcaire tendre et quelques petits fragments de tuile				Partie supérieure d'un talus?
Sédiment argileux brun clair orangé, compact, contenant peu d'inclusions : quelques graviers, des fragments de calcaire tendre, quelques rares petits blocs de calcaire froid, des charbons et quelques fragments de tuile. La partie inférieure est plus grise et plus sableuse		Sédiment		Partie inférieure d'un talus?
Sédiment sablo-argileux brun clair orangé, compact, contenant des graviers et des nodules de calcaire tendre				Interface entre les US 1158, 1159 et l'US 1005
Sédiment limono-sableux brun foncé, meuble, contenant des graviers, des fragments de calcaire tendre et quelques charbons				
Creusement orienté est/ouest, de profil irrégulier				Creusement accueillant la base d'un talus?
Creusement orienté est/ouest, de 2,20 à 2,70 m de large en surface et allant en se rétrécissant vers le fond jusqu'à 0,75 m de large et comportant un épaulement				Creusement de FO 141

US/USC	Fait	Zone	Coupe	Relations stratigraphiques			
				Sous	Sur	Égal	Synchrone
US 1164	FS 113	2	C7	US 1165 (FS 113)	US 1014, 1025, 1180		
US 1165	FS 113	2	C7	US 1009, SP 10	US 1164 (FS 113)		
US 1166	FS 139	2	C7	US 1167 (FS 139)	US 1014, 1025		
US 1167	FS 139	2	C7	US 1009, 1180	US 1166 (FS 139)		
US 1168	FS 112	2	C7	US 1169 (FS 112)	US 1014, 1025		
US 1169	FS 112	2	C7	US 1009, 1179 (FS 112)	US 1168 (FS 112)		
US 1170		2	C7	US 1001	US 1171 (M 144), 1172, 1173, 1207, USC 1174 (M 144)		
US 1171	M 144	2	C7	US 1170, USC 1174 (M 144)	US 1172, 1207		
US 1172		2	C7	US 1170, 1171 (M 144), 1173	US 1207		
US 1173		2	C7	US 1170	US 1172, 1207		
USC 1174	M 144	2	C7	US 1170	US 1171 (M 144)		
US 1175		2	C7	US 1009, FO 111	US 1014, 1033		
US 1176		2	C7	US 1009, FS 140	US 1014		
US 1177	FS 140	2	C7	US 1178 (FS 140)	US 1009, 1014, 1033, 1176		



Description	Mobilier	Prélèvement	Attrib. chrono.	Interprétation
Creusement dégagé partiellement, de forme allongée, de 1,02 m de large en surface et de profil en U				Creusement de FS 113
Sédiment limono-sableux brun foncé, meuble, contenant des graviers, des fragments de calcaire tendre et quelques charbons. Sédiment plus sableux dans la partie supérieure				Comblement de FS 113
Creusement partiellement dégagé, présentant une forme semi circulaire en surface. Le profil en U a une largeur de 0,56 m en surface et va en se rétrécissant vers le fond. La profondeur est de 0,50 m				Creusement de FS 139
Sédiment sableux brun clair orangé, meuble et hétérogène, contenant des graviers et des fragments de calcaire tendre. La partie supérieure est plus sableuse et plus grise et contient plus de fragments de calcaire tendre				Comblement de FS 139
Creusement partiellement dégagé, de forme plutôt semi circulaire, Le profil en U a 0,87 m de large en surface et va en se rétrécissant vers le fond. La profondeur est de 0,27 m				Creusement de FS 112
Sédiment sablo-argileux brun orangé, fin et meuble, contenant des graviers, des fragments de calcaire tendre et quelques rares charbons				Comblement inférieur de FS 112
Sédiment limono-sableux brun, meuble, contenant beaucoup de graviers et des fragments de tuile industrielle				
Sédiment argileux orange rosé avec quelques poches grises, compact, contenant des graviers				Semelle d'une construction?
Sédiment sablo-limoneux brun assez clair, compact, contenant des graviers, des fragments de calcaire tendre et des charbons				
Sédiment argileux orange rosé avec quelques poches grises, compact, contenant des graviers				Semelle d'une construction?
Mortier de chaux écru à blanc, très compact, sableux (granulométrie variable), contenant des graviers ( $\leq 0,01$ m) et quelques charbons		Mortier		Construction arasée?
Sédiment sablo-limoneux brun, compact, contenant des graviers, de nodules de calcaire tendre crayeux et des charbons				
Sédiment sablo-limoneux brun clair, compact, contenant beaucoup d'inclusions : des fragments de calcaire tendre, des graviers, des charbons et des fragments de terre cuite				
Creusement dont le profil irrégulier présente une largeur en surface de 1,80 m et va en se rétrécissant vers le fond. La profondeur est de 0,60 m				Creusement de FS 140

US/USC	Fait	Zone	Coupe	Relations stratigraphiques			
				Sous	Sur	Égal	Synchrone
US 1178	FS 140	2	C7	US 1001	US 1177 (FS 140)		
US 1179	FS 112	2	C7	US 1009	US 1169 (FS 112)		
US 1180		2	C7	US 1009, FS 113	US 1014, FS 139		
US 1181		1	C1	US 1137, 1161, 1236	US 1182		
US 1182		1	C1	US 1005, 1018, 1137, 1181, 1236, SP 27, 33, M 105	US 1025		
US 1183		1	C3	US 1162	US 1184 (FO 141)		
US 1184	FO 141	1	C3	US 1162, 1183, 1185 (FO 141), 1188 (FO 141)	US 1014, 1163? (FO 141), 1086 (FO 141)		SP 35
US 1185	FO 141	1, 2	C3	US 1159, 1162	US 1184 (FO 141), 1188 (FO 141)		
US 1186	FO 141	1, 2	C3	US 1184 (FO 141), 1188 (FO 141)	US 1163 (FO 141)		
US 1187		2	C3	FO 141, FO 143	US 1038		
US 1188	FO 141	1, 2	C3	US 1185 (FO 141)	US 1184 (FO 141), 1186 (FO 141)		

Description	Mobilier	Prélèvement	Attrib. chrono.	Interprétation
Sédiment sablo-limoneux brun clair, compact, contenant beaucoup d'inclusions de graviers et de fragments de tuile, des fragments de calcaire tendre (surtout dans la partie basse) et quelques charbons ( $\leq 0,02$ m)	Céramique			Comblement de FS 140
Sédiment sablo-limoneux brun clair, compact, contenant des graviers, des fragments de calcaire tendre, quelques charbons et un nodule de mortier de chaux blanc, compact, sableux (granulométrie moyenne à fine), contenant des inclusions de graviers et de petits nodules de chaux. Sédiment proche d'US 1009				Comblement supérieur de FS 112
Sédiment sablo-limoneux brun clair, compact, contenant beaucoup de fragments de calcaire tendre, quelques graviers et quelques rares charbons				
Sédiment limono-sableux brun, assez meuble, contenant très peu d'inclusions : des graviers et quelques fragments de calcaire tendre				
Sédiment limono-sableux brun rougeâtre, compact, contenant des graviers, des fragments de calcaire tendre et des charbons				
Sédiment très sableux et peu limoneux brun orangé, meuble, contenant peu d'inclusions : des graviers, de très petits fragments de calcaire tendre et de terre cuite et des charbons	Os humain			
Sédiment très sableux et peu limoneux brun, meuble, contenant peu d'inclusions : des graviers, de très petits fragments de terre cuite et des charbons. Il contient un squelette en connexion (SP 35), coupé au niveau des épiphyses proximales des fémurs (connexion des têtes de fémur et du bassin)	Os humain			Comblement de FO 141
Sédiment sablo-limoneux brun clair, compact, contenant beaucoup d'inclusions : des petits blocs de calcaire tendre ( $\leq 0,12$ m), des fragments de tuile, des graviers, des charbons. Traces d'oxydation	Os, céramique			Comblement de FO 141
Sédiment très sableux et peu limoneux brun grisâtre, assez compact, contenant peu d'inclusions : des graviers, de fragments de calcaire tendre (surtout sous US 1159) et de tuiles et quelques charbons. Une trace d'oxydation rouge suit la limite nord du creusement US 1163				
Sédiment sableux brun jaunâtre, meuble, contenant des nodules sableux noirs et quelques graviers				
Creusement orienté est/ouest, de profil en U, au parois évasées, de 1,70 m de large en surface				Limite d'un curetage à l'est de FO 141

US/USC	Fait	Zone	Coupe	Relations stratigraphiques			
				Sous	Sur	Égal	Synchrone
US 1189	FO 143	2	C1,C3	US 1099 (FO 143)	US 1025, 1038, 1187		
US 1190		1	C2	SP 7	US 1191		
US 1191		1	C2	US 1190, 1236, SP 7	US 1198		
US 1192		1	C2	US 1001, 1137, 1236	US 1193		
US 1193		1	C2	US 1137, 1192, 1236	US 1194		
US 1194		1	C2	US 1137, 1193, 1236			
US 1195		2	C2, C6	US 1158, 1196	US 1102 (FO 141), 1135 (FO 141), 1203?, 1159?		
US 1196		2	C2	US 1197	US 1158, 1195		
US 1197		2	C2	US 1001, 1199 (M 101)	US 1158, 1196		
US 1198		1	C2	US 1191			
US 1199	M 101	1, 2	C2, C3	US 1200 (M 101) , USC 1118 (M 101)	US 1009, 1158, 1159, 1197		
US 1200	M 101	1, 2	C2, C3	US 1001	US 1199 (M 101) , USC 1118 (M 101)		
US 1201	FS 142	3		US 1202 (FS 142)	US 1016, 1033, FS 123		
US 1202	FS 142	3		US 1014	US 1201 (FS 142)		

Description	Mobilier	Prélèvement	Attrib. chrono.	Interprétation
Creusement orienté est/ouest, de profil en U plus large à l'ouest (1,75 m) qu'à l'est (0,80 m). La profondeur observée est de 0,20 m à l'ouest et de 0,38 m à l'est				Creusement de FO 143
Sédiment sablo-limoneux brun, meuble, contenant beaucoup de fragments de calcaire tendre, quelques charbons et des fragments de terre cuite	Os humain			Sépulture?
Sédiment sablo-limoneux brun foncé, meuble, contenant des graviers et quelques rares charbons				
Sédiment limono-sableux brun clair, compact, contenant beaucoup de fragments de calcaire tendre, des graviers, des fragments de terre cuite	Os			
Sédiment sablo-limoneux brun orangé, meuble, contenant des graviers et des fragments de calcaire tendre	Os			
Sédiment sablo-limoneux brun orangé, meuble, contenant des graviers				
Sédiment argilo sableux brun clair orangé, compact contenant beaucoup d'inclusions : des fragments de calcaire tendre, des graviers, des fragments de terre cuite et des charbons				
Sédiment sablo-limoneux brun, assez meuble, contenant beaucoup de fragments de calcaire tendre, des graviers, quelques fragments de terre cuite, quelques rares charbons et un nodule de mortier de chaux écriu, très compact, sableux (granulométrie variable), contenant des graviers ( $\leq 0,01$ m) et quelques petits charbons		Nodule de mortier		
Sédiment sablo-limoneux brun, assez meuble, contenant quelques graviers	Huîtres, céramique, tuile			
Sédiment sablo-limoneux brun foncé, meuble, contenant beaucoup de fragments de calcaire tendre, des graviers et quelques charbons				
Creusement perçu au nord d'USC 1118, de 0,055 m de large en surface par rapport au parement du mur et allant en se rétrécissant vers le fond				Creusement de la tranchée de fondation d'USC 1118 (M 101)
Sédiment sablo-limoneux brun, compact, contenant des graviers et beaucoup de nodules de mortier beige, sableux (granulométrie fine), le long d'USC 1118				Comblement de la tranchée de fondation d'USC 1118 (M 101)
Creusement partiellement dégagé, de forme circulaire, de 0,41 m de diamètre en surface et de profil en U. La profondeur est de 0,41 m				Creusement de FS 142
Sédiment sableux brun clair à grisâtre, meuble, contenant des fragments de calcaire tendre ( $\leq 0,1$ m) et des graviers				Comblement de FS 142



US/USC	Fait	Zone	Coupe	Relations stratigraphiques			
				Sous	Sur	Égal	Synchrone
US 1203		2	C6	US 1021, 1158?, 1195?	US 1027?, 1135 (Fo 141)		
US 1204		1	C6	US 1137	US 1025		
US 1205		1	C6	US 1137	US 1025		
US 1206	SP 36	1	C6	US 1137	US 1025		
US 1207		2	C7	US 1170, 1171 (M 144), 1172, 1173	US 1009, 1014		
US 1208	SP 16	2		US 1209 (SP 16)	US 1025, 1099 (Fo 143)		
US 1209	SP 16	2		SP 21	US 1208 (SP 16)		
US 1210	SP 20	2		US 1211 (SP 20)	US 1025, 1026		
US 1211	SP 20	2			US 1210 (SP 20)		
US 1212	SP 21	2		US 1213 (SP 21)	US 1025, 1026, 1099 (Fo 143), SP 16		
US 1213	SP 21	2			US 1212 (SP 21)		
US 1214	SP 23	2		US 1215 (SP 23)	US 1099 (Fo 143)		
US 1215	SP 23	2		Fo 111	US 1214 (SP 23)		
US 1216	SP 24	2		US 1217 (SP 24)	US 1038, 1099 (Fo 143)		
US 1217	SP 24	2		FO 111	US 1216 (SP 24)		
US 1218	SP 25	2		US 1219 (SP 25)	US 1099 (Fo 143)		
US 1219	SP 25	2			US 1218 (SP 25)		
US 1220	SP 26	1		US 1221 (SP 26)	US 1025		
US 1221	SP 26	1		US 1137	US 1220 (SP 26)		
US 1222	SP 28	2		US 1223 (SP 28)	US 1038		

Description	Mobilier	Prélèvement	Attrib. chrono.	Interprétation
Sédiment sablo-limoneux brun, compact, contenant des graviers, des fragments de calcaire tendre et de tuile				
Sédiment très sableux et peu limoneux brun, compact, contenant peu d'inclusions : des graviers et des fragments de calcaire tendre et de tuile. Présence de fragments d'os humain remaniés				
Sédiment sablo-limoneux brun contenant des nodules sableux oranges et des fragments de calcaire tendre	Os			Sépulture?
Sédiment sablo-limoneux brun meuble, contenant quelques fragments de calcaire tendre. Il contient un squelette en connexion (SP 36), coupé au niveau des épiphyses distales des tibias/péronées. Dessous, quelques os épars sont également visibles				Comblement de SP 36
Creusement de profil en U aux parois évasées				
Creusement orienté ouest/est				Creusement de SP 16
Sédiment limono-sableux brun grisâtre, meuble, contenant des graviers et des fragments de calcaire tendre	Céramique			Comblement de SP 16
Creusement orienté ouest/est				Creusement de SP 20
Sédiment argileux brun foncé, meuble, contenant des graviers et des fragments de calcaire tendre	Céramique			Comblement de SP 20
Creusement orienté ouest/est				Creusement de SP 21
Sédiment limono-sableux brun grisâtre, meuble, contenant des graviers, des fragments de tuile et de calcaire tendre	Céramique			Comblement de SP 21
Creusement orienté ouest/est				Creusement de SP 23
Sédiment limoneux brun foncé, meuble, contenant des graviers				Comblement de SP 23
Creusement orienté ouest/est				Creusement de SP 24
Sédiment argileux brun et meuble, contenant des fragments de calcaire tendre, des graviers, quelques cailloux et des charbons				Comblement de SP 24
Creusement orienté ouest/est				Creusement de SP 25
Sédiment limoneux brun foncé, meuble, contenant quelques cailloux				Comblement de SP 25
Creusement orienté ouest/est				Creusement de SP 26
Sédiment limoneux brun foncé, meuble, contenant des graviers, des cailloux et des fragments de calcaire tendre. Le fond de fosse porte des traces de godet à dents	Clous de cercueil			Comblement de SP 26
Creusement orienté ouest/est				Creusement de SP 28

US/USC	Fait	Zone	Coupe	Relations stratigraphiques			
				Sous	Sur	Égal	Synchrone
US 1223	SP 28	2			US 1222 (SP 28)		
US 1224	SP 29	2		US 1225 (SP 29)	US 1038		
US 1225	SP 29	2			US 1224 (SP 29)		
US 1226	SP 30	2		US 1227 (SP 30)	US 1038		
US 1227	SP 30	2			US 1226 (SP 30)		
US 1228	SP 31	2		US 1229 (SP 31)	US 1038, 1099? (Fo 143)		
US 1229	SP 31	2		ST 108	US 1228 (SP 31)		
US 1230	SP 32	1		US 1231 (SP 32)	US 1025, 1026		
US 1231	SP 32	1		US 1236, SP 33	US 1230 (SP 32)		
US 1232	SP 33	1	C1	US 1233 (SP 33)	US 1025, 1182, SP 32		
US 1233	SP 33	1	C1	US 1236	US 1232 (SP 33)		
US 1234	SP 34	1	C6	US 1235 (SP 34)	US 1025		
US 1235	SP 34	1	C6	US 1137	US 1234 (SP 34)		
US 1236		1	C1	US 1017	US 1025, 1029 (SP 7), 1181, 1182, 1191, 1192, 1193, 1194, SP 32, SP 33		
US 1237	M 136	3		USC 1125 (M 136)	USC 1124 (M 136)		
US 1238	SP 27	1	C1	US 1239 (SP 27)	US 1025, 1182		
US 1239	SP 27	1	C1	US 1005	US 1238 (SP 27)		

Description	Mobilier	Prélèvement	Attrib. chrono.	Interprétation
Sédiment sablo-argileux brun orangé, meuble, contenant des cailloux	Céramique			Comblement de SP 28
Creusement orienté ouest/est				Creusement de SP 29
Sédiment sablo-argileux brun orangé, meuble				Comblement de SP 29
Creusement orienté ouest/est				Creusement de SP 30
Sédiment sablo-argileux brun orangé, meuble				Comblement de SP 30
Creusement orienté ouest/est				Creusement de SP 31
Sédiment sablo-argileux brun orangé meuble				Comblement de SP 31
Creusement orienté ouest/est				Creusement de SP 32
Sédiment limono-argileux brun foncé, compact, contenant des cailloux et des fragments de calcaire tendre	Céramique, clous de cercueil			Comblement de SP 32
Creusement orienté ouest/est				Creusement de SP 33
Sédiment limoneux argileux brun foncé, compact, contenant des cailloux et des fragments de calcaire tendre	Clous de cercueil, épingle			Comblement de SP 33
Creusement orienté ouest/est				Creusement de SP 34
Sédiment limono-argileux brun foncé, meuble, contenant des cailloux, des fragments de calcaire et des charbons	Clous de cercueil			Comblement de SP 34
Creusement dont l'emprise et la forme sont indéterminées				Creusement
Tranchée rectiligne orientée nord/sud, de 0,21 m de large			XXème s.	Tranchée récente
Creusement orienté ouest/est				Creusement de SP 27
Sédiment limoneux brun foncé, meuble, contenant des graviers, des cailloux, des charbons et des fragments de brique	Clous de cercueil, brique			Comblement de SP 27





# ANNEXE VI

## INVENTAIRES DES MOBILIERS

INVENTAIRE **DES MOBILIERS CÉRAMIQUES**

INVENTAIRE **DES MOBILIERS MÉTALLIQUES**

## Inventaire des mobiliers céramiques

US	Nb	Description	Photo
<b>Coupe 1 sondage M101 Ouest</b>	2	tuile et tesson de céramique médiévale de la moitié du XIII <sup>e</sup> s.	
<b>SP 10 US 1035</b>	1	médiéval avant le XIV <sup>e</sup> s., autour du XIII <sup>e</sup> s.	x
<b>SP 12 US 1098</b>	1	tesson antique	x
<b>SP 13</b>	4	tessons	
<b>SP 16</b>	4	tesson médiéval XIV <sup>e</sup> -XV <sup>e</sup> s.	x
<b>SP 17 US 1094</b>	8	tessons ; milieu du XIII <sup>e</sup> s.	x
<b>SP 18</b>	1	tesson	
<b>SP 20</b>	1	tesson de céramique médiévale milieu XIII <sup>e</sup> s.	
<b>SP 27</b>	1	fragment de brique	
<b>SP 28</b>	1	tesson	
<b>US 1001</b>	nom- breux	tessons, carreaux récents, fragments de brique et de tuile	
<b>US 1002</b>	7	carreaux récents, tessons, brique	
<b>US 1004</b>	4	dont un bord et 1 carreau récent	
<b>US 1005 carré N</b>	1	anse de marmite ou pot à cuire, provient de la région toulousaine, atelier de Cor, daté des XVII <sup>e</sup> -XVIII <sup>e</sup> s.	x
<b>US 1005 carré U</b>	8	tessons dont un tesson de céramique médiévale	
<b>US 1008 St 108</b>	10	tuiles et tessons dont certains à pâte blanche et fine	
<b>US 1009</b>	1	tesson à pâte blanche et fine	
<b>US 1009 Coupe 7</b>	12	tessons céramique médiévale, fragments de tuile et éléments moderne (verre)	
<b>US 1011 St 108</b>	3	tuile, 2 tessons	
<b>US 1012 St 108</b>	1	brique	
<b>US 1014</b>	2	1 bord à pâte granulée blanche, médiéval avant le XIII <sup>e</sup> s., entre le IX <sup>e</sup> et le XII <sup>e</sup> s. (photo) ; 1 tesson milieu XIII <sup>e</sup> s.	x
<b>US 1015</b>	1	couvercle incomplet, après le XIII <sup>e</sup> s., tournage à la motte. Cette technique fut mise au point à la fin du Moyen Âge, à partir du XIV <sup>e</sup> s. Ce type de couvercle a été produit jusqu'au XVIII <sup>e</sup> s., mais à partir du XVI <sup>e</sup> s. dans les ateliers régionaux, on rajoute une anse. Absence d'anse ici, donc on se situe plutôt autour des XIV <sup>e</sup> -XV <sup>e</sup> s. et jusqu'au XVI <sup>e</sup> s.	x
<b>US 1017</b>	1	bord à pâte granulée blanche	
<b>US 1018</b>	1	tesson noir	
<b>US 1031 Fo 111</b>	9	3 tessons à pâte blanche et fine du XIV <sup>e</sup> -XV <sup>e</sup> s. ; tesson (fragment d'anse) postérieur aux tessons précédents, plutôt XV <sup>e</sup> s. daté de la Période Moderne ; 3 tessons plus foncés, plus anciens, dont un bord, avant le XIV <sup>e</sup> peut-être le XIII <sup>e</sup> s.?	x
<b>US 1031 Fo 111</b>	7	dont 6 remontent, appartiennent à un pot moderne daté des XVI <sup>e</sup> -XVII <sup>e</sup> s. : ensemble de 3 tessons significatifs ; le dernier petit tesson appartient à une lèvre de cruche des XVII <sup>e</sup> -XVIII <sup>e</sup> s. (intrusif ?)	x
<b>US 1031 Fo 111</b>	5	tuiles	
<b>US 1033 coupe 7</b>	2	dont un petit fragment de faïence	

US	Nb	Description	Photo
US 1050 Fs 114	13	tuiles et tessons du milieu du XIII <sup>e</sup> s.	
US 1051 Fs 116	1	fragment de tuile	
US 1063 Fs 120	1	tuile	
US 1065 Fs 121	1	fragment de tuile	
US 1069 Fs 123	2	dont une sigillée romaine	x
US 1070 Fs 124 Coupe 7	4	fragments de tuile	
US 1077 Fs 127	1	granuleuse et rosée et noir ; médiéval avant le XIV <sup>e</sup> s.	x
US 1088 Fs 134	2	tessons à pâte médiévale, épaisse, rosée et noire d'un côté pour l'un d'eux	x
US 1099 Fo 143	1	fond plus modelé que tourné, technique qui est abandonnée au XIII <sup>e</sup> s., avant le milieu du XIII <sup>e</sup> s. (pas avant le XII <sup>e</sup> s.) ; intérieur noir, granulé de points blancs et dessus blanc, pâte épaisse	x
US 1099 Fo 143	2	fragments d'un même fond de marmite du XIV <sup>e</sup> s. présentant un début de décor de peinture. Ne provient pas d'un atelier de la Meroc, c'est une copie. La technique utilisée est très archaïsante	x
US 1099 Fo 143	3	dont un fragment de couvercle	
US 1103	2	un bord et un tesson à pâte granulée blanche dessus noir	
US 1120 Fo 141	10	1 bord à pâte épaisse et verte / verte XIV <sup>e</sup> -XV <sup>e</sup> s. plutôt seconde moitié du XIV <sup>e</sup> s. voir même fin du XIV <sup>e</sup> -début XV <sup>e</sup> s. ; 1 tesson noir ; 2 tessons de céramiques médiévales milieu XIII <sup>e</sup> s. ; 1 tesson de céramique moderne XVI <sup>e</sup> -XVII <sup>e</sup> s. ; 5 fragments de tuile et de brique récentes	x
US 1178 Fs 140 Coupe 7	10	dont plusieurs remontent ensemble dont un vase à fond plat à pâte blanche	
US 1185 Fo 141 Coupe 3	3	tessons moitié XIII <sup>e</sup> s.	
US 1197	5	une anse médiévale datée de la moitié du XIII <sup>e</sup> s. ; un tesson vert du XIV <sup>e</sup> -XV <sup>e</sup> s., éventuellement du XVI <sup>e</sup> s. ; un tesson noir au plus tard du XII <sup>e</sup> -XIII <sup>e</sup> s. ; 1 fragment de tuile ; 1 tesson noir, entre le IX <sup>e</sup> et le XI <sup>e</sup> s.	x

## Inventaire des mobiliers métalliques

### ■ Clous

US	NB	Description
US 1002	1	section ronde, légèrement tordu
US 1005 carré O	2	section quadrangulaire, droit
US 1006	1	section quadrangulaire, droit
US 1014	1	section indéterminé, droit, gros clou
US 1017	6	droit ; 5 à section quadrangulaire; 1 section indét.
US 1018	4	section quadrangulaire ; 3 droit ; 1 tordu
US 1019	1	section indét., droit
US 1101	1	section quadrangulaire, droit
US 1104	1	section quadrangulaire, tordu
SP 8	1	section quadrangulaire, tordu
SP 26	3	2 tordu (1 à section quadrangulaire ; 1 à section indét.) ; 1 droit (section quadrangulaire)
SP 27	13	12 droit (8 section quadrangulaire ; 3 section ronde ; section indét.) ; 1 tordu à section quadrangulaire
SP 32	4	section quadrangulaire, droit
SP 33	2	section quadrangulaire; 1 tordu ; 1 droit
SP 34	2	section quadrangulaire, droit
Coupe 1	1	section indét., droit
Hors stratigraphie	3	droit ; 2 à section ronde ; 1 à section quadrangulaire
Sondages INRAP	3	2 à section quadrangulaire et droit ; 1 clou ? (section ronde, droit, sans tête)
	<b>50</b>	

### ■ Épingles

US	Nb	Description
US 1005	2	avec tête sphérique, droite dont 1 incomplète
US 1005 carré O	1	sans tête, droite, incomplète
US 1005 carré Q	1	avec tête sphérique, droite, complète
US 1005 carré U	2	avec tête sphérique, droite ; 1 complète, 1 incomplète
US 1005 sq 5	1	avec tête sphérique, droite, complète
US 1005 Sq 6	5	droite ; 2 sans tête ; 3 avec tête sphérique dont 2 complètes
US 1005 sq 8	1	avec tête sphérique, droite ; complète

US	Nb	Description
US 1005 SP 8	2	avec tête sphérique, droite ; complètes
US 1007	1	sans tête, droite, incomplète
US 1018	2	avec tête sphérique, droite, complètes
US 1020	3	avec tête sphérique, dont 1 tordue ; complètes
US 1031 Fo 111	2	1 avec tête creuse, légèrement tordue, incomplète ; 1 avec tête sphérique, tordue, complète
SP 33	2	avec tête sphérique, droite, complète
Sondage 6 INRAP	2	droite ; 1 sans tête ; 1 complète avec tête sphérique
	27	

## ■ Métal, autres

US	Métal autre	Description
US 1020	1	plaquette courbe perforée à une extrémité, cuivre
US 1102 Fo 141	1	fragment d'un maillon, cuivre
US 1009 Coupe 7	1	fragment indéterminé
	3	

## Divers

US	Nb	Description
US 1197	5	2 huîtres et 3 os
US 1186 Fo 141 Coupe 3	1	os
US 1178 Fs 140 Coupe 7	2	os
US 1001	plusieurs	os
US 1031 Fo 111	3	escargots et 1 huître
SP 23	1	fragment de crâne
US 1005 carré U	2	huîtres
US 1169 Fs 112 Coupe 7	1	os





# ANNEXE VII

## RAPPORT D'ANALYSES $^{14}\text{C}$

### ÂGES COURBES DE CALIBRATION

#### RÉFÉRENCES DE LA COURBE DE CALIBRATION

##### **Base de données**

INTCAL04.

##### **Base de données de calibration**

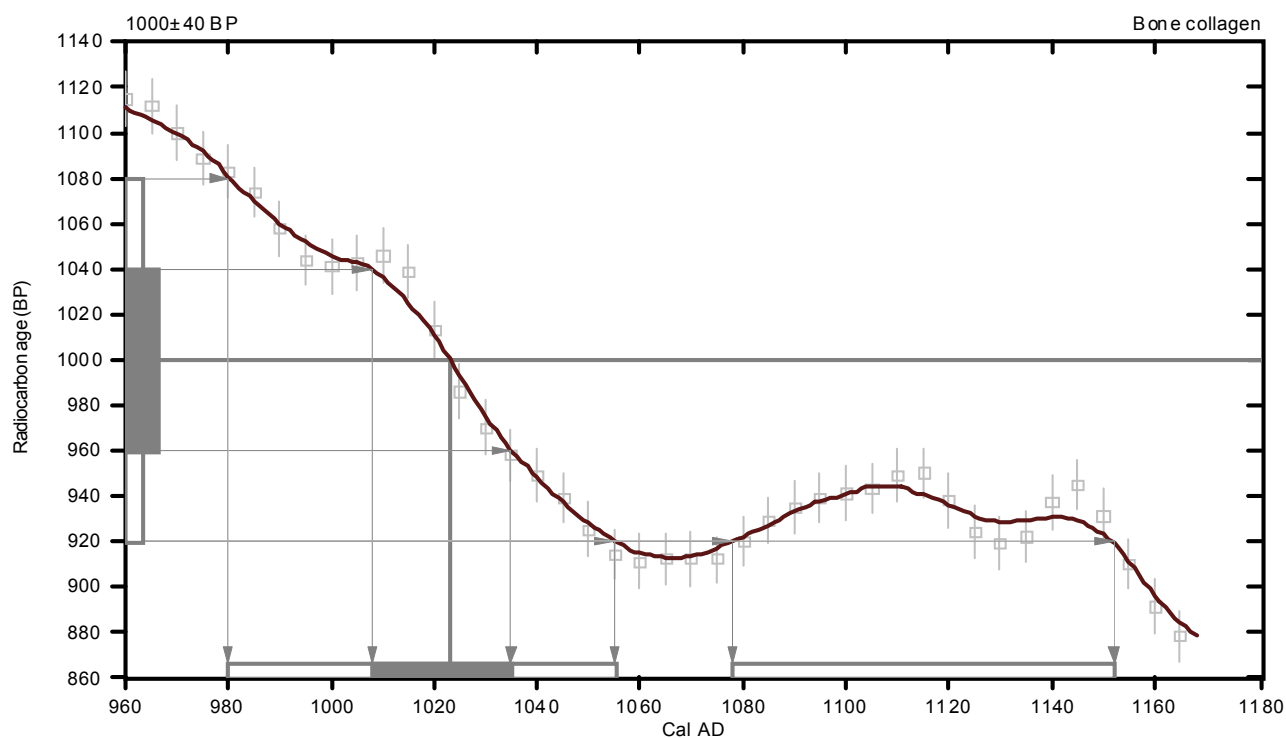
Exemplaire « Calibration » INTCAL04 : *Radiocarbon*, 46, 3, 2004.

##### **Principes mathématiques**

**TALMA A.S., VOGEL J.C. 1993.** A simplified Approach to Calibrating C14 Dates.  
*Radiocarbon* 35(2), pp. 317 – 322.

## CALIBRATION OF RADIOCARBON AGE TO CALENDAR YEARS

1 Sigma calibrated result: Cal AD 1010 to 1040 (Cal BP 940 to 920)  
(68% probability)



Sample Data	Measured Radiocarbon Age	$^{13}\text{C}/^{12}\text{C}$ Ratio	Conventional Radiocarbon Age(*)
Beta - 241571	920 +/- 40 BP	-20.4 o/oo $^{15}\text{N}/^{14}\text{N} = + 4.7 \text{ o/oo}$	1000 +/- 40 BP

**2 SIGMA CALIBRATION :** Cal AD 980 to 1060 (Cal BP 970 to 900) AND Cal AD 1080 to 1150 (Cal BP 870 to 800)

sépulture 10

CALIBRATION OF RADIOCARBON AGE TO CALENDAR YEARS

(Variables: C13/C12=-15.6:lab. mult=1)

Laboratory number: Beta-241572

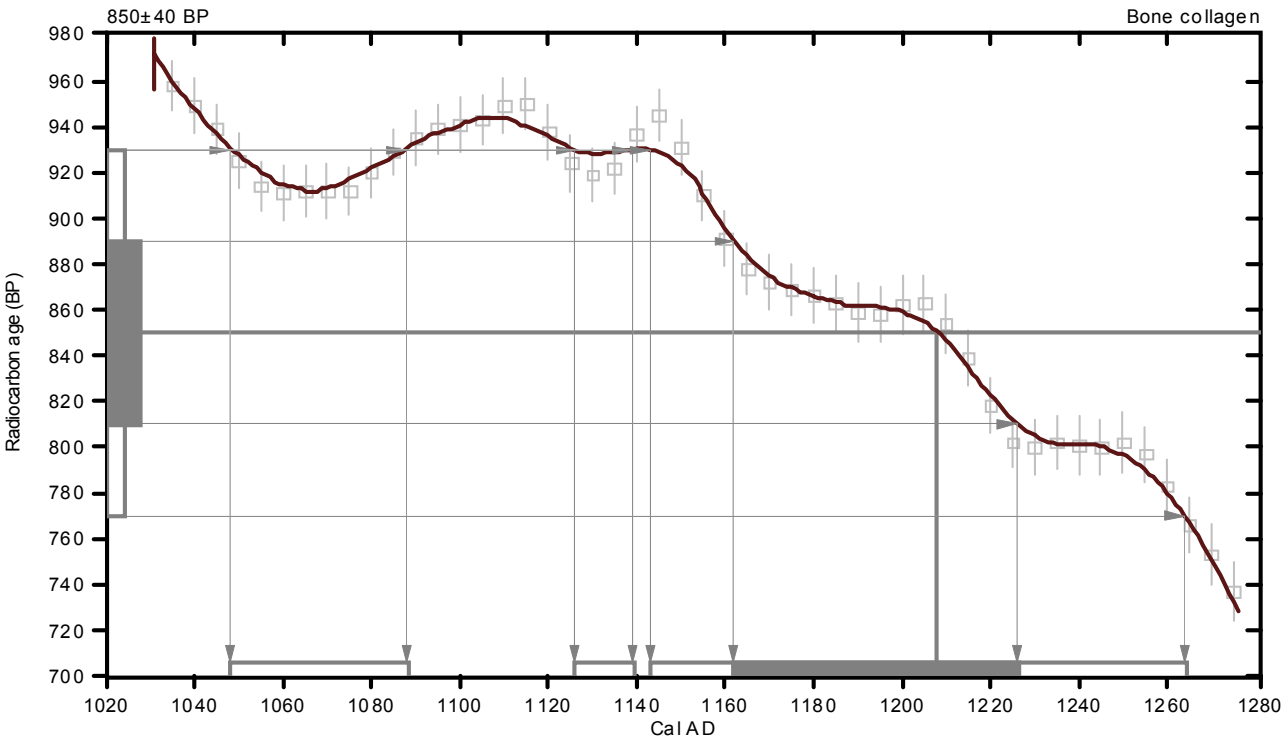
Conventional radiocarbon age: 850±40 BP

2 Sigma calibrated results: Cal AD 1050 to 1090 (Cal BP 900 to 860) and  
(95% probability) Cal AD 1130 to 1140 (Cal BP 820 to 810) and  
Cal AD 1140 to 1260 (Cal BP 810 to 690)

Intercept data

Intercept of radiocarbon age  
with calibration curve: Cal AD 1210 (Cal BP 740)

1 Sigma calibrated result: Cal AD 1160 to 1230 (Cal BP 790 to 720)  
(68% probability)



Sample Data	Measured Radiocarbon Age	<sup>13</sup> C/ <sup>12</sup> C Ratio	Conventional Radiocarbon Age(*)
Beta - 241572	700 +/- 40 BP	-15.6 o/oo 15N/14N = +13.6 o/oo	850 +/- 40 BP

SAMPLE : MER07SEP10

ANALYSIS : AMS-Standard delivery

MATERIAL/PRETREATMENT : (bone collagen): collagen extraction: with alkali

2 SIGMA CALIBRATION : Cal AD 1050 to 1090 (Cal BP 900 to 860) AND Cal AD 1130 to 1140 (Cal BP 820 to 810)  
Cal AD 1140 to 1260 (Cal BP 810 to 690)

# sépulture 12

## CALIBRATION OF RADIOCARBON AGE TO CALENDAR YEARS

(Variables: C13/C12=-16.6;lab. mult=1)

Laboratory number: **Beta-241573**

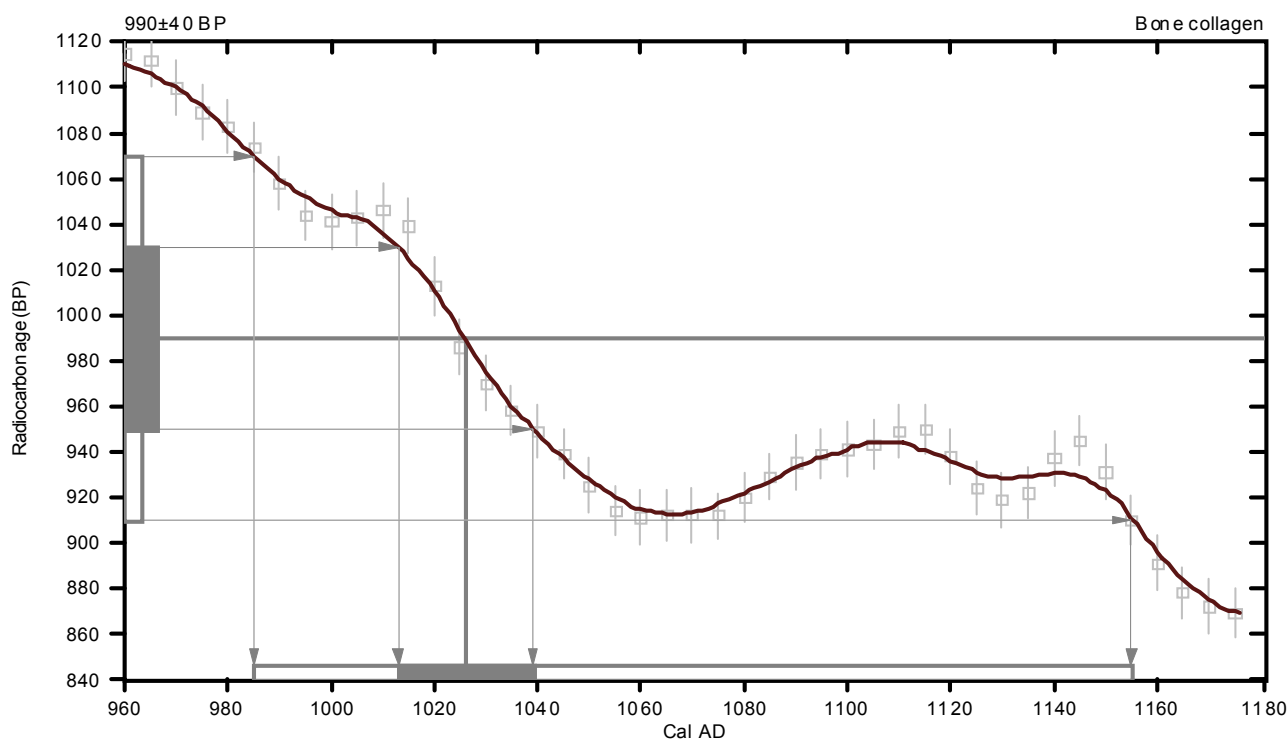
Conventional radiocarbon age: **990±40 BP**

**2 Sigma calibrated result: Cal AD 980 to 1160 (Cal BP 960 to 800)**  
(95% probability)

Intercept data

Intercept of radiocarbon age  
with calibration curve: Cal AD 1030 (Cal BP 920)

**1 Sigma calibrated result: Cal AD 1010 to 1040 (Cal BP 940 to 910)**  
(68% probability)



Sample Data	Measured Radiocarbon Age	13C/12C Ratio	Conventional Radiocarbon Age(*)
Beta - 241573	850 +/- 40 BP	-16.6 o/oo 15N/14N = +11.7 o/oo	990 +/- 40 BP

SAMPLE : MER07SEP12

ANALYSIS : AMS-Standard delivery

MATERIAL/PRETREATMENT : (bone collagen): collagen extraction: with alkali

2 SIGMA CALIBRATION : Cal AD 980 to 1160 (Cal BP 960 to 800)

sépulture 22

CALIBRATION OF RADIOCARBON AGE TO CALENDAR YEARS

(Variables: C13/C12=-15.4:lab. mult=1)

Laboratory number: Beta-241574

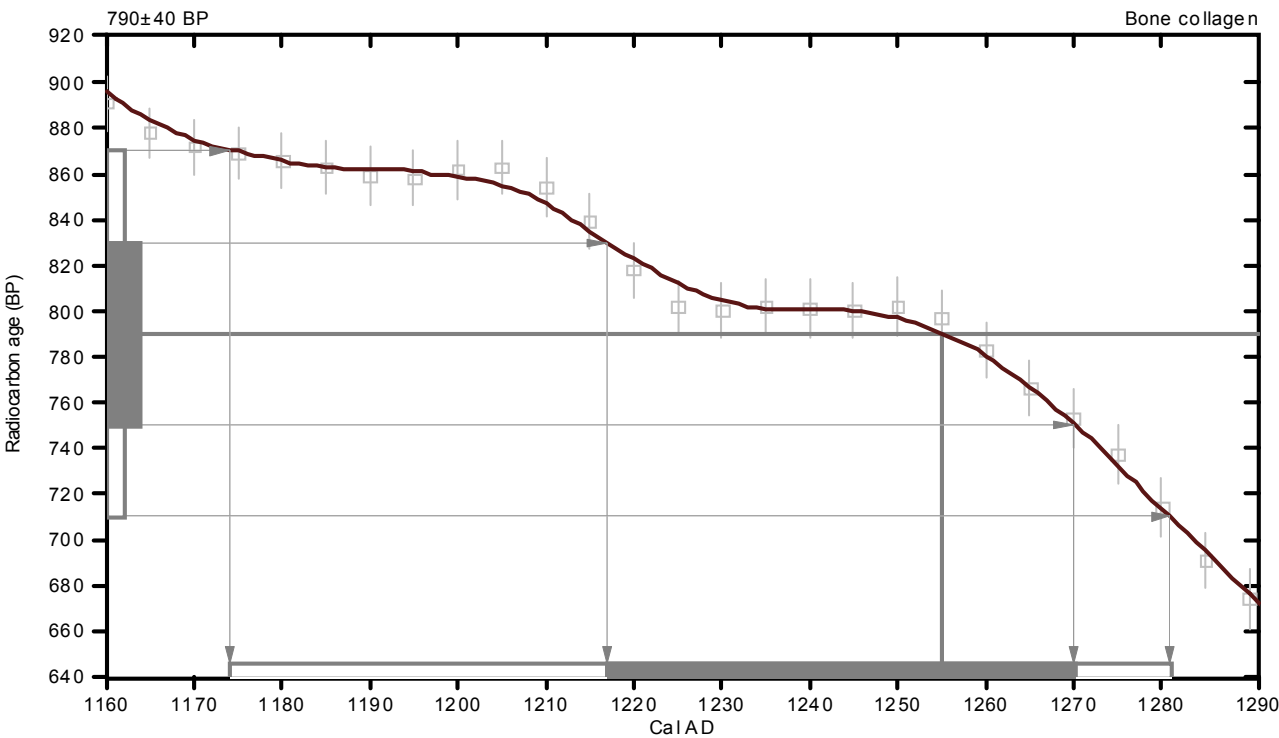
Conventional radiocarbon age: 790±40 BP

2 Sigma calibrated result: Cal AD 1170 to 1280 (Cal BP 780 to 670)  
(95% probability)

Intercept data

Intercept of radiocarbon age  
with calibration curve: Cal AD 1260 (Cal BP 700)

1 Sigma calibrated result: Cal AD 1220 to 1270 (Cal BP 730 to 680)  
(68% probability)



Sample Data	Measured Radiocarbon Age	13C/12C Ratio	Conventional Radiocarbon Age(*)
Beta - 241574	630 +/- 40 BP	-15.4 o/oo 15N/14N = +11.1 o/oo	790 +/- 40 BP

SAMPLE : MER07SEP22  
ANALYSIS : AMS-Standard delivery  
MATERIAL/PRETREATMENT : (bone collagen): collagen extraction: with alkali  
2 SIGMA CALIBRATION : Cal AD 1170 to 1280 (Cal BP 780 to 670)



# sépulture 32

## CALIBRATION OF RADIOCARBON AGE TO CALENDAR YEARS

(Variables: C13/C12=-18.8:lab. mult=1)

**Laboratory number:** Beta-241575

**Conventional radiocarbon age:** 150±40 BP

**2 Sigma calibrated result:** Cal AD 1660 to 1960 (Cal BP 290 to 0)  
(95% probability)

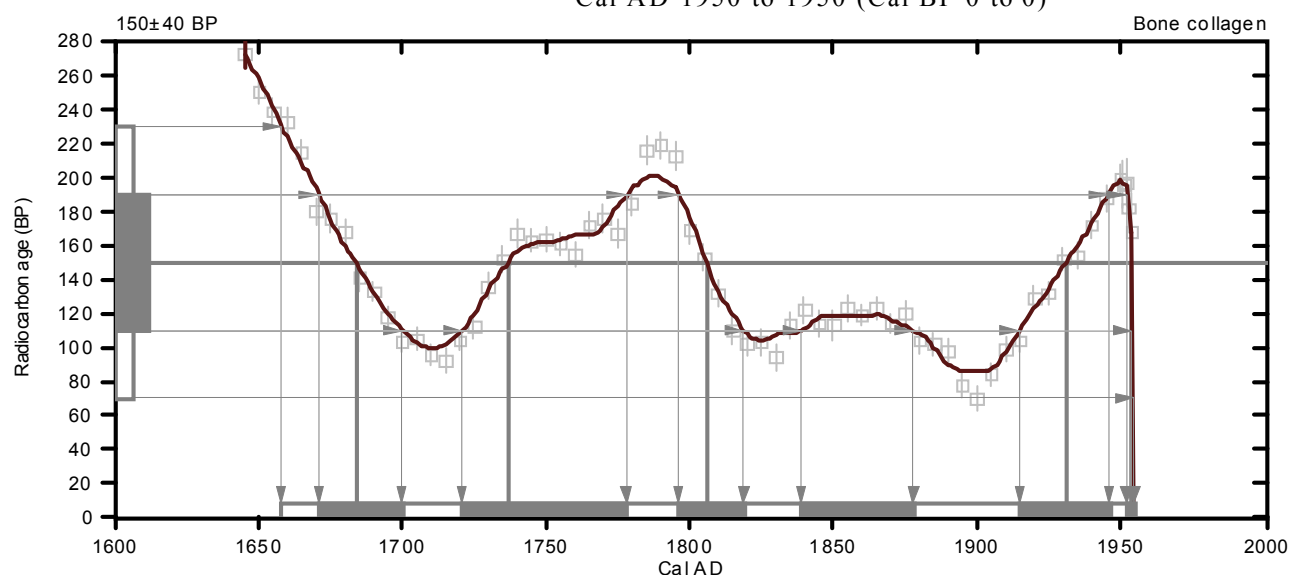
Intercept data

Intercepts of radiocarbon age  
with calibration curve:

Cal AD 1680 (Cal BP 270) and  
Cal AD 1740 (Cal BP 210) and  
Cal AD 1810 (Cal BP 140) and  
Cal AD 1930 (Cal BP 20) and  
Cal AD 1950 (Cal BP 0)

1 Sigma calibrated results:  
(68% probability)

Cal AD 1670 to 1700 (Cal BP 280 to 250) and  
Cal AD 1720 to 1780 (Cal BP 230 to 170) and  
Cal AD 1800 to 1820 (Cal BP 150 to 130) and  
Cal AD 1840 to 1880 (Cal BP 110 to 70) and  
Cal AD 1920 to 1950 (Cal BP 40 to 0) and  
Cal AD 1950 to 1950 (Cal BP 0 to 0)



Sample Data	Measured Radiocarbon Age	13C/12C Ratio	Conventional Radiocarbon Age(*)
Beta - 241575	50 +/- 40 BP	-18.8 o/oo 15N/14N = +13.2 o/oo	150 +/- 40 BP

SAMPLE : MER07SEP32

ANALYSIS : AMS-Standard delivery

MATERIAL/PRETREATMENT : (bone collagen): collagen extraction: with alkali

2 SIGMA CALIBRATION : Cal AD 1660 to 1960 (Cal BP 290 to 0)

sépulture 35

CALIBRATION OF RADIOCARBON AGE TO CALENDAR YEARS

(Variables: C 13/C 12=-15.4:lab. mult=1)

Laboratory number: Beta-241576

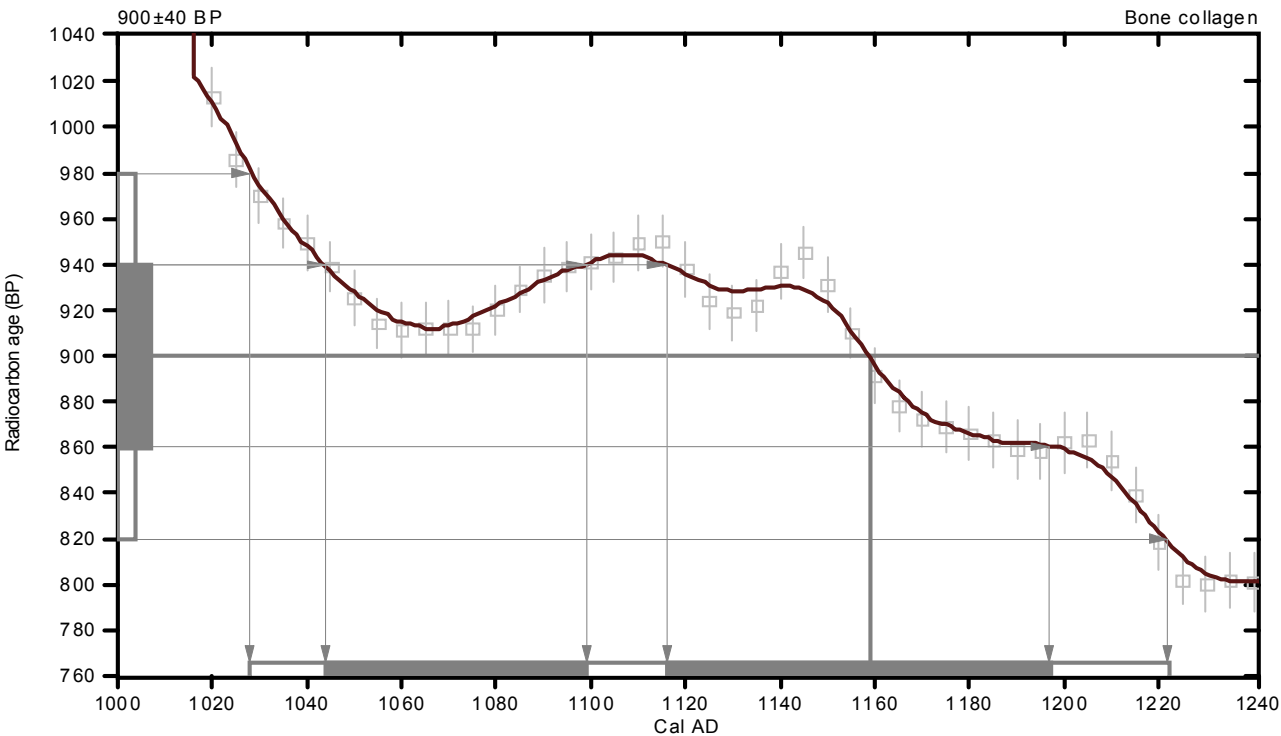
Conventional radiocarbon age: 900±40 BP

2 Sigma calibrated result: Cal AD 1030 to 1220 (Cal BP 920 to 730)  
(95% probability)

Intercept data

Intercept of radiocarbon age  
with calibration curve: Cal AD 1160 (Cal BP 790)

1 Sigma calibrated results: Cal AD 1040 to 1100 (Cal BP 910 to 850) and  
(68% probability) Cal AD 1120 to 1200 (Cal BP 830 to 750)



Sample Data	Measured Radiocarbon Age	13C/12C Ratio	Conventional Radiocarbon Age(*)
Beta - 241576	740 +/- 40 BP	-15.4 o/oo 15N/14N = +11.7 o/oo	900 +/- 40 BP
SAMPLE : MER07SEP35			
ANALYSIS : AMS-Standard delivery			
MATERIAL/PRETREATMENT : (bone collagen): collagen extraction: with alkali			
2 SIGMA CALIBRATION : Cal AD 1030 to 1220 (Cal BP 920 to 730)			

